

-47082-

Veröffentlichungen des Königlich Preussischen Meteorologischen Instituts

Herausgegeben durch dessen Direktor

G. Hellmann

Nr. 240

Ergebnisse

der

Meteorologischen Beobachtungen

in Potsdam

im Jahre 1910

Von

R. Süring

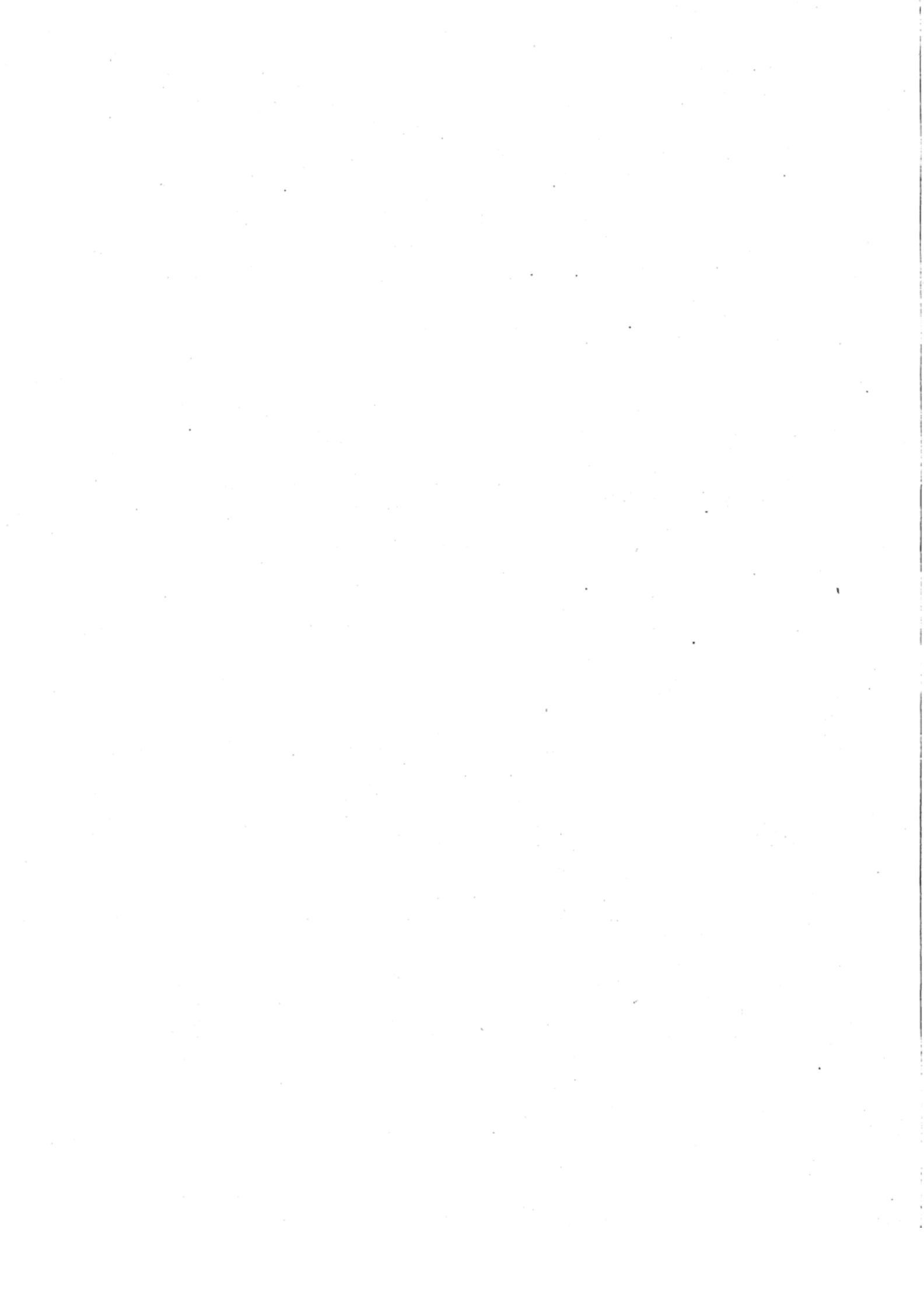


Mit einer Abhandlung von R. Süring

Berlin 1911
Behrend & Co.

Preis 8 M

DWI. 1302



Inhaltsverzeichnis.

	Seite
Einleitung	V
Messungen der neutralen Punkte der atmosphärischen Polarisation. Von R. Süring	X
Tabellen	
Terminbeobachtungen	1
Registrierungen	8
Luftdruck	8
Lufttemperatur	14
Dampfdruck	20
Relative Feuchtigkeit	26
Wind-Richtung und -Geschwindigkeit	32
Niederschlag	44
Sonnenscheindauer	48
Sonstige Beobachtungen	54
Bewölkung	54
Bodentemperaturen	66
Verdunstung	72
Photogrammetrische Wolkenmessungen	73
Gewitterbeobachtungen	77
Wassergehalt der Schneedecke	79
Zusammenstellungen	80
Luftelektrisches Potentialgefälle	84

Einleitung.

Der tabellarische Teil der vorliegenden Ergebnisse gliedert sich wie bisher in fünf Abschnitte: Meteorologische Terminbeobachtungen, Registrierungen, Sonstige Beobachtungen, Zusammenstellungen und Lufterlektrizität.

Seit 1909 sind auch Polarisationsbeobachtungen in das Arbeitsprogramm des Observatoriums aufgenommen worden. Größere optische Störungen der Atmosphäre lassen sich anscheinend recht genau durch Veränderungen in der Lage der neutralen Punkte der Polarisation erkennen, und es wurde deshalb mit der Messung dieser Punkte begonnen. Die ersten Ergebnisse dieser Untersuchungen sowie einiges Beobachtungsmaterial aus früheren Jahren sind in einem besonderen Bericht auf S. X zusammengestellt worden.

Erläuterungen zu den Tabellen.

I. Terminbeobachtungen (S. 1—7).

Die Terminbeobachtungen wurden in dreiwöchentlichem — während der Sommerurlaube meist in zweiwöchentlichem — Turnus von wissenschaftlichen Beamten des Observatoriums ausgeführt. Die regelmäßigen Beobachter waren die Herren Dr. Knoch, Dr. Kähler und Dr. Barkow; letzterer wurde während der Teilnahme an der Filchner'schen Vorexpedition nach Spitzbergen durch Herrn Dr. Bahr und den Praktikanten Herrn Oteteleșanu aus Rumänien vertreten.

Mit Ausnahme der den Registrierungen eines Sprungschen Wagebarographen (Meereshöhe 84.9 m) entnommenen Luftdruckwerte und der Werte von Windrichtung und -Stärke sind alle Angaben direkte Augenbeobachtungen oder, wie Dampfdruck und relative Feuchtigkeit, aus solchen berechnet. Die Terminwerte der Temperatur sind Ablesungen des trockenen Thermometers, diejenigen der Feuchtigkeit Berechnungen aus den gleichzeitigen Ablesungen des trockenen und feuchten Thermometers eines in der großen „englischen Hütte“ auf der Beobachtungswiese aufgestellten Psychrometers (Höhe über dem Erdboden 2.2 m) mit Abmannscher Aspirationsvorrichtung für das feuchte Thermometer. Zur Berechnung der Feuchtigkeit dienten die vom Kgl. Preußischen Meteorologischen Institut herausgegebenen „Aspirations-Psychrometertafeln“.

Die Ablesungen beziehen sich jetzt alle auf die volle Stunde des Beobachtungstermins (Ortszeit). Die Extremtemperaturen wurden von Extremthermometern in der Hütte auf der Beobachtungswiese erhalten, ihre Daten gelten für den Tag von 9^p des Vortages bis 9^p des Beobachtungstages. Hydrometeore und Sonnenschein im Moment der Terminbeobachtung sind den Bewölkungsangaben in den internationalen Zeichen als Indices hinzugefügt. Die Regen- und Schneemessungen wurden auf der Beobachtungswiese, letztere auf einem Zementfeld gemacht. Die Schneehöhen sind Mittelwerte aus mehreren Messungen. Der Regenmesser Hellmann steht auf der Beobachtungswiese ($h_r = 1.3$ m).

II. Registrierungen (S. 8—53).

Bei allen Registrierungen sind die Tagesextreme, und zwar die Maxima durch hohe, die Minima durch niedrige fette Ziffern hervorgehoben, sekundäre Maxima und Minima aber nirgends berücksichtigt. Ergänzende Werte, die nicht denselben Grad der Genauigkeit wie die übrigen besitzen, sind

durch Kursivdruck kenntlich gemacht. Die Tagesmittel der einzelnen Phänomene sind in diesem Jahre noch wie bisher nach der Formel:

$$(1^a + 2^a + \dots + 11^p + 12^p) : 24$$

gebildet worden. Im folgenden Jahre sollen die Mitternachtswerte zweier Tage zur Mittelbildung benutzt werden.

LUFTDRUCK (S. 8—13). Die Luftdruckwerte werden den Registrierungen des Sprungschens Wagebarographen im Instrumentenzimmer entnommen und durch einmal tägliche Vergleichung auf das in der Nähe hängende Gefäßheberbarometer Wild-Fueß Nr. 248 reduziert. Die Unterschiede sind jedoch so gering, daß es genügt, die mittlere Korrektur jedes Registrierblattes mit meist 4 bis 8 Kurven zu benutzen. Die Vergrößerung der Aufzeichnungen auf dem Registrierblatt war während des ganzen Jahres eine zehnfache. Die Korrektur des Gefäßheberbarometers Wild-Fueß Nr. 248, bezogen auf das Hauptbarometer des Kgl. Meteorologischen Instituts zu Berlin Nr. 423 beträgt + 0.004 mm, so daß von der Korrektur auf das Normalbarometer des preußischen Beobachtungsnetzes abgesehen werden kann.

LUFTTEMPERATUR (S. 14—19). Diese Angaben lieferte ein großer Richardscher Thermograph mit achttägigem Umlauf, der in einem kleinen Ausbau der großen englischen Hütte (Ostseite) auf der Wiese aufgestellt ist. Die Registrierungen wurden durch die Terminbeobachtungen auf das Thermometer in der Hütte so reduziert, daß die Korrekturen zwischen den Terminen linear interpoliert und dann angebracht wurden.

DAMPFDRUCK (S. 20—25). Die Werte des Dampfdruckes sind durch Zuordnung der entsprechenden Stundenwerte der Lufttemperatur und relativen Feuchtigkeit mit einem Rechenschieber berechnet, dem die „Tafeln der Spannkraft des gesättigten Wasserdampfes“ auf Seite 2 und 3 der Aspirationspsychrometer-Tafeln des Kgl. Meteorologischen Instituts zu Grunde liegen.

RELATIVE FEUCHTIGKEIT (S. 26—31). Zur Registrierung der relativen Feuchtigkeit wurde ein Richardscher Hygrograph mit anfangs zweitägiger, seit April eintägiger Umlaufzeit benutzt, der dicht unter dem Dach der Hütte auf der Wiese aufgehängt ist. Die Reduktion der Kurvenwerte auf die Psychrometerangaben der Terminbeobachtungen erfolgte in derselben Weise wie bei der Temperatur. Abweichend von den anderen Elementen sind bei der relativen Feuchtigkeit wegen des häufigen Vorkommens vollständiger Sättigung der Luft mit Wasserdampf nur die Minima durch fetten Druck hervorgehoben. Beim mittleren täglichen Gang ist in der üblichen Weise verfahren; es sind also auch die Maxima fett gedruckt.

WINDRICHTUNG UND WINDGESCHWINDIGKEIT (S. 32—43). Die Angaben der Windrichtung beziehen sich nicht mehr wie in den früheren Jahrgängen auf das Ende der Stunde, sondern auf den mittleren Wert der ganzen Stunde; desgleichen gilt die Geschwindigkeit für das Mittel des ganzen am Kopf der Tabelle angegebenen Stundenintervalls. Da das Schalenkreuz erst bei der Geschwindigkeit von rund 1 mps die vorhandene Reibung überwindet, wurde bei ruhendem Schalenkreuz für die Geschwindigkeit der Wert 0.5 m als Durchschnitt aller gleich wahrscheinlichen Werte von 0—1 mps angenommen. An Stelle der vom Apparat gezeigten Windrichtung wurde für diese Fälle ein C (Calme) gesetzt.

Die Konstanten des Schalenkreuzes wurden wiederholt geprüft durch Vergleichen mit kleinen elektrisch registrierenden Anemometern, die auf der Deutschen Seewarte in Hamburg geeicht waren. Die Ergebnisse waren in der zweiten Hälfte des Jahres wenig günstig, so daß beschlossen wurde, im Jahre 1911 die Spitzenlagerung der Achse durch Kugellager zu ersetzen, trotzdem die Empfindlichkeit des Apparats dadurch voraussichtlich etwas herabgedrückt wird. Um den Veränderungen der Reibungskonstante 1910 genügend Rechnung zu tragen, mußte im Laufe des Jahres mit folgenden Formeln reduziert werden:

$$\begin{aligned} \text{Vom Juli 1909 bis Ende Febr. 1910: } v &= 0.474 + 0.0970 N \\ \text{„ 1. März 1910 bis Ende Sept. 1910: } v &= 0.560 + 0.1038 N \\ \text{„ 1. Okt. 1910 bis Ende März 1911: } v &= 0.832 + 0.1006 N \end{aligned}$$

v bedeutet die Windgeschwindigkeit in mps, N die Länge der Registrierung in einer Stunde.

NIEDERSCHLAG (S. 44—47). Die Regenmenge und die Regendauer sind Apparaten entnommen, die auf der Beobachtungswiese aufgestellt sind, und zwar für die 7 Sommermonate April bis Oktober den Registrierungen eines mechanisch registrierenden Regenmessers, System Hellmann-Fueß, mit 200 qcm Auffangfläche in 1.3 m Höhe über dem Boden, für die 5 Wintermonate November bis März

der Sprung-Fueßschen Registrierwage. Bei gleich großer Auffangfläche steht der letztere Apparat 49 cm höher über dem Boden. Die Registrierwage ist ganz außerordentlich empfindlich, denn für 1 mm Regenhöhe beträgt die Bewegung der Schreibfeder 23 mm; sie gibt den Zeitpunkt des Regenanfangs am genauesten von allen hier befindlichen Instrumenten wieder und wird deshalb zur Vergleichung mit den Registrierungen der Niederschlagselektrizität allgemein benutzt; bei starken Regenfällen reicht jedoch die Eigenbewegung des Laufrades nicht aus, um das Gewicht des gefallenen Regens zu kompensieren.

Zu den Tabellen selbst ist zu bemerken, daß am Fuße der Monatstabellen wieder alle die Regenfälle angeführt sind, bei denen die Regenintensität größer als 0.2 mm in der Minute war.

SONNENSCHHEINDAUER (S. 48—53). Die graphischen Darstellungen des Sonnenscheins geben ein Bild der Registrierung, wie der Campbell-Stokessche Apparat sie liefert: schwarz auf weißem Grunde. Eine Strichelung der bei der Reproduktion durchweg bandförmig gehaltenen Brennspar bedeutet das Schmalwerden der Registrierung. Einer mechanischen Kopie durch die Photographie standen formale Schwierigkeiten im Wege. Die teils geraden, teils auf- und abwärts gebogenen Streifen hätten mehr Raum erfordert und an Übersichtlichkeit eingeüßt. Die Sonnenauf- und Untergänge sind für 1910 neu berechnet.

III. Sonstige Beobachtungen (S. 54—79).

BEWÖLKUNG (S. 54—65). Die Bewölkungsbeobachtungen sind im Sommer von 6^a—9^p, im Winter von 7^a—9^p von wissenschaftlichen Beamten, in der Nacht vom Nachtwächter gemacht. Die Exponenten an den Zahlen der Bewölkungsmenge bezeichnen, wie allgemein üblich, die Dicke der Wolken. Den betreffenden Wolkenformen sind Zugrichtungsbestimmungen in Kursivdruck, Winkelgeschwindigkeitsmessungen mit dem Wolkenspiegel — auf die fingierte Wolkenhöhe 1000 m bezogen — in halbfetten, aufrechten Ziffern hinzugefügt. Die an der rechten Seite der Tabellen angegebenen Tagesmittel sind aus den Beobachtungen zu den geraden Stunden gebildet. Im Anschluß an den im vorigen Jahrgange dieser „Ergebnisse“ von Dr. Marten erstatteten Bericht über die Genauigkeit der Bewölkungsschätzungen in der Nacht wurde die Prüfung solcher Schätzungen an einem Pickering'schen Pole Star Recorder erneut vorgenommen. Seit dem 1. August 1907 werden nämlich die Beobachtungen von einem andern Nachtwächter angestellt, so daß es notwendig schien, auch dessen Beobachtungsfehler zu prüfen. Aus den Registrierungen in den Monaten November 1910 bis Januar 1911 ergaben sich folgende Abweichungen der Bewölkungsschätzungen von den Angaben des Pole Star Recorder in Prozenten der zehnteiligen Bewölkungsskala¹⁾:

Monat	Anzahl der Tage	6 ^p	8 ^p	9 ^p	10 ^p	12 ^p	2 ^a	4 ^a	6 ^a
November 1910	30	—	10	9	4	4	0	3	—
Dezember 1910	31	7	4	1	7	4	2	11	4
Januar 1911	31	4	2	2	2	1	4	3	2

Die Zahlen von 6^p—9^p beziehen sich auf die Schätzungen der drei wissenschaftlichen Beobachter, von 10^p—6^a auf den Nachtwächter. Die durchweg positiven Differenzen besagen, daß die Schätzungen größer ausgefallen sind als die Instrumentangaben, im Mittel um 0.4 Bewölkungsstufen gegen 0.2 bei dem alten Nachtwächter. Die Untersuchung der Unterschiede zwischen Schätzung und Registrierung bei den verschiedenen Bewölkungsgraden ließ erkennen, daß der Nachtwächter die Stufen 1 und 9 der zehnteiligen Skala zu wenig beachtet, daß jedoch die Schätzungen in sich seit 1907 bedeutend homogener geworden sind und sich in der Güte nur wenig von den Schätzungen unterscheiden, die die wissenschaftlichen Beobachter in der Dunkelheit anstellen.

BODENTEMPERATUREN (S. 66—71). Die Angaben der Bodentemperatur sind für die Tiefen von 0.02, 0.05, 0.10 und 0.20 m direkt in den Sandboden eingegrabenen Quecksilberthermometern entnommen; in den Tiefen von 0.5 bis 12 m werden die Beobachtungen an Thermometern in Schutzröhren aus Neusilber angestellt.

VERDUNSTUNG (S. 72). Die Verdunstungsmengen sind Angaben eines in einer großen Thermometerhütte aufgestellten Wildschen Evaporimeters. Die Tagessummen beziehen sich auf den Tag von 7^a—7^a und werden wie der Regen dem Messungstage zugeschrieben.

PHOTOGRAMMETRISCHE WOLKENMESSUNGEN (S. 73—76). Zur Aufnahme diente der Sprungsche Wolkenautomat, welcher vom Observatorium aus automatisch gleichzeitige Zenitaufnahmen der Wolken

¹⁾ W. Marten, Zur Frage der Bewölkungsschätzung. Meteor. Zeitschr. XXVIII, 1908, 184—187.

von den Endpunkten einer 1470 m langen Basis liefert. Aus der parallaktischen Verschiebung der Bilder wird die Höhe und — bei Wiederholung der Aufnahme nach etwa einer Minute — auch Richtung und Geschwindigkeit der Wolken ermittelt. Die Unsicherheit der Messungen wird durchschnittlich weniger als 1 Prozent der Höhe betragen und bei niedrigen Wolken erheblich geringer sein. Wolken von weniger als 2 km Höhe lassen sich allerdings nicht mehr messen, weil dann die Parallaxe zu groß für das Plattenformat (15×18 cm) wird. Die in den Tabellen mitgeteilten Richtungen und Geschwindigkeiten der Wolken sind, soweit nichts anderes angegeben ist, aus gleichzeitigen relativen Bestimmungen mit dem Sprungschen Nephoskop abgeleitet worden; die photogrammetrisch ermittelten Werte sind unter „Bemerkungen“ als Doppelaufnahme mit Angabe der Zeitdifferenz zwischen beiden Expositionen kenntlich gemacht. Die Zahl solcher Doppelaufnahmen ist 1910 wesentlich größer gewesen als früher, einerseits, um die Zuverlässigkeit der nephoskopischen Beobachtung zu prüfen — diese Beobachtungen beziehen sich natürlich meist nicht auf dieselben Wolkenpunkte, welche photographiert werden — und Richtungsänderungen auf kleinem Gebiet feststellen zu können, andererseits, um gelegentlich Werte für Vertikalbewegungen zu erhalten. Bei den Ausmessungen wurde auch auf die Streichrichtung der Wolkenfäden und deren Neigung gegen die Horizontale geachtet. Desgleichen finden sich unter „Bemerkungen“ mehrere Angaben über Größenverhältnisse von Schichtwolken.

GEWITTERBEOBACHTUNGEN (S. 77—78). Die Angaben unter „Wirkliche Zugrichtung aus“ sind abgeleitet aus Eintritts- und Austrittsbeobachtungen des Gewitters in den Horizont unter Hinzunahme der Himmelsgegend, in der das Gewitter vorüberzog. Die Zeitangaben unter „Ende des Gewitters“ und „Niederschlag, Form und Zeit“ sind auf Viertelstunden abgerundet.

WASSERGEHALT DER SCHNEEDECKE (S. 79). Die Schneehöhen sind Mittelwerte aus mehreren Einzelmessungen auf zwei für Alt- und Neuschnee bestimmten Zementfeldern der Beobachtungswiese. Die Ausstechungen zur Bestimmung des Wassergehalts wurden ebenfalls dort vorgenommen und das Feld für Neuschnee jeden Morgen um 7^u nach der Messung gesäubert. Der Wassergehalt bezieht sich auf die Maßeinheit von 1 cm Schneehöhe, die betreffenden Zahlen sind also unter einander vergleichbar. Ein Sternchen am Datum bedeutet, daß die alte Schneedecke abgeschmolzen war und eine neue sich inzwischen gebildet hatte.

IV. Zusammenstellungen (S. 80—83).

Die meisten Angaben über den jährlichen und täglichen Verlauf der einzelnen Elemente sind schon in den Abschnitten II und III enthalten. Abschnitt IV bringt außer einigen Monatsmitteln, die sich an anderer Stelle nicht finden, nur eine Zusammenstellung der Jahresmittel aller Elemente und eine Übersichtstabelle der Monatsextreme der fünf Elemente Luftdruck, Temperatur, Dampfdruck, relative Feuchtigkeit und Windgeschwindigkeit. Beim Luftdruck, bei der Temperatur und der relativen Feuchtigkeit sind sowohl die Extreme der stündlichen Werte als auch die absoluten Extreme der Kurven mitgeteilt, für die Temperatur außerdem die Extreme nach den Ablesungen der Extremthermometer. Maxima der relativen Feuchtigkeit sind aus naheliegenden Gründen nicht berücksichtigt. Die Maxima und Minima des Dampfdrucks sind stündliche Werte, die Maxima der Windgeschwindigkeit beziehen sich auf ein Stundenintervall.

V. Lufterlektrisches Potentialgefälle (S. 84—96).

Zur Messung des lufterlektrischen Potentialgefälles dient ein Benndorfsches Elektrometer mit Wassertropf-Elektrode, das in einem Wellblechhäuschen auf der Beobachtungswiese aufgestellt ist. Die Abtropfstelle des Wasserkollektors befindet sich 1.6 m über dem Boden und 1.0 m von der Wand des Wellblechhäuschens entfernt. Das Wassergefäß wird automatisch nachgefüllt, indem bei niedrigem Wasserstand ein Schwimmer den Zuflußhahn elektromagnetisch öffnet. Die Quadrantenpaare des Elektrometers werden durch drei Bittersalz-Batterien von je 100 Elementen, entsprechend einer Gesamtspannung von 300 Volt aufgeladen. Sobald der Zeiger bei stärkeren elektrischen Störungen an die Ränder des Registrierstreifens gelangt, werden ungefähr $\frac{5}{6}$ der Batterie ausgeschaltet und die Empfindlichkeit des Systems wird dadurch auf etwa den sechsten Teil verringert. Im Jahre 1910 betrug der Skalenwert des Elektrometers bei der empfindlichen Schaltung 3.3 Volt pro mm, bei der unempfindlichen Schaltung 18 Volt pro mm. Der Reduktionsfaktor der Abtropfstelle auf der Wiese auf ein normales Feld wurde sowohl durch Vergleichen mit simultanen Registrierungen im Turme, dessen Abtropfstelle den Faktor 1.0 hat, als auch durch korrespondierende Beobachtungen auf annähernd

normalem Gelände, teils in der Nähe der Havel (Halbinsel Tornow) 1.5 km im Westen, teils auf den Nuthewiesen 1.5 km östlich vom Observatorium ermittelt. Er betrug:

Datum	Meßort	Zeit	Faktor	
			Ebene/Wiese	Turm/Wiese
17. III. 1910	Tornow	0 ^p	4.3	4.3
7. VIII. "	"	0 ^p	3.7	—
14. X. "	Nuthe	0 ^p	4.4	—
6. XII. "	"	0 ^p	4.6	—

Mit Rücksicht auf den täglichen Gang dieses Reduktionsfaktors und im Anschluß an den vorjährigen Wert wurde für das Jahr 1910 der Faktor 4.6 gewählt.

Die in den Tabellen S. 84—95 enthaltenen Zahlen sind Mittelwerte der einzelnen Stundenintervalle, die nach einem einfachen graphischen Verfahren gebildet worden sind.

In den Monatstabellen sind die ruhigen Tage (Tage mit Schönwetterelektrizität), d. h. niederschlagsfreie, im allgemeinen heitere Tage, an denen auch die Registrierkurven des Potentialgefälles keine besondere Störungen zeigten, wieder durch halbfetten Druck hervorgehoben, und nur aus ihnen sind auch die Tages- und Monatsmittel gebildet. *Kursiv* gesetzte Zahlen beziehen sich fast durchweg auf stark „gestörte“ Stunden, in denen die Breite des Registrierstreifens zur Aufzeichnung nicht ausreichte, so daß nur eine rohe Schätzung des Mittelwerts möglich war. Auf S. 96 sind die nach der Formel $(a + 2b + c) : 4$ ausgeglichenen Werte für den täglichen und jährlichen Gang des Potentialgefälles enthalten; auch den Kurvendarstellungen auf S. 96 liegen diese zugrunde.

Außer dem Potentialgefälle wurden 1910 auf der Beobachtungswiese die Eigenelektrizität der Niederschläge (vergl. diese „Ergebnisse“ Jahrgang 1908, S. X), die elektrische Leitfähigkeit der Luft (vergl. diese „Ergebnisse“ Jahrgang 1909 S. XIII) und seit Ende des Sommers die Bodenluft-Leitfähigkeit registriert. Die Aufzeichnungen der Leitfähigkeit der Luft, die sich vorher nur auf negativ polares Leitvermögen bezogen, wurden im Frühjahr 1910 auf beide Vorzeichen ausgedehnt. In Ergänzung des vorjährigen Berichtes über diese Registrierungen verdient hervorgehoben zu werden, daß sich Ende des Jahres Gelegenheit bot, die Übereinstimmung dieser Registriermethode mit dem Gerdien'schen Verfahren zur Messung der absoluten Leitfähigkeit festzustellen¹⁾. Herr Obolensky, welcher sich damals als Volontär am Observatorium befand, erhielt bei Vergleichung mit einem der Filchner'schen Südpolar-Expedition gehörigen Gerdien'schen Aspirationsapparat folgende Werte der Leitfähigkeit (λ in 10^{-6} E. S. E.).

Datum	Zeit	λ_+		Zeit	λ_-		
		Registr.	Gerdien		Registr.	Gerdien	
1910	13. XII.	11 ¹⁰ _a	32	30	11 ⁴⁰ _a	31	30
	14. XII.	10 ¹⁰ _a	17	19	10 ³⁰ _a	18	20
		10 ⁵⁰ _a	26	27	11 ²⁰ _a	24	25
	17. XII.	10 ⁴⁰ _a	46	57	10 ³⁰ _a	43	47
		11 ⁰ _a	57	61	10 ⁵⁰ _a	57	52
	19. XII.	10 ⁰ _a	47	52	9 ⁵⁰ _a	52	51
	Mittel:		37.5	41.0	Mittel:	37.5	37.5

Auch unter Berücksichtigung des Umstandes, daß die Messungen an sehr ruhigen Tagen ausgeführt wurden, kann man mit der Übereinstimmung recht zufrieden sein.

¹⁾ H. Gerdien, Ein neuer Apparat zur Messung der elektrischen Leitfähigkeit der Luft. Göttinger Nachr. 1905, 240—251, Physik. Zeitschr. VI. 1905, 800—801.

Messungen der neutralen Punkte der atmosphärischen Polarisation.

Von R. Süring.

Nachdem es sich gezeigt hat, daß der Polarisationsgrad und vor allem der Verlauf der neutralen Punkte der atmosphärischen Polarisation nicht nur von dem jeweiligen Witterungszustand und der Vermehrung des Staubgehalts infolge vulkanischer Eruptionen abhängen, sondern daß sie außerdem periodischen, säkularen Schwankungen unterliegen, schien es angebracht, möglichst fortlaufend Daten über die atmosphärische Polarisation zu sammeln. Insbesondere durch die ausgedehnten Messungen der Herren Busch-Arnsberg und Jensen-Hamburg ist in letzter Zeit viel Material beigebracht, aber dabei auch stets der Wunsch nach einer Vermehrung desselben ausgesprochen worden. Die Beteiligung der größeren meteorologischen Observatorien wird um so wünschenswerter sein, je mehr die Bemühungen des Herrn Jensen, Polarisationsmessungen aus den verschiedensten Klimagebieten zu erhalten, von Erfolg begleitet sein werden.

Mein Bericht bezieht sich nur auf die Messungen der neutralen Punkte der Polarisation, die sich rund 20° oberhalb der Sonne (Babinetscher Punkt) und oberhalb des Gegenpunktes der Sonne (Aragoscher Punkt) mit einem Savartschen Polariskop erkennen lassen; einige wenige Beobachtungen des Polarisationsgrades, die früher von mir mit Cornus Photopolarimeter und von meinem verstorbenen Vorgänger Sprung mit Martens' Polarisationsphotometer angestellt worden sind, sollen hier unberücksichtigt bleiben. Die jetzigen Bestimmungen der neutralen Punkte bilden gewissermaßen die Fortsetzung einiger von mir in den Jahren 1891 bis 1894 in Berlin, in Potsdam und auf dem Brocken angestellten Beobachtungen, welche veranlaßt waren durch eine Mitteilung von Busch über eine optische Störung der Atmosphäre Anfang 1891 und durch Buschs Aufforderung, dieser Erscheinung Beachtung zu schenken. Leider haben sich die Potsdamer Messungen nach 1893 infolge äußerer Umstände nicht fortsetzen lassen; da aber diese älteren Messungen besonders für die Erkennung des säkularen Ganges der neutralen Punkte einiges Interesse haben, sind sie hier mitgeteilt und mitbenutzt worden. Die Ergebnisse der Messungen von Berlin und vom Brocken finden sich am Schlusse des Anhangs mit den Einzelmessungen (S. XXVI).

Bezüglich des Instrumentariums ist folgendes zu bemerken: Zur Erkennung der Unterbrechung in den Polarisationsstreifen diente ein Savartsches Polariskop, das bei den ersten Messungen an einem einfachen Theodoliten (Meteoroskop) mit Kornvisier befestigt war. An Stelle des Theodoliten wurde zuweilen ein einfacher Höhenkreis, wie ihn von Bezold für Dämmerungsbeobachtungen empfohlen hat, benutzt. Die Visiervorrichtung besteht aus einem Stecknadelknopf als Korn und einem M förmig eingekerbten Blechstreifen auf der dem Auge zugekehrten Seite der Alhidade. Im Jahre 1909 begann ich die Messungen mit einem Pendelquadranten von der Art, wie ihn Herr Busch benutzt hat und wie er neuerdings von Herrn Jensen vervollständigt ist. Dieses von der Firma Dörffel und Faerber-Berlin aus Magnalium gebaute Instrument trägt auf der horizontalen Kante des Quadranten ein Kornvisier an dem einen Ende, einen horizontal ausgespannten Kupferfaden in der Mitte und das Polariskop am andern Ende. Die Teilung ist in halben Graden ausgeführt ($1^\circ = 4$ mm Länge), so daß $\frac{1}{10}^\circ$ bequem zu schätzen ist. Bei wechselndem Beobachtungsort, also namentlich auf Reisen, sowie für Messungen, die man schnell ausführen will, wird sich das Instrument voraussichtlich gut bewähren. Als sich jedoch

meine Messungen bald nach der Richtung hin ausdehnten, daß die Veränderungen des Aragoschen Punktes nach Sonnenuntergang besonders eingehend verfolgt wurden, wurden Azimutbeobachtungen zur Bestimmung des Sonnenvertikals vermißt. Wie weiterhin noch ausgeführt wird, können Fehler in der Höhe des Aragoschen Punktes bis zu 3° entstehen, wenn man 5° zu weit nach Süd beobachtet; außerdem fällt die tiefste Stelle des Aragoschen Punktes — oder besser gesagt des Aragoschen Bogens — nicht immer mit dem Sonnenvertikal zusammen. Ich kehrte daher zur Benutzung eines Theodoliten zurück. Das Observatorium besaß bereits einen von der Firma Otto Toepfer-Potsdam sehr stabil und sorgfältig gebauten einfachen Theodoliten, der für verschiedenartige Beobachtungen (Wolkenhöhenbestimmungen, spektroskopische Bestimmungen der Nordlichtlinie) dienen sollte. Zu dem Zwecke trägt er an der einen Seite der horizontalen Achse ein Fernrohr von achtfacher Vergrößerung, während die andere Seite einen Halter hat, in welchem ein Lochvisier, ein Spektroskop oder dergl. angebracht werden kann. Für Polarisationsmessungen habe ich die aus bestehender Figur 1 ersichtliche Visiervorrichtung in den Halter einsetzen lassen. Das mittlere Visier ist ebenso wie bei Jensen konstruiert, dagegen ist statt des Kornvisiers ein großes Fadenkreuz in einem Rahmen von 75 mm Seitenlänge gewählt. Das Gesichtsfeld ist auf diese Weise vollkommen ausreichend groß, und es wird vermieden, daß bei schwacher Beleuchtung der Visierknopf den neutralen Punkt verdeckt. Das Polariskop befindet sich in einer Fassung in welche auch ein Lochvisier zu Kontrollmessungen eingesetzt werden kann. Für Azimut-Einstellungen wird das Fernrohr benutzt, vor dessen Objektiv ein Rauchglas zum Schutze gegen die Sonnenstrahlen gesetzt ist.

Die im Polariskop benutzte Turmalinplatte ist ziemlich hell; es erschwert das etwas die Messungen in der Umgebung der Sonne, ist aber von Vorteil bei vorgeschrittener Dämmerung. Ein Auswechseln der Polariskope im Verlaufe der Messung würde vielleicht zweckmäßig sein. Die hier mitgeteilten Beobachtungen sind sämtlich von mir selbst angestellt, so daß sie in sich einheitlich sind, jedoch ist die Ausbildung der neutralen Punkte manchmal so schwach, daß eine individuelle Auffassung wohl nicht immer zu vermeiden ist. Um sich hiervon möglichst frei zu machen, sind immer drei unabhängige Einstellungen rasch hintereinander gemacht, und das Mittel hieraus galt als eine Beobachtung, wie sie in dem anhangsweise mitgeteilten Journal aufgeführt ist. Die Übereinstimmung der Einstellungen in sich gibt dann schon ein ungefähres Maß für die Genauigkeit; überdies ist meist noch eine Notiz über die Schärfe der neutralen Punkte gemacht worden. Die Genauigkeit der aus 3 Einzelmessungen bestehenden Beobachtungen des Aragoschen Punktes beträgt etwa 0.03; für den Babinetschen Punkt ist sie nur halb so groß. Zuweilen war die Übereinstimmung der Einstellungen ganz unbefriedigend, und es ist dann die Beobachtungsreihe abgebrochen worden. Manchmal kommen allerdings innerhalb weniger Minuten Höhenschwankungen von mehreren Graden vor, die reell sind und vermutlich mit ganz feinen Wolkenbildungen zusammenhängen.

Die Potsdamer Messungen wurden auf dem kleinen Turme des Meteorologischen Observatoriums angestellt ($\varphi = 52^{\circ} 23' N$, $\lambda = 13^{\circ} 4' E$, $H = 103$ m, Höhe oberhalb des umliegenden Geländes ca. 25 m); nach W ist viel Wald, zwischen dem die seenartig erweiterte Havel fließt, vorgelagert, während nach

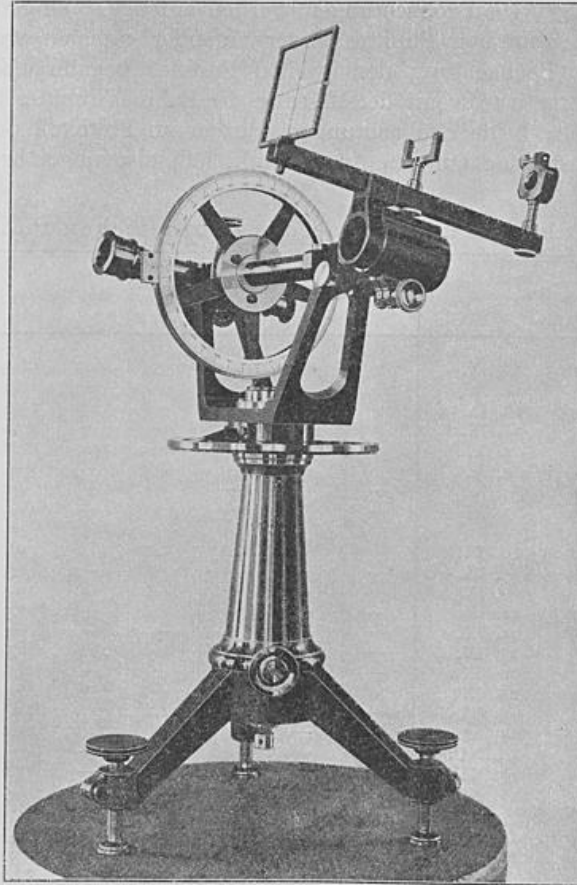


Fig. 1.
Theodolit mit Einrichtung zur Messung der neutralen Punkte.

zugehörigen Sonnenhöhenwerte wurden bis 1910 direkt berechnet unter Benutzung von Interpolationen; seit 1910 diente hierzu eine dem Astrophysikalischen Observatorium in Potsdam gehörige, von Herrn Professor Kempf für photometrische Zwecke berechnete Tabelle der Zenitdistanzen, welche nach Intervallen von 1° für die Deklination und von 1 Minute für die Zeit fortschreitet.

I. Abstände der neutralen Punkte bei verschiedenen Sonnenhöhen, säkularer Gang.

In den Tabellen IA und IB ist das Potsdamer Beobachtungsmaterial nach Sonnenhöhen geordnet zusammengestellt. Da hier in erster Linie die Abhängigkeit der Höhe der neutralen Punkte von der Sonnenhöhe bei Sonnenuntergang zur Anschauung gebracht werden soll, so sind die wenigen Beobachtungen bei Sonnenhöhen über 6.5 und unter -6.05 fortgelassen worden.

Da durchschnittlich in Abständen von 5 Minuten beobachtet ist — entsprechend rund 0.06 Unterschied der Sonnenhöhe bei Sonnenuntergang —, so fallen im allgemeinen eine bis zwei Beob-

Tabelle IB. Abstand des Aragoschen Punktes vom Gegenpunkte der Sonne. Potsdam.

Sonnenhöhe Datum		6.5	5.5	4.5	3.5	2.5	1.5	0.5	-0.5	-1.5	-2.5	-3.5	-4.5	-5.5	-6.5
		1893	21. IX.	—	—	—	22.0	21.6	23.3	20.9	21.4	21.9	21.9	20.2	25.0
	24. IX.	—	—	—	—	—	22.2	22.8	21.7	—	—	22.6	—	—	—
	26. IX.	—	—	—	—	24.1	21.9	22.0	21.6	21.4	19.8	20.9	22.5	—	—
	28. IX.	—	—	—	—	—	22.8	22.1	21.2	21.3	22.1	21.1	24.0	—	—
	2. X.	—	—	—	—	23.8	23.4	23.0	23.0	22.9	22.7	22.2	25.0	—	—
	4. X.	—	—	—	—	—	—	—	23.0	23.4	23.0	—	22.2	—	—
	9. X.	—	—	—	—	—	—	20.4	19.9	20.8	20.2	19.5	—	—	—
	1. XI.	—	—	—	—	—	—	21.9	22.0	21.8	22.8	—	—	—	—
1909	10. VIII.	—	—	—	—	—	—	—	24.4	—	—	—	—	—	—
	23. VIII.	—	22.7	—	—	—	—	—	—	—	—	—	—	—	—
	5. IX.	—	—	—	—	—	20.9	20.6	—	—	18.6	—	—	—	—
	9. IX.	—	—	—	—	—	23.9	—	—	18.7	19.0	19.3	20.2	25.0	27.7
	11. IX.	—	—	—	—	—	20.1	19.6	18.7	18.8	20.0	22.3	22.3	23.3	—
	21. IX.	—	—	—	—	—	—	—	18.5	17.3	16.8	19.4	24.0	26.6	27.8
	22. IX.	—	—	—	—	—	—	20.1	19.9	—	21.0	25.0	26.1	29.3	28.3
	26. IX.	—	—	—	—	—	—	16.8	—	—	—	—	—	—	—
	28. IX.	—	—	—	—	—	—	—	18.4	19.6	19.8	20.0	22.5	23.8	29.2
	9. XI.	—	—	—	22.5	22.2	20.6	19.8	19.8	19.5	20.7	20.5	—	—	—
	25. XI.	—	—	—	—	—	19.1	18.0	17.0	19.0	18.8	—	—	24.0	—
	15. XII.	—	—	—	—	—	—	—	—	20.0	19.1	20.5	23.2	—	—
	17. XII.	—	—	—	—	—	19.2	18.1	—	—	18.7	19.1	21.5	24.1	—
1910	26. I.	—	—	—	—	22.4	21.7	21.6	20.9	21.6	21.0	21.9	—	—	—
	21. III.	—	—	21.2	21.5	21.3	21.4	20.0	19.4	20.3	20.0	—	—	—	—
	1. IV.	—	—	—	23.2	22.0	23.8	22.0	21.8	19.9	21.1	22.3	21.9	—	—
	2. IV.	—	—	—	21.2	19.9	20.2	20.4	19.7	19.1	18.5	21.8	23.4	—	—
	3. IV.	22.5	22.1	—	—	21.5	20.8	21.0	21.2	20.1	19.5	20.2	—	—	—
	4. IV.	22.3	—	—	22.1	21.8	22.1	20.8	21.9	19.6	21.2	21.8	22.6	—	—
	14. IV.	—	—	—	21.3	20.2	19.2	—	—	—	18.0	18.6	21.1	—	—
	16. IV.	—	—	—	—	20.7	20.8	20.1	20.3	20.0	20.2	22.3	26.6	—	—
	21. V.	—	—	—	22.0	22.6	22.1	20.3	20.2	19.7	—	21.1	—	—	—
	22. V.	—	—	—	—	22.5	22.4	22.4	21.9	—	—	22.4	25.7	28.4	—
	23. V.	23.9	20.7	—	—	20.8	19.6	19.9	—	20.5	21.6	22.3	—	—	—
	24. V.	—	—	—	—	22.4	23.3	—	21.8	22.7	21.0	20.8	22.0	—	—
	26. V.	—	23.8	23.6	23.9	—	—	22.1	22.3	21.4	22.4	23.2	—	—	—
	18. VI.	—	—	—	—	—	—	24.7	24.0	24.9	24.8	22.1	—	—	—
	17. VIII.	—	—	25.5	23.8	22.9	21.9	21.4	21.6	23.5	25.1	—	—	—	—
	27. VIII.	—	—	26.6	26.0	24.8	—	—	21.3	22.5	22.7	25.0	—	—	—
	4. IX.	—	—	—	—	22.9	—	22.6	22.2	21.8	20.4	—	—	—	—
	14. IX.	—	—	—	—	—	23.2	22.7	21.7	21.0	21.6	22.3	—	—	—
	15. IX.	—	—	—	—	24.2	23.4	23.0	22.6	21.9	22.0	23.1	23.2	—	—
	22. IX.	—	—	—	—	—	—	—	21.0	21.3	21.5	23.2	24.5	27.1	—
	16. X.	—	—	—	22.1	22.0	22.4	22.0	21.4	21.6	21.9	24.0	27.8	—	—
	17. X.	—	—	23.1	—	—	—	22.4	21.8	21.5	—	—	—	—	—
	26. XI.	—	—	—	—	22.2	21.5	20.9	—	—	20.7	22.7	25.0	—	—
	12. XII.	—	—	—	—	—	—	21.9	21.9	22.3	23.5	25.4	—	—	—
	21. XII.	—	—	—	—	21.9	21.9	22.0	21.4	21.4	22.6	—	—	—	—
1911	3. III.	—	—	—	—	—	—	20.5	20.9	21.3	22.6	—	—	—	—
	20. III.	—	22.7	23.1	22.8	22.5	22.4	22.3	22.1	21.8	22.2	22.2	—	—	—
	28. III.	24.6	24.0	25.3	24.8	24.0	22.9	20.2	20.2	19.8	20.8	—	—	—	—

achtungen in das Intervall eines Grades. Entsprechend dem Vorgange von Busch, Sack und Jensen¹⁾ sind die Messungen innerhalb dieses Intervalls in der Rubrik 0.05, 1.05 usw. eingetragen ohne Reduktion auf die Mitte dieses Intervalls. Bei der Mittelbildung in Tabelle II ist jedoch, abweichend von den genannten Forschern, auf die Zahl der Beobachtungen bei verschiedenen Sonnentiefen Rücksicht genommen, indem die einzelnen Werte in Abweichungen vom Abstand der neutralen Punkte zwischen 0 und -10 Sonnenhöhe ausgedrückt und hieraus Mittel gebildet wurden. Um solche Gänge auch aus einigen nicht ganz vollständigen Reihen bilden zu können, sind einige Werte linear interpoliert und in den Tabellen I durch kursiven Druck kenntlich gemacht worden.

Auf den ersten Blick erkennt man die verschieden großen Sonnenabstände des Babinet-Punktes 1893 und 1909/11. Es spricht sich hier die Beziehung zu den Sonnenflecken-Relativzahlen sehr deutlich aus: 1893 war ein Maximum der Sonnenflecken, während wir uns gegenwärtig nahe dem Minimum befinden. 1893 gehen die Abstände des Babinet-Punktes bei Sonnenhöhen zwischen 0 und -10 nicht unter 24¹/₂⁰, während sie 1909/11 zwischen 16.02 und 22.05 schwanken. Die Werte des Jahres 1893 stimmen untereinander sehr gut überein; allerdings rühren sie zum größten Teil aus der gleichen

Tabelle II. Mittelwerte der Abstände der neutralen Punkte von der Sonne, bzw. dem Gegenpunkte der Sonne.

Sonnenhöhe	Babinets Punkt							Aragos Punkt						
	Berlin Sept.-Nov. 1891	Potsdam Sept.-Nov. 1893	Brocken Dez. 93—Febr. 94	Potsdam Aug.-Sept. 1909	Potsdam Winter 1909/10	Potsdam Sommer 1910	Potsdam Winter 1910/11	Berlin Sept.-Nov. 1891	Potsdam Sept.-Nov. 1893	Brocken Dez. 93—Febr. 94	Potsdam Aug.-Sept. 1909	Potsdam Winter 1909/10	Potsdam Sommer 1910	Potsdam Winter 1910/11
6.5						17.5							25.9	22.1
5.5						16.5							24.1	21.5
4.5				14.2		17.4							23.9	23.3
3.5		24.1		14.9	17.8	17.6	16.8	22.2	23.3	23.9		21.5	23.2	22.9
2.5		24.8		15.1	17.7	18.3	18.6	22.2	22.9	25.4		21.6	22.6	22.5
1.5	23.0	25.3	25.4	15.3	18.7	18.8	19.3	21.8	22.6	24.2	20.7	20.9	22.4	22.2
0.5	23.3	26.6	25.5	16.4	18.7	19.2	19.7	21.4	22.0	23.4	20.3	20.0	21.8	21.5
-0.5	23.8	26.8	27.3	17.4	18.7	19.5	19.9	21.1	21.7	23.0	19.7	19.4	21.7	21.3
-1.5	24.8	26.9	27.1	16.1	18.9	19.3	20.1	20.5	21.9	24.1	19.7	20.2	21.3	21.3
-2.5	24.9	26.7	28.7	15.9	19.1	19.0	20.3	20.7	21.8	25.0	20.0	20.2	21.7	22.2
-3.5	24.5	25.7		16.9	18.7	19.4	20.6	20.6	21.6	27.0	21.9	20.8	22.7	23.7
-4.5		23.1		17.3	19.1	19.9	21.7	21.3	24.6	26.7		23.7	23.4	24.4
-5.5				19.6	19.0	20.0				26.3	26.3	26.0	27.0	26.7
-6.5										28.3				

Zahl der Fälle.

6.5						1							2	1
5.5						1							1	2
4.5				1		1				3		1	3	2
3.5		1		1	1	4	1	1	1	3		2	7	3
2.5		3		2	3	7	3	1	3	3		3	13	5
1.5	1	4	1	4	3	9	6	4	5	5	2	5	13	6
0.5	6	7	2	4	5	10	7	6	7	6		4	14	7
-0.5	12	8	3	8	5	16	8	10	8	7	6	5	20	7
-1.5	6	7	4	4	5	11	5	6	7	7	3	4	15	6
-2.5	5	7	3	5	5	9	4	4	7	7	4	5	15	6
-3.5		8		4	3	7	2	4	5	3	5	4	14	4
-4.5	3	6		4	3	4	2	1	4	2	5	2	8	2
-5.5				3	1	1					5	1	2	
-6.5											4			

¹⁾ Mit Ausnahme der fundamentalen Arbeit von Busch: Beobachtungen über die atmosphärische Polarisation (Jahresbericht über das kgl. Laurentianum zu Arnsberg 1889—1890) Arnsberg 1890 und einiger zusammenfassenden Darstellungen sind alle neueren hierher gehörigen Arbeiten deutscher Forscher in der Meteor. Zeitschr. veröffentlicht worden, und zwar von Busch in Meteor. Zeitschr. III, 1886, 532—539; VI, 1889, 81—95; VIII, 1891, 305—306; XIII, 1896, 158—159; XX, 1903, 317—319; XXII, 1905, 248—254; XXIV, 1907, 351—355; XXV, 1908, 412—414; von Sack Meteor. Zeitschr. XXI, 1904, 105—112; XXIII, 1906, 348—351; von Jensen Met. Zeitschr. XVIII, 1901, 545—558; XXIV, 1907, 185—187. Das zusammenfassende Werk von Busch und Jensen: Tatsachen und Theorien der atmosphärischen Polarisation (Hamburg 1911) kam erst nach Erledigung der ersten Korrektur der vorliegenden Arbeit in meine Hände.

Witterungsepoche (Ende Sept. bis Mitte Okt.) her. In der neueren Reihe zeichnen sich besonders der 9. XI. 1909 und 1. IV. 1910 durch hohe Sonnenabstände aus, ohne daß eine gleichartige Ursache zu erkennen wäre. In beiden Fällen ist im Tagebuch vermerkt, daß die neutralen Punkte gut erkennbar waren, so daß Messungsfehler nicht anzunehmen sind.

Der Aragosche Punkt erleidet — wie schon bekannt — im Laufe der Jahre viel geringere Schwankungen als Babinets Punkt. An den einzelnen Tagen zeigen die Abstände des Aragoschen Punktes vor Sonnenuntergang auch gute Übereinstimmung (besonders hohe Werte 17. VIII., 27. VIII. 1910, 28. III. 1911), dagegen treten nach Sonnenuntergang sehr häufig sprungweise Änderungen ein. Da die Messung um diese Zeit außerordentlich genau ist, so haben wir es hier mit tatsächlichen Verhältnissen zu tun, auf die weiterhin noch näher eingegangen werden soll.

Die Beziehungen zwischen Sonnenhöhen und neutralen Punkten treten noch besser aus den Mittelwerten in Tabelle II hervor.

Unter Berücksichtigung der Beobachtungen in Berlin und auf dem Brocken hat die von Busch 1891 angekündigte optische Störung erst Ende 1893 oder Anfang 1894 ihren Höhepunkt erreicht. Für eine Sonnenhöhe von -0.05 erlangt auch nach Busch Babinets Punkt Anfang 1894 sein Maximum (Mittelwert für Arnberg Dez. 93—Febr. 94: 25.03). Leider habe ich zwischen 1891 und 1894 nur an zwei Tagen gleichzeitig mit Busch in Arnberg gemessen; diese Werte ¹⁾ stimmen aber für die Sonnenhöhe zwischen 0 und -1° gut überein. Es wurde beobachtet:

Arago-Punkt		Babinet-Punkt	
Berlin 22. X. 91	20.09	Brocken 21. II. 94	21.06
Arnberg . . .	21.03	Arnberg	20.02
		Brocken 21. II. 94	27.07.
		Arnberg	26.04.

Seit August 1909 sind die Sonnenabstände des Babinetschen Punktes ziemlich gleichmäßig angestiegen. Etwas sprungweise ist der Anstieg zu Beginn des Jahres 1910, nämlich $1\frac{1}{2}$ bis 2° im Laufe eines halben Jahres. Eine Abhängigkeit von der Jahreszeit ist nicht erkennbar.

Mit älteren Messungen scheinbar nicht gut in Übereinstimmung ist die Beziehung der Höhe des Babinet-Punktes zur Sonnenhöhe. Nach Busch fällt der Maximalabstand auf eine Sonnenhöhe von -0.05 . Zwar wird 1909—1911 der Sonnenabstand auch größer bis Sonnenuntergang, aber es wird in der Regel nur ein sekundäres Maximum bei -0.05 erreicht; das absolute Maximum tritt erst bei Schluß der Messung (rund 5° Sonnentiefe) ein. Im Winter 1910/11 fehlt das sekundäre Maximum überhaupt. Die Einzelmessungen zeigen, daß das Anwachsen des Babinet-Punktes nach Sonnenuntergang dann am deutlichsten ausgeprägt ist, wenn eine dichte Dunst- oder Wolkenschicht am W-Horizont liegt; daß dagegen ein Sinken des neutralen Punktes bei reinen Sonnenuntergängen oder kurze Zeit vor stärkeren Witterungsumschlägen stattfindet. Möglicherweise spielen hier auch örtliche Verhältnisse eine Rolle; am Westhorizont des Observatoriums kann der normale Zustand der Atmosphäre durch die großen Wasserflächen der Havel und — besonders im NW, also im Sommer — durch eine von der Stadt Potsdam her sich ausbreitende Dunstschicht beeinflusst sein. Schließlich kann auch Verstärkung der sekundären Diffusion an den staffelweise ausgebreiteten Wolken- oder Dunstschichten der Atmosphäre eintreten; derartige Zustände lassen sich jedoch leichter am Gange des Aragoschen Punktes untersuchen und sollen daher weiter unten besprochen werden. Bemerkenswert ist ferner, daß sich das Maximum des Sonnenabstandes des Babinet-Punktes in den Jahren 1891 bis 1894 auf -1.05 bis -2.05 Sonnenhöhe verschiebt, sowie daß ein doppeltes Maximum dieses Abstandes nur vereinzelt auftritt und im Mittel ganz verschwindet. Auf dem Brocken lag allerdings bei den wenigen hier möglichen Messungen stets eine 600 bis 1100 m hoch hinaufreichende Wolken- oder Dunstschicht unter dem Horizont.

Sieht man die Beobachtungen des Babinet-Punktes von Busch und Sack durch, so findet man auch dort merkwürdige Verschiedenheiten. Hiernach sind die zeitlichen Verschiebungen des Maximalabstandes bei optischen Störungen anscheinend nicht die gleichen, 1886/87 trat das Maximum nach Busch bei -0.05 Sonnenhöhe ein, 1903/04 nach Busch bei $+2.05$, nach Sack bei $+1.05$; nach Sonnenuntergang wurde der Abstand in diesem Jahre sehr rasch kleiner und erreichte manchmal schon kurz nach Sonnenuntergang bei etwa -4° den normalen Wert anderer Jahre. Der rascheste Abfall fällt nach Busch gerade in die Zeit, in welcher die unteren Luftschichten der direkten Bestrahlung durch die Sonne entzogen werden und die Diffusion der zweiten Ordnung stärker zur Geltung kommt.

¹⁾ Busch, Die neutralen Punkte von Arago und Babinet und die Sonnenfleckenrelativzahlen seit 1886. Meteor. Zeitschr. XIII, 1896, 159.

Für die störungsfreien Jahre ist über den Gang des Babinet-Punktes nach Sonnenuntergang nur Beobachtungsmaterial von Busch aus den Jahren 1888 und 1889 vorhanden. Beide Jahre zeigen — ebenso wie in Potsdam 1909 und 1910 — ein Maximum kurz nach Sonnenuntergang und ein zweites beim Verschwinden des neutralen Punktes mit einem Minimum bei etwa -3° bis -4° Sonnenhöhe¹⁾. Da es sich hier vermutlich um Wirkungen der sekundären Diffusion an Teilchen der unteren Atmosphärenschichten handelt, so werden Beobachtungen nach Sonnenuntergang für Untersuchungen über die Abhängigkeit der Lage der neutralen Punkte von der Wetterlage von besonderem Werte sein.

Die mittleren Abstände des Arago-Punktes von der Sonne erreichen ihr Maximum meist bei -0.95 Sonnenhöhe. Nach den Beobachtungen von Busch und Sack in den Jahren 1903 und 1904 hätte man 1891/93 eine Verschiebung auf -1.05 Höhe erwarten sollen; sie zeigt sich jedoch nur in Berlin 1891. Von besonderem Interesse scheint mir das plötzliche Anwachsen des Arago-Punktes bei etwa -4° Sonnenhöhe zu sein. Dieses Ansteigen erfolgt in der Regel sprunghaft, z. B. 21. und 22. IX. 1909, und zwar um 3 bis 4° bei Änderung der Sonnenhöhe um 1° , und steigt dann weiter langsam an. Liegt der erste Sprung ziemlich niedrig — etwa bei -3° , so tritt zuweilen eine zweite Unstetigkeit unterhalb von -5° auf. Eine zeitliche Übereinstimmung mit der größten Intensität des ersten Purpurlichts ist in manchen Fällen erkennbar; es scheint jedoch, daß die Sprünge in den Punkt-Abständen auch ohne Purpurlicht auftreten, so daß also beide Phänomene nur indirekt miteinander zusammenhängen. Genauere Feststellungen waren wegen der Unvollkommenheit meiner Beobachtungen des Purpurlichts nicht möglich; rasch hintereinander vorgenommene Messungen der neutralen Punkte machen nämlich das Auge zu unempfindlich für ein genaues Verfolgen des Purpurlichts.

Diese sprunghaften Änderungen des Arago-Punktes — auch der Babinet-Punkt zeigt ähnliche, meist entgegengesetzt gerichtete Störungen — scheinen damit zusammenzuhängen, daß die Strahlen der untergegangenen Sonne stärker diffundieren, sobald sie eine Zone der Atmosphäre treffen, in welcher Wolken- oder Staubteilchen in größerer Menge zusammengedrängt sind. Sobald eine solche Schicht überwunden ist, springt der Arago-Punkt an. Nun ist aber bekannt, daß gerade bei klarem Wetter die Tendenz zu schichtförmiger Struktur der Atmosphäre sehr stark ausgeprägt ist. Bei Berechnung des Strahlenganges bei tiefstehender Sonne bietet die Berücksichtigung der Refraktion große Schwierigkeiten.

Eine genaue Berechnung der Refraktionswirkung bei tiefstehender Sonne ist nicht möglich, so lange nicht die atmosphärischen Zustände in allen Einzelheiten bekannt sind. Die nachfolgenden angenäherten Bestimmungen verdanke ich dem zurzeit am Observatorium beschäftigten Astronomen Herrn Dr. Hans G. Wolff.

Für die Höhe der Atmosphärenschicht h , welche der Beobachter in der Zenitdistanz ζ sieht und welche von den Strahlen der untergegangenen Sonne noch gerade getroffen wird, hat u. a. Jesse²⁾ die Formeln abgeleitet:

$$h = (\sec \beta - 1) r$$

$$\operatorname{tg} \beta = \frac{\sin \zeta - \sin (\zeta + \alpha)}{\cos (\zeta + \alpha)},$$

wo r den Erdradius und α die Sonnenhöhe bedeutet. β ist der vom Erdmittelpunkt gerechnete Winkel zwischen dem Punkt o , wo der letzte Sonnenstrahl die Erdoberfläche berührt und dem Punkt P der Atmosphärenschicht, welcher in einer vom Beobachter gesehenen Zenitdistanz ζ noch gerade von der Sonne getroffen wird. Jesse berücksichtigt (a. a. O. S. 128) die Refraktion mit dem doppelten Betrage der Horizontalrefraktion ($R_h = 35'$), so daß die wegen Refraktion verbesserte Sonnenhöhe wird:

$$\alpha' = \alpha + 1.02.$$

Bei kleinen Werten von α und großen ζ — für die neutralen Punkte beträgt ζ 65 bis 70° — ist es nicht angängig, die doppelte Horizontalrefraktion von der Depression der Sonne abzuziehen, da der Weg, welchen der Lichtstrahl vom Beobachtungspunkt P bis zur Grenze der Atmosphäre zurücklegt, verhältnismäßig groß ist gegenüber der Weglänge vom Berührungspunkt mit der Erdoberfläche o bis

¹⁾ Die in dem eben erschienenen Buch von Busch und Jensen: »Tatsachen und Theorien der atmosphärischen Polarisation« S. 246 mitgeteilten Beobachtungen Jensens aus dem Jahre 1909 ergeben gleichfalls ein Maximum des Punktabstandes beim Verschwinden von Babinets Punkt.

²⁾ O. Jesse, Die Höhe der Dunstschicht, durch welche die merkwürdigen Dämmerungs-Erscheinungen der letzten Monate hervorgerufen worden sind. Meteor. Zeitschr. I, 1884, 127.

P. Die Refraktion des ersteren Wegstückes muß in Abzug gebracht werden, und zwar wird man den Abzug proportional der Luftdichtigkeitsabnahme bei P setzen können. Die Gesamtrefraktion wird alsdann:

$$R = R_h + R_h \left(1 - \frac{b}{760}\right),$$

wo b der Luftdruck in der Höhe der Atmosphärenschicht bei P ist. Die verbesserte Sonnenhöhe ist:

$$\alpha'' = \alpha + 1.02 - 0.06 \frac{b}{760}.$$

Unter dieser Annahme ergeben sich folgende Beziehungen zwischen Sonnenhöhe α und Höhe der bei einer Zenitdistanz ζ noch bestrahlten Atmosphärenschicht h:

ζ	α	mit doppelter Horiz.-Refr.		mit Refr., korrigiert wegen Luftdichte	
		α'	h'	α''	h''
69.5	-0.5	—	—	—	—
69.4	-1.5	-0.3	0.2 km	-0.8	0.6 km
69.0	-2.5	-1.3	1.7	-1.6	2.4
67.7	-3.5	-2.3	4.7	-2.5	5.7
65.5	-4.5	-3.3	9.4	-3.4	9.4
63.7	-5.5	-4.3	16.3	-4.3	16.3

Einem Unterschiede in der Zenitdistanz des Punktes P von 5° entspricht erst bei 10 km ein Höhenunterschied von 0.7 km.

Gemäß diesen Überlegungen ist das erste Höhenmaximum des Babinet-Punktes bzw. das Minimum des Arago-Punktes bei rund -1° Sonnenhöhe dem Durchstrahlen der untersten Staubschichten in der Atmosphäre zuzuschreiben. Zwischen -1.95 und -3.95 Höhe machen sich Sprünge des Arago-Punktes nur in den Einzelmessungen bemerkbar, aber unterhalb von -3.95 zeigt sich der Übergang zu rascherem Anstieg des Punktes auch in den jahreszeitlichen Mitteln. Man wird diese Änderungen im Wachsen des Arago-Punktes wohl damit in Zusammenhang bringen können, daß hier die große Schichtgrenze — die effektive Strahlungsoberfläche nach Humphreys — überwunden ist, welche oberhalb von 4000 m liegt. In derselben Weise ist das sekundäre Minimum für die Höhe des Babinet-Punktes bei durchschnittlich -3° Sonnenhöhe zu erklären. Bei Sonnenhöhen unter -5° setzt dann die Wirkung der oberen Inversionsschicht (rund 11 km Höhe) ein; sie ist am Babinet-Punkt kenntlich durch auffallend niedrige Werte, z. B. 11. IX. 1909, 22. IX. 1909, 9. XI. 1909, am Arago-Punkt durch verstärktes Anwachsen seines Sonnenabstandes.

Auch für die Erklärung des Purpurlichtes, das ebenfalls häufig plötzlich aufleuchtet, wird es einen Fortschritt bedeuten, wenn man mit den Schichtgrenzen in der Atmosphäre rechnet, anstatt daß man annimmt, daß die diffundierenden Stoffteilchen von unten nach oben immer kleiner werden. Analoge Betrachtungen hat kürzlich A. Wegener¹⁾ angestellt, indem er die Lage des oberen Dämmerungsbogens in Beziehung setzte zu dem Dichtigkeitssprung in der Atmosphäre bei ca. 11 km Höhe.

II. Beziehung der Lage der neutralen Punkte zu Witterungszuständen.

Bei den mannigfachen Störungen, welche der Gang der neutralen Punkte durch Wolken und Dunstschichten erleidet, ist es von vornherein unwahrscheinlich, daß diese Punkte ein wesentliches und selbständiges Hilfsmittel für die praktische Witterungskunde liefern. Die Himmelhelligkeit des Beobachtungsorts und damit die Polarisationserscheinungen können durch eine rasch wechselnde, aber günstige Wolkenposition mehr beeinflußt werden als durch umfangreiche Trübungen der Atmosphäre, welche Witterungsveränderungen bedingen. Aus diesem Grunde wird es auch wohl aussichtslos sein, älteres umfangreiches Beobachtungsmaterial rein statistisch zu bearbeiten; die während der Messungen gemachten Aufzeichnungen über den Himmelszustand werden immer die hauptsächlichste Unterlage für Untersuchungen dieser Art bilden.

Die folgenden Erörterungen beziehen sich fast ausschließlich auf meine Potsdamer Beobachtungen 1909—1911; ältere Messungen sind nur gelegentlich zur Ergänzung herangezogen. Der Gang der Unter-

¹⁾ A. Wegener, Untersuchungen über die Natur der obersten Atmosphärenschichten. Phys. Zeitschr. XII, 1911, 171.

suchung war der, daß einerseits das Mittel der bisherigen Beobachtungen (Tabelle II) als angenähertes Maß dafür benutzt wurde, ob die Bestimmungen eines Tages erheblich vom Durchschnitt abwichen, und daß andererseits die Änderungen der Punktabstände von der Sonne im Laufe der einzelnen Tage diskutiert wurden.

Der Einfluß des Staubgehaltes in mittleren Höhen wird sich am deutlichsten in der Windrichtung aussprechen. Bei Westwinden nimmt die Windstärke nach oben durchschnittlich viel rascher zu als bei Ostwinden; bei letzteren tritt häufig in der Höhe Winddrehung bis 180° ein, so daß Ostwind der Staubansammlung günstig ist. Staub wird aber nach den bisherigen Erfahrungen besonders den Babinet-Punkt heben. Als Abweichung der Sonnenabstände der neutralen Punkte von den Durchschnittswerten ergab sich:

Wind:	E	W	N	S
Babinet-Punkt:	+ 1.0	+ 0.2	+ 0.4	- 0.05
Arago-Punkt:	- 0.7	+ 0.1	+ 0.7	- 0.09

Die relativ hohe Lage des Babinet-Punktes bei Ostwinden ist auch in den Einzelfällen sehr deutlich ausgeprägt; weniger klar — sowohl dem Grade wie der Häufigkeit nach — die negative Abweichung des Arago-Punktes. Babinet- und Arago-Punkt scheinen sich überhaupt in der Weise zu unterscheiden, daß bei ersterem die stärkeren Störungen meist nach der positiven Seite liegen, während die negativen Abweichungen zwar häufiger, aber durchschnittlich kleiner sind; beim Arago-Punkt ist es umgekehrt. Da kleinere und schwankende Abweichungen mit Rücksicht auf die geringe Sicherheit des zugrunde liegenden Normalwertes einfach als Null bezeichnet sind, so überwiegt bei den obigen Zahlen für den Babinet-Punkt das positive Vorzeichen, für den Arago-Punkt das negative. Eine Ausnahme ist insofern vorhanden, als alle beide Punkte zuweilen Abweichungen von rund -2° zeigen, wenn eine barometrische Depression von W herannaht und in Begleitung von Regen im N vorbeizieht (25. XI. 1909, 17. XII. 1909, 16. IV. 1910). Ähnliches hat auch schon Busch gefunden; nach ihm läßt auffälliges Sinken des Babinet-Abstandes (2 bis 3°) baldige Bewölkung erwarten. Diese Regel trifft aber durchaus nicht immer zu. Am 22. V. 1910 lag bis Sonnenuntergang der Babinet-Punkt 1 bis 3° zu tief, ohne daß eine Witterungsänderung eintrat. Die Depression des Arago-Punktes scheint in dieser Beziehung ein noch besseres Kriterium zu sein. Es darf auch nicht verschwiegen werden, daß sich der Verlauf beider Punkte gerade vor Regenwetter häufig durch außerordentliche Regelmäßigkeit auszeichnet (21. III. 1910).

Die starken positiven Abweichungen der Abstände des Babinet-Punktes an der Südseite der Hochdruckgebiete (6 Fälle) erklären sich ungezwungen dadurch, daß dann östliche Winde mit staubhaltiger Luft vorherrschen. Ebenso ist es verständlich, daß eine größere positive Störung am folgenden Tage verschwindet, wenn sich der Ostwind verstärkt und eine Depression sich in der Nähe entwickelt (1. IV. 1910). Positive Störungen des Arago-Punktes zeigen sich meist dann, wenn der Beobachtungsort am Westrande eines weit nach S sich erstreckenden Maximums oder in einer Luftdruckfurche mit nördlichen Winden lag (10. VIII. 1909, 9. IX. 1909, 18. VI. 1910); der Himmel klarte dann in der Regel noch weiter auf. Aber auch in diesen Fällen ist eine selbstständige Prognose aufgrund solcher Anzeichen nicht möglich, sondern es kann sich nur um eine gelegentliche Ergänzung anderer Witterungsanzeichen handeln.

Über den direkten Einfluß der über dem Horizont stehenden Wolken haben meine Beobachtungen bisher wenig ergeben; es ist auch nicht viel darauf geachtet worden. Hell erleuchtete Wolkenstreifen scheinen zuweilen den Babinet-Punkt herabzudrücken, während eine durch eine Lichtsäule über der Sonne angedeutete ci-str-Decke den Punkt hebt. Eine stärkere Dunst- oder Wolkenschicht am Westhorizont kann den Babinet-Punkt beträchtlich heben (um 4° am 28. III. 1911 durch eine Dunstschicht, die bis zu 9° über dem Horizont reichte).

Von größerer Bedeutung für den Zusammenhang mit der Witterung scheinen die sprungweisen Änderungen der neutralen Punkte nach Sonnenuntergang zu sein. Die Schwierigkeit, bei dem Babinet-Punkt eine Genauigkeit von ± 0.03 zu erreichen, hat mich veranlaßt, vorwiegend den Arago-Punkt zu benutzen. Wie schon auf S. XVI erwähnt wurde, steigt der Arago-Punkt etwa 20 Minuten nach Sonnenuntergang rasch an, das Ansteigen geht jedoch meist nicht stetig vor sich, sondern in Sprüngen, wobei der Hauptsprung vielfach mit der größten Intensität des ersten Purpurlichts zusammenfällt. Sekundäre

Anschwellungen in Höhen von -2 und -3° sind auch sehr häufig. In extremen Fällen wird der Sonnenabstand auch sprunghaft kleiner wie am 18. VI. 1910, wo bei der

Sonnenhöhe von	— 1.03	— 1.9	— 2.3	— 2.06
der Abstand des Arago-Punktes	22.07	27.1	26.9	22.06

betrug.

Die Witterungslagen, bei denen stärkere Unstetigkeiten eintraten, waren stets dadurch gekennzeichnet, daß das vorwiegend heitere Wetter des Messungstages mindestens noch einen Tag lang fort-dauerte. Aber auch die umgekehrte Schlußfolgerung läßt sich ziehen, und sie ist vielleicht noch wichtiger: Wenn bis zu -6° Sonnenhöhe große Sprünge fehlen — da es unbequem ist in sehr kleinen Intervallen zu beobachten, kann man nach dem Bisherigen als ausreichendes Kriterium eine negative Anomalie des Arago-Punktes von mindestens 2° zwischen -5° und -6° Sonnenhöhe ansehen —, so ist innerhalb von zwei Tagen ein Witterungsumschlag mit Regen zu erwarten (11. IX. 1909, 9. XI. 1909, 17. XII. 1909). Auf das Ausbleiben der Unstetigkeit bis zu etwa -4° folgte zwar mehrfach Regen, aber in andern Fällen blieb das Wetter im Wesentlichen das gleiche.

Als Ersatz für Beobachtungen der Sprünge des Babinet-Punktes läßt sich der Gesamtverlauf seines Sonnenabstandes nach Sonnenuntergang verwerten. Auf S. XV wurde darauf hingewiesen, daß ich meist zwei Maxima des Babinet-Punktes bei tiefem Sonnenstande beobachtet habe, und daß dies in Perioden mit durchweg geringen Abständen die Regel zu sein scheint, während gestörte Jahre (1886/87, 1893) nur ein Maximum bei Sonnenuntergang zeigen. In den neueren Potsdamer Beobachtungen finden sich nun auch mehrere Tage, wo das zweite Maximum fehlt, und diese Tage sind fast immer solche, wo gleichzeitig Unstetigkeiten des Arago-Punktes fehlen (9. XI. 1909, 17. XII. 1909), so daß das Zusammentreffen beider Anomalien ein Merkmal für Witterungsumschläge ist. Vor der Hand ist es jedoch verfrüht, solche Kennzeichen als Wetterregeln zu betrachten; schon mit Rücksicht auf das geringe Beobachtungsmaterial konnten hier nur Richtlinien gegeben werden, längs deren Beziehungen dieser Art zu suchen sind.

III. Unsymmetrische Lage der neutralen Punkte.

Schon Arago hatte bemerkt, daß der von ihm entdeckte neutrale Punkt zuweilen nach rechts oder links aus dem Sonnenvertikal abwich¹⁾, und auch andere Forscher erwähnen kurz solche unsymmetrische Lagen, ohne daß jedoch die Erscheinung systematisch weiter verfolgt ist. Wenn man aber Unstetigkeiten im Sonnenabstande der neutralen Punkte untersuchen will, ist die genaue Kenntnis ihrer Lage schon von praktischer Bedeutung. Auch für theoretische Erörterungen ist die Klarstellung dieser Verhältnisse von Wichtigkeit; der Tendenz dieses Jahrbuches entsprechend sollen hier aber nur Beobachtungsergebnisse mitgeteilt werden. Weitere Messungen sollen sich namentlich mit den Beziehungen zu dem gleichfalls nicht symmetrisch zum Sonnenvertikal gelegenen Purpurlicht²⁾, sowie mit der Stärke der Polarisation beschäftigen.

Meine Beobachtungen beziehen sich auf die Grenzlinie der vertikalen (positiven) Polarisation, kenntlich durch eine starke schwarze Linie in der Mitte der im Savartschen Polariskop sichtbaren Streifen und der horizontalen (negativen) Polarisation mit weißer Mittellinie. Die tiefsten Unterbrechungsstellen sind die neutralen Punkte, rechts und links von ihnen liegen diese Unterbrechungen höher über dem Horizont, und ihre Verbindungslinie will ich den neutralen Bogen (nach Brewster neutral line) nennen. Es genügen nun schon wenige Messungen, um zu erkennen, daß die Kurve rechts vom neutralen Punkte (also beim Arago-Punkte im S, beim Babinet-Punkte im N) für gleiche Azimut-Abweichung höher liegt als links. Ferner zeigt sich, daß der tiefste Punkt des neutralen Bogens meist nicht genau im Sonnenvertikal liegt, sondern für den Arago-Bogen etwa 5° nach links, für die Babinet-Kurve 2° links. Es soll hier nicht näher erörtert werden, in wie weit es sich in diesen Bögen um nicht polarisiertes Licht handelt. Offenbar sendet nur die Umgebung der Scheitelpunkte der Bögen unpolarisiertes Licht aus; jedoch scheint es mir, daß die Ausdehnung des sogenannten echten neutralen „Punktes“ größer ist als man gewöhnlich annimmt.

¹⁾ Mascart, *Traité d'Optique* III, 394; Pernter-Exner, *Meteorologische Optik*, 600.

²⁾ Kiefling, Über den Einfluß künstlich erzeugter Nebel auf direktes Sonnenlicht. *Meteor. Zeitschr.* I, 1884, 117—126.

Tabelle III. Höhenunterschiede des neutralen Bogens in verschiedenen Azimuten gegen die Höhe des Bogens im Sonnenvertikal.

Datum	Sonnenhöhe	Azimut-Abweichung links vom neutralen Punkte									Höhe im Sonnenvertikal	Azimut-Abweichung rechts						
		45°	40°	35°	30°	25°	20°	15°	10°	5°		5°	10°	15°	20°	25°	30°	35°
1. Babinetscher Punkt																		
1910	4. IV.	-2.4°	—	—	—	—	—	10.0	—	—	2.0	15.0°	—	—	—	—	24.0	—
	16. IV.	-3.0	—	—	—	—	—	—	—	—	—	15.5	—	5.6	—	—	—	36.5
	14. IX.	0.2	—	—	—	—	11.7	8.4	5.2	2.5	0.0	18.5	0.8	4.5	9.0	14.6	20.0	—
	15. IX.	0.3	—	—	—	—	14.3	9.8	5.9	4.3	0.9	20.9	3.3	4.2	8.3	13.7	19.0	—
	Mittel	—	—	—	—	—	13.0	9.4	5.6	3.4	1.0	17.6	2.0	4.8	8.6	14.2	19.5	24.0
2. Aragoscher Punkt¹⁾																		
1910	17. VIII.	-1.5°	—	—	—	16.1	—	5.8	—	0.8	—	27.0°	—	4.8	—	13.6	—	27.3
	27. VIII.	-1.8	—	—	—	15.4	—	5.4	—	0.9	—	22.6	—	4.9	—	14.2	—	28.7
	4. IX.	-2.5	—	—	—	—	—	—	—	—	—	21.0	—	—	—	—	—	—
	14. IX.	1.5	—	—	—	—	—	—	—	3.6	—	20.6	1.1	4.1	8.3	13.0	20.5	27.4
	15. IX.	0.2	—	—	—	—	—	—	—	—	—	20.5	1.8	3.3	6.8	10.6	16.5	—
	16. IX.	-1.2	—	—	—	17.4	11.5	6.8	2.7	1.5	0.2	22.1	—	2.8	—	12.1	—	24.8
	17. X.	-1.9	—	—	—	—	10.9	5.6	2.7	1.0	-0.2	22.3	1.6	3.9	7.3	12.6	16.7	26.3
	17. X.	0.0	—	—	—	—	7.9	3.6	1.4	0.5	-0.9	21.2	1.8	4.8	9.9	16.1	22.2	—
	17. X.	-1.5	—	—	—	—	—	—	—	—	—	22.9	—	—	—	—	—	—
	17. X.	4.7	—	—	—	—	—	—	1.8	-0.5	-0.7	17.9	—	—	—	—	—	—
	17. X.	4.0	—	—	—	—	—	—	—	1.2	-0.2	-0.9	19.1	—	—	—	—	—
	17. X.	0.0	—	—	—	12.1	7.4	3.1	0.2	-0.6	-1.6	21.9	2.0	5.4	9.9	15.6	—	—
	5. XI.	0.3	—	—	—	—	5.4	1.6	-0.8	-1.8	-2.6	20.7	2.5	5.6	11.6	16.7	—	—
	26. XI.	0.0	—	—	—	—	12.8	8.2	4.2	1.6	0.0	20.5	2.8	5.6	—	—	—	—
	12. XII.	0.0	—	—	—	11.7	—	4.3	1.7	0.0	-0.4	21.5	2.1	4.8	—	15.7	—	—
	21. XII.	-0.5	—	—	—	—	—	—	—	—	—	22.0	—	—	—	—	—	—
	21. XII.	-2.0	—	—	—	—	—	—	—	—	—	28.5	2.5	5.0	8.5	15.5	24.5	38.0
	21. XII.	-1.0	34.2	25.4	17.7	12.1	7.9	3.5	0.8	-0.3	-0.8	22.3	1.7	—	—	—	—	—
1911	20. III.	3.5	—	—	—	11.9	7.7	3.5	1.2	-0.7	-1.0	19.1	—	—	—	—	—	—
	28. III.	0.3	—	—	—	—	—	—	—	-0.2	-1.5	22.2	2.8	—	—	—	—	—
	18. V.	4.4	—	—	—	—	—	—	—	—	-0.8	20.5	—	—	—	—	—	—
	18. V.	3.0	—	—	—	—	—	2.0	-0.6	-1.0	-0.9	21.0	—	—	—	—	—	—
	18. V.	0.6	—	—	—	—	—	1.9	-0.2	-1.3	-1.5	21.1	—	—	—	—	—	—
	18. V.	—	—	—	—	—	—	4.1	1.3	-0.1	-0.3	21.6	1.7	5.6	—	—	—	—
	18. V.	—	—	—	—	—	—	—	—	-0.4	-1.3	22.5	—	—	—	—	—	—
	18. V.	—	—	—	—	—	—	—	—	0.5	-0.5	22.7	—	—	—	—	—	—
	20. V.	—	—	—	—	—	3.7	1.1	0.3	-0.3	-0.3	22.2	0.4	4.3	—	—	—	—
	2. VI.	—	—	—	—	—	9.3	5.2	2.7	0.5	0.1	19.8	2.0	3.9	—	—	—	—
	Mittel	—	34.2	25.4	17.7	14.2	9.1	4.7	1.8	0.3	-0.5	22.3	1.8	4.7	8.9	14.4	20.1	29.5

¹⁾ Zur Ableitung des mittleren Verlaufs des Arago-Bogens sind nur die Reihen mit Ablesungen in mindestens 5 verschiedenen Azimuten benutzt.

In der Tabelle III sind die Ergebnisse zusammengestellt worden. Die Tabelle gibt für den Sonnenvertikal (Azimut 0°) die Höhe der neutralen Bögen über dem Horizont und für je 5° Abweichung nach beiden Seiten die Höhenänderungen gegen die neutralen Punkte. Für die Ableitung der Mittelwerte sind nur Beobachtungsreihen mit mindestens 5 Messungen in verschiedenen Azimuten benutzt worden. Um die zeitlichen Höhenänderungen der Bögen auszuschalten, sind meist zwei Reihen von Einstellungen in umgekehrter Reihenfolge rasch hintereinander gemacht worden, und es ist daraus das Mittel genommen. Wegen der größeren Beobachtungssicherheit sind wiederum Messungen der Arago-Bögen bevorzugt worden. In der Nähe des Sonnenvertikals sind außerdem zahlreiche Messungen in geringeren Abständen als 5° angestellt worden; es hat sich dabei dasselbe ergeben, was auch die Mittelwerte aus den längeren Reihen zeigten, daß nämlich der tiefste Punkt des neutralen Bogens, also der eigentliche Arago-Punkt, meist 5° nördlich vom Sonnenvertikal liegt. Zum besseren Überblick der Verhältnisse wird hier auch eine graphische Darstellung der Mittelwerte und einiger charakteristischer Einzelkurven gegeben (Figur 2).

An den Rändern der Kurve zeigen sich noch einige Unebenheiten, die bei größerem Beobachtungsmaterial verschwinden werden, der Hauptsache nach liegen aber beide Kurvenzweige ganz sym-

metrisch zum Scheitel; man vergleiche z. B. für den Arago-Bogen die Übereinstimmung der Werte 15° links und 5° rechts, 20° links und 10° rechts usw.

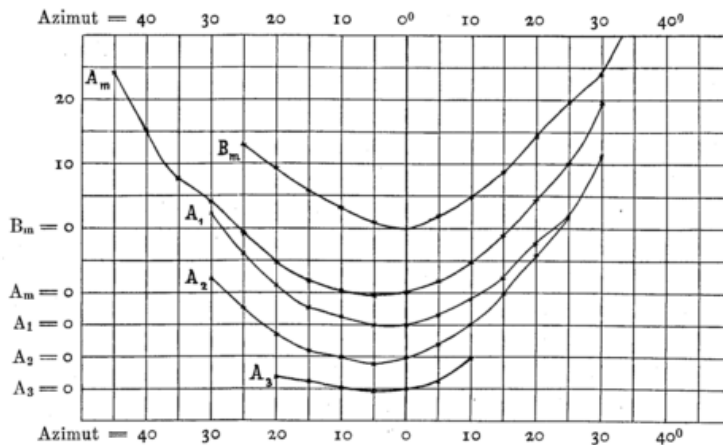


Fig. 2. Verlauf der neutralen Bögen, bezogen auf den Sonnenvertikal als Nullpunkt. B_m = Mittelwert des Babinet-Bogens; A_m = Mittel des Arago-Bogens; A_1 = Arago-Bogen am 14./15. IX. 1909; A_2 = Arago-Bogen am 16./17. X. 1910; A_3 = Arago-Bogen am 18./20. V. 1911.

Für die Praxis ergibt sich aus dieser Zusammenstellung der Schluß, daß ohne Kenntnis des Azimuts des Sonnenvertikals der Fehler in der Höhenbestimmung des Arago-Punktes wesentlich geringer wird, wenn man nördlich vom Sonnenvertikal mißt, als wenn man südlich davon einstellt. Beim Babinet-Punkt ist es umgekehrt.

Zusammenfassung der Ergebnisse.

1. In den Jahren 1909 bis 1911 war der Sonnenabstand des Babinet-Punktes außerordentlich gering, seit August 1909 hat jedoch ein regelmäßiges Ansteigen stattgefunden. Auch der Sonnenabstand des Arago-Punktes hat sich seit dieser Zeit vergrößert.

2. Das Tagesmaximum im Abstände des Babinet-Punktes lag selten höher als bei -0.95 Sonnenhöhe; in der Regel fand sich ein zweites Maximum — und zwar meist das Hauptmaximum — gegen Ende der Sichtbarkeit des Babinet-Punktes (-5 bis -6° Sonnenhöhe).

3. Der Minimal-Abstand des Arago-Punktes lag bei -0.5 bis -1.05 Sonnenhöhe. Nach Sonnenuntergang fanden vielfach Unstetigkeiten im Ansteigen des Arago-Punktes statt, die wahrscheinlich mit dem Passieren der Sonnenstrahlen durch Inversionsschichten der Atmosphäre zusammenhängen.

4. In vielen Fällen sind stärkere positive Abweichungen von den mittleren Sonnenabständen der neutralen Punkte Anzeichen für den Fortbestand des guten Wetters, dagegen stärkere negative Abweichungen Merkmale für Witterungsumschläge. Steigt der Arago-Punkt nach Sonnenuntergang sprunghaft an, so deutet dies auf Fortbestand des Wetters; das Fehlen solcher Unstetigkeiten bis -5° Sonnenhöhe und das Fehlen eines zweiten Maximums im Abstände des Babinet-Punktes sind ziemlich sichere Anzeichen für Regenwetter innerhalb von zwei Tagen.

5. Die Scheitelpunkte der neutralen Bögen liegen im allgemeinen nicht im Sonnenvertikal, sondern der Scheitel des Arago-Bogens liegt durchschnittlich 5° nördlich, der Scheitel des Babinet-Bogens 2° südlich vom Sonnenvertikal.

i. Messungen der neutralen Punkte der atmosphärischen Polarisation in Potsdam.

Datum	Wahre Zeit	Sonnenhöhe	Abstand des Babinet-P. von der Sonne	Abstand des Arago-P. vom Gegenpunkt	Bemerkungen	Datum	Wahre Zeit	Sonnenhöhe	Abstand des Babinet-P. von der Sonne	Abstand des Arago-P. vom Gegenpunkt	Bemerkungen
1909						1909					
21. IX.	6 ³⁶ _p	-4.8	20.8	—		15. XII.	4 ⁴ _p	-2.5	18.4	—	23. ⁰⁶ , 24. ⁰⁰ ; gleichzeitig Ppl.
	6 ⁴⁰	-5.4	—	26.6			4 ⁸ _p	-3.0	—	20.4	
	6 ⁵¹	-7.0	25.5	29.0			4 ¹⁰	-3.3	18.1	—	
22. IX.	5 ⁴⁴ _p	2.5	16.5	—	Klarer Tag 5 ^{3/4} _p E ₂ , Bew. 1 ⁰ , im Tal ∞ ⁰ . Polarisationsstreifen gut zu sehen. 5 ³⁰ _p Störung des Babinet-P. (neutraler Punkt in einer ci-Bank dicht über der ☉, etwas nach N verschoben). 6 ²¹⁻⁴ _p Ppl., Max. bei -3. ⁰⁸ Höhe: schöne Dämmerungsstrahlen.		4 ¹⁴	-3.8	—	20.6	
	5 ⁵⁰	0.4	16.6	20.1			4 ¹⁹	-4.4	18.5	23.2	
	6 ⁶	-0.6	17.6	19.9		17. XII.	3 ³⁰ _p	1.5	17.6	19.2	Wolkenloser Tag, aber Witterungsumschlag (in der folg. Nacht Tauwett., Glatteis, ☉).
	6 ¹⁶	-2.1	10.5	21.0			3 ³⁶	0.8	18.1	18.7	3 ^{1/2} _p S ₁ , Bew. 0, nur ∞ und str-Streifen am Horizont.
	6 ²²	-3.0	21.2	—			3 ⁴¹	0.3	17.4	17.5	Neutrale Punkte sehr gut sichtbar, Abenddämmerung hauptsächlich mit blaßgelben Tönen, Ppl. 4 ⁴⁻⁴ _p .
	6 ²⁴	-3.3	18.9	—			4 ⁷	-2.8	17.5	18.7	
	6 ²⁸	-3.9	—	25.0			4 ¹³	-3.6	17.0	19.1	
	6 ³¹	-4.4	18.8	26.1			4 ¹⁸	-4.2	16.7	21.5	
	6 ³³	-5.0	19.5	—			4 ²⁴	-5.0	16.9	22.7	
	6 ³⁸	-5.5	—	29.3			4 ²⁸	-5.6	16.4	23.9	
	6 ⁴⁰	-5.8	20.6	—			4 ³⁰	-5.8	—	25.6	
	6 ⁴²	-6.1	—	26.7		18. XII.	3 ²⁸ _p	1.9	16.8	—	3 ^{1/2} _p SW ₅₋₆ , Bew. 7 ¹ ; der weißblaue Himmel wird jedoch bald mit str-cu überzogen.
	6 ⁴⁴	-6.4	17.4	29.8			3 ³³	1.3	—	17.2	
26. IX.	5 ⁵⁰ _p	0.6	—	16.4	5 ^{3/4} _p NW ₁ , Bew. 9 ¹ ci, a-cu. Beobachtungen wegen Zunahme der Bewölkung bald abgebrochen.		3 ³⁴	1.2	—	16.8	
	5 ⁵²	0.3	—	17.1		1910					
	5 ⁵⁴	0.0	17.3	—		26. I.	3 ³⁵ _p	2.6	19.2	—	Mittags zuweilen x ⁰ , Nachm. aufklarend. 4 ^p WSW 3-4, Bew. 0, nur str-Stf. a. Horiz. Ppl. 4 ³⁴⁻⁴ _p .
28. IX.	5 ⁵¹ _p	-0.1	17.1	—	5 ^{3/4} _p S ₁ , Bew. 1 ⁰ , ci-str-Bänke am Horizont. 6 ⁰⁻⁶ _p Ppl.		3 ³⁸	2.1	—	22.4	
	5 ⁵⁴	-0.6	16.4	17.4			4 ²	1.7	20.2	21.7	
	5 ⁵⁶	-0.9	—	19.4			4 ¹¹	0.6	19.6	21.6	
	6 ⁰	-1.5	17.4	—			4 ¹⁹	-0.5	20.5	20.9	
	6 ³	-1.8	—	19.6			4 ²⁷	-1.5	21.3	—	
	6 ⁶	-2.4	17.2	19.8			4 ³¹	-2.2	—	21.0	
	6 ¹⁰	-3.0	17.5	19.7			4 ⁴⁰	-3.4	20.2	21.9	
	6 ¹⁶	-3.9	18.4	20.3			4 ⁴⁵	-4.0	21.3	—	
	6 ²⁰	-4.6	18.1	22.5		21. III.	5 ²⁷	4.9	17.4	—	Am 20. u. 21. III. fast wolkenlos, am 21. a einige ci-Streifen u. a-cu 5 ^{1/2} _p NW ₁ . Bew. 2 ⁰ cu-Bänke am W-Horizont. Bald nach 6 ^p wird es auffallend schnell dunkel.
	6 ²⁴	-5.2	17.6	22.6			5 ³⁰	4.5	—	21.2	
	6 ²⁸	-5.8	19.8	25.0			5 ³⁶	3.6	—	21.5	
	6 ²⁹	-6.0	—	29.2			5 ⁴²	2.7	—	21.3	
9. XI.	3 ⁵⁰ _p	3.9	20.9	22.5	Seit Mittag langsam aufklarend. 4 ^p SW ₂ , Bew. 2 ⁰ ci, nimmt aber rasch wieder zu. Herannahen einer Depression mit Witterungsumschlag. 4 ⁴⁵ _p dichtes str-Gewölk bezieht den Westhorizont, scheint aber die Messungen nicht zu stören.		5 ⁴⁸	1.8	—	21.7	
	4 ⁵	3.2	21.3	—			5 ⁵²	1.2	—	21.1	
	4 ⁷	2.9	—	21.8			5 ⁵⁶	0.6	20.0	20.0	
	4 ¹¹	2.4	21.0	—			6 ²	-0.4	19.7	19.4	
	4 ¹³	2.2	—	22.6			6 ⁷	-1.2	19.7	20.3	
	4 ¹⁵	1.9	22.1	—			6 ¹⁴	-2.2	20.4	20.0	
	4 ¹⁸	1.4	21.2	20.6			6 ¹⁸	-2.8	—	20.1	
	4 ²⁴	0.6	—	19.8		I. IV.	5 ²⁵ _p	8.9	22.2?	22.8	5 ^{1/2} _p E ₁₋₂ , Bew. 2 ⁰ ci-str ringsum am Horizont, im S haarförmig ausgekämmt. Neutr. Punkte sehr gut sichtb.; Sonne geht ganz klar unter. 6 ³⁰ _p Ppl. beginnt.
	4 ²⁸	0.1	22.1	—			5 ³²	7.8	20.2?	22.8	
	4 ³⁰	-0.2	—	20.1			5 ³⁹	3.8	24.5	23.2	
	4 ³³	-0.6	19.9	—			6 ⁷	2.6	25.0	22.0	
	4 ³⁵	-0.8	—	19.4			6 ¹⁴	1.5	24.6	23.8	
	4 ³⁹	-1.3	—	19.5			6 ²¹	0.4	22.9	22.0	
	4 ⁴³	-1.9	19.3	—			6 ²⁶	-0.3	21.7	21.8	
	4 ⁴⁶	-2.3	—	20.7			6 ³¹	-1.1	21.5	19.9	
	4 ⁴⁸	-2.6	18.0	—			6 ⁴⁰	-2.4	21.0	21.1	
	4 ⁵²	-3.2	—	20.5			6 ⁴⁶	-3.3	—	22.3	
25. XI.	3 ⁴⁵ _p	2.4	13.6	—	3 ^{3/4} _p WNW ₂ , Bew. 0. Zenit wolkenlos, am Horizont ci-str u. str-Schichten, ca. 2 ^{1/2} ₀ hoch.		6 ⁵¹	-4.1	—	21.9	
	3 ⁴⁸	1.8	—	19.3		2. IV.	5 ²⁶ _p	9.0	15.9	—	5 ^{1/2} _p E ₄ , Bew. 1 ⁰ , Zenit wolkenlos, nur ci-str am Horizont, am höchsten (10 ⁰) im NE. 6 ⁴⁵ _p Ppl.
	3 ⁵³	1.2	15.0	18.9			5 ²⁹	8.6	—	21.7	
	4 ⁹	-0.7	16.6	17.0			5 ³⁶	7.5	17.0	21.8	
	4 ¹³	-1.4	16.0	18.8			6 ¹	3.7	18.9	21.2	
	4 ¹⁶	-1.8	17.7	19.3			6 ⁶	2.9	17.8	19.7	
	4 ²⁰	-2.2	18.5	18.8			6 ¹¹	2.2	17.5	20.1	
	4 ²²	-5.1	19.9	23.9			6 ²²	0.5	17.7	20.4	
	4 ⁴⁶	-5.5	21.0	24.1			6 ²⁶	-0.1	18.1	19.7	
15. XII.	3 ⁴² _p	0.2	16.1	—	Bis Mittag Himmel ganz bedeckt, später fr-cu. 4 ^p E ₄ , Bew. 0, nur ∞ ⁰ am Horiz. 4 ⁸ _p Arago-P. scheint sprunghaft zu steigen (22. ⁰⁵ ,		6 ³¹	-0.9	18.1	19.7	
	3 ⁵⁰	-1.0	—	20.3			6 ³⁶	-1.7	17.5	19.1	
	3 ⁵³	-1.3	17.8	—			6 ⁴¹	-2.5	18.8	18.5	
	3 ⁵⁶	-1.7	—	19.6			6 ⁵¹	-3.9	18.3	21.8	
	4 ⁰	-2.1	17.9	19.1			6 ⁵⁶	-4.6	19.6?	23.4	

i. Messungen der neutralen Punkte der atmosphärischen Polarisation in Potsdam.

Datum	Wahre Zeit	Sonnenhöhe	Abstand des Babinet-P. von der Sonne	Abstand des Arago-P. vom Gegenpunkt	Bemerkungen	Datum	Wahre Zeit	Sonnenhöhe	Abstand des Babinet-P. von der Sonne	Abstand des Arago-P. vom Gegenpunkt	Bemerkungen
1910						1910					
3. IV.	5 ³⁸ _p 5 ⁴³ 5 ⁴⁸ 6 ⁹ 6 ¹³ 6 ¹⁸ 6 ²⁸ 6 ³⁸ 6 ⁴² 6 ⁴⁸ 6 ⁵⁸ 6 ⁵⁷	7.5 6.8 6.0 2.8 2.2 1.4 — — — — — — —	14.2 15.0 16.2 19.1 18.3 — 19.6 18.8 21.0? — 18.8 — —	22.6 22.5 22.1 20.9 22.1 20.8 21.3 21.2 20.1 19.5 19.1 21.4 —	5 ³ / ₄ ^p SE-ESE ₃₋₄ , Bew. 2 ^o , Zenit klar, ci-str am Horizont. Im E Polarisationsstreifen durch ci etwas beeinflusst. 6 ¹⁸ _p Babinet gestört durch ci, 6 ²⁸ -6 ³⁸ _p ci vor den neutralen Punkten.	22. V.	8 ²⁷ _p 8 ³² 8 ³⁶ 8 ³⁹	— -3.8 -4.4 -4.8 -5.3	19.7 19.8 19.4 —	22.4 24.4 27.0 28.4	8 ³² _p schwaches Ppl. Anscheinend normaler Tag.
4. IV.	5 ²⁶ _p 5 ³² 5 ³⁷ 5 ⁴¹ 5 ⁴⁶ 6 ⁷ 6 ¹³ 6 ¹⁷ 6 ²⁷ 6 ³² 6 ³⁷ 6 ⁴² 6 ⁴⁸ 6 ⁵³ 6 ⁵⁷	9.6 8.7 7.9 7.3 6.5 3.4 2.6 1.9 — 0.4 -0.3 -1.1 -1.9 -2.8 -3.5 -4.1	— — — 16.4 17.0 17.6 18.1 — 18.9 22.5 19.9 19.0 17.9 18.6 —	22.0 21.6 21.8 22.9 22.3 22.1 21.8 22.1 20.8 21.9 20.3 18.9 21.2 21.8 22.6	5 ¹ / ₂ ^p SW ₂₋₃ , Bew. 3 ¹ , ci-str und ci-Streifen, am N-Horizont cu. Bis 5 ⁴¹ _p Arago-Punkt in ci-str schlecht zu sehen, seit 5 ⁵⁶ _p neutrale Punkte wesentlich besser, besonders Babinet-Punkt ziemlich frei. 6 ¹ / ₂ ^p sekundärer-neutral.Punkt im WNW (Höhe 28 ^o). 7 ^p Beginn des Ppl.	24. V.	7 ³⁸ _p 7 ⁴⁴ 7 ⁵⁰ 7 ⁵⁶ 7 ⁵⁹ 8 ⁸ 8 ¹¹ 8 ¹⁶ 8 ²⁰ 8 ²³ 8 ²⁹	2.4 1.8 1.0 0.2 -0.1 -1.1 -1.5 -2.1 -2.6 -3.0 -3.7	17.0 18.6 19.1 — — — — — — — —	22.4 23.3 21.8 21.7 22.7 21.1 20.9 20.7 21.0 21.5 22.4	7 ¹ / ₂ ^p NNW ₁ , Bew. 1 ^o ; am N-Horizont von E-W ziemlich dicke, weißgraue Wolken-schichten, sonst wolkenlos. 7 ⁴⁰ _p Umgebung der ⊙ intensiv braungelb, 7 ⁴⁵ _p heller gelblicher Fleck 20 ^o über der ⊙. 8 ^p ≡ bildet sich in N und NE. Messungen anscheinend durch Rauch von Potsdam gestört.
14. IV.	6 ²⁸ _p 6 ³¹ 6 ³⁶ 6 ⁴⁰ 7 ⁴ 7 ⁷ 7 ¹¹ 7 ¹⁶ 7 ¹⁸	3.8 2.7 1.9 1.4 -2.1 -2.5 -3.1 -3.8 -4.1	14.6? 17.6 17.8 17.9 18.1 — 19.2 18.7 —	21.3 20.2 19.2 19.2 17.9 18.1 18.6 18.7 21.1	6 ¹ / ₂ ^p SE ₂ , Bew. 3 ¹ , viele ci am Horizont, im W dichte graue str-Decke.	26. V.	7 ¹⁵ _p 7 ²³ 7 ²⁷ 7 ³² 7 ³⁷ 8 ³ 8 ⁷ 8 ¹² 8 ¹⁸ 8 ²³ 8 ²⁷	5.9 4.8 4.3 3.6 0.4 -0.3 -0.7 -1.4 -1.9 -2.5 -3.0	16.6 17.7 17.7 17.9 19.6 19.6 20.1 19.4 18.5 17.7 —	23.8 23.7 23.6 23.9 22.1 22.3 22.3 21.8 21.8 22.4 23.2	Tagsüber einige ∞ Wolken, die die Sonnenstrahlung um etwa 20% herabdrück. 7 ¹ / ₄ ^p NNW ₁ , Bew. 1 ^o . Zen. wolkenl., a. W- u. N-Horiz. str-Schicht, im E ∞ Schicht v. 5 ^o Höhe. 8 ²⁸ _p Ppl. schwach entwickelt. Polarisationsstreifen sehr gut zu sehen.
16. IV.	6 ³⁸ _p 6 ⁴¹ 6 ⁴⁵ 6 ⁵⁰ 6 ⁵⁵ 7 ⁰ 7 ⁵ 7 ¹⁰ 7 ¹⁵ 7 ²⁰ 7 ²⁴ 7 ²⁷	2.2 1.8 1.2 0.4 -0.3 -1.0 -1.8 -2.5 -3.2 -3.9 -4.5 -4.9	— 16.2 17.6 18.2 17.6 18.0 17.4 17.8 18.7? — — —	20.7 20.8 20.8 20.1 20.3 20.0 20.1 20.2 22.5 22.1 26.2? 27.0?	Tagsüber viel a-cu und cu. 6 ¹ / ₂ ^p WSW ₁ , Bew. 1 ^o . Zenit klar, am Horizont vereinzelt ci u. str-cu, ∞ ¹ . Babinet- und Arago-Punkt sehr gut zu sehen. 7 ¹⁵ _p Ppl. gut entwickelt (24 ^o Höhe).	18. VI.	8 ¹⁴ _p 8 ¹⁸ 8 ²² 8 ²⁸ 8 ³³ 8 ³⁶ 8 ⁴⁰ 8 ⁴³ 8 ⁴⁵ 8 ⁴⁹	0.4 0.0 -0.7 -1.3 -1.9 -2.3 -2.6 -3.1 -3.3 -3.8	20.1 19.3 19.0 19.1 — — — — — —	24.7 24.2 23.9 22.7 27.1 26.9 22.6 22.0 22.1 22.2	Tagsüber wenig bewölkt (zarte ci- u. fr-cu). 8 ^p W ₃ , Zenit klar, am Horiz. ringsherum Schichtw.; im W Wolkenstr. bis 25 ^o Höhe. Sehr starke Refraktion; ⊙ verschwindet bei -1 ^o Höhe im ∞. Ppl. schwach, meist weißgelbliche Töne. Arago-Punkt stark gestört.
21. V.	7 ²³ _p 7 ³³ 7 ³⁷ 7 ⁴³ 7 ⁵² 7 ⁵⁶ 8 ⁴ 8 ¹⁹	4.0 2.6 2.1 1.3 — -0.3 -1.2 -3.5	19.7 — — — — — 18.5 21.0	22.0 22.8 22.4 22.1 20.3 20.2 19.7 21.1?	7 ¹ / ₂ ^p F ₄ , Bew. 7 ¹ , am W-Horiz. dicke ci-Bänke, im E ci erst über 30 ^o Höhe beginnend. Babinet-P. wegen ci undentl., Arago-P. schwach sichtbar. 7 ⁵⁶ _p Dämmerungsstrahlen über der ⊙. 8 ¹⁹ _p Arago-P. in leichtem Wolkenschleier; zu schwach, um länger messen zu können.	17. VIII.	6 ⁴⁴ _p 6 ⁴⁹ 6 ⁵⁴ 7 ² 7 ⁶ 7 ¹⁰ 7 ¹⁴ 7 ¹⁹ 7 ²² 7 ²⁶ 7 ²⁹	4.1 3.4 2.6 1.5 0.9 0.4 -0.1 -0.8 -1.2 -1.8 -2.8	— — — — — — — — — — —	25.5 23.8 22.9 21.9 21.6 21.3 20.8 22.4 22.9 22.2 25.1	6 ³ / ₄ ^p W ₁ , Bew. 2 ¹ , Zenit klar, am Horizont viele zerzauste ci. Ppl. schwach. Babinet-P. in ci-Wolken, nach ⊙ Unterg. ganz verschleiert, auch der E-Horizont, aber Stelle des Arago-Punktes wolkenfrei.
22. V.	7 ³³ _p 7 ³⁷ 7 ⁴⁴ 7 ⁵³ 7 ⁵⁸	2.8 2.3 1.4 0.2 -0.4	15.8 16.0 17.3 18.5 18.9	22.6 22.4 22.4 22.4 21.9	7 ¹ / ₂ ^p E ₃ ; Bew. 0, reiner Himmel; nur am W-Horizont ganz feine Wolkenstreifen. Polarisationsstreifen gut entwickelt.	27. VIII.	6 ²² _p 6 ²⁷ 6 ³⁸ 7 ⁰ 7 ⁵ 7 ⁹	4.8 4.0 2.4 -0.8 -1.5 -2.1	18.3 19.3 — — — —	26.6 26.0 24.8 21.3 22.5 22.7	● 7 ³ -1 ^p , dann rasch aufklar. 6 ¹ / ₄ ^p W ₃ . Bew. 3 ¹ . Zenit wolkenlos, am Horiz. cu u. str-cu, darüb. ci. Babinet-P. anf. gut zu sehen, weil ⊙ durch str-cu verdeckt.

1. Messungen der neutralen Punkte der atmosphärischen Polarisation in Potsdam.

Datum	Wahre Zeit	Sonnenhöhe	Abstand des Babinet-P. von der Sonne	Abstand des Arago-P. vom Gegenpunkt	Bemerkungen	Datum	Wahre Zeit	Sonnenhöhe	Abstand des Babinet-P. von der Sonne	Abstand des Arago-P. vom Gegenpunkt	Bemerkungen
1910						1910					
27. VIII.	7 ¹⁵ _p	-3.0	—	25.0	7 ^p Arago-P. wahrscheinlich durch ci gestört.	26. XI.	4 ¹⁴ _p 4 ¹⁷ 4 ²³ 4 ²⁸ 4 ³⁸	-1.7 -2.0 -2.7 -3.4 -4.1	— — — — —	20.7 19.7 20.1 20.9 21.7	der Messung von 23.05 auf 22.07.
4. IX.	6 ²³ _p 6 ³³ 6 ⁴¹ 6 ⁴⁶ 6 ⁵¹ 6 ⁵⁴	2.3 0.8 -0.4 -1.2 -1.9 -2.3	— — — — — —	22.9 22.2 21.8 20.3 20.5 20.0	6 ^{1/2} _p ESE, Bew. 2 ¹ , Zenit klar, a. Horiz. Böen. — cu u. a-str. Tagsüber häufig ☉ schauer. ca. 90% R. F.	12. XII.	3 ³⁷ _p 3 ⁴¹ 3 ⁴⁹ 3 ⁵⁶ 4 ¹ 4 ⁷ 4 ¹⁴	1.1 0.6 -0.3 -1.2 -1.7 -2.5 -3.4	20.0 19.4 19.6 19.1 19.1 19.5 —	— 21.9 21.9 22.0 22.6 23.5 25.4	Tags zuvor ständig ☉, am 12. früh aufklarend, str-cu, a-cu. 3 ^{1/2} _p SSW ₂ , Bew. 1 ¹ , nur am Horizont str-cu. Babinet-P. ungewöhnlich gut zu sehen.
14. IX.	6 ⁷ _p 6 ¹³ 6 ²² 6 ³¹ 6 ³⁹ 6 ⁴³	1.7 0.8 -0.6 -1.9 -3.2 -3.8	18.3 18.3 19.3 18.9 18.2 18.6	23.2 22.7 21.7 21.0 21.8 22.8	Am Vortage T u. ☉ tropf. 6 ^p ENE ₃ , wolkenlos, nur am Horiz. ∞ Schicht, bes. im N. 6 ²⁰ _p ☉ verschwindet in der ∞ Schicht. 6 ³² _p Ppl. beginnt; sehr gut entwick. Dämmerungsstrahl, auch a. E-Hor.	21. XII.	3 ¹³ _p 3 ³⁸ 3 ⁴³ 3 ⁵⁴ 3 ⁵⁹ 4 ⁴	3.4 0.6 0.1 -1.2 -1.8 -2.4	17.8 19.0 18.8 19.7 19.7 —	21.9 22.0 21.3 21.2 21.6 22.6	Aufklaren seit 11 ² (ci und leichte cu). 3 ^{1/4} _p SE ₁ . Bew. 1 ⁰ . Am W- u. N-Horizont leichte ci-str, am E-Horizont graue ∞ Schicht von 5 ⁰ Höhe.
15. IX.	6 ⁴ _p 6 ⁹ 6 ²¹ 6 ²⁶ 6 ³³ 6 ³⁶ 6 ⁴¹ 6 ⁵³	2.0 1.2 -0.6 -1.4 -2.4 -2.9 -3.7 -5.2	20.5 19.8 21.4 21.3 — 20.8 20.8 —	24.2 23.4 22.6 21.9 22.0 23.1 23.2 25.6	ENE ₃ wolkenlos (auch während des Tages nur vereinz. fr-cu). 6 ²³ _p schwaches Ppl.; starker ∞ im Tal.						
22. IX.	6 ⁴ _p 6 ¹¹ 6 ¹⁶ 6 ²¹ 6 ²⁷ 6 ³² 6 ³⁷	-0.2 -1.3 -2.0 -2.8 -3.7 -4.4 -5.2	18.8 20.5 18.5 19.5 19.6 20.1 20.2	21.0 21.3 20.6 22.3 23.2 24.5 27.1	a ☉ häufig, seit 1 ^p Aufklar.; 6 ^p NNW ₁ , Bew. 2 ¹ , Zenit wolkenlos, am Horiz. im E a-cu, im S u. W a-str. 6 ¹⁶ _p Wolkenstreif. im W, sehr hell erleuchtet (Einfl. a. Bab.-P.). 6 ²⁰ _p rosa Lichtschein am E- und S-Horizont.	20. III.	5 ²³ _p 5 ³¹ 5 ⁴¹ 5 ⁴⁴ 5 ⁵⁹ 6 ³ 6 ¹⁰ 6 ¹² 6 ¹⁷ 6 ²¹	5.1 4.2 2.7 0.7 0.0 -0.7 -1.7 -2.0 -2.8 -3.4	18.9 19.0 19.9 20.4 20.0 — — — — —	22.7 23.1 22.5 22.3 22.2 22.0 20.6 21.8 22.2 22.2	Früh fr-cu, mittags Bew. o. 5 ^{1/2} _p E ₄₋₅ Bew. 1 ⁰ , am W-Horizont ci-str zunehmend. Babinet-P. zieml. undeutlich. Bei ☉ Unterg. ci-Störung auch im E erkennbar an rot beleuchteten P.-B., die genau von W nach E reichen und sich anscheinend von N nach S verschieben.
16. X.	4 ⁴⁹ _p 4 ⁵⁷ 5 ⁵ 5 ⁹ 5 ¹⁸ 5 ²³ 5 ²⁹ 5 ³⁴ 5 ³⁹ 5 ⁴⁶	3.6 2.5 1.3 0.7 -0.6 -1.3 -2.2 -3.0 -3.8 -4.8	16.8 18.6 19.8 19.7 20.3 20.0 20.1 20.3 20.4 21.8	22.1 22.0 22.4 22.0 21.4 21.6 21.9 22.3 25.8 27.0	Tagsüber meist wolkenlos; 4 ^{1/2} _p E ₃ , Bew. o, nur am Horizont ∞ und str. 5 ^{1/4} _p ci im W bis 25 ⁰ Höhe sichtb., also Babinet-P. wahrscheinlich gestört. 5 ³⁴ _p Ppl. gut.	28. III.	5 ³⁰ _p 5 ⁴⁰ 5 ⁴⁵ 5 ⁵⁰ 5 ⁵⁷ 6 ² 6 ⁸ 6 ¹⁶ 6 ²⁰ 6 ²⁸ 6 ³⁰ 6 ³⁴	6.9 5.1 4.6 3.8 2.7 2.0 1.1 0.0 -0.4 -1.4 -2.0 -2.6	16.7 20.9 21.4 23.4 24.0 23.6 22.2 20.2 20.2 19.8 20.2 21.4	Schönes Beispiel für den Einfluß von ∞. Tagsüber ∞ ² , 5 ^{1/2} _p E ₃ , Bew. 3 ¹ im W, graue ∞ Schicht bei ca. 9 ⁰ Höhe, darüber viele zerzauste ci u. ci-str, im E weißl. ∞ Schicht bis 6 ^{1/2} _p . 6 ^p grauer ∞ im E bis ca. 35 ⁰ reichend.	
17. X.	4 ³⁷ _p 4 ⁴⁶ 5 ⁹ 5 ⁸ 5 ¹⁶	5.0 4.2 1.5 0.6 -0.6	17.2 18.0 18.9 20.1 20.4	22.9 23.3 22.4 21.8 21.5	4 ^{1/2} _p E ₃ wolkenlos, nur str am Horizont.	18. IV.	6 ¹⁰ _p 6 ²⁴ 6 ³³ 7 ¹ 7 ⁵ 7 ⁹	7.0 4.7 3.5 -0.6 -1.2 -1.8	— — — — — —	24.4 23.3 23.4 21.9 22.3 22.0	Sehr warmer Tag, einige ci u. cu. 6 ^{1/4} _p S ₂ , Bew. 2 ¹ am W-Horizont viel ci-str, am E-Horiz. nur vereinz. Streifen. Babinet-P. wegen ci schlecht erkennbar.
5. XI.	4 ¹⁶ _p 4 ²¹ 4 ²⁶ 4 ³⁵ 4 ⁴⁶ 5 ¹ 5 ⁵ 5 ⁸ 5 ¹⁰	2.7 2.0 1.3 0.1 -2.7 -3.5 -4.0 -4.4 -4.7	19.6 20.3 20.4 21.3 21.5 21.8 22.6 — —	22.2 21.8 21.2 20.9 20.7 22.7 24.3 25.3 25.5	4 ^{1/4} _p WSW ₃ , Bew. 3 ¹ , str-cu, str (im W bis 10 ⁰ Höhe). Bab.-P. anscheinend in leichtem str, aber gut zu erkennen. 5 ⁴ _p Ppl. ² . Arago-P. so lange beobachtet, wie es die Himmelschichtigkeit gestattete.	26. XI.	3 ⁴⁸ _p 3 ⁵⁴ 3 ⁵⁹ 4 ⁸ 4 ¹²	1.7 0.9 0.1 -0.9 -1.5	19.9 20.4 21.5 — —	21.4 21.2 20.8 21.5 21.6	4 ^p ENE ₂ , Bew. 2 ⁰ , ci-str und ci-cu in der Nähe der ☉; im NE sehr klar. 4 ¹² _p Arago-P. sinkt während

2. Ältere Messungen in Berlin und auf dem Brocken.

Datum	Wahre Zeit	Sonnenhöhe	Abstand des Babinet-P. von der Sonne	Abstand des Arago-P. vom Gegenpunkt	Bemerkungen	Datum	Wahre Zeit	Sonnenhöhe	Abstand des Babinet-P. von der Sonne	Abstand des Arago-P. vom Gegenpunkt	Bemerkungen
a) Berlin						1891					
12. IX.	5 ⁵⁴ _p	4.3	—	24.3	6 ^p NE ₃ , Bew. 4 ¹ , ci, a-str, Sonnenuntergang schwach gelbrot. Antizyklone.	6. X.	5 ⁴⁸ _p	+2.2	24.0	—	
	5 ⁵⁸	3.7	21.3	—			5 ⁵²	-2.7	—	22.0	
	6 ¹⁵	1.1	21.9	—			5 ⁵⁴	-3.1	23.9	—	
	6 ¹⁷	0.8	—	20.8			5 ⁵⁶	-3.4	—	21.1	
	6 ²⁰	0.3	—	20.3							
14. IX.	5 ³⁸ _p	3.0	19.0	—	6 ^p SE ₀ , Bew. 1 ¹ . Dichter str am Horizont im W und N.	9. X.	5 ³¹ _p	-0.4	22.5	—	Himmel tagsüber mattblau. 5 ^{1/4} _p SW ₁ , Bew. 0, aber ∞ bis 14 ^o Höhe. Sehr lebhaftes Ppl.
	6 ²	2.4	21.6	—			5 ³²	-0.9	—	20.8	
	6 ⁴	2.1	—	24.1			5 ³⁷	-1.3	22.3	—	
	6 ¹⁷	0.2	—	21.2			5 ³⁹	-1.8	—	21.9	
	6 ¹⁹	-0.1	26.1	—			5 ⁴³	-2.2	24.3	—	
	6 ²⁰	-0.3	22.3	—			5 ⁴⁵	-2.7	—	23.0	
	6 ²⁵	-1.0	27.0	—			5 ⁵¹	-3.6	25.2	—	
15. IX.	6 ¹ _p	2.3	18.7	—	Mittags starke ☉ schauer. 6 ^p NW ₂ , Bew. 4, ci-cu, ni.	12. X.	5 ⁴ _p	2.2	29.1	—	5 ^p SE ₃ , böig, Bew. 3 ¹ , im W dichter str. ∞ ² am Horizont. Teildepression, ☉ ⁰ am 13. X. 5 ^p .
	6 ⁴	1.8	20.2	—			5 ⁸	1.9	—	21.8	
	6 ⁶	1.5	—	20.5			5 ¹⁵	0.6	27.8	—	
	6 ²⁰	-0.6	—	19.6			5 ¹⁸	0.2	—	19.9	
						5 ²¹	-0.3	24.4	—		
16. IX.	5 ³⁷ _p	2.4	24.6	—	6 ^p W ₂ , Bew. 5, ci, str am Horizont. Antizyklone.	14. X.	4 ⁴⁸ _p	4.2	20.5	—	4 ^{1/2} _p SW ₂ , böig, Bew. 3 ¹ , Dichter str im W, der von 4 ^{3/4} _p an Messungen des Babinet-P. unmögl. macht.
	5 ³⁹	2.1	—	23.6			4 ⁵²	3.7	—	20.8	
	6 ⁸	0.9	—	23.4			4 ⁵⁶	3.2	21.5	—	
	6 ¹²	0.2	22.8	—			4 ⁵⁹	2.8	—	20.8	
	6 ²¹	-1.1	24.6	—			5 ⁶	1.6	—	20.4	
	6 ²³	-1.4	—	21.6			5 ¹³	0.9	—	20.7	
24. IX.	5 ⁴¹ _p	2.4	23.4	—	5 ^{1/2} _p NE ₁ , Bew. 0, aber am Horizont dichter ∞ bis 6 ^o Höhe. Antizyklone.	16. X.	4 ⁵¹ _p	3.2	28.9	—	Tagsüber viele ci, 4 ^{1/2} _p SE ₃ . Bew. 5 ¹ , ci, ci-cu, str-cu, mäßig starker ∞. Rand einer tiefen Depression im W. ☉ beginnt 17. X. 10 ^o .
	5 ⁴⁴	1.9	—	22.5			4 ⁵⁴	2.8	—	21.4	
	5 ³⁴	0.4	—	22.1			4 ⁵⁶	2.5	27.3	—	
	5 ³⁹	-0.2	23.0	—			4 ⁵⁹	2.1	—	22.6	
	6 ⁷	-1.6	25.0	—			5 ⁴	1.3	26.3	—	
	6 ¹¹	-2.0	—	21.5			5 ⁹	0.6	—	21.8	
30. IX.	5 ⁴⁵ _p	0.1	22.4	—	5 ^{1/2} _p windstill, Bew. 1 ¹ , ci, sehr dichte Dunstschicht am Horizont. Ppl. gut entwickelt.		5 ¹³	0.0	26.6	—	
	5 ⁵⁰	-0.5	—	—			5 ¹⁰	-0.9	—	20.6	
	5 ⁵²	-1.0	—	23.5			5 ²²	-1.3	26.3	—	
	5 ⁵⁵	-1.4	—	23.2			5 ²⁵	-1.7	—	20.8	
	6 ⁹	-2.2	26.5	—							
	6 ⁹	-2.5	25.7	—			5 ¹ _p	0.0	26.7	—	
	6 ¹⁰	-3.7	26.2	—			5 ³	-0.3	—	20.9	
	6 ¹²	-4.0	27.6	—		5 ¹⁰	-1.3	26.5	—		
	6 ¹⁴	-4.3	—	22.3		5 ¹²	-1.6	—	19.8		
						5 ¹⁹	-2.6	24.0	—		
						5 ²²	-3.1	—	19.0		
1. X.	5 ⁴⁹ _p	-0.8	22.3	—	Ganz wolkenloser Tag. 5 ^{1/2} _p SE ₂ ; im E und S schwach, im W und N starker ∞. Depression zieht heran, ☉ beginnt am 2. X. 8 ^{1/2} _p .	22. X.	5 ¹ _p	0.0	26.7	—	Früh ☉ ¹ . 4 ^{3/4} _p WSW ₂ , Bew. 1 ⁰ . ci-str, str im W.
	5 ⁵¹	-1.2	23.7	—			5 ³	-0.3	—	20.9	
	5 ⁵³	-1.3	—	22.1			5 ¹⁰	-1.3	26.5	—	
	5 ⁵⁶	-1.9	25.9	—			5 ¹²	-1.6	—	19.8	
	5 ⁵⁹	-2.3	—	21.5			5 ¹⁹	-2.6	24.0	—	
	6 ²	-2.8	24.8	—			5 ²²	-3.1	—	19.0	
	6 ⁵	-3.3	22.8	—							
3. X.	5 ³⁰ _p	0.1	25.0	—	Vorm. ☉. 5 ^{1/2} _p NW ₂ , Bew. 6 ⁰ . Stark rote Dämmerungsfarben, abds. ■■■.	24. X.	4 ⁵² _p	0.7	23.0	—	Sehr klare Luft. 4 ^{1/2} _p SE ₃ , Bew. 1 ⁰ , ci-str, schwacher ∞ am E- und N-Horizont.
	5 ⁴⁰	-0.1	25.7	—			4 ⁵⁵	0.3	—	21.8	
	5 ⁴²	-0.4	—	21.0			4 ⁵⁸	-0.1	24.3	—	
							5 ⁰	-0.4	—	22.6	
5. X.	5 ³⁴ _p	0.3	27.2	—	5 ^{1/4} _p E ₂ , Bew. 6 ¹ , a-cu, str-cu. Rand einer Antizyklone.		5 ⁵	-1.1	23.5	—	
	5 ³⁷	-0.3	—	22.2			5 ⁸	-1.6	—	21.3	
	5 ⁴²	-0.9	27.7	—							
	5 ⁴⁵	-1.5	—	20.3			3. XI.	4 ⁴⁰ _p	-0.3	—	22.9
	5 ⁴⁹	-2.1	29.5	—			4 ⁴⁷	-1.3	23.4	—	
6. X.	5 ³⁶ _p	-0.1	23.4	—	Nurschwache cu-Bildung tagsüber. 5 ^{1/2} _p SE ₂ , Bew. 0, dicht. ∞ bis 6 ^o Höhe; meist dunkel. Dämmerungsfarb.		4 ⁴⁹	-1.6	—	22.0	
	5 ³⁸	-0.6	—	21.4			4 ⁵³	-2.1	25.3	—	
	5 ⁴²	-1.2	24.2	—			4 ⁵⁶	-2.5	—	22.4	
	5 ⁴²	-1.7	—	22.0			5 ¹	-3.2	—	23.5	
	5 ⁴⁶	-1.7	—	22.0							
b) Brocken						1893					
						12. XII.	3 ⁴⁵ _p	4.1	—	23.8	3 ^{1/2} _p SW ₄ , Bew. 6 ¹ , ci, schwach. Ppl. Wolkenmeer i. S u. W.
							3 ⁴⁸	0.5	—	21.9	
							3 ⁵²	-4.2	—	18.8	
						17. XII.	7 ⁴² _a	-3.9	—	27.6	7 ^{1/2} _p NNW ₄ . Bew. 0, Ppl. schw. Wolkenm. bis 1000 m Höhe.
							7 ⁴⁸	-3.1	—	25.9	

2. Ältere Messungen in Berlin und auf dem Brocken.

Datum	Wahre Zeit	Sonnenhöhe	Abstand des Babinet-P. von der Sonne	Abstand des Arago-P. vom Gegenpunkt	Bemerkungen	Datum	Wahre Zeit	Sonnenhöhe	Abstand des Babinet-P. von der Sonne	Abstand des Arago-P. vom Gegenpunkt	Bemerkungen	
1893						1894						
17. XII.	3 ³⁶ _p 3 ⁴⁷ 3 ⁵⁹ 3 ⁵⁶ 4 ³ 4 ¹¹	1.3 0.0 -0.6 -1.1 -1.9 -3.0	— — — — — —	21.0 20.5 21.9 21.3 23.3 24.6	3 ^{1/2} _p WNW ₄ , Bew. 2 ⁰ , ci, ∞ ⁰ , sehr trockene, klare Luft. Ppl gut, Maximum 4 ³⁶ _p . ci am Westhorizont, so daß Babinet-P. nicht zu messen.	8. I.	4 ⁶ _p 4 ¹⁷ 4 ²²	-1.4 -2.8 -3.4	— — —	26.1 26.3 30.0		
18. XII.	7 ²² _a 7 ⁴⁹ 7 ⁴⁶ 7 ⁵¹ 8 ⁶ 8 ¹³ 8 ⁴⁵ 9 ⁴⁴ 10 ³³	-6.5 -3.9 -3.4 -2.8 -0.9 -0.1 3.6 9.1 12.4	14.7 — — — — — — — —	— 21.9 21.8 21.7 16.8 16.6 15.9 20.1 19.7	7 ^{1/4} _a S ₃ , Bew. 1 ¹ ci-str. Wolkenmeer senkt sich tagsüber bis 200 m, sehr klare Luft.	9. I.	7 ⁴² _a 7 ⁴⁶ 7 ⁵¹ 7 ⁵⁵ 7 ⁵⁶ 7 ⁵⁸ 8 ¹ 8 ² 8 ⁵ 8 ⁶ 8 ⁴¹ 8 ¹⁶	-2.8 -2.3 -1.6 -1.1 -1.0 -0.7 -0.4 -0.2 0.1 0.2 3.2 3.7	— 35.7 31.3 33.2 — — — 31.7 — 30.9 29.2 28.0 31.8	8 ^a SW ₅ , Bew. 0. Ppl. auffallend schwach. Wolkenmeer bis 950 m Höhe.		
	3 ³⁰ _p 3 ⁵² 3 ⁵⁷ 3 ⁵⁸ 4 ¹ 4 ⁴ 4 ¹⁰ 4 ¹⁶	-0.3 -0.7 -1.3 -1.4 -1.8 -2.1 -2.9 -3.6	— 20.9 — 23.7 — 25.8 — —	20.9 — 22.8 — 22.6 — 23.8 23.8	3 ^{3/4} _p S ₆ , Bew. 1 ¹ , ci-cu. Maximum des Ppl. 4 ²⁶ _p .		3 ⁵¹ _p 3 ⁵⁸ 4 ² 4 ³ 4 ⁵ 4 ⁹ 4 ¹² 4 ¹⁶ 4 ¹⁹	0.6 0.4 -0.4 -0.7 -1.1 -1.6 -2.0 -2.5 -2.9	— 29.2 — 29.2 — 26.9 24.4 26.5 26.2	23.9 25.1 23.7 — 26.3 26.9 24.4 26.5 26.2	4 ^p SSW ₃ , Bew. 2 ⁰ , ci-str, ci. Sehr schwaches Ppl. Wolkenmeer im W bis 750 m Höhe, im E etwas niedriger.	
19. XII.	3 ⁴² _p 3 ⁴⁷ 3 ⁵⁷ 4 ⁵	0.5 -0.1 -1.3 -2.3	— — — —	23.6 23.4 23.7 22.9	3 ^{3/4} _p SSW ₆ , Bew. 3 ¹ , ci, Ppl. gut entwickelt, Maxim 4 ²⁰ _p , starker ∞ im Tal. Babinet-P. durch ci-str verdeckt.	12. I.	7 ⁴² _a 7 ⁴⁵ 8 ¹⁶ 8 ⁵⁰ 8 ²⁵ 8 ²⁸ 8 ³³ 8 ³⁹	-2.3 -2.0 1.9 2.3 2.9 3.3 3.8 4.5	27.7 29.7 — 30.7 29.9 27.5 26.7 25.0 24.5	— — — — — — — —	8 ^a S ₃ , Bew. 1 ¹ , nur wenige Wolken (ci-str, str-cu) am Horizont, über der Ebene ∞ ⁰ , Ppl. gut, Maximum 7 ²² _a .	
29. XII.	3 ²¹ _p 3 ²⁸ 3 ³⁵ 3 ⁴⁰ 3 ⁴⁴ 4 ⁰ 4 ³ 4 ¹² 4 ¹⁴	3.1 2.3 1.4 1.0 0.5 -1.3 -1.7 -3.0 -3.2	— — — — — — — — —	23.3 22.7 22.6 22.8 22.5 20.8 21.4 22.7 22.4	3 ^{1/2} _p SE ₂ , Brocken häufig in Wolken. Babinet-P. nicht genügend deutlich erkennbar. Ppl. schwach.		3 ¹⁷ _p 3 ²⁸ 3 ³¹ 3 ³⁷ 3 ⁴² 3 ⁴⁶ 3 ⁵⁰ 4 ⁰ 4 ⁶ 4 ¹⁴ 4 ²² 4 ²⁸ 4 ³³	4.9 4.3 3.4 2.7 2.1 1.6 1.1 0.0 -0.9 -1.9 -2.9 -3.7 -4.4	— — — 29.9 29.7 30.1 29.6 32.2 31.3 32.4 — — — —	21.3 24.7 25.8 29.7 28.4 28.3 29.2 27.6 27.4 25.2 27.2 29.6 29.3	3 ^{1/2} _p S ₁ , Bew. 0, cu. Polarisations-Streifengut zu sehen. Ppl. von reiner Färbung, Maximum 4 ³² -4 ³⁸ _p .	
30. XII.	3 ³⁸ _p 3 ⁴¹ 3 ⁴⁵ 3 ⁵⁰ 3 ⁵⁵ 4 ³ 4 ¹⁵	1.7 1.3 0.8 0.2 -0.4 -1.4 -3.0	— 20.5 — — — — —	21.9 — 21.2 20.3 20.4 21.3 20.9	3 ^{3/4} _p W ₃ , Bew. 3 ⁰ . ci in der Nähe der Sonne. ∞ bis ca. 600 m hinaufreichend. Luft ziemlich klar. Ppl. ziemlich schwach.		7 ²⁹ _a 7 ³⁶ 7 ⁵⁸ 8 ⁶ 8 ²⁰ 8 ²⁶ 8 ²⁸ 8 ³¹ 8 ³⁵ 10 ⁰ 10 ⁴ 10 ¹²	-3.8 -2.9 0.0 0.9 2.6 3.3 3.6 3.9 4.3 12.4 12.7 13.2	— — 31.5 27.0 — 24.6 26.2 26.2 27.5 25.8 23.8 25.0 23.9	26.0 25.4 26.2 27.1 29.4 26.2 26.2 27.5 25.8 23.8 25.0 23.9	7 ^{1/2} -10 ^a SW ₄ , Bew. 1 ¹ , ci-str, Zenit klar. ∞ ⁰ , Ppl. ziemlich schwach, Polarisations-Streifen gut zu sehen.	
1894						1894						
5. I.	3 ⁴⁰ _p	1.6	—	26.8 [?]	3 ^{3/4} _p SSE ₇ , Bew. 7 ¹ . Nebel-treiben seit 4 ^p .	14. I.	7 ²⁹ _a 7 ³⁶ 7 ⁵⁸ 8 ⁶ 8 ²⁰ 8 ²⁶ 8 ²⁸ 8 ³¹ 8 ³⁵ 10 ⁰ 10 ⁴ 10 ¹²	-3.8 -2.9 0.0 0.9 2.6 3.3 3.6 3.9 4.3 12.4 12.7 13.2	— — 31.5 27.0 — 24.6 26.2 26.2 27.5 25.8 23.8 25.0 23.9	26.0 25.4 26.2 27.1 29.4 26.2 26.2 27.5 25.8 23.8 25.0 23.9		
8. I.	8 ¹ _a 8 ⁴ 8 ⁸ 8 ³² 8 ³⁹ 8 ⁴⁴	-0.5 -0.1 0.4 3.2 4.0 4.5	— — — — — —	31.5 29.4 27.9 25.9 27.6 28.9	8 ^{1/4} _a NE ₄ , Bew. 3 ¹ . ci, str-cu. Polarisationsstreifen im E garnicht, im NW nur schwach erkennbar. ci-Bewölkung nimmt zu.		0 ¹⁸ _p 0 ²² 0 ²⁴	17.6 16.8 16.7	25.9 26.0 26.3	— — —	0 ^{1/2} _p WSW ₆ , Bew. 1 ¹ , ci-str. ∞ ⁰ .	
	3 ¹¹ _p 3 ²¹ 3 ²⁷ 3 ³¹ 3 ³⁶ 3 ⁴¹ 3 ⁵⁸ 4 ¹	5.5 4.0 3.3 2.8 2.3 1.7 -0.4 -0.7	— — — — — — — —	33.6 29.0 26.8 30.1 27.3 25.3 23.3 23.3	3 ^{1/4} _p ENE ₂ , Bew. 1 ¹ , ci-str. ∞ bis 850 m Höhe. Ppl. gut. Maximum 4 ³⁰ _p .	6. II.	7 ²⁰ _a 7 ²⁵	-0.4 0.3	— —	28.7 27.9	28.7 27.9	7 ^{1/2} _a SSW ₁ , Bew. 1 ⁰ . ∞ ⁰ , darüber dünne cu, Ppl. schwach.

2. Ältere Messungen in Berlin und auf dem Brocken.

Datum	Wahre Zeit	Sonnenhöhe	Abstand des Babinet-P. von der Sonne	Abstand des Arago-P. vom Gegenpunkt	Bemerkungen	Datum	Wahre Zeit	Sonnenhöhe	Abstand des Babinet-P. von der Sonne	Abstand des Arago-P. vom Gegenpunkt	Bemerkungen
1894											
6. II.	7 ³⁰ _a	1.0	—	28.6	abends WjW μ , \equiv und Erwärmung.	21. II.	5 ⁰ _p	0.9	26.8	23.0	6 ^{3/4} ESE ₂ , Bew. o. Ppl. ziemlich schwach, Maximum 6 ³⁰ _a . ∞^0 ringsum am Horizont.
	7 ⁵⁶	4.5	—	30.3			5 ¹⁵	-1.4	28.6	20.1	
	8 ¹	5.1	—	28.8	5 ³⁰		-2.1	28.4	21.6		
	8 ³⁸	9.7	—	26.6	5 ²⁴		-2.7	29.4	21.0		
	8 ⁴⁶	10.6	—	27.3							
20. II.	4 ³⁴ _p	4.3	28.5	29.2	4 ^{3/4} SSE ₃ , Bew. 1 ¹ , ci-str.	22. II.	6 ²⁸ _a	-3.6	32.8	—	6 ^{3/4} ESE ₂ , Bew. o. Ppl. ziemlich schwach, Maximum 6 ³⁰ _a . ∞^0 ringsum am Horizont.
21. II.	3 ³⁵ _p	12.8	19.9	24.0	3 ^{3/4} SSW ₂ , Bew. o, sehr klare Luft. Maximum des ersten Ppl. 5 ²⁶ _p , des zweiten Ppl. 6 ⁶ _p .		6 ³³	-2.9	31.4	—	
	3 ⁴⁴	11.4	22.1	23.8			6 ³⁵	-2.5	—	23.3	
	4 ³⁴	4.6	25.7	21.7			6 ⁴²	-1.5	28.3	21.2	
	4 ⁴¹	3.6	27.4	21.1			6 ⁵⁰	-0.3	—	22.5	
	4 ⁵⁵	1.1	25.6	26.7		7 ⁰	1.1	24.9	21.7		
						7 ³⁰	5.5	25.7	22.7		
						7 ³⁷	6.5	24.9	24.2		

Table for May (Mai) with columns: Datum, Luftdruck (7a, 2P, 9P), Lufttemperatur (7a, 2P, 9P, Max., Min.), Dampfspannung (7a, 2P, 9P), Relative Feuchtigkeit (7a, 2P, 9P), Richtung und Stärke des Windes (7a, 2P, 9P), Bewölkung (7a, 2P, 9P), Niederschlag (7a), Bemerkungen.

Juni

1910

Table for June (Juni) with columns: Datum, Luftdruck (7a, 2P, 9P), Lufttemperatur (7a, 2P, 9P, Max., Min.), Dampfspannung (7a, 2P, 9P), Relative Feuchtigkeit (7a, 2P, 9P), Richtung und Stärke des Windes (7a, 2P, 9P), Bewölkung (7a, 2P, 9P), Niederschlag (7a), Bemerkungen.

1) [Σ 1 10 58 p-14], [Σ 0-1 11 p-1 a m. U., ⊕ Nebensonne 6P, ⊖ 9P] 2) [Σ 1 2 35-34P], [Σ 1 2 43-30P], [Σ 1 5 50 p-n], [Σ 1 11 5 p-0 10 a] 3) [Σ 0 4 15-54P öfter], [Σ 1 7 30-9P], [Σ 1 8 5-9P] 4) [Σ 5 14-13P], [Σ 7 1-9P], [Σ 9 1] 5) [Σ 1-2 7 33-94P], [Σ 1 8 4-10P], [Σ 0-1 11 0-15P], [Σ 6 25P], [Σ 11P] 6) [Σ 0-2 3 37-54P], [Σ 1 3 52-4P], [Σ 9P] 7) Erdschatten p, 8P Lichtsäule über der Sonne Juni: 1) [Σ 1 11 0-6P] 2) [Σ 9 12-11P], [Σ 10 40-11 5P] 3) [Σ 1 2 25-4P], [Σ 5 14-61P] 4) [Σ 7 15P], [Σ 0-1 2 31-45P], [Σ sch. 8 12P] 5) [Σ 0-1 4 28-55P], [Σ 10 47 p-1 a] 6) [Σ 1 3 36-3P], [Σ 0-1 1 48-24P], [Σ 1 6-94P], [Σ 1 8 9-94P] 7) [Σ 0 0 33-14P] 8) [Σ 0 9 18-104P], [Σ sch. 9 24P], [Σ 10 0-1 a] 9) [Σ 2 35-53P], [Σ 2 45-45P], [Σ 4 55P], [Σ 9 50 a] 10) [Σ 0 3 10P], [Σ 8 15-94P], [Σ 0-1 9 8-94P], [Σ 9 4-104P] 11) [Σ 0-1 5 43-64P]

Zeitangaben nach mittlerer Ortszeit

Datum	Luftdruck auf 0° und Normalschwere reduziert 700 mm +			Lufttemperatur C°					Dampfspannung mm			Relative Feuchtigkeit Proz.			Richtung und Stärke des Windes o bis 12			Bewölkung o bis 10			Niederschlag mm	Bemerkungen	
	7 ^a	2 ^p	9 ^p	7 ^a	2 ^p	9 ^p	Max.	Min.	7 ^a	2 ^p	9 ^p	7 ^a	2 ^p	9 ^p	7 ^a	2 ^p	9 ^p	7 ^a	2 ^p	9 ^p			7 ^a
	1	44.7	46.2	48.3	11.9	16.3	10.7	17.8	10.3	9.1	8.2	9.2	88	59	95	SSW 4	WSW 5	SW 2	10 ¹	9 ¹			3 ⁰
Mittel	50.3	50.2	50.4	14.4	19.5	15.2	21.5	12.1	10.8	10.9	11.1	87	65	85	2.8	3.1	2.7	7.5	7.4	5.6	84.3		

August

1910

1	50.9	51.1	51.3	18.0	24.0	18.0	25.0	16.9	14.7	14.5	14.8	95	65	96	SSE 1	WNW 2	W 3	9 ¹	9 ¹	10 ¹	4.0	0 ⁰ n-1 ³² a, 1 ³⁵ p, 1 ⁵⁴ -2 ⁵ p, 4-4 ⁴ p, 7 ³⁵ p-n, 1 ¹
Mittel	52.6	52.6	53.0	13.9	20.3	15.2	21.9	12.3	10.9	11.3	11.0	92	64	85	2.7	3.0	2.8	7.5	7.0	4.7	87.9	

Juli: 1) 0⁰-1⁴-4⁰-6⁴p 2) 3⁵⁴-5^p, 1²⁴-2⁴p, 2¹⁸-2⁴p, 3⁵⁶-5^p, 4³⁵-5^p 3) 5³⁷-5⁴p, 7^a, A.-D. m. Ppl. 4) tr. p, < 10¹⁰-11⁵p 5) < 11⁴⁰p-n, A.-D. m. Ppl. 1¹
6) 0⁰-1⁵-10⁵⁰, 1³⁴-4⁴p, 1³⁰-5¹p, 0⁰-1³⁰-5⁵p, 1²-4⁴²-5²⁵p, < 9^p-n, < 8-9^p 7) 1⁷-1⁷-5¹⁰p, 0⁰-1²-7²⁰-8⁵⁰p 8) sch. 7²⁵p, 1²-8⁵-2⁵p, 1²-8¹⁹-5⁵p, 6³⁴-7^a, 10¹²a, 11³²a, 1²-0³⁵p 10) 1²-0⁵⁰-6⁵p, 7⁴⁰-8^p, 0⁰-1²-7⁴⁸-5⁵p, < 10³⁵p-0¹p, 0⁰-11²²p-n
August: 1) < 10-11⁵p, 0⁰ 2) 10²⁵a, 11^a, 0⁰-1²-4⁵p, 7⁵⁰-10³⁵p 3) 0⁰p, 1³⁷-3⁴p, 5⁴⁶p, 0⁰-1⁰-4⁰p, 0⁰-2²-5⁴p, 5-8⁴p, 11^p-n

Table with columns: Datum, Luftdruck (7a, 2P, 9P), Lufttemperatur (7a, 2P, 9P, Max., Min.), Dampfspannung (7a, 2P, 9P), Relative Feuchtigkeit (7a, 2P, 9P), Richtung und Stärke des Windes (7a, 2P, 9P), Bewölkung (7a, 2P, 9P), Niederschlag (7a), Bemerkungen. Includes monthly summary (Mittel) and detailed daily observations with weather codes.

Oktober

1910

Table with columns: Datum, Luftdruck (7a, 2P, 9P), Lufttemperatur (7a, 2P, 9P, Max., Min.), Dampfspannung (7a, 2P, 9P), Relative Feuchtigkeit (7a, 2P, 9P), Richtung und Stärke des Windes (7a, 2P, 9P), Bewölkung (7a, 2P, 9P), Niederschlag (7a), Bemerkungen. Includes monthly summary (Mittel) and detailed daily observations with weather codes.

November

φ = 52° 23' N λ = 13° 4' = 52m 15s E Hb = 84.9 m Cg = +0.50 mm bei 753 mm

1910

Table for November 1910 with columns: Datum, Luftdruck auf 0° und Normalschwere reduziert 700 mm +, Lufttemperatur C°, Dampfspannung mm, Relative Feuchtigkeit Proz., Richtung und Stärke des Windes, Bewölkung, Niederschlag mm, Schneedecke cm, Bemerkungen.

Dezember

1910

Table for December 1910 with columns: Datum, Luftdruck auf 0° und Normalschwere reduziert 700 mm +, Lufttemperatur C°, Dampfspannung mm, Relative Feuchtigkeit Proz., Richtung und Stärke des Windes, Bewölkung, Niederschlag mm, Schneedecke cm, Bemerkungen.

November: 1) ... 2) ... 3) ... 4) ... 5) ... 6) ... 7) ... 8) ... 9) ... 10) ...
Dezember: 1) ... 2) ... 3) ... 4) ... 5) ... 6) ... 7) ... 8) ... 9) ... 10) ...

Zeitangaben nach mittlerer Ortszeit

Monats- und Jahresübersicht nach den Termin-Beobachtungen.

1910

Höhe der Thermometer 2.2, des Regenmessers 1.3 m über dem Erdboden.

1910

Table with columns: Monat, Luftdruck (auf 0° und Normalschwere reduziert), Lufttemperatur (7a, 2P, 9P, Tagesmittel, Mittl. Max., Mittl. Min., Absol. Max., Absol. Min., Datum), Absolute Feuchtigkeit (7a, 2P, 9P, Mittel), Relative Feuchtigkeit (7a, 2P, 9P, Mittel, Min.). Rows for months Jan-Dec and annual totals.

Table with columns: Monat, Bewölkung (7a, 2P, 9P, Mittel), Niederschlag (Tagesmaximum, Betrag, Gemessen am), Zahl der Tage mit (Niederschlag, heiter, trübe, etc.), Wind: Zahl der Beobachtungen mit (N, NE, E, SE, S, SW, W, NW, Stille). Rows for months Jan-Dec and annual totals.

Fünftägige Mittel (oder Summen).

Table with columns: Datum, Luftdruck, Temperatur, Bewölkung, Niederschl., Datum, Luftdruck, Temperatur, Bewölkung, Niederschl., Datum, Luftdruck, Temperatur, Bewölkung, Niederschl. Rows for 5-day periods in Jan, Feb, Mar, Apr, Mai, Juni, Juli, August, September, Oktober, November, Dezember.

Zeitangaben nach mittlerer Ortszeit

Lufttemperatur

Juli 1910

h₁ = 2.1 m

Table with columns: Datum, 1^a, 2^a, 3^a, 4^a, 5^a, 6^a, 7^a, 8^a, 9^a, 10^a, 11^a, Mit-tag, 1^p, 2^p, 3^p, 4^p, 5^p, 6^p, 7^p, 8^p, 9^p, 10^p, 11^p, Mit-ter-nacht, Mittel. Rows 1-31 with data values.

August 1910

Table with columns: Datum, 1^a, 2^a, 3^a, 4^a, 5^a, 6^a, 7^a, 8^a, 9^a, 10^a, 11^a, Mit-tag, 1^p, 2^p, 3^p, 4^p, 5^p, 6^p, 7^p, 8^p, 9^p, 10^p, 11^p, Mit-ter-nacht, Mittel. Rows 1-31 with data values.

Zeitangaben nach mittlerer Ortszeit

Niederschlag

Januar 1910

h_r = 1.75 m

Datum	1 ^a	2 ^a	3 ^a	4 ^a	5 ^a	6 ^a	7 ^a	8 ^a	9 ^a	10 ^a	11 ^a	12	1 ^p	2 ^p	3 ^p	4 ^p	5 ^p	6 ^p	7 ^p	8 ^p	9 ^p	10 ^p	11 ^p	Tages- summen	Dauer in Stunden	
1	.	.	0.0	0.1	0.2	1.2	
3	0.1	0.0	0.1	0.0	.	.	.	0.1	0.0	.	.	.	0.2	2.2	
4	0.1	0.2	0.3	1.5	
5	0.1	0.1	.	.	0.2	1.2	
10	0.7	0.1	.	0.1	.	.	.	0.9	1.9	
11	.	0.2	0.1	0.1	0.1	0.1	0.1	.	.	.	0.0	1.4	.	.	.	0.2	2.2	2.9	
13	0.1	.	0.1	0.1	0.2	0.9	0.9
14	0.1	.	.	.	0.2	0.9	0.2	0.2	1.6	3.4	
15	0.1	0.2	0.0	3.6	0.2	0.2	.	0.3	4.6	2.8	
16	0.1	0.3	0.8	0.5	0.6	0.3	0.3	0.1	.	0.1	3.1	7.2	
17	0.4	0.3	0.0	0.0	0.7	2.2	
18	.	0.4	0.6	0.3	0.1	0.1	0.8	0.4	0.6	.	.	0.2	0.2	3.7	5.2		
20	0.6	0.1	0.0	0.2	1.8	1.0	0.6	0.6	0.0	.	0.9	0.7	.	.	0.2	0.2	.	0.1	0.2	6.8	7.0	
21	0.1	0.0	0.8	0.1	1.0	2.2	
22	0.1	0.2	0.3	0.6	1.3	
24	0.0	0.1	0.4	1.2	1.2	1.2	0.4	0.0	0.6	5.1	6.4	
25	1.2	0.6	0.2	2.0	2.3	
27	.	.	.	0.4	0.7	0.5	0.4	0.1	.	0.1	0.1	0.0	0.1	2.4	6.4	
28	0.0	0.1	0.1	.	.	.	0.0	0.1	0.0	0.3	4.3	
30	0.2	0.1	0.3	1.6	
Summe	1.9	1.4	1.0	0.8	0.9	0.7	0.5	0.6	1.2	2.5	2.1	1.3	1.3	4.6	0.8	1.9	1.0	2.3	2.7	3.3	1.4	0.6	0.4	1.2	36.4	64.2

11. 1. 7²⁴⁻²⁸p 0.8 mm.

Februar 1910

3	0.0	0.0	0.1	0.2	0.1	0.4	2.8	
6	0.2	2.3	0.9	0.2	0.0	0.1	0.5	0.1	0.0	.	.	0.1	.	.	.	0.8	5.6	8.5	
7	0.0	0.2	0.0	0.0	0.2	0.3	0.3	0.0	0.1	0.3	0.8	3.8	6.4	
8	0.4	0.9	0.8	0.0	.	.	.	0.0	.	.	.	0.0	0.8	1.4	0.7	0.0	0.4	0.3	1.2	5.0	5.8	
9	0.1	0.0	0.1	0.8	
10	1.7	4.2	
12	.	.	0.0	0.2	0.1	0.1	0.4	0.1	0.7	0.3	0.5	0.0	0.1	2.4	9.7	
14	0.2	0.3	0.5	0.3	0.2	0.0	0.1	0.0	0.2	
16	0.1	0.1	0.2	0.7	
18	0.1	0.1	.	.	0.2	0.9	
21	0.4	0.0	0.3	0.8	0.7	0.6	.	.	2.8	4.4	
22	0.1	0.7	0.0	0.4	0.2	0.3	0.1	0.2	.	2.0	4.1	
23	0.6	0.3	.	0.1	0.4	0.4	0.1	0.4	0.3	0.6	0.2	0.0	.	.	3.4	8.2		
24	0.1	0.1	0.4	0.3	0.4	0.7	.	.	0.9	0.9	2.1	2.4	
25	0.2	0.1	0.4	0.3	0.4	0.7	.	0.1	0.1	2.4	5.7	
26	.	.	.	0.1	.	0.1	0.3	0.0	0.1	0.7	0.1	0.0	1.4	4.3	
27	0.3	1.3	1.0	1.1	1.0	0.9	1.1	0.3	0.1	.	7.1	8.2		
Summe	1.2	1.4	0.8	0.4	0.3	0.7	1.8	0.7	3.5	1.8	1.0	0.6	0.9	2.7	2.6	2.5	2.6	1.9	2.6	2.5	1.3	2.6	1.7	2.5	40.6	77.1

März 1910

12	0.0	0.1	0.1	0.4	
17	0.1	0.1	0.3	0.6	1.1	1.7	
18	0.0	0.4	0.5	1.1	.	2.0	3.2	
19	1.6	0.6	0.1	0.0	0.2	0.3	1.5	2.2	2.1	0.6	0.4	0.1	0.0	0.1	0.1	0.0	0.2	10.1	17.0		
20	0.0	.	0.0	0.3	
22	.	.	.	0.0	0.1	0.1	0.2	1.8	
23	0.0	0.6	0.6	1.4	
24	0.0	0.1	0.0	0.1	0.8	
25	0.0	0.1	0.1	0.1	0.2	0.1	0.6	2.0	
28	0.0	0.1	0.1	.	0.2	1.2	
29	0.2	0.1	.	.	0.8	0.9	0.8	0.1	0.1	0.1	3.1	5.8	
30	.	.	.	0.7	1.4	0.5	0.2	.	.	0.0	2.8	3.1	
Summe	1.8	0.7	0.1	0.7	2.5	1.9	2.4	2.4	2.4	0.8	0.4	0.7	0.0	0.1	0.3	0.1	0.3	0.2	0.0	.	0.0	0.8	1.2	1.1	20.9	38.8

Zeitangaben nach mittlerer Ortszeit

April 1910

Niederschlag

Datum	1 ^a	2 ^a	3 ^a	4 ^a	5 ^a	6 ^a	7 ^a	8 ^a	9 ^a	10 ^a	11 ^a	12	1 ^p	2 ^p	3 ^p	4 ^p	5 ^p	6 ^p	7 ^p	8 ^p	9 ^p	10 ^p	11 ^p	Tages- summen	Dauer in Stunden	
7	.	.	.	0.0	0.1	.	0.1	0.4	0.0	0.6	3.1	
8	0.2	0.4	
9	0.1	0.0	0.3	0.5	0.4	0.0	1.3	3.9
15	0.3	0.1	0.1	0.1	.	0.6	3.3
16	0.0	0.0	0.3	
17	0.4	0.4	0.3	
19	0.3	0.3	1.2	2.0	1.3	0.1	0.5	0.0	1.0	0.7	0.2	7.6	9.3	
20	0.8	0.6	0.0	0.1	1.5	2.4	
21	.	.	.	0.0	0.3	1.0	1.0	1.1	0.6	0.0	0.6	.	0.1	4.7	5.8	
22	.	.	.	0.0	0.1	.	.	.	0.0	0.0	0.1	0.4	
23	0.1	0.3	0.4	0.4	
24	0.7	0.5	1.2	1.8	
25	0.3	0.3	0.7	
26	.	.	.	0.4	0.6	1.0	1.6	
27	1.7	1.7	0.8	
29	0.1	0.0	0.1	0.6	
Summe	0.8	0.6	0.0	0.4	1.2	0.3	1.1	1.5	1.4	0.5	0.1	.	0.4	0.3	1.2	4.3	1.6	0.5	0.6	0.4	1.6	1.1	0.4	21.7	35.0	

19. IV. 9³⁰⁻³¹p 0.2 mm.

Mai 1910

5	0.2	.	.	0.0	0.2	0.0	0.3	1.0	0.2	1.9	4.2	
6	0.5	1.8	
7	2.1	0.0	0.2	2.3	0.9	
8	0.1	0.1	0.2	
9	0.3	0.2	0.5	1.4	0.8	0.2	0.3	0.0	.	1.0	0.4	.	.	0.6	0.0	0.0	5.7	9.1	
10	0.1	0.1	0.0	0.6	0.3	0.0	.	0.1	1.2	4.2	
11	0.9	0.9	0.5	
12	0.9	0.1	0.8	0.0	1.8	1.3	
13	.	0.0	0.1	.	.	.	0.1	0.5	2.4	0.0	.	.	3.1	1.9	
16	11.7	21.9	0.4	.	.	34.0	2.0	
17	1.6	1.2	.	0.1	0.1	3.0	2.0	
29	.	.	0.2	0.6	0.5	1.0	1.4	0.6	0.2	0.3	0.4	0.7	0.1	0.2	0.1	0.3	0.1	0.6	0.2	0.1	.	.	6.0	9.6		
30	1.6	3.9	
Summe	1.4	0.3	0.8	2.0	1.5	1.2	1.8	0.6	0.2	0.4	1.5	3.2	0.6	1.3	1.9	1.7	2.3	0.2	0.2	12.6	24.6	0.7	0.0	1.1	62.1	41.8

7. V. 11⁴⁸⁻⁵¹a 0.7 mm; 9. V. 10³²⁻³⁵a 0.6 mm; 11. V. 11¹⁻²p 0.3 mm; 13. V. 8¹⁶⁻²⁰p 1.1 mm; 16. V. 7²⁸⁻⁸³⁰p 31.6 mm [7⁵⁰⁻⁸¹²p 24.2 mm]; 17. V. 3³⁶⁻⁴¹p 1.4 mm.

Juni 1910

6	0.2	0.2	0.1	
8	0.2	0.2	0.2	
9	0.2	0.0	0.2	0.3	
10	1.0	0.8	
12	0.5	.	.	0.0	0.7	1.8	.	.	3.0	1.7	
13	0.1	0.1	0.2	
14	0.2	0.1	28.7	0.7	0.0	.	29.7	3.1		
15	0.1	0.0	.	.	0.1	0.2	
16	.	.	.	0.5	0.5	.	.	.	0.1	.	.	.	0.0	1.1	2.4	
17	0.2	0.3	0.5	0.7	
23	2.5	2.2	1.9	0.5	1.6	1.4	0.7	0.5	0.7	.	.	.	12.0	7.4		
24	4.0	2.2	0.1	6.3	0.9		
25	0.5	.	0.1	0.2	0.2	0.5	.	.	2.2	.	.	2.7	0.9		
26	0.1	0.2	0.2	0.5	1.0	1.2		
27	0.3	0.5	0.8	0.5	
28	0.1	1.0	1.1	
30	0.4	1.0	0.7	0.1	.	.	.	0.8	0.1	.	1.3	0.3	3.8	5.3
Summe	2.5	2.2	1.9	1.0	2.1	1.6	0.8	.	0.3	0.3	0.5	0.3	.	0.1	5.4	3.5	1.6	0.9	1.1	29.4	3.3	3.0	1.4	0.5	63.7	26.6	

14. VI. 7-8^p 28.7 mm [7-7¹⁵p 16.1 mm, 7³⁻⁹p 13.2 mm]; 24. VI. 2⁴³⁻⁵³p 3.6 mm, 3²⁷⁻³⁶p 2.1 mm; 25. VI. 2⁴¹⁻⁴²p 0.2 mm, 9⁸⁻¹²p 1.4 mm.

Zeitangaben nach mittlerer Ortszeit

Niederschlag

Juli 1910

h_r = 1.75 m

Datum	1 ^a	2 ^a	3 ^a	4 ^a	5 ^a	6 ^a	7 ^a	8 ^a	9 ^a	10 ^a	11 ^a	12	1 ^p	2 ^p	3 ^p	4 ^p	5 ^p	6 ^p	7 ^p	8 ^p	9 ^p	10 ^p	11 ^p	Tages- summen	Dauer in Stunden	
1	0.8	0.6	0.1	0.4	0.1	0.1	1.2	0.3	.	0.0	.	.	.	3.6	4.1	
2	0.1	8.8	0.1	10.2	1.2	
3	0.1	0.4	0.5	0.2	1.3	2.3	
5	1.3	1.3	0.6	
8	.	0.2	.	0.1	.	0.5	1.0	6.0	7.6	4.2	1.9	0.7	0.4	.	.	0.0	.	.	0.7	0.0	.	0.1	0.2	23.6	11.0	
9	0.1	0.3	.	0.2	.	0.3	1.0	5.2	0.3	7.4	4.4	
10	.	.	0.3	0.4	0.0	0.3	1.0	0.1	1.3	3.4	2.7	
12	0.8	0.8	0.3	
13	0.6	0.6	0.2	
14	1.3	.	.	.	0.1	1.5	0.2	3.1	1.4	
18	2.2	1.5	.	0.1	0.2	4.0	3.6	
19	0.2	.	.	0.2	0.4	1.2	
21	1.0	2.2	0.8	1.1	0.1	0.1	0.8	0.2	0.2	0.4	0.1	0.1	0.2	.	.	7.3	9.4	
22	5.1	0.6	.	.	.	5.7	1.2
23	0.3	0.2	0.2	1.2	.	.	.	1.9	2.0	
24	0.2	.	0.0	1.6	.	.	0.2	0.4	0.2	2.6	1.7	
30	0.9	0.1	0.0	1.0	1.1	
31	1.5	.	1.8	.	.	.	0.1	3.4	1.3	
Summe	1.4	1.3	0.4	0.7	0.2	1.1	3.0	11.7	10.3	6.6	4.4	3.4	0.7	9.7	2.5	1.7	3.5	3.7	0.8	10.3	3.5	.	0.2	0.5	81.6	49.9

2. VII. 1⁴⁰⁻⁵³p 8.3 mm; 4³⁰⁻³¹p 0.8 mm. 5. VII. 3¹⁸⁻²²p 1.0 mm. 8. VII. 7⁵⁶⁻⁵⁷p 0.2 mm. 9. VII. 7¹⁴⁻²⁴a 2.9 mm. 12. VII. 1¹⁰⁻¹²p 0.4 mm. 13. VII. 4²¹⁻²²p 0.4 mm.
14. VII. 4⁴⁶⁻⁵⁰p 1.2 mm. 18. VII. 7³³⁻³⁸p 1.0 mm. 22. VII. 7³⁹⁻⁵²p 3.1 mm. 23. VII. 8¹³⁻¹⁵a 0.4 mm. 31. VII. 5²⁸⁻³²p 1.1 mm; 7³⁰⁻⁴²p 1.4 mm.

August 1910

1	0.2	0.0	0.5	0.1	0.3	2.4	3.5	4.5	
2	3.5	1.8	2.5	0.7	0.8	0.7	0.9	0.4	11.3	7.7	
4	1.2	1.0	1.6	1.6	0.2	0.0	0.1	0.1	.	.	0.2	1.9	0.0	.	.	.	0.3	0.3	0.1	.	8.6	
5	0.1	0.0	5.0	2.4	0.6	0.2	8.3	
6	0.4	0.2	0.0	0.4	1.5	0.8	0.6	0.5	0.1	4.5	3.5	
8	0.1	0.1	0.8	.	0.1	0.2	1.3	1.7	
12	0.9	0.2	1.1	
13	0.1	0.2	0.2	0.1	5.7	0.0	0.3	.	0.0	3.9	0.2	0.9	1.7	.	0.1	0.0	0.5	0.3	14.2	7.2	
14	.	.	0.4	2.4	0.0	2.8	1.5	
16	.	.	.	0.2	.	.	0.7	0.9	0.9	
20	0.1	0.1	0.2	
22	0.3	0.2	0.4	2.0	0.4	0.1	7.1	6.3	
23	.	0.0	.	1.2	4.8	1.0	0.0	.	0.1	3.7	0.4	0.1	7.1	3.4	
26	0.4	0.3	0.0	0.0	0.7	1.7	
27	0.1	0.8	1.7	3.3	0.8	1.8	0.2	8.7	5.8	
31	0.4	1.0	0.1	1.5	2.1	
Summe	4.2	2.2	3.1	4.6	7.2	4.2	4.2	3.4	2.5	9.1	0.9	1.9	1.0	1.1	2.2	6.3	2.3	4.9	2.1	0.1	5.9	2.8	2.4	3.1	81.7	62.9

4. VIII. 4³¹⁻³²a 0.3 mm. 5. VIII. 8^{51-9⁰}p 4.8 mm. 12. VIII. 10²⁶⁻²⁸p 0.5 mm. 13. VIII. 9²⁷⁻⁴⁶a 5.6 mm; [9³¹⁻⁴¹a 5.0 mm]; 0³⁻⁴p 0.2 mm; 3¹⁸⁻²⁰p 0.9 mm;
3³¹⁻³¹p 0.8 mm; 5⁴²⁻⁴⁴p 0.5 mm. 14. VIII. 3⁴⁰⁻⁴⁵a 1.0 mm.

September 1910

1
2	0.7	3.8	1.3	5.1	1.1
3	0.0	0.1	0.7	0.7
4	0.3	1.2	2.6	0.1	0.3	0.0	.	.	0.0	1.0	0.1	.	0.1	0.0	.	.	.	1.2	1.4	
5	4.5	3.2
6	0.1	0.3	0.0	1.1	0.8	
7	2.0	2.0	0.2	
8	0.0	0.6	0.6	0.3	0.6	
9	0.9	.	0.1	.	.	.	0.1	0.7	2.0	1.5	
11	1.5	1.1	
20	0.8	0.7	0.3	0.3	0.9	0.8	0.7	1.5	0.7	0.6	0.3	0.4	8.0	11.7	
21	0.1	0.2	0.7	0.5	0.3	0.4	2.2	4.8	
22	0.0	0.0	0.3	
30	0.1	0.2	0.3	0.0	0.6	1.2	
Summe	0.8	0.7	0.3	0.3	0.9	0.8	1.0	1.2	2.6	0.7	0.3	0.0	0.1	1.9	3.5	2.3	3.5	1.4	0.5	0.2	1.5	0.6	4.8	3.9	33.8	33.8	

1. IX. 10³⁰⁻³⁴p 0.8 mm; 11²⁰⁻²⁴p 0.9 mm. 6. IX. 11²⁰⁻²⁷p 2.0 mm.

Zeitangaben nach mittlerer Ortszeit.

h_r = 1.75 m

Oktober 1910

Niederschlag

Datum	1 ^a	2 ^a	3 ^a	4 ^a	5 ^a	6 ^a	7 ^a	8 ^a	9 ^a	10 ^a	11 ^a	12	1 ^p	2 ^p	3 ^p	4 ^p	5 ^p	6 ^p	7 ^p	8 ^p	9 ^p	10 ^p	11 ^p	Tages- summen	Dauer in Stunden	
4	0.1	0.3	0.1	0.5	0.3	1.3	2.6	
5	4.0	2.4	0.2	0.1	6.7	2.8	
6	0.1	0.1	0.1	0.3	2.2	
10	0.1	.	.	0.1	0.7
31	0.1	0.0	.	.	0.2	0.1	.	0.1	0.5	2.5	
Summe	4.0	2.4	0.2	0.1	.	.	.	0.1	0.3	.	0.1	0.1	0.1	0.1	0.3	0.6	0.3	0.1	.	.	.	0.1	.	8.9	10.8	

5. X. 0⁵³-1³ 5.1 mm.

November 1910

1	.	.	1.7	0.6	2.2	0.2	0.2	0.1	0.1	0.5	1.1	0.8	0.3	0.2	8.0	9.8	
2	0.0	.	.	0.0	0.3	0.0	.	0.2	0.2	0.9	0.3	1.9	3.8	
3	0.3	0.5	0.9	0.5	0.1	0.1	0.1	0.3	0.1	0.0	0.1	0.1	0.0	3.1	9.5	
4	0.0	0.0	0.4	
7	0.0	0.9	0.2	.	.	.	0.5	0.9	0.6	0.4	.	.	3.5	4.5
8	0.0	0.3	0.3	1.0
9	.	0.1	0.0	0.1	0.6
10	0.0	0.1	0.1	0.1	0.3	.	.	0.0	0.5	2.2
11	0.6	3.1	1.7	1.1	0.7	0.2	1.0	1.0	0.5	1.7	0.6	0.2	12.4	12.0		
12	0.2	0.2	0.2	0.1	0.0	0.8	1.1	0.7	0.6	0.3	4.2	9.8	
13	.	.	.	0.2	.	0.4	0.6	1.0
14	0.1	0.0	0.0	0.1	1.6	
15	.	.	.	0.3	0.9	1.9	2.2	2.6	1.0	0.7	1.0	0.6	0.2	11.4	9.7	
16	0.0	0.1	0.3	0.2	0.3	0.0	0.0	0.1	0.0	0.1	1.1	7.0	
18	0.0	0.0	0.0	0.1	0.0	0.0	0.1	5.3	
19	0.0	.	0.4	0.3	0.1	0.8	1.7	1.7	1.0	0.5	0.6	1.2	0.8	0.6	0.5	0.3	0.0	.	.	10.5	15.0	
20	0.0	.	.	.	0.1	0.0	0.2	0.7	0.6	0.6	0.2	0.0	0.9	0.6	.	.	3.9	9.0	
21	0.0	0.0	.	.	0.2	.	0.2	.	.	.	0.0	0.2	1.1	0.5	1.0	0.1	0.4	0.3	0.5	0.0	0.1	0.0	.	.	4.6	10.3	
22	0.4	0.2	0.1	0.3	0.1	0.2	0.1	.	0.1	0.1	0.7	0.9	1.4	1.1	0.2	.	5.9	12.9	
23	0.3	0.8	0.5	0.1	0.0	0.0	1.7	5.2	
28	0.2	0.5	0.5	0.2	0.2	0.1	1.7	5.3
29	0.1	.	.	0.0	.	0.3	0.1	0.5	1.8	
Summe	1.3	1.8	3.4	1.3	1.4	3.6	3.9	4.2	2.0	2.8	4.5	3.2	3.8	6.1	3.7	4.4	2.3	2.3	2.7	3.8	3.6	4.6	3.8	1.6	76.1	137.5	

1. XI. 2⁰⁻² 0.4 mm.

Dezember 1910

2	.	.	.	0.0	0.1	.	0.0	.	0.0	0.1	0.2	3.5
7	0.1	0.1	0.2	0.7
9	0.1	.	.	.	0.1	0.7
16	0.1	1.1	0.6	.	.	0.7	1.6	4.1	2.4
17	0.0	2.9	0.8	3.7	1.7
19	0.1	0.2	.	.	.	0.1	.	0.7	1.1	2.2	
20	0.7	0.9	0.8	0.6	0.1	0.1	0.1	0.3	1.2	1.4	1.0	0.0	0.0	.	.	0.2	0.9	0.2	7.2	10.1	
24	.	.	.	0.3	2.0	1.3	0.4	0.1	0.3	0.4	1.0	0.6	0.2	0.1	.	0.2	0.9	0.2	8.0	11.7
25	.	.	.	0.1	0.0	0.2	0.0	0.3	1.7
26	.	0.0	0.1	0.1	.	0.1	0.1	0.1	.	0.2	0.4	.	0.0	.	.	0.1	1.2	4.9
29	0.3	0.7	.	.	0.1	.	0.0	0.3	0.1	0.2	.	1.7	4.2
30	.	1.4	.	.	0.1	0.0	.	0.4	0.8	0.3	0.2	3.2	5.7
Summe	0.8	5.2	1.7	0.7	0.5	2.3	1.4	0.9	1.7	2.5	1.7	1.4	0.7	0.2	0.7	1.1	0.2	1.2	1.5	0.7	0.1	0.5	0.8	2.5	31.0	49.1

Zeitangaben nach mittlerer Ortszeit

Sonnenscheindauer

Januar 1910

☉ Aufg.	5 ^a	6 ^a	7 ^a	8 ^a	9 ^a	10 ^a	11 ^a	12	1 ^p	2 ^p	3 ^p	4 ^p	5 ^p	6 ^p	7 ^p	☉ Untg.	Tages- summen
1 8h 9m																3h 51m	—
2 9																51	2.0
3 8																52	1.0
4 8																53	3.8
5 7																54	—
6 6																54	0.1
7 5																55	—
8 4																56	—
9 3																57	1.8
10 2																58	—
11 1																59	1.2
12 0																4 ^a 0	—
13 7 ^a 59																1	0.1
14 58																2	1.2
15 57																4	—
16 55																5	—
17 54																6	0.1
18 53																8	1.0
19 52																9	2.9
20 50																10	0.1
21 49																12	3.1
22 47																13	—
23 46																15	0.5
24 44																16	0.2
25 43																18	1.7
26 41																19	1.6
27 40																21	—
28 38																23	3.8
29 36																24	2.2
30 35																26	—
31 33																28	3.1
Summe					2.6	7.2	7.2	4.7	2.2	2.5	3.3	1.8					31.5
Mittel					0.08	0.23	0.23	0.15	0.07	0.08	0.11	0.06					1.02

Februar 1910

☉ Aufg.	5 ^a	6 ^a	7 ^a	8 ^a	9 ^a	10 ^a	11 ^a	12	1 ^p	2 ^p	3 ^p	4 ^p	5 ^p	6 ^p	7 ^p	☉ Untg.	Tages- summen
1 7 ^a 31m																4h 29m	—
2 29																31	—
3 28																33	—
4 26																35	—
5 24																37	—
6 22																38	—
7 20																40	0.2
8 19																42	—
9 17																44	6.5
10 15																46	—
11 13																48	1.2
12 11																50	—
13 9																52	0.2
14 7																53	0.2
15 6																55	5.3
16 4																57	2.1
17 2																59	1.3
18 0																5h 1	1.0
19 6h 58																3	2.4
20 56																5	2.5
21 54																7	—
22 52																9	3.6
23 50																11	—
24 48																13	2.6
25 46																15	0.9
26 44																17	2.4
27 42																19	0.7
28 40																21	3.3
Summe					1.1	3.0	3.8	5.9	7.4	5.6	3.7	3.1	2.5	0.3			36.4
Mittel					0.04	0.11	0.14	0.21	0.26	0.20	0.13	0.11	0.09	0.01			1.30

Zeitangaben nach wahrer Zeit

März 1910

Sonnenscheindauer

☉ Aufg.	5 ^a	6 ^a	7 ^a	8 ^a	9 ^a	10 ^a	11 ^a	12	1 ^p	2 ^p	3 ^p	4 ^p	5 ^p	6 ^p	7 ^p	☉ Untg.	Tages- summen
1	6h 38m															5h 23m	5.4
2	36															25	5.0
3	34															27	0.2
4	32															29	3.4
5	30															32	9.1
6	28															34	9.8
7	26															36	3.5
8	24															38	4.3
9	22															40	8.7
10	19															42	7.6
11	17															44	2.8
12	15															46	—
13	13															48	1.3
14	11															50	6.3
15	9															52	6.8
16	7															54	6.8
17	5															56	3.5
18	3															58	4.9
19	I															6h 0	—
20	5h 59															2	9.7
21	57															4	10.2
22	55															6	4.0
23	53															8	4.6
24	51															10	—
25	49															12	0.1
26	47															14	8.8
27	45															16	7.5
28	42															19	1.8
29	40															21	0.7
30	38															23	6.4
31	36															25	8.0
Summe			2.0	10.7	15.1	16.4	14.4	15.1	15.8	15.6	15.8	15.3	11.4	3.6			151.2
Mittel			0.06	0.35	0.49	0.53	0.46	0.49	0.51	0.50	0.51	0.49	0.37	0.11			4.95

April 1910

☉ Aufg.	5 ^a	6 ^a	7 ^a	8 ^a	9 ^a	10 ^a	11 ^a	12	1 ^p	2 ^p	3 ^p	4 ^p	5 ^p	6 ^p	7 ^p	☉ Untg.	Tages- summen
1	5h 34m															6h 27m	10.3
2	32															29	11.6
3	30															31	10.9
4	28															33	8.2
5	26															35	5.8
6	24															37	—
7	22															39	—
8	20															41	0.2
9	18															43	2.9
10	16															45	8.1
11	14															47	10.0
12	12															49	10.0
13	10															51	4.0
14	8															53	7.5
15	6															55	2.0
16	4															57	10.3
17	2															59	8.3
18	0															7h 1	4.0
19	4h 58															3	—
20	56															5	4.8
21	55															7	1.4
22	53															8	3.3
23	51															10	6.3
24	49															12	0.3
25	47															14	2.8
26	45															16	4.3
27	43															18	8.0
28	41															20	10.3
29	39															22	5.2
30	37															24	6.5
Summe		1.1	10.7	13.7	15.3	15.6	15.5	16.0	14.9	12.6	13.6	15.1	13.2	9.0	1.3		167.6
Mittel		0.04	0.36	0.46	0.51	0.52	0.52	0.53	0.50	0.42	0.45	0.50	0.44	0.30	0.04		5.59

Zeitangaben nach wahrer Zeit

Sonnenscheindauer

Mai 1910

	☉ Aufg.	5 ^a	6 ^a	7 ^a	8 ^a	9 ^a	10 ^a	11 ^a	12	1 ^p	2 ^p	3 ^p	4 ^p	5 ^p	6 ^p	7 ^p	☉ Untg.	Tages- summen
1	4 ^h 36 ^m																7 ^h 25 ^m	10.3
2	34																27	0.9
3	32																29	—
4	30																31	4.4
5	28																33	—
6	27																34	5.5
7	25																36	6.9
8	23																38	3.8
9	21																40	2.4
10	20																41	—
11	18																43	5.3
12	16																44	5.9
13	15																46	6.2
14	13																48	6.3
15	12																49	6.9
16	10																51	10.3
17	8																52	7.5
18	7																54	1.5
19	6																55	8.3
20	4																57	9.9
21	3																58	13.9
22	1																8 ^h 0	12.1
23	0																1	14.8
24	3 ^h 58																2	14.9
25	57																4	10.0
26	56																5	14.3
27	55																6	10.8
28	54																7	1.7
29	52																8	1.3
30	51																9	1.2
31	50																11	10.0
Summe		1.6	9.8	12.6	17.3	17.0	17.2	17.2	16.1	16.8	18.1	14.9	14.3	12.6	11.0	8.7	2.1	207.3
Mittel		0.05	0.32	0.41	0.56	0.55	0.55	0.55	0.52	0.54	0.58	0.48	0.46	0.41	0.35	0.28	0.07	6.69

Juni 1910

1	3 ^h 49 ^m																8 ^h 12 ^m	9.5
2	48																12	8.6
3	47																14	10.7
4	46																14	10.3
5	45																15	13.4
6	45																16	13.5
7	44																17	9.6
8	43																18	6.0
9	42																18	12.5
10	42																19	11.6
11	41																19	14.2
12	40																20	10.6
13	40																20	4.2
14	40																21	4.7
15	39																21	—
16	39																21	1.2
17	38																22	2.8
18	38																22	15.1
19	38																22	4.7
20	38																22	13.4
21	38																22	14.2
22	38																22	9.4
23	38																22	3.6
24	38																22	4.8
25	38																22	6.8
26	38																22	5.3
27	38																21	7.2
28	39																21	2.3
29	39																21	4.4
30	39																20	4.7
Summe		7.2	16.3	17.5	18.7	18.9	19.4	19.1	17.9	19.1	17.3	17.7	15.3	13.8	9.5	9.3	2.3	239.3
Mittel		0.24	0.54	0.58	0.62	0.63	0.65	0.64	0.60	0.64	0.58	0.59	0.51	0.46	0.32	0.31	0.08	7.98

Zeitangaben nach wahrer Zeit

Juli 1910

Sonnenscheindauer

☉ Aufg.	5 ^a	6 ^a	7 ^a	8 ^a	9 ^a	10 ^a	11 ^a	12	1 ^p	2 ^p	3 ^p	4 ^p	5 ^p	6 ^p	7 ^p	☉ Untg.	Tages- summen	
1	3h 40m															8h 20m	3.1	
2	40															19	7.8	
3	41															19	5.3	
4	41															18	6.0	
5	42															17	4.4	
6	43															17	5.1	
7	43															16	8.5	
8	44															15	—	
9	45															14	0.1	
10	46															14	7.7	
11	47															12	0.1	
12	48															12	2.6	
13	49															10	10.7	
14	50															10	4.1	
15	51															8	9.1	
16	52															7	1.6	
17	53															6	11.3	
18	54															5	3.7	
19	55															4	4.6	
20	57															2	2.0	
21	58															1	—	
22	59															0	1.8	
23	4h 1															7h 58	3.0	
24	2															57	2.8	
25	3															56	3.7	
26	5															54	8.6	
27	6															53	1.2	
28	8															51	11.6	
29	9															50	7.1	
30	11															48	1.1	
31	12															47	9.6	
Summe		0.5	5.6	9.2	9.7	8.7	8.1	9.4	11.6	14.0	12.3	12.4	12.3	12.0	10.0	9.3	3.2	148.3
Mittel		0.02	0.18	0.30	0.31	0.28	0.26	0.30	0.37	0.45	0.40	0.40	0.40	0.39	0.32	0.30	0.10	4.78

August 1910

☉ Aufg.	5 ^a	6 ^a	7 ^a	8 ^a	9 ^a	10 ^a	11 ^a	12	1 ^p	2 ^p	3 ^p	4 ^p	5 ^p	6 ^p	7 ^p	☉ Untg.	Tages- summen	
1	4h 14m															7h 45m	0.9	
2	16															43	6.7	
3	17															42	2.4	
4	19															40	—	
5	21															38	7.8	
6	22															37	3.6	
7	24															35	7.8	
8	26															33	1.4	
9	27															32	6.4	
10	29															30	4.2	
11	31															28	10.9	
12	33															26	4.7	
13	35															24	1.1	
14	36															23	8.7	
15	38															21	13.5	
16	40															19	6.0	
17	42															17	11.3	
18	44															15	6.6	
19	46															13	0.7	
20	47															11	2.1	
21	49															10	8.3	
22	51															8	0.3	
23	53															6	5.0	
24	55															4	5.0	
25	57															2	1.9	
26	59															0	7.4	
27	5h 1															6h 58	3.9	
28	3															56	6.8	
29	5															54	5.0	
30	7															52	—	
31	9															50	0.9	
Summe		0.3	2.6	5.7	8.4	12.0	14.0	15.0	15.2	13.9	13.6	14.3	12.4	10.4	8.6	4.8	0.1	151.3
Mittel		0.01	0.08	0.18	0.27	0.39	0.45	0.48	0.49	0.45	0.44	0.46	0.40	0.34	0.28	0.15	0.00	4.88

Zeitangaben nach wahrer Zeit

Sonnenscheindauer

September 1910

☉ Aufg.	5 ^a	6 ^a	7 ^a	8 ^a	9 ^a	10 ^a	11 ^a	12	1 ^p	2 ^p	3 ^p	4 ^p	5 ^p	6 ^p	7 ^p	☉ Untg.	Tages summen
1 5h 11 ^m																IX 6h 48m	—
2 13																46	0.7
3 15																44	5.5
4 16																42	3.6
5 19																40	4.5
6 21																38	7.3
7 23																36	4.0
8 24																34	0.3
9 27																32	2.2
10 29																30	1.1
11 30																28	—
12 32																26	6.3
13 34																24	1.6
14 36																22	9.4
15 38																20	10.9
16 41																18	10.9
17 43																16	0.9
18 45																14	6.1
19 47																12	9.2
20 49																10	0.1
21 51																8	2.4
22 53																6	2.5
23 55																4	0.2
24 57																2	0.4
25 59																0	8.6
26 6h 1																5h 58	11.0
27 3																56	7.0
28 5																54	1.4
29 7																52	9.5
30 9																50	2.6
Summe																	130.2
Mittel																	4.34
			3.7	10.3	13.0	14.1	17.0	12.6	12.5	10.7	10.4	10.3	9.7	5.9			
			0.12	0.34	0.43	0.47	0.57	0.42	0.42	0.36	0.35	0.34	0.32	0.20			

Oktober 1910

☉ Aufg.	5 ^a	6 ^a	7 ^a	8 ^a	9 ^a	10 ^a	11 ^a	12	1 ^p	2 ^p	3 ^p	4 ^p	5 ^p	6 ^p	7 ^p	☉ Untg.	Tages summen
1 6h 11 ^m																X 5h 48m	6.2
2 13																46	10.5
3 15																44	1.3
4 17																42	1.1
5 19																40	5.9
6 21																38	—
7 23																36	3.4
8 25																34	9.9
9 27																32	0.3
10 29																30	0.7
11 31																28	7.0
12 33																26	3.5
13 35																24	5.2
14 37																22	9.8
15 39																20	10.0
16 41																18	9.4
17 43																16	8.6
18 45																14	4.2
19 47																12	5.6
20 49																10	3.5
21 51																8	1.3
22 53																6	6.8
23 55																4	0.1
24 57																2	—
25 59																0	4.6
26 7h 1																4h 58	—
27 3																56	0.6
28 5																54	0.2
29 7																53	1.6
30 8																51	4.5
31 10																49	—
Summe																	125.8
Mittel																	4.06
			1.0	7.4	10.0	12.0	12.6	14.4	15.2	16.0	14.1	13.2	9.2	0.7			
			0.03	0.24	0.32	0.39	0.41	0.46	0.49	0.52	0.45	0.43	0.30	0.02			

Zeitangaben nach wahrer Zeit

Sonnenscheindauer

November 1910

☉ Aufg.	5 ^a	6 ^a	7 ^a	8 ^a	9 ^a	10 ^a	11 ^a	12	1 ^p	2 ^p	3 ^p	4 ^p	5 ^p	6 ^p	7 ^p	☉ Untg.	Tages- summen	
1	7h 12m															XI	4h 47m	0.1
2	14																45	2.0
3	16																43	—
4	18																41	—
5	20																40	4.5
6	21																38	—
7	23																36	1.6
8	25																34	3.8
9	27																32	—
10	29																31	—
11	30																29	—
12	32																27	1.6
13	34																26	1.6
14	36																24	—
15	37																22	0.1
16	39																21	—
17	40																19	4.0
18	42																18	0.1
19	44																16	—
20	45																14	4.4
21	46																13	—
22	48																12	—
23	49																10	—
24	51																9	3.1
25	52																8	0.1
26	53																6	4.5
27	55																5	—
28	56																4	—
29	57																2	—
30	58																1	1.6
Summe					0.7	3.2	5.8	7.9	6.7	4.2	3.3	1.3						33.1
Mittel					0.02	0.11	0.19	0.26	0.22	0.14	0.11	0.04						1.10

Dezember 1910

☉ Aufg.	5 ^a	6 ^a	7 ^a	8 ^a	9 ^a	10 ^a	11 ^a	12	1 ^p	2 ^p	3 ^p	4 ^p	5 ^p	6 ^p	7 ^p	☉ Untg.	Tages- summen	
1	8h 0m															XII	4h 0m	—
2	1																3h 59	—
3	2																58	—
4	3																57	0.5
5	4																56	—
6	4																55	4.2
7	5																54	1.1
8	6																54	—
9	7																53	—
10	8																52	4.2
11	8																51	—
12	9																51	4.8
13	10																50	3.4
14	10																50	—
15	10																49	2.0
16	11																49	—
17	11																49	—
18	11																48	—
19	12																48	—
20	12																48	—
21	12																48	3.6
22	12																48	0.4
23	12																48	—
24	12																48	—
25	12																48	0.6
26	12																48	—
27	12																49	—
28	11																49	4.9
29	11																49	—
30	10																50	—
31	10																50	—
Summe						1.6	5.8	6.1	5.3	6.0	4.4	0.5						29.7
Mittel						0.05	0.19	0.20	0.17	0.19	0.14	0.02						0.96

Zeitangaben nach wahrer Zeit

Sonstige

Bewölkung, Zugrichtung und

Die halbfett gesetzten Ziffern bedeuten die auf
Die Tagesmittel sind aus den Beobachtungen

Da- tum	2 ^a	4 ^a	6 ^a	7 ^a	8 ^a	10 ^a	Mittag
Januar							
1	8	10	10	10	10 ¹	10 ¹	10 ¹
2	10	8	0	8 ⁰	9 ¹ a-str, a-cu NE	4 ⁰ ci, ci-cu NW	6 ¹ a-cu, a-str WNW
3	10	10	10	10 ¹	10 ²	10 ²	9 ¹ str, fr-str NW
4	10	10	10	10 ¹	10 ¹	9 ¹ cu NW, str, fr-str WNW	7 ¹ cu, fr-cu NW
5	10	10	10	10 ¹ str-cu NW	10 ¹ str WNW	10 ¹ str WNW	10 ¹ str WNW
6	10	10	10	10 ¹ str NW	10 ¹ str-cu NW	9 ¹ str-cu NNW	8 ¹ str-cu WNW
7	10	10	10	10	10	10	10
8	10	10	10	10 ¹	10 ¹	10 ¹ str W	10 ¹ str W
9	0	0	0	0	0	0	10
10	10	10	10	10	10 str-cu, str W	9 ¹ str-cu WNW	10 str-cu WNW
11	10	0	4	10	9 ¹ str-cu, fr-str WSW	9 ¹ str-cu W	10 ¹
12	0	0	10	10	8 a-cu, a-str SW	9 ¹ fr-str W	10 ¹ str-cu, fr-cu W
13	6	4	6	9	10 ¹	10 ¹ str-cu WNW	10 ¹ str-cu W
14	4	10	10	7	3 ⁰ ci, ci-str NW	5 ⁰ a-cu NW 3.8	10 ¹
15	10	10	10	4	10 str-cu WNW	10 ¹ str-cu WNW	10 ² str-cu WNW
16	10	10	10	10 ¹	10 ¹	10 ¹	10 ¹
17	10	10	10	9 ¹	10 ¹	10 ¹ ni WNW	10 ¹
18	10	10	10	10 ¹	9 ¹ str-cu SW	7 ⁰ ci, ci-str WSW	10 ¹ ni SW
19	10	4	8	7 ¹	5 ¹ str-cu W	10 ¹	9 ¹ str-cu W
20	10	0	8	9 ¹	10 ¹	10 ¹	10 ¹
21	6	2	0	9 ¹	0	4 ¹ a-cu, str-cu WSW	10 ¹ ni SW
22	10	10	10	10 ¹	10 ¹	10 ¹	10 ¹
23	10	8	6	5 ¹	10 ¹	8 ¹ str, fr-str W	7 ¹ str, fr-str W
24	0	2	2	0	3 ⁰	8 ⁰ ci, ci-str WSW	9 ⁰ ci, ci-str WSW
25	10	10	10	7 ⁰ a-cu, a-str S	7 ¹ a-cu, a-str SSW	3 ⁰	8 ⁰ ci, ci-str SW 3.7
26	10	10	10	9 ¹ str-cu SW	10 ¹	3 ⁰ ci, ci-str SW	7 ¹ cu, fr-cu WSW
27	10	10	10	10 ni WSW	10 ni WSW	10 ¹ ni WSW	8 ¹ ni W
28	10	10	0	0	0	10	6 ⁰
29	10	10	8	10	8 ¹ a-str SW	3 ⁰ ci SW	4 ⁰ ci, ci-str SW 6.2, a-str
30	0	0	10	9 ¹	10 ¹ str W	10 ¹ str W	10 [SW 19.1]
31	10	10	10	10	2 fr-str W	1	9 ⁰
Mittel	8.2	7.4	7.8	8.1	7.8	7.2	8.9
Februar							
1	10	10	10	10	10	10 ¹	10 ¹
2	10	10	10	10	10 str SE	10 ¹ str SE	9 ¹ str, str-cu ESE
3	10	10	10	10	10 ¹	10 ¹ str SE	10 ¹
4	0	10	10	10	10	10	9
5	10	10	10	10	10	10 ¹	10 ¹
6	0	8	10 ¹	10 ¹	10 ¹	10 ¹	10 ¹
7	10	10	10	10 ¹	10 ¹	10 ¹	10 ¹
8	10	10	6	10 ¹	10 ¹ str-cu WSW	9 ¹ str-cu W	10 ¹ ni W
9	2	2	4	2 ⁰	4 ⁰ fr-str W	1 ⁰ fr-str NW	3 ¹ cu NNW
10	0	4	4	2 ⁰	10 ²	10 ²	10 ¹ str, str-cu WSW
11	0	0	3	6 ⁰	8 ¹ a-cu, str-cu SW	9 ¹ a-cu, str-cu W	7 ¹ a-cu WSW 4.3
12	10	10	10	10 ¹	10 ¹	10 ¹	10 ¹
13	0	10	0	9 ¹ str-cu SE	3	10 ¹	9 ¹
14	0	0	0	0	0	6 ⁰ str ESE	10
15	2	2	8	10	4 ¹ a-cu SSE	10 ¹ str SSE	0
16	10	8	10	10 ¹ str W	10 ¹ str W	8 ¹ str-cu, str, fr-str W	1 ⁰ fr-cu W
17	0	0	0	3 ⁰ ci NW	3 ⁰ ci, ci-cu NW, a-cu W	9	9 ¹
18	2	2	4	3 ⁰ ci W	8 ⁰ ci W	8 ⁰ ci, ci-str W	9 ⁰ ci W
19	10	6	2	9 ¹ a-str SW	7 ¹ a-str SW	7 ⁰ ci WSW	7 ⁰ ci, ci-str SSE
20	4	8	8	4 ⁰ ci SW	5 ⁰ ci SW	9 ¹ a-cu, a-str WSW	7 ⁰ ci SW
21	4	4	7	7 ¹	9 ¹	10 ¹ ci-str, a-str SW	10 ¹
22	10	10	10	10 ¹ ni WSW	9 ¹ str-cu W [WSW]	9 ¹ str-cu, fr-str W	5 ¹ cu, fr-cu W
23	10	10	10	9 a-cu SW, fr-str W	9 ¹ a-cu SW, str, fr-str	10 ¹	10 ¹ fr-str SW
24	10	10	10	10 fr-str W	10 str-cu, str WNW	9 ¹ str-cu, fr-cu W	9 ² cu-ni, str-cu, fr-cu W
25	10	2	8	10	10 ¹	9 ¹ a-cu WSW	8 ¹ ci, cu SW, a-cu WSW 5.5
26	10	10	10	10 str-cu W	10 ni W	1 ⁰ ci WNW 5.7	9 ¹ ci-str WNW, cu, fr-cu W
27	8	7	10	9 ¹ str-cu SSW	9 ¹ str-cu SSW	9 ¹ a-cu, a-str, str-cu SSW	10 ¹ str-cu WNW
28	6	10	10	0	2 ¹ str-cu, fr-str WSW	9 ¹ str-cu WSW	9 ¹ str-cu WSW
Mittel	6.0	6.9	7.3	7.0	7.9	8.6	8.2

Zeitangaben nach mittlerer Ortszeit

Beobachtungen

relative Geschwindigkeit der Wolken

1000 m Höhe berechnete Geschwindigkeit in m. p. s.
zu den geraden Stunden gebildet.

2 ^p		4 ^p		6 ^p		8 ^p		9 ^p		10 ^p		Mn.	Tages- mittel
1910													
10 ¹ 9 ¹ a-cu, a-str NW 8 ¹ a-cu NW, cu, fr-cu WNW o 10 ¹ str W	10 ¹ 10 ¹ 9 ¹ str, fr-str W o 10 ¹	10 ¹ 8 ¹ 9 ¹ str WSW 8 ¹ str-cu NW 10 ¹	10 10 10 ¹ o 10 ¹	10 10 10 ¹ o 10 ¹	10 10 10 ¹ o 10 ¹	10 10 10 ¹ o 10 ¹	10 10 10 ¹ o 10 ¹	10 10 10 ¹ o 10 ¹	10 10 10 ¹ o 10 ¹	10 10 10 ¹ o 10 ¹	10 10 10 ¹ o 10 ¹	10 10 10 ¹ o 10 ¹	9.8 7.8 9.6 5.6 10.0
9 ¹ str-cu NW 10 10 ¹ str W 10 9 ¹ str-cu W	10 ¹ 10 9 ⁰ 10 9 ¹ ni W	10 ¹ 10 5 9 10	10 10 o 9 10	10 10 o 9 10	10 10 o 9 10	10 10 o 9 10	10 10 o 9 10	10 10 o 9 10	10 10 o 9 10	10 10 o 9 10	10 10 o 9 10	10 10 o 9 10	9.7 10.0 7.0 5.3 9.8
8 ¹ a-cu SW, str-cu, str,* 9 cu, fr-cu W 10 ¹ ni W 10 ¹ str W 10 ¹ ni W	8 ¹ str-cu, fr-cu W 5 ⁰ ci SSW, fr-cu W 10 ¹ str-cu W 10 ¹ ni WSW 10 ¹ ni W	9 o 2 ¹ str-cu W 10 10	10 o 9 ¹ str-cu W 10 10	10 o 9 ¹ str-cu W 10 10	10 o 9 ¹ str-cu W 10 10	10 o 9 ¹ str-cu W 10 10	10 o 9 ¹ str-cu W 10 10	10 o 9 ¹ str-cu W 10 10	10 o 9 ¹ str-cu W 10 10	10 o 9 ¹ str-cu W 10 10	10 o 9 ¹ str-cu W 10 10	10 o 9 ¹ str-cu W 10 10	6.4 4.2 6.7 8.5 10.0
10 ¹ 10 ¹ 9 ¹ ni SW 9 ¹ str-cu, fr-str WNW 9 ¹ ni W	10 ¹ 6 ⁰ ci W 9 ¹ str-cu, ni W 10 ¹ ni WNW 10 ¹	10 1 10 ¹ 9 ¹ 10 ¹	9 ¹ 1 5 ¹ str-cu W 9 10	9 ¹ 1 5 ¹ str-cu W 9 10	9 ¹ 1 5 ¹ str-cu W 9 10	9 ¹ 1 5 ¹ str-cu W 9 10	9 ¹ 1 5 ¹ str-cu W 9 10	9 ¹ 1 5 ¹ str-cu W 9 10	9 ¹ 1 5 ¹ str-cu W 9 10	9 ¹ 1 5 ¹ str-cu W 9 10	9 ¹ 1 5 ¹ str-cu W 9 10	9 ¹ 1 5 ¹ str-cu W 9 10	9.6 7.8 8.5 7.6 8.9
10 ⁰ a-cu, str-cu WSW 10 ¹ ni NW 10 ¹ 10 9 ¹ str-cu SSW	2 ¹ str-cu W 9 ¹ ni NW 8 ¹ str-cu NW 10 7 ¹	9 ¹ 10 ¹ 9 ¹ str-cu WNW 10 8 ¹	10 ¹ 10 ¹ 6 ¹ str-cu WNW 10 10 ¹ ni SSW	10 ¹ 10 ¹ 6 ¹ str-cu WNW 10 10 ¹ ni SSW	10 ¹ 10 ¹ 6 ¹ str-cu WNW 10 10 ¹ ni SSW	10 ¹ 10 ¹ 6 ¹ str-cu WNW 10 10 ¹ ni SSW	10 ¹ 10 ¹ 6 ¹ str-cu WNW 10 10 ¹ ni SSW	10 ¹ 10 ¹ 6 ¹ str-cu WNW 10 10 ¹ ni SSW	10 ¹ 10 ¹ 6 ¹ str-cu WNW 10 10 ¹ ni SSW	10 ¹ 10 ¹ 6 ¹ str-cu WNW 10 10 ¹ ni SSW	10 ¹ 10 ¹ 6 ¹ str-cu WNW 10 10 ¹ ni SSW	10 ¹ 10 ¹ 6 ¹ str-cu WNW 10 10 ¹ ni SSW	5.3 9.9 8.0 7.0 8.4
4 ¹ a-cu, cu, fr-cu SW 9 ¹ str-cu, ni W 10 ⁰ ci SW 7 ⁰ ci, ci-str SW 9 ¹ ni W 10 ¹	o 8 ¹ str-cu W 7 ⁰ ci W 8 ⁰ ci SW 10 ¹ ni W 10	o 7 ¹ str-cu W 10 ¹ 7 ⁰ 10 ¹ ni W 10	o 4 ¹ a-cu W 10 1 10 10	o 4 ¹ a-cu W 10 1 10 10	o 4 ¹ a-cu W 10 1 10 10	o 4 ¹ a-cu W 10 1 10 10	o 4 ¹ a-cu W 10 1 10 10	o 4 ¹ a-cu W 10 1 10 10	o 4 ¹ a-cu W 10 1 10 10	o 4 ¹ a-cu W 10 1 10 10	o 4 ¹ a-cu W 10 1 10 10	o 4 ¹ a-cu W 10 1 10 10	4.7 8.6 7.0 6.0 7.6 8.5
8.6	8.2	8.1	7.5	7.5	7.3	7.3	7.9						

*) cu-ni, fr-ni WSW

1910

10 ¹ 10 ¹ str ESE 9 ¹ a-cu, str, fr-str SSE 10 10	10 ¹ 10 8 ⁰ ci, a-cu SSE 10 10	10 10 7 10 10	2 10 2 10 10	o 10 o 10 10	o 10 o 10 10	o 10 o 10 10	o 10 o 10 10	o 10 o 10 10	o 10 o 10 10	o 10 o 10 10	o 10 o 10 10	o 10 o 10 10	8.5 9.9 7.2 9.1 9.2
10 ¹ 10 ¹ ni SW 10 ¹ ni NW 3 ¹ cu, str-cu N 10 ¹ ni W	10 ¹ 10 ¹ 9 ¹ ma-cu, ni, str-cu W 6 ¹ ci W, str-cu, fr-cu NNW 10 ¹	10 ¹ 10 ¹ 9 ¹ a-cu W 3 ¹ 10 ¹	10 10 8 ¹ 5 ¹ 10	10 10 7 ¹ 4 ¹ 10	10 10 7 ¹ 4 ¹ 10	10 10 7 ¹ 4 ¹ 10	10 10 7 ¹ 4 ¹ 10	10 10 7 ¹ 4 ¹ 10	10 10 7 ¹ 4 ¹ 10	10 10 7 ¹ 4 ¹ 10	10 10 7 ¹ 4 ¹ 10	10 10 7 ¹ 4 ¹ 10	9.0 10.0 8.8 2.9 7.3
6 ⁰ a-cu WSW 10 ¹ 9 ¹ str-cu SE 10 ⁰ str E o	3 ¹ a-cu SW 9 ¹ str-cu W 9 ¹ str-cu SE 9 ¹ str E o	o 10 ¹ 10 ¹ 1 1 ⁰	o 10 ¹ 10 ¹ o 1 ⁰	o 10 ¹ 10 ¹ o 1 ⁰	o 10 ¹ 10 ¹ o 1 ⁰	o 10 ¹ 10 ¹ o 1 ⁰	o 10 ¹ 10 ¹ o 1 ⁰	o 10 ¹ 10 ¹ o 1 ⁰	o 10 ¹ 10 ¹ o 1 ⁰	o 10 ¹ 10 ¹ o 1 ⁰	o 10 ¹ 10 ¹ o 1 ⁰	o 10 ¹ 10 ¹ o 1 ⁰	3.8 9.6 5.8 4.0 3.1
9 ¹ str-cu, str W 9 ¹ str-cu SW 9 ⁰ ci, ci-str, a-str W 10 ¹ ci, ci-str S 9 ⁰ ci, ci-str SW	10 ¹ 10 ⁰ 9 ⁰ 9 ⁰ 9 ⁰	10 ¹ 10 ⁰ 10 ¹ 9 8 ⁰	5 10 ⁰ 10 ¹ 2 ⁰ 6 ⁰	o 10 ¹ ni SW o o 5 ⁰	o 10 ¹ ni SW o o 5 ⁰	o 10 ¹ ni SW o o 5 ⁰	o 10 ¹ ni SW o o 5 ⁰	o 10 ¹ ni SW o o 5 ⁰	o 10 ¹ ni SW o o 5 ⁰	o 10 ¹ ni SW o o 5 ⁰	o 10 ¹ ni SW o o 5 ⁰	o 10 ¹ ni SW o o 5 ⁰	7.1 6.5 7.6 5.9 6.6
9 ¹ ci-str, a-str SW 3 ¹ cu, fr-cu W 10 ¹ ni SW 8 ¹ ci WSW, cu, cu-ni W 9 ¹ a-cu, a-str W, fr-cu SW	9 ¹ 9 ¹ 10 ¹ 3 ¹ cu, cu-ni, fr-cu W 10 ¹ ni SW	10 10 ⁰ 10 ¹ 3 ¹ a-cu SW 10	10 10 10 9 ¹ a-cu SW 9	10 10 10 9 ¹ a-cu SW 9	10 10 10 9 ¹ a-cu SW 9	10 10 10 9 ¹ a-cu SW 9	10 10 10 9 ¹ a-cu SW 9	10 10 10 9 ¹ a-cu SW 9	10 10 10 9 ¹ a-cu SW 9	10 10 10 9 ¹ a-cu SW 9	10 10 10 9 ¹ a-cu SW 9	10 10 10 9 ¹ a-cu SW 9	8.5 8.8 9.9 8.4 8.7
10 ¹ str-cu, fr-cu SW 10 ¹ ni NW 9 ¹ cu, str-cu WSW	10 ¹ ni SW 10 ¹ 4 ⁰ a-cu WSW	10 ¹ ni WSW 10 ¹ 7 ¹ str-cu SW	10 10 ¹ o	9 10 ¹ 8	9 10 ¹ 8	9 10 ¹ 8	9 10 ¹ 8	9 10 ¹ 8	9 10 ¹ 8	9 10 ¹ 8	9 10 ¹ 8	9 10 ¹ 8	9.0 9.4 5.5
8.6	8.4	8.1	7.1	7.2	6.7	6.1	7.5						

Zeitangaben nach mittlerer Ortszeit

Bewölkung, Zugrichtung und

Die halbfett gesetzten Ziffern bedeuten die auf
Die Tagesmittel sind aus den Beobachtungen

Datum	2 ^a	4 ^a	6 ^a	7 ^a	8 ^a	10 ^a	Mittag
März							
1	0	0	4	0	0	5 ⁰ a-cu W 2.6	2 ⁰ a-cu W
2	2	8	10	9 ¹ str-cu SE	10 ¹	9 ¹ str, str-cu E	1 ⁰
3	10	10	10	10	10	10	10
4	10	10	10	10 ¹ str, str-cu SE	9 ¹ str, str-cu SE	10 ¹ str, str-cu ESE	10 ¹ str, str-cu E
5	0	0	0	0	0	0	0
6	0	0	0	0	0	0	0
7	10	10	10	10 ¹	10 ¹	10 ¹	10 ¹
8	10	10	10	10 ¹	10 ¹	10 ¹	10 ¹
9	0	0	0	2 ¹	2 ¹	1	0
10	0	0	4	5 ⁰ ci NW	10 ⁰ ci, ci-str NW	7 ⁰	5 ⁰
11	8	2	4	9 ⁰ ci-str SW	9 ⁰ ci-str SW	8 ⁰ ci, ci-str W	10 ⁰ ci-str W
12	10	10	10	10 ¹ a-cu, a-str SW	10 ¹ a-cu, a-str WSW	10 ⁰	10 ⁰
13	0	0	4	1 ⁰ ci SSW	9 ⁰ ci, ci-str SW	10 ¹ str-cu, fr-cu SSW	10
14	0	2	2	2 ⁰ fr-str WSW	8 ¹ str-cu W	1 ¹ cu, fr-cu W	9 ¹ cu, str-cu W
15	0	0	0	0	0	6 ⁰ ci WSW 3.2	8 ⁰ ci, ci-str SW
16	0	0	2	0	1 ⁰ ci, a-cu NNW	0	3 ¹ cu, fr-cu WNW
17	0	0	0	0	8 ⁰ ci, ci-cu W	8 ⁰ ci, ci-str W 2.6, a-cu W	9 ¹ fr-str W
18	6	6	4	8 ¹ ci WSW	8 ⁰ ci, a-str WSW, cu W	7 ¹ cu, fr-cu W [5.9]	8 ¹ ci, ci-str, a-cu W, cu SW
19	10	10	10	10	10	10	10
20	0	0	0	0	0	0	0 cu WNW
21	0	0	0	0	0	0	1 ⁰ ci WNW, cu W
22	10	10	10	10 ¹	10 ¹	9 ¹ str-cu NNW	4 ¹ cu NNW
23	0	0	10	10 ¹	10 ¹	10 ¹ str-cu NW	10 ¹ str-cu, ni NW
24	2	8	4	9 ¹ a-cu str-cu N	10 ¹	10 ¹	10 ¹
25	10	10	10	10 ¹	10 ¹ ni NW	10 ¹ str-cu, ni NW	10 ¹
26	10	10	10	10	8 ⁰	0	0
27	7	2	6	2 ¹	4 ¹ a-cu NE	4 ¹ a-cu, a-str NNW	8 ¹ a-cu NNW
28	8	8	5	7 ¹ str-cu, fr-cu NNW	2 ¹ fr-cu N	10 ¹ str NNW	9 ¹ str-cu NW
29	10	10	10	10 ¹ ni NNW	10 ¹ ni N	9 ¹ ni N	8 ¹ cu, str-cu N
30	10	10	10	8 ¹ a-cu, str-cu, cu-ni NE	9 ¹ cu-ni, fr-cu NE	7 ¹ ci, cu, cu-ni NE	9 ¹ str-cu, cu-ni NE
31	4	4	0	0	0 fr-cu E	2 ¹ cu E	4 ¹ cu ENE
Mittel	4.7	4.8	5.4	5.5	6.4	6.2	6.4
April							
1	0	0	0	0	0	0	0 fr-cu NE
2	0	0	0	0	0	1 ⁰ cu, fr-cu E	0 cu, fr-cu E
3	0	0	0	1 ⁰	6 ¹ ci SSW 1.6	1 ⁰	1 ¹ fr-cu SE
4	0	2	8 ⁰ ci SW	6 ⁰ ci SW	4 ⁰ ci S	6 ⁰ ci, ci-str SSE, fr-cu S	5 ¹ ci SSE, cu, str-cu S
5	0	2	6 ⁰ ci SW	6 ⁰ ci, ci-str SE	6 ⁰ ci, ci-str SE	7 ⁰ ci, ci-str, ci-cu SE	9 ⁰ ci, ci-str SE, cu, fr-cu W
6	0	8	10	10	10	10	10 ¹ str WNW
7	10	10	10	10 ¹	10	10	10
8	10	10	10 ¹	10 ¹ str W	10 str-cu W	10 str-cu W	10 str-cu W
9	10	10	10 ¹ str W	9 ¹ str W	10 ¹ str, ni W	9 ¹	8 ¹ ni, fr-str W
10	0	0	0	1 ⁰ fr-str WNW	3 ¹ cu, fr-cu WNW	3 ¹ cu, fr-cu WNW	5 ¹ cu, cu-ni, NW 4.2
11	0	8	5 ⁰ a-cu NW	1 ⁰ a-cu NW	2 fr-cu NW	2 ¹ ci, cu NW	5 ¹ cu, str-cu NW
12	0	0	0	0	1 ⁰	6 ⁰ ci SW 1.5	5 ⁰ ci SW 1.6 [cu SW
13	0	2	8 ¹ a-cu, str-cu SW	8 ¹ a-cu, str-cu SW	6 ¹ a-cu SW 4.0	4 ¹ ci W, a-cu, a-str SW	4 ¹ a-str, a-cu WSW, fr-cu
14	6	10	6 ¹ ci W, a-cu SW	6 ⁰ ci WSW	5 ⁰ ci W, a-cu SW	2 ⁰ ci WSW 2.5, a-cu SW	5 ¹ a-cu, cu, fr-cu SW
15	10	10	10	10 ¹ str-cu, str S	9 ⁰ ci, ci-str SSW 3.2	9 ⁰ ci, ci-str SSW [3.5]	9 ⁰ ci, ci-str S
16	5	10	10	9 ⁰ fr-str SW	0	2 ¹ a-cu SW	1 ¹ cu, fr-cu WSW
17	4	2	9 ⁰ ci SW	8 ⁰ ci SW, cu E	8 ⁰ ci SW	4 ⁰ ci SSW 2.3	7 ⁰ ci SSW, cu SSE
18	10	5	10 ¹	9 ¹ str-cu, str WNW	9 ¹ str-cu WNW	7 ⁰ ci, ci-str WNW, cu NW	6 ¹ cu, fr-cu NW
19	6	8	10 ¹	10 ¹ str-cu, str W	10 ¹ str-cu, str W	10 ¹	10 ¹ ni WSW
20	10	10	1 ¹ fr-str W	3 ¹ fr-str WNW	7 ¹ fr-str WNW	9 ¹ str-cu, fr-str WNW	10 ¹ ni NW
21	10	10	10 ¹	10 ¹ ni W	10 ²	10 ¹ ni, fr-ni SW	10 ¹ str-cu, str SW
22	10	10	6 ¹ fr-str W	9 ¹ str, fr-str WNW	10 ¹ str, str-cu NW	9 ¹ cu, str-cu, ni NW	8 ¹ cu, cu-ni, str-cu WNW
23	10	10	10 ¹	4 ¹ fr-str WNW	4 ¹ fr-str WNW	8 ² cu-ni, fr-cu NW	8 ¹ cu, cu-ni, str-cu NW
24	10	10	10 ¹	9 ¹	9 ¹	10 ¹	10 ¹
25	10	10	10 ¹	10 ¹ str-cu WSW	10 ¹	10 ¹ str-cu, ni SW	10 ¹
26	8	10	8 ¹ str-cu WSW	7 ¹ ci SW, cu, fr-cu WSW	5 ¹	7 ¹	8 ¹ ci, cu, cu-ni SW
27	4	0	0	0	1 ¹ cu W	7 ² cu, cu-ni W	6 ² cu, cu-ni W
28	8	5	2 ⁰ str, fr-str W	4 ⁰ str, fr-str W	4 ¹ cu, fr-cu W	5 ¹ cu W	4 ¹ cu W
29	8	10	1 ⁰ ci WSW	2 ⁰ ci WSW	0	8 ¹ a-cu SW [WNW]	9 ¹ str-cu SSW
30	4	6	3 ⁰ a-cu, a-str, SW	4 ⁰ a-cu, a-str SW	6 ⁰ a-cu, a-str SW	8 ¹ a-cu, a-str WSW, cu	8 ¹ cu, str-cu NW
Mittel	5.4	6.3	6.1	5.9	5.8	6.5	6.7

Zeitangaben nach mittlerer Ortszeit

relative Geschwindigkeit der Wolken

1000 m Höhe berechnete Geschwindigkeit in m p. s.
zu den geraden Stunden gebildet.

2 ^p	4 ^p	6 ^p	8 ^p	9 ^p	10 ^p	Mn.	Tages- mittel
1910							
2 ⁰ a-cu WSW, cu, fr-cu S 0 9 ¹ str, str-cu ESE 7 ¹ fr-str, str-cu E 0	9 ¹ 0 7 ¹ a-cu, str-cu ESE 0 0	0 0 10 ¹ str, str-cu E 0 0	0 0 10 0 0	0 0 10 0 0	0 6 10 0 0	2 10 10 0 0	2.0 4.7 9.7 5.5 0.0
0 0 0 0 3 ⁰ ci W	0 0 3 ⁰ ci NW 5 ⁰ ci, ci-str W	0 1 ⁰ 5 ⁰ ci NW 6 ⁰ ci, ci-str W	0 10 0 0 10	0 10 0 0 10	0 10 10 10 10	0 10 10 0 10	0.0 7.6 5.0 0.9 5.8
10 ⁰ ci, ci-str W 10 ⁰ 10 5 ¹ a-cu, cu, str-cu W 7 ⁰ ci, ci-str SW	9 ⁰ ci-str W 9 ⁰ 10 2 ¹ cu, fr-cu W 5 ⁰ ci SW	9 ⁰ a-cu, a-str SW 9 ¹ str-cu, fr-cu SW 10 1 ¹ fr-cu W 6 ⁰	6 ⁰ 0 9 0 0	8 ⁰ 0 8 0 0	10 0 10 0 0	10 0 10 0 0	7.9 7.3 7.7 2.5 2.7
8 ¹ cu, fr-cu WNW 10 ¹ ni W 10 ¹ cu, fr-cu SW 10 ni NNE 1 ¹ cu NW	10 ¹ str-cu W 10 10 ¹ 10 ¹ ni N 1 ⁰	1 10 ni W 10 ¹ fr-cu SSE 10 ¹ str, fr-str NNW 0	0 10 10 8 ¹ 0	0 10 10 1 ⁰ 0	0 10 10 0 0	0 8 10 0 0	2.1 6.9 8.2 8.2 0.2
1 ⁰ cu W 1 ¹ cu NNW 4 ¹ cu, fr-cu NW 10 ¹ str NW 10 ¹ str-cu, str NW	0 5 ¹ cu, fr-cu NW 0 10 ¹ 10 ¹	1 ⁰ cu WNW 6 ¹ cu, str-cu NW 0 10 ¹ ni NW 10 ¹	3 ⁰ 4 0 9 ¹ 2 ⁰ a-cu E	5 ⁰ 9 0 6 ¹ a-cu NW 1 ⁰ a-cu E	2 8 2 2 2	9 8 4 10 10	1.4 7.1 4.2 7.9 8.7
2 ¹ cu ESE 6 ¹ a-cu, a-str NNW 10 ¹ cu, str-cu NW 10 ¹ cu, str-cu N 7 ¹ str-cu, cu-ni NE 7 ¹ cu, str-cu ENE	1 ¹ cu ENE 3 ¹ a-cu NNW, cu NW 10 ¹ str-cu, str WNW 9 ¹ str-cu N 8 ¹ ni ENE 8 ¹ cu, str-cu ENE	0 1 ¹ cu, fr-cu NW 10 ¹ ni WNW 9 ¹ cu, str-cu N 1 ¹ cu-ni, fr-cu NE 1 ¹ cu ENE	0 0 10 10 8 0	0 0 10 8 0 0	0 2 10 6 5 0	5 6 10 10 0 0	3.8 4.1 8.5 9.2 7.0 2.5
5.5	5.3	4.4	3.8	3.4	3.7	4.9	5.1
1910							
0 cu, fr-cu E 0 cu, fr-cu E 2 ⁰ ci, ci-str SW, cu SSE 9 ¹ str-cu SW 7 ⁰ ci, ci-str SE, cu W	1 ⁰ 0 3 ⁰ ci SW 2 ¹ cu S 3 ¹ cu N	5 ⁰ 0 1 ⁰ 2 ⁰ ci SSE 2 ⁰	0 0 0 0 0	0 0 0 0 0	0 0 0 0 0	0 0 0 0 0	0.5 0.1 1.2 3.2 3.5
10 ¹ str WNW 10 str-cu WNW 9 ¹ cu, str-cu W 9 ¹ cu, str-cu W 5 ¹ cu, cu-ni NW	10 ¹ 10 str, str-cu WNW 9 ¹ str-cu WSW 3 ¹ cu, str-cu, fr-cu W 9 ¹ str-cu, cu-ni NW	10 ¹ 9 str, str-cu WNW 10 str-cu WSW 5 ¹ a-cu WNW, cu W 8 ¹ a-cu, str-cu, fr-cu NW	10 10 10 10 5	10 10 10 9 8	10 10 10 10 0	10 10 10 7 0	9.0 9.9 9.8 8.4 3.2
1 fr-cu NW 7 ⁰ ci, ci-cu SW 9 ¹ ci, a-cu W, cu SSW 5 ¹ cu, fr-cu SW 9 ¹ ci, a-cu S, cu, str-cu NW	0 5 ⁰ ci SW 8 ¹ ci, a-cu WSW, cu SSW 9 ¹ ci, cu-ni, fr-cu SW 10 ¹ ni NW	1 ⁰ 5 ⁰ ci SW 9 ¹ cu, str-cu SW u SSW 3 ⁰ ci W 10 ¹ ni WNW	0 9 ⁰ 7 3 ⁰ 10	0 6 ⁰ 1 2 ⁰ 10	0 0 7 2 10	0 0 6 6 10	2.0 3.2 5.3 5.2 9.7
4 ¹ a-cu, cu, fr-cu SW 8 ¹ ci, cu, cu-ni SSW 8 ¹ cu, fr-cu, str-cu NNW 10 ¹ ni W 9 ¹ str-cu, fr-str NW	1 ¹ cu SW 8 ¹ 9 ¹ cu, str-cu NW 10 ¹ 7 ¹ str-cu, fr-str NW	0 9 ¹ 3 ¹ a-cu, cu, str-cu NW 10 ¹ ni WSW 3 ¹ ci NNW, cu, fr-cu WNW	0 10 ¹ 8 ¹ 10 1	0 5 ⁰ 2 ⁰ 10 0	4 10 6 10 3	6 10 0 10 10	3.6 7.4 6.8 9.5 6.7
10 ¹ 8 ¹ cu, cu-ni, str-cu NW 4 ¹ ci-str, cu, str-cu NW 9 ¹ a-cu W, cu, str-cu SW 5 ¹ ci, ci-str, cu, fr-cu SW	9 ¹ cu, cu-ni, str-cu NW 9 ¹ cu, cu-ni, ni NW 4 ¹ cu, ni NW 10 ¹ str-cu SW 5 ¹ cu, cu-ni SW	7 ¹ cu, str-cu WNW 3 ¹ cu, str-cu WNW 10 ¹ 10 6 ¹ cu, cu-ni, ni SW	5 1 ¹ 9 ¹ 10 4 ¹	9 2 ⁰ a-cu NW 7 ⁰ a-cu W 10 0	8 3 5 10 0	2 5 8 10 2	8.4 6.8 7.5 9.8 6.8
8 ¹ ci, a-cu, cu, cu-ni SW 7 ¹ ci, cu, fr-cu, ni W 3 ¹ cu W 10 ¹ 8 ¹ ci-str, a-cu W, cu NW	10 ¹ cu, cu-ni, str-cu SW 9 ¹ ni W 4 ¹ cu SW 10 ¹ 4 ¹ cu, fr-cu SW	10 4 ¹ cu, cu-ni NW 8 ¹ str-cu SW 7 ¹ 2 ¹ ci WSW, cu, fr-cu W	10 2 ¹ 7 ¹ 4 ¹ 1	10 5 ¹ 9 ¹ 0 0	10 7 10 0 0	10 9 10 0 0	8.7 4.7 5.8 5.6 4.2
6.8	6.4	5.7	5.2	4.5	4.8	4.8	5.9

Zeitangaben nach mittlerer Ortszeit

Bewölkung, Zugrichtung und

Die halbfett gesetzten Ziffern bedeuten die auf
Die Tagesmittel sind aus den Beobachtungen

Datum	2 ^a	4 ^a	6 ^a	7 ^a	8 ^a	10 ^a	Mittag
Mai							
1	3	2	0	0	1 cu NW	5 ¹ cu W	8 ¹ str-cu W
2	0	3	5	6 a-cu NE	4 ¹ a-cu, cu NE	10 ¹ str-cu NNE	10 ¹ str-cu NNE
3	10	10	10 ¹	10 ¹	10 ¹	10 ¹ str-cu, str N	10 ¹ str-cu, str N
4	10	10	9 ¹ str-cu S	9 ¹ str-cu S	5 ¹ a-cu S, cu, fr-cu NW	5 ¹ a-cu S, cu, str-cu NW	6 ¹ a-cu S, cu, fr-cu NNW
5	10	10	10 ¹	10 ¹	10 ¹	10 ¹	10 ni NW
6	0	0	0	0	3 ¹ a-cu W	10 ¹ str-cu W	6 str-cu, fr-cu WSW
7	6	2	9	4 ⁰ fr-str SW	5 ¹ ci W, cu, str-cu WSW	9 ¹ str-cu WSW	7 ² cu-ni WSW
8	0	0	0	2 ⁰ a-cu SW	4 ⁰ ci-str, a-cu SW	8 ¹ ci, ci-str, cu SW	8 ¹ cu, str-cu SW
9	10	10	10 ¹	10 ¹ ni W	10 ¹ ni W	10 ¹ str-cu, str NW	10 ¹ cu, cu-ni, fr-str WSW
10	3	10	10 ¹	10 ¹ str, fr-str ESE	10 ¹ ni E	10 ¹ ni E	10 ¹ str-cu E
11	10	10	10 ¹	10 ¹	10 ¹	10 ¹	0 fr-cu ESE
12	7	8	8 ¹	9 ¹ str-cu E	9 ¹ str-cu E	8 ¹ ci ESE, a-cu, str-cu E	4 ¹ a-cu, cu, fr-cu E
13	8	8	7 ¹	8 ¹ str-cu E	9 ¹ str-cu E	8 ¹ a-cu SSE 4.5, str-cu SE	4 ¹ a-cu SE, cu, fr-cu ESE
14	5	3	5 ¹ a-cu, str-cu E	3 ⁰ a-cu ESE	3 ⁰	0	6 ¹ cu E
15	5	5	7 ¹ str-cu E	7 ¹ a-cu SE, str-cu ESE	3 ⁰ ci-cu, a-cu S	7 ⁰ ci SSW	7 ⁰ ci SSW
16	2	0	0	0	0	0	6 ² ci, cu, ma-cu, cu-ni SSE
17	3	5	10	2 ⁰ ci WSW, fr-str ENE	1 ⁰ ci WSW	1 ⁰	3 ²
18	10	10	10 ¹	10 ¹ str NE	10 ¹ str NE	10 ¹ str NE	10 ¹ str E
19	8	4	4 ⁰ ci, ci-str SW	5 ⁰ ci, ci-str SSW	6 ⁰ ci, ci-str S	7 ⁰ ci, ci-str S 1.4	8 ⁰ ci, ci-str SSW, fr-cu E
20	3	2	2 ⁰ ci, ci-str N	2 ⁰ ci, ci-str N	3 ⁰ ci, ci-str N 2.1	7 ⁰ ci, ci-str N	4 ⁰ ci, ci-str N
21	2	2	1 ⁰	0	0	0	0
22	4	3	9 ⁰ ci, ci-str N	9 ⁰ ci, ci-str N	8 ⁰ ci N	4 ⁰ ci N	0
23	0	0	0	0	0	0	0
24	0	0	0	0	0	0	0
25	5	2	6 ⁰	4 ⁰	4 ⁰ ci W	5 ⁰ ci W	8 ¹ ci W, cu, fr-cu N
26	3	2	0	0	0	0	0
27	3	0	0	0	0	1 ⁰	7 ⁰ ci W a. NW 1.7
28	10	10	10	10 str-cu W	9 ¹ cu-ni, str-cu WNW	9 ¹ cu, str-cu WNW	10 ¹ str-cu WNW
29	10	10	10 ¹	10 ¹	10 ¹ ni W	10 ¹ ni, fr-ni W	10 ¹ ni WNW
30	3	5	10	10 ¹	10 ¹	9 ¹ str-cu WSW	10 ¹ ni WSW
31	3	5	7 ¹	7 ¹ cu, fr-cu WSW	7 ¹ a-cu, str-cu WSW	7 ¹ cu, str-cu WSW	6 ¹ cu, fr-cu WSW
Mittel	5.0	4.9	5.8	5.4	5.3	6.1	6.1

Juni

1	0	0	0	0 ci WSW	3 ⁰ ci W	4 ⁰ ci W, cu WSW	7 ¹ cu, str-cu W
2	10	10	3 ⁰ ci, a-cu, cu WSW	2 ⁰ ci, a-cu WSW	2 ⁰ ci, a-cu WSW	3 ⁰ ci, ci-str WSW	6 ¹ ci SW, a-cu SW 4.8, cu [SW
3	2	2	1 ⁰ a-cu SW	1 ⁰ a-cu SW	1 ⁰	0	1 ¹ cu SW
4	8	8	2 ⁰	1 ⁰ ci SSW	2 ⁰ ci, a-cu SSW	1 ⁰ ci SSW 1.8, a-cu SSW	0
5	8	3	2 ¹ a-cu E	0	2 ⁰	6 ⁰ ci W	1 ⁰
6	8	3	1 ⁰	0 a-cu E	0	0	0
7	2	2	2 ⁰ a-cu E	0 a-cu E	0	0	1 ¹ cu E
8	2	2	1 ¹ a-cu ESE	2 ¹	7 ¹ a-cu E	2 ¹ cu, fr-cu E	8 ²
9	8	3	0	0	0	3 ⁰	3 ¹ cu, cu-ni N
10	0	2	0	0	0	0	1 ⁰ cu, fr-cu SE
11	0	0	0	0	0	0	3 ¹ cu, fr-cu SE
12	4	5	2 ⁰	2 ⁰ ci E	1 ⁰	0	5 ¹ cu, cu-ni E
13	8	8	10 ¹	9 ¹ str-cu E	9 ¹ ni E	8 ¹ a-cu SSW, str-cu, ni E	9 ² a-cu SSW, cu, cu-ni SE
14	8	8	10 ¹	10 ¹ ni SE	10 ¹ ni SSE	7 ⁰ a-cu SSE 0.7	5 ⁰ ci SE
15	10	10	10 ¹ str NNW	10 ¹ str NNW	10 ¹ str N	10 ¹ str N	10 ¹
16	10	10	10 ¹ str N	10 ¹	10 ¹	8 ¹ ni, fr-ni NNE	9 ¹ str-cu NNE
17	10	10	10 ¹ str NNE	10 ¹	10 ¹	9 ¹ str, str-cu NNE	8 ¹ a-cu ESE 0.8, cu, str-cu
18	5	3	3 ⁰	3 ⁰ ci WSW	2 ⁰ [str WNW	1 ⁰	2 ⁰ ci W, cu NNE [ESE 6.2
19	2	10	10 ¹ str WNW	10 ¹ str WNW	8 ¹ ci, ci-cu NW, str-cu, fr-	9 ¹ ci, ci-str, a-cu NW	9 ⁰
20	2	5	1 ¹	1 ¹ cu, fr-cu NNE	3 ¹ cu, fr-cu NNE	9 ¹ str-cu, fr-cu N	7 ¹ cu, fr-cu N
21	0	2	0	0	0	0	10 ci NNW 2.5
22	2	4	2 ⁰	1 ⁰	2 ⁰	5 ⁰ ci WNW	7 ⁰ ci, ci-cu NW
23	10	10	10 ni W	10 ni W	10 ¹ str, fr-str W	10 ¹ str, str-cu W	9 ¹ str-cu W
24	8	6	9 ¹ str-cu, fr-str, ni W	9 ¹ str-cu, fr-str, ni W	9 ¹ str-cu, ni W	9 ¹ cu, str-cu W	9 ¹ ci, ci-str, cu, fr-cu W
25	5	0	3 ¹ a-cu W	0	2 ⁰ a-cu SW	8 ¹ ci, a-cu, cu SW	10 ¹ cu, cu-ni SW
26	3	2	3 ⁰	7 ¹ a-cu, cu, fr-cu SW	6 ¹ ci WSW, cu, fr-cu SW	8 ¹ cu, str-cu SW	10 ¹ str-cu SW
27	2	6	6 ¹ a-cu, str-cu W	8 ¹ a-cu, str-cu W	7 ¹ str-cu W	6 ¹ ci WSW, cu, cu-ni W	9 ¹ cu-ni WNW
28	10	10	9 ¹	9 ¹ ci, ci-str SW	9 ¹ a-cu WSW, str-cu SW	8 ¹ a-cu, cu, str-cu SW	10 ¹ str-cu SW
29	8	3	9 ¹	10 ¹ str-cu SW	10 ¹ str-cu SW [SW	10 ¹ str-cu SW	6 ¹ cu, str-cu WSW
30	7	10	7 str-cu SW	8 ¹ a-cu WSW	8 ⁰ ci, ci-str SW 3.4, cu	4 ¹ ci, ci-str, cu SW	9 ¹ ci-str, cu SW
Mittel	5.4	5.2	4.5	4.4	4.8	4.9	5.8

Zeitangaben nach mittlerer Ortszeit

relative Geschwindigkeit der Wolken

1000 m Höhe berechnete Geschwindigkeit in m p. s.
zu den geraden Stunden gebildet.

2P		4P		6P		8P		9P		10P		Mn.	Tagemittel
1910													
7 ¹ str-cu W 10 ¹ str-cu NNE 10 ¹ str-cu N 6 ¹ ci, a-cu S, cu NNW 10 ¹	5 ¹ ciSSW 2.3, cu, str-cu N 10 ¹ str-cu N 10 str-cu, str NNW 8 ¹ ci, a-cu S 10 ¹ str-cu, cu-ni WNW	1 ⁰ ci S 10 ¹ 9 str-cu, str N 9 ¹ a-cu S 9 ¹ a-cu, a-str SW	1 10 ¹ 7 10 9	2 10 3 10 8	0 10 10 10 0	0 10 10 10 0	2.8 7.7 9.7 8.2 8.2						
10 ¹ str-cu, cu-ni SW 2 ¹ a-cu, cu, cu-ni WSW 9 ¹ cu, str-cu SW 9 ² 10 ¹ ni ENE	10 ¹ str-cu SW 7 ¹ ci-str, cu, fr-cu W 10 ¹ cu, str-cu WSW 7 ¹ ci-str, a-cu, cu SW 10 ¹	10 ² str-cu WSW 4 ¹ cu, str-cu W 10 ¹ [cu SW 7 ¹ ci, a-cu WSW, cu, str- 10 ¹ str ENE	10 ² 2 10 4 10	10 0 10 1 10	10 0 10 0 10	4 0 10 0 10	6.1 4.4 6.6 7.2 9.4						
4 ⁰ ci S, a-cu SE, cu ESE 4 ¹ ci, a-cu ESE, cu E 5 ¹ ci, a-cu, cu SE 9 ² cu-ni E 4 ¹ a-cu SSE, cu, cu-ni SE	6 ¹ cu, cu-ni ESE 8 ¹ ci, a-cu, cu, cu-ni ESE 10 ² cu-ni E 7 ¹ ci, ci-str, cu, cu-ni E 9 ¹	7 ⁰ ci SE 4.1, a-cu E 2.1 3 ¹ a-cu, cu, cu-ni ESE 7 ¹ ci SE 8 ¹ ci, ci-str, cu E 6 ⁰ ci SSW	3 ⁰ cu, str-cu E 3 ¹ ci E, cu, fr-cu ESE 10 ¹ 7 ¹ ci, a-cu, cu, cu-ni E 3 ⁰ ci SSW	2 ⁰ 2 ⁰ 9 8 2 ⁰	2 0 7 7 0	8 6 5 5 4	6.7 5.7 7.3 5.4 5.0						
3 ² ci SE, cu, cu-ni E 5 ² ci, cu, cu-ni SW 10 ¹ str-cu E 7 ⁰ ci, ci-str SSW 4 ⁰ ci, ci-str N	6 ² ci SSE 8 ² 3 ⁰ ci SW, str-cu ENE 7 ⁰ ci, ci-str SSW 7 ⁰ ci, ci-str NNW	8 ² 10 ¹ 4 ⁰ 8 ⁰ ci, ci-str SW 7 ⁰	10 ² 10 ¹ 8 ⁰ 3 ⁰ ci, ci-str NW 4 ⁰	9 ² 10 ¹ 8 ⁰ 3 ⁰ ci, ci-str N 4 ⁰ ci, ci-str NW	10 10 9 2 2	10 6 8 2 2	4.6 6.0 8.5 5.5 3.8						
0 1 ⁰ ci N 0 0 0 3 ¹ ci NW, cu N	0 0 0 0 4 ¹ ci WNW, cu, fr-cu N	1 ⁰ 0 0 0 8 ¹ cu-ni NE	3 ⁰ ci N 0 0 0 9 ¹ str-cu, cu-ni E	3 ⁰ 0 0 0 10	2 0 0 3 10	4 0 0 7 7	1.2 2.4 0.0 0.8 5.9						
0 4 ⁰ ci W, NW 0.8, cu, fr- 10 ¹ str-cu WNW 9 ¹ str-cu, ni WNW 10 ¹ 3 ¹ ci NW, cu, fr-cu W	[cu W 0 9 ¹ cu, str-cu, fr-cu W 6 ¹ cu, fr-cu WSW 8 ¹ 10 ¹ ni WSW 3 ¹ ci, a-cu, cu, fr-cu SW	0 9 ⁰ ci, ci-cu W, a-cu WSW 7 ⁰ ci-str, a-str W 6 ¹ 10 ¹ ni WNW 2 ¹ cu, fr-cu SW	0 10 ¹ str-cu NW 3 ⁰ ci, ci-str W 3 ⁰ 9 ¹ str-cu W 0	0 10 9 ¹ 3 ⁰ 9 ¹ 0	2 10 10 4 10 6	5 10 10 0 0 0	1.0 5.2 8.7 7.5 8.0 4.1						
5.7	6.4	6.1	5.5	5.3	5.4	4.9	5.6						

1910

6 ¹ cu, str-cu W 5 ¹ ci, a-cu, cu SW 2 ¹ cu SW 1 ¹ cu, fr-cu SSW 3 ¹ cu SE	9 ¹ cu, str-cu W 7 ¹ ci, a-cu, cu, cu-ni SW 5 ¹ 2 ⁰ ci W 3 ¹	8 ¹ str-cu W 9 ¹ str-cu, ni SW 7 ¹ cu, cu-ni SW 8 ⁰ a-cu, a-str SW 3 ¹	3 ⁰ 8 ¹ cu, cu-ni SW 10 ¹ 4 ⁰ 5 ¹ ci, ci-str W	1 ⁰ 2 ⁰ 10 ¹ 6 3	4 3 5 3 3	2 2 6 4 4	3.8 5.7 3.5 3.6 3.6						
2 ¹ cu, fr-cu E 5 ¹ cu, cu-ni E, fr-cu NE 6 ¹ ci W, cu, cu-ni, fr-cu E 4 ¹ cu, cu-ni, fr-cu E 3 ¹ cu, fr-cu SE	1 ¹ cu, fr-cu E 9 ¹ 9 ¹ ci, a-str W, cu-ni E 5 ¹ ci, a-cu, cu, ni E 7 ¹ cu, cu-ni, fr-ni SE	7 ¹ ci, ci-str SE, cu, cu-ni E 9 ¹ [ma-cu E 9 ¹ ci, a-cu WSW, cu, cu-ni, 5 ¹ ci, a-cu E, cu-ni ESE 6 ¹	8 ¹ cu-ni, fr-cu E 7 ¹ ci, ci-cu E 9 ⁰ 8 ¹ 3 ¹	4 ¹ 2 9 ⁰ 4 3 ⁰	4 5 7 4 2	4 3 3 0 2	3.0 3.8 5.6 3.6 2.2						
1 ¹ cu SE 9 ² cu-ni E 6 ¹ a-cu, cu, cu-ni SSW 9 ¹ a-cu SE, cu, cu-ni SSE 10 ¹ str N	2 ¹ cu, cu-ni SE 2 ¹ cu, fr-cu E 6 ¹ a-cu, cu, cu-ni SSW 7 ¹ cu, cu-ni E 10 ¹	7 ¹ cu, cu-ni SE 4 ¹ cu, cu-ni E 3 ¹ ci S, cu, cu-ni SW 10 ¹ cu-ni, str-cu, fr-cu NE 10 ¹	8 ¹ cu-ni SE 10 ² cu-ni, ni E 2 ⁰ 10 9 ¹	8 ¹ 10 ² 2 ⁰ 10 ¹ 10 ¹	5 6 0 10 10	0 8 2 9 7	2.2 4.7 5.9 8.6 9.7						
10 ¹ str-cu NNE 9 ¹ a-cu, str-cu NW 0 cu, fr-cu N 6 ¹ ci, ci-str NW, cu W 5 ¹ cu, fr-cu N	9 ¹ str-cu NNE 9 ¹ a-cu 1.2, str-cu NW 0 9 ² cu, str-cu, cu-ni NW 2 ¹ cu, fr-cu NNE	9 ¹ 8 ¹ ci, ci-cu, a-cu NW 0 6 ¹ cu, str-cu, fr-cu NW 0	6 ¹ str-cu NE 7 ¹ ci, ci-cu S, a-cu NW 0 8 ¹ cu, str-cu NW 0	7 ¹ 4 ¹ 0 5 0	10 7 2 3 0	10 4 2 4 0	9.2 8.4 1.7 7.0 2.8						
4 ⁰ ci NNW 9 ⁰ 9 ¹ cu, str-cu W 5 ¹ ci W, cu, fr-cu NW 6 ¹ ci SW, cu, cu-ni WSW	6 ⁰ ci NNW 8 ⁰ 6 ¹ cu, str-cu W 2 ¹ ci WNW [WSW 7 ¹ ci, a-cu, cu, cu-ni, ni	6 ¹ ci NW 9 ⁰ a-cu, a-str W 7 ¹ a-cu, cu, str-cu W 3 ¹ ci, ci-str W 7 ¹	1 ⁰ 8 ⁰ a-cu W 10 ² ni W 7 ¹ str-cu, fr-cu WNW 9 ¹ str-cu W	0 9 5 ¹ 6 ⁰ 10 ²	0 10 3 4 8	2 10 8 7 7	1.8 6.3 8.5 6.5 6.0						
10 ¹ str-cu SW 7 ¹ str-cu WNW 10 ¹ str-cu SW 9 ¹ str-cu W 9 ¹ cu, str-cu SW	10 ¹ str-cu SW 8 ⁰ ci WSW, cu, str-cu WNW 9 ¹ str-cu SW 8 ¹ cu, str-cu W 10 ¹ ni SW	10 ¹ cu-ni, str-cu SW 10 ¹ 10 ¹ ni SW 8 ¹ cu, str-cu W 10	10 ¹ str-cu W 7 ¹ a-cu WSW, str-cu W 3 ¹ str-cu WSW 7 ¹ ci, a-cu WSW, str-cu W 9 ¹	10 ¹ 6 ¹ 9 ¹ 3 ⁰ 5 ⁰	8 0 10 6 10	8 0 9 4 10	7.3 5.7 8.9 7.3 8.6						
6.0	6.2	6.9	6.5	5.4	5.1	4.7	5.5						

Zeitangaben nach mittlerer Ortszeit

Bewölkung, Zugrichtung und

Die halb fett gesetzten Ziffern bedeuten die auf
Die Tagesmittel sind aus den Beobachtungen

Da- tum	2 ^a	4 ^a	6 ^a	7 ^a	8 ^a	10 ^a	Mittag
Juli							
1	10	10	10 ¹ str-cu SW	10 ¹ ni SW	10 ¹ ni SW	10 ¹ str-cu SW	8 ¹ cu, str-cu SW
2	8	4	8 ¹	4 ¹ str-cu WSW	9 ¹ str-cu WSW	7 ¹ a-cu, str-cu WSW	8 ²
3	5	2	7 ⁰	9 ⁰ a-cu, a-str SW	10	10 ¹ ni SSW	9 ¹ ni SSW
4	4	4	5 ⁰ ci, ci-str SE	6 ⁰ ci, ci-str SE	8 ⁰ ci, ci-str SE	8 ⁰ ci SE	7 ¹ ci SSE, a-cu WSW, cu W
5	10	8	1 ¹	3 ¹ cu, fr-cu WNW	9 ¹ cu, str-cu W	9 ¹ str-cu W	9 ¹ a-cu N, cu, str-cu WNW
6	4	10	10 ¹	9 ¹ a-cu, cu, str-cu WNW	5 ¹ a-cu, a-str WNW	8 ¹ cu, str-cu WNW	7 ¹ ci SSW, a-cu NW, cu W
7	5	10	5 ⁰ ci SSE	7 ⁰ ci SSE	3 ⁰ ci SSE, a-cu E	7 ¹ a-cu N, cu NE	8 ¹ a-cu NE, cu NW
8	10	10	10 ¹ ni W	10 ¹ ni, fr-ni W	10 ¹ ni W	10 ¹ ni W	10 ¹ ni W
9	10	10	10 ²	10 ²	10 ²	10	10 ¹ str WNW
10	10	10	10	10	10	9 ¹ cu, cu-ni, str-cu NW	6 ¹ cu, fr-cu NW
11	10	10	10 ¹	10 ¹ str-cu, fr-str NNW	10 str-cu NW	10 ¹ str-cu NNW	10 ¹ str-cu N
12	10	10	10	9 ¹ a-cu NNE, cu, str-cu NW	10 str-cu W	10 ¹ str-cu NW	9 ¹ ni NW
13	10	10	7 ⁰ ci, ci-cu NE	4 ⁰ ci, ci-str, ci-cu NE	5 ¹ a-cu NNW, cu NW	9 ¹ a-cu N, cu, str-cu NW	3 ¹ a-cu N, cu, fr-cu NW
14	6	8	9	8 ¹ a-cu NNE	8 ¹ a-cu, cu, str-cu N	9 ¹ cu-ni, ni N	7 ¹ ci NE, cu, fr-cu NW
15	3	3	10	10 ¹	10	3 ¹ cu, fr-cu NW	9 ¹ str-cu NW
16	3	10	10 ¹ str WNW	10 ¹ str WNW	10 ¹ str WNW	10 ¹ str WNW	10 ¹ str-cu, str NW
17	8	4	5 ¹	0	0	0	0
18	2	2	5 ⁰	3 ⁰ ci, ci-str W	6 ⁰ ci, ci-str W	10 ¹ a-str SW	10 ¹ ni SW
19	10	10	10 ¹	10 ¹ str W	10 ¹ str W	9 ¹ str-cu WNW	8 ¹ a-cu, cu NW
20	0	4	8 ¹ str-cu WNW	8 ¹ ci W, str-cu WNW	9 ¹ str-cu WNW	9 ¹ a-cu, a-str, str-cu W	9 ¹ cu, str-cu WSW
21	10	10	10 ¹	10 ¹	10 ¹	10 ¹ ni SW	10 ¹ ni W
22	5	5	10 ¹	10 ¹ ni WSW	10 ¹ ni WSW	10 ¹	10 ¹
23	10	4	10 ni W	10 ni W	6 ¹ str-cu, fr-cu W	8 ¹ a-cu, cu, cu-ni W	9 ¹ str-cu W
24	8	8	10 ¹ str, fr-str W	10 ¹ str, fr-cu W	10 ¹ str W	9 ¹ cu-ni, fr-str W	10 ¹ ni W
25	3	2	2 ci, ci-str W	3 ci, ci-cu, ci-str W	3 ci, ci-cu, ci-str W	9 ¹ a-str W, str SSW	6 ¹ cu SSW
26	10	5	2 ci WSW	8 ¹ str-cu SW	8 ¹ str-cu SW	8 cu SW	5 ci SW, cu, cu-ni SSW
27	7	8	10 ¹ str-cu, str WSW	9 ¹ str-cu, str WSW	10 ¹ str-cu, str WSW	10 ¹ cu, str-cu, str WSW	10 ¹ cu, str-cu WSW
28	2	2	2 ⁰	2 ⁰	3 a-cu NW	3 ¹ ci, cu SW	5 ² cu S
29	7	2	2 ⁰ ci, ci-str WSW	6 ⁰	2 ⁰	2 ⁰	3 ci-cu SW
30	8	8	10 ¹ str-cu, str NE	10 ¹ str WNW	10 ¹ str-cu, str W	10 ¹ str-cu, str, ni W	10 ¹ ni W
31	10	10	7	4 ⁰ ci WNW	4 ⁰ ci WNW	3 ⁰ ci W	5 ⁰ ci W
Mittel	7.0	6.9	7.6	7.5	7.7	8.0	7.7
August							
1	10	10	9 ¹ a-cu S	9 ¹ a-cu S	8 ¹ a-cu S	9 ⁰ ci, ci-str S	9 ⁰ cu, fr-cu W
2	10	10	10	10	10 ¹ ni W	9 ¹ str-cu, cu-ni WNW	8 ¹ cu, cu-ni WNW
3	2	3	5	7 ⁰ ci W, a-cu SW	6 ¹ ci W, a-cu SW	9 ¹ a-str W	9 ¹ a-cu, a-str W
4	10	10	10	10 ni ENE	10	10 str E	10 ni E
5	8	5	10 str-cu, str W	9 ¹ str-cu, str W	8 ¹ str, fr-str SW	1 cu, fr-cu W	5 ¹ cu, fr-cu WSW
6	10	10	10	10	10	10 str WNW	8 ¹ ci-cu, a-cu, cu, str-cu W
7	4	4	2 ⁰ cu, fr-cu WNW	2 ⁰ fr-cu WNW	3 ⁰ fr-cu WNW	7 ¹ cu, fr-cu WNW	6 ¹ cu, fr-cu WNW
8	8	8	10 ¹ str-cu, str WNW	10 ¹ str, fr-str WNW	9 ¹ a-cu, str-cu WNW	10 ¹ str-cu, str WNW	10 ¹ str-cu, str NW
9	5	8	9 ¹ str-cu NNW	9 ¹ str-cu NNW	7 ¹ a-cu, str-cu N [NNE]	4 ¹ cu, fr-cu NNW [cuNE]	8 cu, str-cu NNW, fr-cu
10	5	3	7 cu, str NNE	7 ¹ cu, str-cu NNE	7 ¹ ci-cu NNE 4.2, str-cu	6 ¹ ci-cu NNE 2.9, cu NNE,	9 ¹ str-cu NNE [NNW 2.4]
11	0	3	2	7 ¹ str-cu, fr-cu N	8 ¹ str-cu N	5 ¹ a-cu, str-cu, fr-cu NNW	7 ¹ str-cu, fr-cu NNW 3.5
12	0	10	10 ¹ str, fr-str WNW	10 ¹ str, fr-str WNW	10 ¹ str, fr-str WNW	6 ¹ str-cu, fr-cu WNW	2 ci NNW 2.3, cu WNW
13	10	10	10 ¹ str, fr-str W	10 ¹ str, fr-str W	10 ¹ str-cu, str W	10 ¹ str-cu, ni W	8 ¹ cu W, str, fr-str WNW
14	10	10	9 ⁰ a-cu NNW, str NE	8 ¹ a-cu NW, str-cu, fr-str	8 ⁰ a-cu NW, cu, str-cu NE	6 cu, fr-cu NNW	5 cu, fr-cu NNW
15	0	0	0	0 [NE]	1 ci-cu, ci-str WNW	3 ci-str, a-cu WNW, cu S	2 ci, ci-str WNW, cu SSE
16	8	10	10 ¹ ni, fr-ni W	10 ¹ str, fr-str W	9 str-cu, str W	2 ci WSW 1.9, cu, fr-cu	5 ci-str SW, cu, fr-cu
17	0	2	5 str-cu, fr-cu NNW	1 str-cu, fr-cu NNW	2 ci, ci-str SSW, fr-cu	2 cu, fr-cu W [WNW]	2 cu, fr-cu WNW [WNW]
18	10	10	6	7 ¹ a-cu W	6 ¹ a-cu W [WNW]	7 ¹ a-cu, a-str W	6 ⁰ cu, fr-cu WSW
19	4	2	10 ¹	10 ¹ str, fr-str SW	9 ⁰ str, fr-str SW	9 ⁰ str, fr-str SW	10 ¹ str-cu, str SW
20	10	10	9 ⁰ a-cu, a-str WNW	10 ¹ a-cu, a-str, fr-str WNW	10 ¹ fr-cu, fr-str WNW	10 ¹ str-cu, str W	9 ¹ a-cu WNW, str-cu W
21	5	6	9 ¹	9 ¹ str-cu WSW	8 ¹ str-cu WSW	1 ⁰ cu, fr-cu W	6 ¹ cu W
22	4	7	10 ¹	10 ¹ str-cu W	10 ¹	10 ¹ str-cu WSW	9 ¹ a-cu SW, cu, str-cu
23	10	10	9 ¹	8 ¹ fr-str WNW	9 ¹ str-cu WNW	7 ¹ cu, str-cu WNW	7 ¹ cu, str-cu W [WSW]
24	10	10	10	4 ⁰ ci, a-cu W	2 ¹ cu, fr-cu W	5 ¹ cu W	9 ¹ str-cu W
25	0	2	8 ⁰	9 ⁰ ci str, a-cu, a-str W	9 ⁰ a-cu WSW	9 ⁰ ci-str, a-cu WSW	10 ¹ str-cu WSW
26	8	2	0	0	0	1 ⁰ ci W	9 ⁰ ci, ci-str SW, cu S
27	5	10	10	10 ¹	10 ¹	10 ¹	10 ¹ ni W
28	0	0	0	0	0	1 ⁰ cu, fr-cu W	3 ¹ ci-str NW, cu, fr-cu W
29	6	8	10 ⁰	10 ⁰	10 ⁰	10 ⁰	10 ⁰
30	2	10	8 ¹ a-cu, a-str WSW	9 ¹ ci-cu, a-cu, a-str SSW	10 ¹ a-cu, a-str, fr-ni SSW	9 ¹ a-cu, a-str SSW	10 ¹ fr-str SSW
31	6	8	9 ⁰ ci-str, a-str SW	9 ⁰	9 ⁰	9 ¹ a-cu, a-str S	9 ⁰ ci, ci-str S
Mittel	5.8	6.8	7.6	7.5	7.4	6.7	7.4

Zeitangaben nach mittlerer Ortszeit

relative Geschwindigkeit der Wolken

1000 m Höhe berechnete Geschwindigkeit in m p. s.
zu den geraden Stunden gebildet.

2P	4P	6P	8P	9P	10P	Mn.	Tagesmittel
9 ¹ cu, str-cu WSW 6 ² ci, cu-ni, ni SW 6 ⁰ ci SW, cu, fr-cu WSW 7 ¹ a-cu WSW, cu W 8 ¹ cu, str-cu WNW	6 ¹ cu-ni, ni WSW 4 ¹ a-cu, a-str SW 4 ⁰ a-cu SW [WNW 7 ¹ ci W, a cu, cu, cu-ni, ni	9 ² ci, a-cu WSW 2 ⁰ ci, cu, cu-ni SW [str W 7 ¹ ci, ci-str WSW 1.6, a-	9 ¹ str-cu W 3 ⁰ ci, a-cu WSW 2 ⁰ ci SW 8 ⁰ ci S, a-cu WSW	3 ⁰ ci, a-cu, str-cu WSW 3 ⁰ ci SW 9 ¹ ni W	10 3 8 2 2 3 9 3 8 4		8.7 6.2 5.6 5.9 7.3
8 ¹ a-cu NW, cu SW 6 ¹ a-cu NNW, cu N 10 ¹ str NW 10 ¹ str WNW 3 ¹ cu, fr-cu NW	10 ¹ str SW 8 ¹ ci E 3.3, a-cu NNE, cu, [cu-ni NW 10 ¹ 10 ¹ 2 ¹ cu, fr-cu NNW	5 ¹ a-cu S, str-cu SSW 8 ⁰ ci E, a-cu NE 1.7, u. 10 ¹ [NW 2.4 10 ¹ 2 ¹ cu, fr-cu NW	5 ¹ ci WSW, a-cu SSE, str- 7 ¹ ci E [cu S 10 ¹ 10 ¹ 8 ¹ cu, str-cu NW	4 ⁰ ci E, a-cu NE 10 ¹ 10 ¹ 1	3 2 10 9 10 10 10 10 6 10		6.4 7.2 10.0 10.0 7.2
10 ¹ str-cu N 8 ¹ cu-ni NW 4 ¹ cu, cu ni, fr-cu NNW u. 6 ¹ cu, cu-ni NNW [NW o cu, fr-cu NW	10 ¹ cu, str-cu N 7 ¹ cu, cu-ni NW 5 ² cu, cu-ni NW 9 ¹ cu-ni NW o	10 ¹ cu, str-cu N 8 ¹ cu, cu-ni NW 2 ¹ a-cu NW 7 ¹ ci-str N o	9 ¹ cu, str-cu N 7 ¹ a-cu NE, cu, cu-ni, str- 2 ⁰ [cu N 4 ⁰ ci, a-cu N o	10 9 ¹ o 4 ⁰ o	10 8 10 10 4 4 7 3 3 0		9.8 9.1 5.4 6.9 3.4
9 ¹ a-cu N, str-cu NW 5 ⁰ ci, ci-str W 10 ¹ a-str SW 3 ¹ ci W 9 ¹ str-cu W	7 ¹ a-cu NW, cu, str-cu 6 ⁰ ci, ci-str W 1.4 [WNW 9 ¹ ci-cu SW, a-cu SSW, 7 ¹ cu, cu-ni NW [a-str W 10 ¹ str-cu, cu-ni W	5 ¹ ci, ci-str W 7 ⁰ ci, ci-str W 9 ¹ ci S, a-cu, a-str SSW 6 ¹ a-cu, a-str W, str-cu W	4 ¹ str-cu W 6 ⁰ ci, ci-str W 10 ² ni SW 5 ¹ ni SW 7	o 6 ⁰ ci, ci-str W 10 ² ni SW 3 ¹ ni SW 5	o o 4 2 10 10 6 3 8 10		6.5 3.9 7.8 7.2 7.7
10 ¹ ni W 10 ¹ ni W 9 ¹ str-cu, cu-ni W 9 ¹ cu, ni W 10 ¹ str, fr-cu SSW	10 ¹ cu, str-cu, fr-cu WSW 9 ¹ cu, str-cu, cu-ni W 7 ¹ a-cu, str, ni W 10 ⁰	10 ¹ str-cu WSW 9 ¹ cu, str-cu W 7 ² cu-ni WNW 10 ¹ str-cu, fr-str SW	10 ¹ 9 ¹ str-cu, cu-ni W 2 cu W 9 ¹ a-str SW	9 ¹ str-cu WSW 7 ¹ cu WSW o 9	10 7 6 10 6 10 2 5 10 4		9.8 8.7 8.2 7.2 6.5
6 cu, fr-cu SW 9 ¹ a-cu, str-cu, fr-cu W 3 ¹ cu S 10 ¹ cu, fr-cu, str S 9 ¹ a-cu, str-cu, str N 7 ¹ ci W, cu, fr-cu S	7 cu, cu-ni SW 8 ¹ cu, str-cu, str W 2 ¹ cu S 8 ¹ str-cu, str WSW 10 ¹ str, fr-str, ni NE [SSW 7 ¹ ci WSW, a-cu SW, cu	3 cu, fr-cu WSW 5 ¹ a-cu, cu, str-cu W 1 ci-str SW 8 ¹ str-cu, str SW 7 ¹ cu-ni S 9 ¹ cu-ni S	2 str SW 8 ¹ str-cu W 2 ¹ ci, ci-str SW 9 ¹ cu, str-cu, str SW 4 ¹ str-cu, ni SSW 10	1 7 ¹ 2 ⁰ 7 ¹ 2 ⁰ 10	2 2 10 7 2 4 3 6 o o 10 10		5.0 8.5 2.6 5.2 7.2 7.7
7.4	7.3	6.6	6.4	5.6	6.4	5.5	7.0

1910

9 ¹ ci, a-cu S, cu-ni, ni NW 3 ¹ cu, fr-cu WNW 9 ¹ 10 1 cu, fr-cu WSW	9 ¹ cu, fr-cu W 8 ¹ a-cu, a-str W 10 ¹ 4	10 ¹ cu-ni W 1 8 ¹ a-cu S 10 ¹ str SW 4	10 ¹ 1 9 10 ni WSW 10 ¹	10 ¹ 1 10 10 10	10 10 o o 10 10 10 10 10 10		9.4 5.5 7.3 10.0 6.3
5 ¹ ci, ci-cu, a-cu N, cu W 9 ¹ cu, str-cu, fr-cu WNW 10 ¹ str-cu, ni WNW 7 ¹ cu, str-cu, fr-cu NNW 8 ¹ str-cu, fr-cu NNE	2 ci, ci-cu ENE 9 ¹ cu, str-cu, fr-cu WNW 5 ¹ a-cu, cu, fr-cu NW 6 ¹ cu, fr-cu NNW 7 ¹ str-cu, fr-cu, cu-ni NNE	7 ¹ ci, str-cu W, ci-cu WNW 10 ¹ str-cu, str WNW 6 a-cu, cu, str-cu NW 6 cu, fr-cu NW 1.9 [cu N 6 ¹ a-cu N 1.5, str-cu, fr-	6 ¹ str-cu fr-cu WNW 10 ¹ str-cu, str WNW 3 str-cu, fr-cu ESE 7 ¹ str-cu NNW 2 ¹	7 ¹ 10 ¹ 6 10 ¹ 2 ¹	2 2 10 8 8 10 10 10 o o		6.8 6.8 8.1 7.2 5.0
8 ¹ cu, fr-cu NNW 6 ⁰ ci NW 1.7 10 ² str-cu, str, cu-ni WNW 4 cu, fr-cu NNW o	1 ¹ cu NNW 9 ⁰ ci NW, a-str WNW 10 ¹ ni WNW 4 cu, fr-cu NNW o	o 10 ¹ 10 ¹ cu-ni, ni WNW 1 cu, fr-cu NNW o	6 ¹ cu, str-cu NNW 10 ¹ str, fr-str NW 10 ¹ cu, ni WNW 1 1 ⁰	4 ¹ 10 ¹ 10 ¹ o 1 ⁰	o 2 10 10 10 10 o o o 5		3.5 7.8 9.8 4.8 1.0
3 ci, ci-str SW, cu WNW 4 ci, ci-str WSW, cu W 8 ¹ ci-str W, str-cu WSW 10 ¹ ni SW 9 ¹ a-cu WNW, str-cu W	5 cu, fr-cu WNW 3 ⁰ cu, fr-cu W 5 ⁰ cu, fr-cu W 10 ¹ str, ni SSW 8 ¹ a-cu, str-cu WNW	6 ⁰ ci, ci-str WSW, str-cu [WNW o 5 ⁰ cu, fr-cu W 9 ¹ cu-ni SSW 8 ¹ a-cu, str-cu WNW	6 ⁰ str-cu, str WNW 2 ⁰ 1 ⁰ 3 ¹ str-cu, fr-cu SW 8 ¹	2 2 ⁰ o 1 ⁰ 6 ¹	2 2 6 8 2 4 5 8 8 8		5.7 3.0 5.8 7.4 8.9
7 ¹ cu, str-cu W 10 ¹ ni WSW 9 ¹ ci, a-cu, cu, ni W 7 ¹ a-cu W, cu WSW 6 ¹ a-cu, str-cu WSW	3 ¹ cu W 10 ¹ 6 ¹ ci WSW 3.5, cu, fr-cu W 7 ¹ cu WSW 10 ¹	3 ¹ cu W 10 ¹ ni WNW 7 ⁰ ci, ci-str W 3 ⁰ a-cu WSW 6 ⁰ a-cu, a-str W	2 ⁰ 10 ¹ ni WNW 7 ¹ 9 ¹ 3 ⁰	o 10 5 ⁰ 6 3 ⁰	2 2 10 10 5 10 8 o 5 8		4.5 9.2 8.0 6.7 6.3
6 ⁰ ci WSW, cu S 8 ¹ fr-cu, ni WNW 5 ⁰ 9 ⁰ 10 ¹ [cu WNW 6.0 6 ¹ ci-str SSW 2.5, cu, fr-	9 ⁰ 5 ¹ 5 ¹ 8 ⁰ ci, ci-str SSW 10 ⁰	5 ⁰ 3 ¹ 9 ¹ 7 ⁰ ci, ci-str SSW 5 ¹ 7 ⁰ ci, ci-str SW	1 ⁰ 5 ¹ 9 ⁰ 6 ¹ 10 ⁰ 5 ⁰	o o 4 ⁰ 4 ¹ o 2 ⁰	8 8 2 2 8 8 3 8 3 10 6 8		4.8 6.7 4.0 7.9 8.1 7.7
7.0	6.5	5.9	5.9	4.7	5.6	6.5	6.6

Zeitangaben nach mittlerer Ortszeit

Bewölkung, Zugrichtung und

Die halbfett gesetzten Ziffern bedeuten die auf
Die Tagesmittel sind aus den Beobachtungen

Da- tum	2 ^a	4 ^a	6 ^a	7 ^a	8 ^a	10 ^a	Mittag
September							
1	10	10	10 ¹	10 ¹	10 ¹	10 ¹ str, str NNW	10 ¹ str, fr-str NNW
2	8	10	10 ¹	10 ¹	10 ¹ str-cu, str NNW	10 ¹ [WNW 1.4, cu WSW	10 ¹ str, fr-str NW
3	0	0	2 ⁰	4 ⁰	3 ⁰	3 ⁰ ci, ci-cu NNW 1.6 u.	9 ¹ str-cu SW
4	10	10	10 ¹	10 ¹ ni WSW	10 ¹ ni WSW	9 ¹ str-cu W u. WSW	8 ¹ str-cu WSW, fr-cu SW
5	0	2	10	10	10	6 ⁰ ci, a-cu NNE 1.8	4 ¹ cu NE
6	0	5	3	4 ci, a-cu E	1 ⁰ ci E	5 ⁰ ci E	6 ¹ cu ENE [NNW
7	10	10	10 ¹	9 ⁰ ci, ci-str NNW	9 ¹ str-cu NNW	9 ¹ str-cu NNW	8 ¹ a-cu, cu, str-cu, cu-ni
8	10	10	10 ¹	10 ¹	10 ¹ str NW	10 ¹	8 ¹ ci, ci-str, str-cu, str
9	10	10	10	10	10	5 ¹ cu NE	9 ¹ cu, cu-ni NNE [NNW
10	6	10	9 ¹	7 ¹ ci, a-cu NE	9 ¹ a-cu NNE 1.1	6 ¹ a-cu NNE, cu, cu-ni N	9 ¹ cu, cu-ni N
11	0	4	3 ⁰	8 ⁰ ci SSW	8 ¹ ci SSW, a-cu SE	10 ⁰	10 ⁰
12	0	0	0	0	0	0	5 ¹
13	9	10	10 ¹ str ESE	10 ¹ str ESE	10 ¹ str ESE	8 ⁰ a-cu, a-str SE	9 ⁰ a-cu SE
14	3	6	8 ¹	6 ¹ a-cu E	1 ⁰ a-cu E	0	0
15	0	0	0	0	0	0	0
16	0	0	0	0	0	0	1 ⁰ cu, fr-cu ENE
17	8	10	10 ¹	10 ¹ str NW	10 ¹ str NW	9 ¹ str-cu, str NNW	9 ¹ cu, str-cu NNW
18	0	0	5	3 ⁰ fr-str W	3 ⁰ fr-str W	0	7 ¹ cu, fr-cu S
19	10	8	0	0	0	5 ⁰ ci, ci-str SW	3 ⁰ ci WSW 3.0
20	10	10	10 ¹	10 ¹ str NW	10 ¹ str NW	10 ¹ a-str W, str, fr-str NW	9 ¹ str-cu, str NNW
21	3	6	0	0	0	9 ¹ cu, str-cu NNW	9 ¹ str-cu N
22	10	10	10	10 ¹	9 ¹	9 ¹	9 ¹ str-cu NE
23	10	10	10 ¹ str-cu NW	10 ¹ str-cu, str NW	10 ¹ str-cu, str NW	10 ¹ str-cu, str NW	10 ¹ fr-str NW
24	4	0	9 ¹ str-cu WNW	9 ¹ str-cu WNW	9 ¹ str-cu WNW	9 ¹ str-cu WNW	10 ¹ str-cu WNW
25	10	8	8 ⁰ str-cu WNW	9 ⁰ ci, a-cu, a-str N	6 ⁰ ci, fr-str NNW	8 ¹ cu N	8 ⁰ ci NNW, cu N
26	0	0	0	0	0	0	1 ⁰ ci WNW
27	0	0	0	0	0	0	4 ¹ a-cu, a-str W
28	10	10	10	9 ¹ str-cu WNW	10 str W	5 ¹ a-cu, cu WNW	10 ¹
29	0	0	0	0	0	0	0
30	0	0	3 ⁰	7 ⁰ ci, ci-str NNE	9 ⁰	6 ⁰	10 ¹
Mittel	5.0	5.6	6.0	6.2	5.9	5.7	6.8
Oktober							
1	0	4	9	10 ¹ a-cu, a-str NW	7 ⁰ ci NNW, a-cu, a-str NW	7 ⁰ ci N, cu NW	8 ¹
2	0	0	2	2 ⁰ ci W	3 ⁰ ci W	0 ci W	0
3	5	10	4	10 ¹ a-cu SW	10 ⁰	8 ⁰ a-cu SW	9 ¹ a-cu SW 4.7
4	10	3	3	5 ¹ a-cu NW	10 ¹	10 ¹ str-cu, str WNW	9 ¹ a-cu, str-cu, str WNW
5	10	2	2	0 fr-str NNW	1 ¹ fr-str NNW	6 ¹ cu, str-cu N	9 ¹ str-cu N
6	0	0	4	9 ¹ a-cu, a-str N	9 ¹	10 ¹	10
7	7	10	10	9 ¹	10	9 ¹ cu, str-cu NNE	8 ¹ str-cu N
8	0	0	0	0	0	0	0
9	7	10	10	10 ¹	10 ¹	10 ¹	8 ¹ str-cu WNW
10	5	10	10	7 ⁰ a-cu, a-str W	8 ⁰ a-cu, a-str WNW	9 ¹ a-cu, a-str NE, cu NW	9 ¹ a-cu, a-str E
11	10	10	10	7 ⁰ ci, a-cu SE	5 ⁰ a-cu SE	3 ⁰ a-cu SE	1 ⁰
12	0	0	5	8 ⁰ a-cu S	9 ¹ a-cu S	7 ⁰ a-cu, a-str S	3 ⁰ ci, ci-cu, ci-str SW
13	3	3	5	3 ⁰ ci WSW	5 ⁰ ci WSW	8 ⁰ ci-str NW	3 ⁰ ci, ci-str WNW 3.9
14	0	0	0	5 ⁰ a-cu NE	0	0	0 fr-cu E
15	0	0	2	4 ⁰ ci, ci-str ENE	3 ⁰	2 ⁰ ci NNE	1 ⁰
16	2	2	4	2 ⁰ fr-str ESE	0 fr-str ESE	0	0
17	10	7	10	0 fr-str ESE	2 ⁰ fr-str ESE	0	0 [NW
18	10	10	10	10	4	0	7 ¹ a-cu NW 2.0, cu, str-cu
19	10	10	5	2	2 ⁰	7 ⁰ a-cu WSW 3.7	6 ⁰ a-cu WSW
20	8	5	10	10 ¹ str-cu, str SSW	9 ¹ str-cu, str SSW	8 ¹ a-cu SW	7 ⁰ a-cu SW
21	10	10	10	10 ¹	10 ¹	10 ¹	10 ¹
22	9	6	10	8 ¹ a-cu E	4 ⁰ ci ESE 0.9, a-cu E 3.8,	8 ¹ a-cu E, fr-str ENE	3 ⁰ a-cu E
23	10	10	10	10 ¹	10 ¹ str E	10 ¹ str E	9 ¹
24	10	10	10	10 ¹ str E	10 ¹ str E	10 ¹ str E	10 ¹ str E
25	10	10	10	10 ¹	10 ⁰	10 ¹	3 ¹ str, fr-str SE
26	10	10	10	10	10	10	10
27	10	10	10	10	10	10	9 ¹ a-cu, a-str ESE
28	10	10	10	10 ¹	10 ¹	7 ¹ str, fr-str ESE	9 ⁰
29	8	6	10	10 ¹ str SW	10 ¹ str SW	9 ¹ str-cu SW	4 ⁰ ci SSW, str SW
30	2	10	6	5 ⁰ ci W	6 ⁰ ci W	2 a-cu SW 2.5	2 ⁰ a-cu SW
31	10	10	10	10	10	10 ¹	10
Mittel	6.3	6.4	7.1	7.0	6.7	6.5	5.7

Zeitangaben nach mittlerer Ortszeit

relative Geschwindigkeit der Wolken

1000 m Höhe berechnete Geschwindigkeit in m p. s.
zu den geraden Stunden gebildet.

2 ^p	4 ^p	6 ^p	8 ^p	9 ^p	10 ^p	Mn.	Tagess- mittel
1910							
10 ¹ cu, fr-cu NNW 9 ¹ 10 ¹ str-cu, str WSW 7 ¹ ci-str, cu, cu-ni WSW 9 ² cu, cu-ni ENE	10 ¹ 9 ¹ 10 ¹ ci-str, cu, cu-ni WSW 10 ¹ ni ENE	10 ¹ 5 ⁰ 1 ⁰ fr-cu WSW 2 ⁰ 7 ¹ a-cu NE, str-cu ENE	10 ¹ 4 ⁰ 9 ¹ 2 10	10 ¹ 0 0 0 0	10 10 8 9 0 0	10 10 9 9 0 0	10.0 7.1 5.3 6.2 5.7
6 ¹ cu ENE 8 ¹ a-cu N, cu, str cu NNW 10 ¹ cu, str NNW 7 ¹ str-cu, cu-ni N 8 ¹ a-cu, cu, cu-ni E	8 ⁰ ci, a-cu E 2.6 8 ¹ cu, cu-ni NNW 10 ¹ 9 ¹ 7 ⁰ ci, a-cu SW	5 ⁰ 7 ⁰ a-cu, str-cu NNW 10 ¹ ni NW 4 ¹ 3 ⁰ a-cu S	4 ⁰ 5 10 3 0	0 3 8 3 0	10 10 10 3 0	10 10 10 8 0	5.2 3.5 9.8 7.3 5.6
10 ¹ 9 ¹ a-cu SW 2.9, ni WSW 6 ¹ a-cu, a-str, cu SE 0 0	10 ¹ 7 ¹ a-cu SW 9 ¹ a-cu, a-str SE 0 0	10 ¹ 6 ¹ a-cu SW 7 ¹ ci, ci-cu WSW, a-cu SE 0 0	7 7 ¹ 10 ¹ 0 0	2 5 ¹ 10 ¹ 0 0	0 8 10 5 0 0	10 10 5 0 0	6.0 4.3 3.6 1.5 0.0
0 9 ¹ str-cu, cu-ni NW 5 ¹ a-cu SSW, cu S 7 ⁰ ci, ci-cu W 10 ¹	0 9 ¹ str-cu NW 3 ¹ 7 ⁰ a-cu SW 10 ¹	0 8 ¹ a-cu, str-cu, str NNW 3 ¹ str-cu, fr-cu SW 9 ⁰ a-cu WSW 3.0, a-str 9 ¹ ni NW [SW]	1 ⁰ 8 ¹ 1 ⁰ 9 ⁰ 9 ¹	1 ⁰ 2 ¹ 0 10 ⁰ 7	3 10 0 10 9	6 3 0 0 5	0.9 8.6 2.2 6.5 9.2
10 ¹ str-cu, cu-ni NNW 9 ¹ str-cu NNE 9 ¹ str-cu NW 9 ¹ str-cu W 5 ⁰ ci WNW, cu N	10 ¹ str-cu NNW 4 ¹ str-cu, fr-cu N 10 ¹ 9 ¹ str-cu W 5 ⁰ ci NW 3.0 u. E 1.8	9 ² str-cu, cu-ni N 1 ⁰ 9 ¹ str-cu WNW 10 ¹ 1 ⁰	10 ¹ 0 10 ¹ 10 ¹ 0	10 ¹ 2 ⁰ 10 ¹ 9 ¹ 0	10 10 10 10 0	10 10 10 10 0	7.2 7.6 8.6 8.2 4.9
0 4 ¹ ci SSW, a-cu W 9 ¹ str-cu W 0 10 ¹ ni W	0 10 ¹ 10 ¹ 0 10 ¹ ni W	0 10 ¹ 10 ¹ 1 ⁰ 10	0 2 10 ¹ 0 7	0 0 10 ¹ 0 0	0 4 10 0 10	0 10 10 8	0.1 3.7 9.5 0.1 6.9
6.8	6.9	5.6	5.3	3.7	5.3	5.2	5.8

1910

7 ¹ ci, ci-str W, cu WNW 0 10 ¹ str-cu WSW 10 ¹ str-cu WNW 7 ¹ str-cu, fr-cu N	6 ¹ cu, fr-cu W 0 9 ⁰ ci, ci-str W 10 ¹ fr-cu N	2 ⁰ 0 3 ⁰ 10 1 ⁰	0 0 0 10 0	0 0 7 ⁰ 9 0	0 3 10 10 0	0 5 10 10 0	4.2 1.1 7.3 8.8 3.2
10 ¹ str W 2 ¹ cu, fr-cu NE 2 ⁰ 9 ¹ str-cu WNW 10 ¹ a-str E, str-cu WNW	10 0 1 ¹ 10 ¹ 10 ¹	10 0 0 8 ¹ 10 ¹	9 0 0 7 ¹ 10 ¹	0 0 0 5 ⁰ 10 ¹	0 0 0 4 10	0 0 0 4 10	6.0 4.7 0.2 8.1 9.2
1 ⁰ ci SE 7 ⁰ ci WSW 6 ⁰ ci, ci-str WNW, cu NW 0 0	1 ⁰ 10 ⁰ 10 ¹ str-cu N 0 0	3 ⁰ 9 4 ⁰ 0 1 ⁰	0 9 1 ¹ 4 ⁰ 1 ⁰	0 4 ⁰ 0 7 ⁰ 1 ⁰	0 8 2 6 0	0 6 6 0 0	3.7 6.1 4.7 0.8 0.8
0 0 8 ⁰ a-cu, str-cu NW 2 ⁰ ci WSW 8 ⁰ ci, ci-str SSW	0 0 9 ⁰ 6 ⁰ ci, ci-str WSW 9 ⁰ ci, ci-str SSW	0 0 6 8 ⁰ 9 ¹	0 0 8 ⁰ a-cu SW 6 ⁰ 4 ⁰	0 0 8 ⁰ 8 ⁰ 4 ⁰	0 0 4 10 8	10 10 10	1.5 2.4 7.2 6.8 7.9
7 ¹ str E 3 ⁰ ci ESE, fr-str E 10 ¹ 10 ¹ str E 0	2 ⁰ 10 ci NE 10 ¹ str E 10 ¹ 0	0 10 ¹ 10 ¹ 10 ¹ 0	6 ¹ 10 5 10 ¹ 10	7 10 0 10 ¹ 10	6 10 2 10 10	10 10 10 10	7.6 7.0 8.8 10.0 6.9
10 9 ¹ str SE 10 ⁰ 7 ¹ ci, str-cu SW 0 10	10 8 ⁰ 1 ⁰ ci, ci-cu SW 0 10	10 2 ⁰ 10 2 8 10	10 0 10 0 8 10	10 0 9 0 2 ⁰ 10	10 9 0 0 3 10	10 10 9 9 10 10	10.0 8.2 9.3 4.8 5.5 10.0
5.6	5.5	5.0	4.8	4.2	5.0	6.1	5.9

Zeitangaben nach mittlerer Ortszeit

Bewölkung, Zugrichtung und

Die halbfett gesetzten Ziffern bedeuten die auf
Die Tagesmittel sind aus den Beobachtungen

Datum	2 ^a	4 ^a	6 ^a	7 ^a	8 ^a	10 ^a	Mittag
November							
1	10	10	10	10 ¹ str SW	10 ¹ str-cu, str SW	10 ¹ ni SW	10 ¹ ni SW
2	4	8	10	10 ¹ str-cu WSW	9 ¹ str-cu W	9 ¹ cu, str-cu WSW	8 ¹ str-cu WSW
3	10	10	10	10 ¹ ni W	10 ¹ ni W	10 ¹ ni W	9 ¹ ni W
4	4	10	10	10 ¹	9 ¹	10	10 ¹
5	5	10	10	9 ¹ a-cu, str-cu W	9 ¹ str-cu W	2 ⁰ a-str W	1 cu, fr-cu W
6	0	3	5	10	10	10	10
7	4	4	5	8	10 ¹	10 ¹	4 ⁰ a-cu SW
8	0	0	0	0	0	2 ⁰ ci SSW, fr-cu WSW	7 ¹ ci SSW, cu, str-cu WSW
9	8	10	10	10 ¹	10 ¹	10 ¹ str W	9 ⁰ ci, ci-str, cu, str-cu W
10	0	4	6	7	10 ¹	10 ¹	10 ¹
11	0	0	0	0	6 ⁰	10 ¹ str S	10
12	10	10	10	10	10	10 ¹ ni NW	10 ¹ ni NW
13	6	10	10	10 ¹ str-cu WNW	10 ¹ str-cu W	4 ¹ a-cu W	9 ⁰ a-cu, a-str WNW
14	5	9	4	9 ¹	10 ¹ a-cu, a-str SSW	10 ¹	10 ¹ a-cu, a-str SSW
15	10	10	10	10 ¹	10 ¹	10 ¹ ni W	10
16	10	10	10	10 ¹	10 ¹	10 ¹	10 ¹
17	6	8	6	0	0	0	5 ¹ a-cu SW 3.8, cu WSW
18	10	10	10	10 ¹	8 ¹ a-cu, a-str SW	9 ¹ a-cu, a-str SW	10
19	10	10	10	10	10	10 ¹	10
20	10	10	10	1 ⁰ ci WSW	5 ¹ ci WSW, a-cu, str-cu W	6 ⁰ ci, ci-str, ci-cu WSW 2.9	9 ¹ cu W
21	10	10	10	10 ¹	10 ¹	10 ¹	10 ¹
22	10	10	10	9 ¹ str NW	9 ¹ str N	10 ¹	10
23	10	10	10	10	10 ¹	10 ¹ str NE	10 ¹ str NE
24	5	10	10	9 ¹ str NE	8 ¹ str NE	8 ⁰ str NNW	1 ⁰ a-str NE
25	9	10	10	10 ¹ str WNW	9 ¹ str WNW	8 ¹ a-cu W	9 ¹ a-cu W
26	8	8	0	0	8 ¹ a-cu, a-str ENE	2 ⁰ a-cu, a-str ESE	0
27	10	10	10	10 ¹	10 ¹	10 ¹	10 ⁰
28	8	10	10	10 ¹	9 ¹	10 ¹	10 ¹
29	10	10	10	10	10 ¹	10 ¹	10 ¹
30	0	0	0	8 ¹	8 ¹ ci WSW 1.5, a-cu W	8 ¹ a-cu W	8 ⁰ a-cu W 1.7, fr-str SSE
Mittel	6.7	8.1	7.9	8.0	8.6	8.3	8.3
Dezember							
1	0	10	10	10 ¹	10 ¹	10 ¹	10 ¹
2	10	10	10	10 ¹	10 ¹	10 ¹	10 ¹
3	10	10	10	10	10 ¹	10 ¹	10 ¹
4	7	0	0	9	8 ⁰ fr-str ESE	5 ⁰ ci SW, fr-str SE	9 ⁰
5	3	0	0	1	3 ⁰ a-cu SE	9 ⁰ a-cu, a-str SE	10 a-str SE
6	0	0	0	6	4 ⁰	6 ⁰ ci SSW	0
7	10	7	7	9	9 ¹ str-cu WSW	9 ¹ a-cu SSW 5.0	8 ¹ a-cu, cu, str-cu SSW
8	10	10	10	10	10	10	10
9	10	10	10	10	10	10 ¹ str, fr-str SE	10
10	10	9	7	9	7 ⁰ ci, ci-cu S	2 ⁰ ci, ci-str SSW	5 ⁰ ci, ci-str SW 2.5
11	10	10	9	10 ¹	10 ¹	10 ¹	10 ¹
12	10	10	8	7 ⁰	10 ¹	3 ⁰ ci ESE, a-cu, a-str W	1 ⁰
13	5	2	8	2 ⁰	0	0	8 ⁰ ci, ci-str SW 4.4
14	8	8	8	10	4	10	10
15	10	3	5	0	7 ⁰ ci, ci-str W	7 ⁰ ci, ci-str W	5 ⁰ ci, ci-str NW 1.7
16	10	7	10	8 ¹ str-cu SW	10	10	10
17	10	8	10	10 ¹ str-cu W	10 ¹	10 ¹	10 ¹
18	10	10	10	10	10 str-cu, str W	9 ¹ str-cu W	9 ¹ str-cu W
19	10	10	10	10 ¹	10 ¹ str-cu WNW	9 ¹ str-cu WNW	9 ¹ str-cu WNW
20	10	10	10	10	10 ni NW	10 ni NW	10 str-cu NW
21	10	10	10	10 ¹	10 ¹	9 ¹ str-cu SSW	1 ⁰ ci NE
22	0	0	0	3 ⁰ ci NW	7 ⁰ ci, ci-str SW	7 ⁰ ci SW	10 ⁰
23	2	10	10	10 ¹ str W	10 ¹ str W	10 ¹ str-cu WNW	10 ¹
24	10	10	10	10	10	10	10 ¹ ni WSW
25	2	9	10	10 ¹	8 ¹	7 ¹ str-cu W	6 ¹ str-cu, fr-cu W
26	10	10	10	10 ¹	10 ¹	9 ¹ str-cu W	10 ¹ ni W
27	10	10	10	10 ¹	10 ¹	10 ¹	10 ¹
28	0	0	0	9 ¹	4 ¹	1 ⁰ a-cu N	5 ⁰ a-cu, str-cu N
29	0	0	0	9 ¹	8 ¹	8 ¹ a-cu NW	10 ¹ str-cu, str WSW
30	10	10	10	10	10	10 ¹	10 ¹
31	10	10	6	9	10 ¹ str-cu NNW	10	10 ¹ str-cu, str NW
Mittel	7.3	7.2	7.4	8.4	8.4	8.1	8.3

Zeitangaben nach mittlerer Ortszeit

relative Geschwindigkeit der Wolken

1000 m Höhe berechnete Geschwindigkeit in m. p. s.
zu den geraden Stunden gebildet.

2 ^p		4 ^p		6 ^p		8 ^p		9 ^p		10 ^p		Mn.	Tages- mittel
1910													
10 ¹ str-cu SW	9 str-cu SW	10	10	10	10	10	10	10	10	10	10	9.9	
8 ¹ cu-ni WSW	5 ¹ str-cu, cu-ni WSW	9	9	9	9	10	10	10	10	10	10	8.2	
9 ¹ a-cu WNW, cu, str-cu W	9 ¹ str-cu, fr-ni W	5 ¹	0	0	0	9	9	2	2	2	2	7.2	
10 ¹ str N	9 ¹ a-cu NW	8 ¹	10 ¹	10 ¹	10 ¹	8 ¹	8	5	3	3	3	8.2	
0 fr-cu W	0	0	0	0	0	8	8	10	4	4	4	4.2	
10	10	10	10	10	10	0	0	0	10	10	10	7.3	
9 ¹ str-cu WSW	10 ¹	3	9	9	10	10	10	0	0	0	0	5.7	
9 ¹ cu, cu-ni WSW	4 ⁰	1	0	0	1 ¹	1 ¹	1 ¹	3	10	10	10	3.0	
9 ⁰ ci-str, a-str, str W	9 ⁰	4 ⁰	1 ⁰	1 ⁰	1 ⁰	1 ⁰	1 ⁰	4	4	4	4	7.3	
10 ¹	10 ¹	9 ¹	1 ⁰	1 ⁰	0	0	0	0	0	0	0	5.8	
10	10	10	10	10	10	10	10	10	10	10	10	7.2	
5 ¹ str-cu NW	0	0	0	0	0	0	0	0	0	0	0	5.8	
9 ¹ a-cu, a-str WNW	10 ⁰	10 ⁰	10 ⁰	10 ⁰	10 ⁰	9 ⁰	9 ⁰	10	10	10	10	9.0	
9 ⁰ a-str SW	10 ⁰	10 ⁰	10 ⁰	10 ⁰	10 ⁰	10 ¹	10 ¹	10	10	10	10	8.9	
10 ⁰ str, fr-str SSE	9 ¹ ci SSW, a-cu SW 5.9	5	3 ⁰	3 ⁰	6	6	6	0	6	6	6	7.8	
10 ¹	10 ¹	10 ¹	10 ¹	10 ¹	10 ¹	10 ¹	10 ¹	10	10	10	10	10.0	
10 ¹ str-cu WSW	0	1 ⁰	7 ⁰	5 ¹	3	8	4.5						
10 ¹	10 ¹	10	10	10	10	10	10	10	10	10	10	9.8	
10 ¹	10 ²	10 ¹	10	10 ⁰	8	10	9.8						
9 ¹ a-cu, a-str, cu, str-cu W	10 ¹	10	10	10	10	10	9.1						
10 ¹	10 ¹	10 ¹	10 ¹	10 ¹	10	10	10.0						
10	10	10	10	10	10	10	9.9						
10 ¹ str NE	9 ¹	6	10	9 ¹	10	5	9.2						
4 ⁰ a-cu 6.4, a-str NNE	9 ¹ str-cu NNW	2 ¹	10 ¹	10 ¹	10	10	7.2						
9 ¹ str-cu W	10	10	10	10	10	10	9.5						
0	4 ⁰	9 ⁰	10	10	10	10	5.8						
10 ¹	10	10	2	0	10	5	8.9						
10 ¹	10 ¹	10	10	10	10	10	9.8						
10 ¹	10 ¹	10 ¹	5	9	10	10	9.6						
6 ⁰ ci WSW, a-cu W, fr-str	9 ¹ a-cu SW, str-cu SE	7 ¹	5 ¹	8	0	0	4.2						
8.5	8.2	7.3	7.1	7.4	6.9	7.3	7.8						

1910

10 ¹	10	10	10	10	10	10	10	9.2
10 ¹	10	10	10	10	10	10	10	10.0
10 ¹	10 ¹	10	10	10	10 ¹	10	8	9.8
9 ⁰ a-cu, a-str SE	9 ⁰	8	7 ⁰	9 ⁰	9 ⁰	8	10	6.7
9 ¹ a-str, str-cu SE	9	9	9	9	9	10	0	5.9
0	1 ⁰	0	0	0	0	3	5	1.6
9 ⁰	9 ⁰	10	10	10	10	10	10	9.0
10	10	10	10	10	10	10	10	10.0
10 ¹	10 ¹	10	10	10	10	10	10	10.0
0	6	10 ⁰	2 ⁰	10 ⁰	10 ⁰	10	10	6.5
10 ¹	10	10	10	10	10	10	10	9.9
2 ⁰ ci SSE, a-cu WSW	1 ¹	9 ¹ a-cu, a-str SW	5 ⁰	0	0	0	3	5.2
4 ⁰ ci, ci-str SW	3	2 ⁰	0	0	0	0	3	2.9
9 ¹ a-cu, a-str, str SE	10	10	10 ¹	3 ⁰ a-str W	10	10	10	8.9
7 ⁰ ci, ci-str NW 1.4	5 ⁰	9 ¹	3 ⁰	4 ⁰	5	10	6.3	
10 ¹	10 ¹	10 ¹	10 ¹	10 ¹	10	10	10	9.8
10 ¹ str-cu SW	7 ⁰	9 ⁰	8 ⁰	9 ⁰	5	6	8.6	
9 ¹ a-cu, str-cu WNW	9	10	10	9	6	10	9.3	
9 ¹ str-cu, fr-cu WNW	10	9	10	10 ¹	10	10	9.7	
10 sir-cu, str NNW	10	10	10	10	10	8	9.8	
0	0	0	0	0	0	0	0	4.2
7 ⁰ ci, ci-str WNW	8 ⁰	5 ⁰	5 ⁰	2 ⁰	10	8	5.6	
10 ¹ str-cu, str W	9 ¹	10	9	3	6	10	8.8	
10 ¹ ni WSW	10 ¹	10 ²	10 ¹	10	7	5	9.3	
9 ¹ str-cu, ni WNW	9 ¹	10	10	10	10	10	8.3	
9 ¹ str-cu W	10 ¹	10	10	8	10	10	9.8	
9 ¹ str-cu, str W	9	9	10	0	10	10	9.8	
0	0	0	0	0	0	0	0.8	
10 ¹ str WSW	10 ¹	10 ¹	10	10 ¹	10	10	7.2	
10 ¹ ni, fr-ni WSW	10 ¹	10	10	10	10	10	10.0	
9 ¹ cu, str-cu NW	9	5	0	0	0	10	7.4	
7.7	7.8	8.2	7.4	7.0	7.4	7.9	7.8	

Zeitangaben nach mittlerer Ortszeit

Bodentemperaturen

(beobachtet zu den Hauptterminen, resp. nur um 2^h).

Datum	Tiefe 0.02 m			Tiefe 0.05 m			Tiefe 0.10 m			Tiefe 0.20 m			Tiefe 0.50 m			Tiefe 1.00 m			Tiefe in Metern			
	7 ^h	2 ^h	9 ^h	7 ^h	2 ^h	9 ^h	7 ^h	2 ^h	9 ^h	7 ^h	2 ^h	9 ^h	7 ^h	2 ^h	9 ^h	7 ^h	2 ^h	9 ^h	2.00	4.00	6.00	12.00
Januar 1910																						
1	-0.4	0.0	0.0	-0.2	0.0	0.0	0.1	0.3	0.2	0.6	0.6	0.6	1.92	1.81	1.75	3.54	3.46	3.40	5.54	9.01	10.46	.
2	0.0	0.9	2.1	0.0	0.2	1.9	0.2	0.4	1.8	0.5	0.6	1.4	1.68	1.62	1.76	3.33	3.29	3.23	5.54	8.97	10.45	.
3	3.6	6.2	4.4	3.3	5.3	4.2	2.9	4.6	3.9	2.3	3.3	3.4	2.11	2.43	2.88	3.20	3.20	3.23	5.52	8.91	10.41	9.93
4	4.9	5.3	1.5	4.7	5.2	2.1	4.5	5.0	2.8	3.9	4.3	3.3	3.22	3.47	3.61	3.34	3.44	3.55	5.48	8.85	10.37	.
5	1.7	2.6	2.6	1.8	2.6	2.6	2.0	2.5	2.6	2.1	2.4	2.5	3.21	3.01	3.00	3.69	3.72	3.74	5.47	8.82	10.35	.
6	2.3	3.4	1.7	2.3	3.3	1.8	2.6	3.2	2.2	2.6	2.8	2.3	3.05	3.05	3.10	3.76	3.76	3.78	5.49	8.75	10.30	.
7	2.3	3.4	2.7	2.2	3.3	2.8	2.3	3.2	2.9	2.3	2.8	2.8	2.98	2.99	3.11	3.80	3.80	3.80	5.52	8.71	10.28	.
8	2.4	3.7	0.4	2.6	3.5	1.0	2.7	3.3	1.6	2.7	2.8	2.3	3.16	3.15	3.21	3.81	3.83	3.84	5.52	8.65	10.25	.
9	-0.6	0.4	1.6	0.1	0.1	1.3	0.6	0.4	1.3	1.2	1.0	1.2	2.81	2.51	2.33	3.88	3.86	3.80	5.52	8.59	10.22	.
10	3.6	6.3	5.7	3.2	5.6	5.4	2.8	4.8	5.2	2.2	3.5	4.3	2.41	2.70	3.21	3.73	3.70	3.70	5.55	8.54	10.20	9.93
11	3.4	6.1	3.0	3.9	5.6	3.6	4.2	5.0	4.0	4.1	4.1	4.0	3.70	3.78	3.93	3.75	3.75	3.91	5.52	8.53	10.15	.
12	0.4	2.7	-0.4	0.7	2.8	0.3	1.3	2.8	1.0	2.1	2.5	1.7	3.63	3.29	3.17	4.02	4.08	4.08	5.55	8.49	10.12	.
13	-0.6	0.1	0.0	-0.3	0.0	0.0	0.3	0.4	0.4	0.9	0.9	0.7	2.69	2.46	2.26	4.03	4.01	3.92	5.58	8.34	10.06	.
14	-0.7	0.2	1.1	-0.1	0.0	0.8	0.2	0.4	0.5	0.5	0.7	0.6	2.07	1.97	1.87	3.80	3.73	3.68	5.59	8.36	10.06	.
15	2.6	3.8	2.5	2.3	3.7	2.7	2.3	3.4	2.8	2.0	2.6	2.6	2.08	2.36	2.65	3.58	3.55	3.51	5.58	8.35	10.01	.
16	1.4	4.0	4.8	1.7	3.5	4.7	1.9	3.2	4.4	2.1	2.4	3.6	2.78	2.71	2.99	3.54	3.57	3.62	5.51	8.31	9.99	.
17	4.7	4.7	0.6	4.6	4.7	1.3	4.4	4.4	2.1	4.1	4.1	2.8	3.47	3.68	3.75	3.65	3.72	3.82	5.50	8.27	9.92	9.91
18	1.7	2.7	1.7	1.7	2.7	1.9	2.1	2.6	2.2	2.4	2.5	2.5	3.30	3.14	3.15	3.92	3.92	3.92	5.47	8.23	9.89	.
19	0.2	1.4	0.6	0.6	1.1	0.7	0.9	1.3	0.9	1.4	1.3	1.3	2.88	2.62	2.50	3.92	3.87	3.83	5.49	8.21	9.88	.
20	0.1	0.2	0.4	0.3	0.3	0.4	0.6	0.5	0.7	1.0	0.8	0.7	2.30	2.18	2.06	3.77	3.70	3.64	5.48	8.18	9.83	.
21	-0.2	-0.1	-0.1	0.0	-0.1	-0.1	0.3	0.2	0.2	0.6	0.5	0.4	1.99	1.85	1.77	3.56	3.48	3.44	5.47	8.13	9.80	.
22	-0.2	0.0	0.0	0.0	0.0	0.1	0.2	0.2	0.3	0.5	0.4	0.5	1.69	1.64	1.61	3.36	3.28	3.28	5.44	8.11	9.79	.
23	-0.2	0.1	-1.0	0.0	0.0	-0.2	0.2	0.3	0.3	0.2	0.5	0.4	1.54	1.52	1.47	3.20	3.16	3.12	5.40	8.12	9.75	.
24	-3.1	-0.1	0.5	-1.7	-0.2	0.2	-0.5	-0.1	0.1	0.2	0.2	0.2	1.40	1.31	1.25	3.04	3.01	2.98	5.33	8.10	9.74	9.94
25	-0.3	0.1	0.0	-0.2	-0.1	-0.1	0.0	0.0	0.0	0.1	0.1	0.1	1.21	1.18	1.16	2.93	2.81	2.86	5.26	8.04	9.70	.
26	-0.5	0.0	-3.3	-0.3	-0.1	-2.2	0.0	0.0	-1.0	0.2	0.2	0.1	1.14	1.13	1.18	2.81	2.78	2.76	5.21	8.03	9.66	.
27	-2.3	-0.1	-2.3	-1.2	-0.2	-1.9	-0.9	-0.2	-1.2	-0.1	-0.1	-0.2	1.03	1.00	0.97	2.71	2.70	2.68	5.14	8.00	9.63	.
28	-3.6	-1.1	-1.5	-2.9	-1.2	-1.4	-2.1	-1.3	-1.2	-0.7	-1.0	-0.7	0.92	0.84	0.80	2.63	2.60	2.58	5.09	7.96	9.62	.
29	-1.5	0.4	0.0	-1.4	-0.1	0.0	-1.2	-0.1	0.0	-0.6	-0.3	-0.1	0.74	0.72	0.72	2.52	2.50	2.49	5.02	7.94	9.58	.
30	-1.2	0.2	0.1	-1.3	-0.1	0.0	-1.2	-0.2	0.0	-0.7	-0.3	-0.1	0.73	0.72	0.70	2.48	2.40	2.40	4.97	7.92	9.56	.
31	-1.0	0.2	0.1	-1.0	-0.1	-0.1	-0.7	-0.2	0.0	-0.1	-0.3	-0.1	0.72	0.72	0.70	2.39	2.39	2.35	4.91	7.85	9.55	9.96
Mittel	0.61	1.86	0.95	0.82	1.65	1.09	1.07	1.62	1.32	1.32	1.48	1.45	2.21	2.18	2.21	3.41	3.39	3.38	5.41	8.36	9.99	9.95
Februar 1910																						
1	0.1	0.8	0.0	0.0	0.1	0.0	0.0	0.0	0.0	-0.1	-0.1	-0.1	0.72	0.72	0.72	2.34	2.32	2.30	4.84	7.87	9.51	.
2	0.0	0.2	-0.2	0.0	0.0	-0.3	0.0	0.1	-0.1	0.0	-0.1	-0.2	0.74	0.77	0.73	2.30	2.20	2.27	4.80	7.81	9.50	.
3	0.0	0.0	-0.4	0.0	0.1	0.1	0.1	0.1	0.0	-0.1	0.1	0.0	0.74	0.78	0.77	2.27	2.18	2.25	4.72	7.66	9.47	.
4	-0.9	0.1	0.0	-0.5	-0.1	-0.1	0.0	0.0	0.0	-0.1	0.0	0.0	0.77	0.80	0.80	2.22	2.22	2.24	4.69	7.72	9.43	.
5	-0.4	0.0	-0.2	-0.1	-0.1	-0.2	0.0	0.0	-0.1	0.1	0.1	-0.1	0.82	0.82	0.80	2.25	2.25	2.23	4.64	7.69	9.43	.
6	-0.8	0.0	0.0	-0.7	-0.2	-0.2	-0.5	-0.1	-0.1	-0.3	-0.3	-0.2	0.80	0.80	0.80	2.23	2.22	2.21	4.57	7.66	9.37	.
7	0.5	2.8	2.3	-0.1	1.4	1.3	-0.1	0.2	0.6	-0.3	0.0	0.0	0.81	0.83	0.83	2.21	2.20	2.22	4.56	7.59	9.36	9.93
8	3.4	4.3	1.6	2.8	4.1	1.9	2.4	3.7	2.3	1.5	2.6	2.4	1.06	1.47	1.91	2.22	2.13	2.17	4.50	7.56	9.31	.
9	-0.3	3.4	-0.1	0.2	2.3	0.2	0.5	1.5	0.5	1.0	0.7	0.8	1.79	1.56	1.56	2.28	2.34	2.38	4.49	7.50	9.29	.
10	-1.2	-0.1	-0.1	-0.3	-0.2	-0.2	0.2	0.1	0.1	0.4	0.3	0.3	1.36	1.28	1.20	2.40	2.37	2.36	4.46	7.51	9.27	.
11	-1.4	0.1	-0.7	-0.7	-0.1	-0.1	-0.3	-0.1	0.1	0.0	0.0	0.3	1.11	1.05	1.03	2.34	2.32	2.30	4.44	7.46	9.24	.
12	-0.4	0.0	0.0	-0.3	-0.2	-0.1	-0.1	-0.1	0.0	0.2	0.1	0.2	1.00	0.96	0.96	2.30	2.26	2.25	4.40	7.46	9.22	.
13	-1.1	0.5	0.0	-0.6	0.0	0.0	0.0	0.1	0.1	0.2	0.2	0.2	0.95	0.93	0.94	2.24	2.23	2.22	4.37	7.44	9.21	.
14	-2.1	0.1	-0.7	-1.1	-0.1	-0.3	-0.4	0.0	0.0	0.1	0.1	0.1	0.92	0.90	0.90	2.20	2.19	2.19	4.34	7.40	9.18	9.95
15	-3.3	1.1	-0.3	-2.6	0.0	0.0	-1.9	-0.1	0.0	0.0	0.0	-0.1	0.86	0.82	0.81	2.16	2.16	2.14	4.32	7.37	9.15	.
16	-0.3	1.3	0.0	-0.4	0.1	-0.3	-0.2	0.0	-0.1	0.0	0.0	-0.1	0.79	0.79	0.78	2.12	2.11	2.11	4.31	7.28	9.12	.
17	-1.2	2.1	0.9	-0.6	0.4	0.3	0.0	0.1	0.1	0.0	0.0	0.0	0.76	0.79	0.80	2.08	2.08	2.08	4.28	7.31	9.09	.
18	0.1	4.7	2.3	0.0	2.9	1.8	0.1	0.9	1.4	0.0	0.1	0.6	0.79	0.80	0.92	2.07	2.06	2.07	4.24	7.27	9.08	.
19	1.9	8.3	2.6	1.6	7.2	3.2	1.6	5.2	3.6	1.3	3.3	3.5	1.26	1.49	2.24	2.07	2.10	2.16	4.22	7.24	9.05	.
20	0.2	7.1	2.6	0.5	5.9	3.0	1.0	4.7	3.4	1.4	2.7	3.3	2.21	1.94	2.41	2.30	2.40	2.46	4.19	7.24	9.04	.
21	1.0	6.5	5.0	0.9	5.5	4.9	1.2	4.4	4.7	1.6	2.8	4.1	2.41	2.28	2.70	2.55	2.62	2.65	4.20	7.19	9.01	9.96
22	5.3	12.3	6.4	5.1	10.5	6.5	4.8	8.7	6.5	4.1	6.2	3.15	3.46	4.23	2.76	2.88	2.97	4.21	7.14	8.98	.	
23	4.8	8.2	6.4	5.3	7.9	6.4	5.8	7.4	6.4	5.5	6.1	6.0	4.52	4.60	4.88	3.20	3.38	3.52	4.24	7.14	8.96	.
24	3.8	7.4	3.1	4.6	7.5	3.8	4.9	7.0	4.3	5.1	5.5	5.0	4.97	4.80	4.94	3.75	3.88	4.00	4.30	7.09	8.95	.
25	2.0	7.2	5.1	2.1	6.6	5.2	2.5	6.0	5.2	3.2	4.5	5.0	4.50	4.18	4.42	4.11	4.16	4.14	4.42	7.06	8.90	.
26	4.2	7.4	5.5	4.5	7.2	5.6	4.6	6.7	5.6	4.5	5.4	5.4	4.52	4.49	4.79	4.17	4.20	4.23	4.53	7.04	8.88	.
27	3.1	5.7	3.9	3.4	5.8	4.2	3.7	5.6	4.4	4.0	4.8	4.6	4.79	4.60	4.71	4.30	4.34	4.38	4.63	6.98	8.81	.
28	1.0	5.3	1.3	1.8	5.4	2.0	2.8	5.1	2.7	3.3	4.1	3.5	4.49	4.14	4.28	4.42	4.44	4.43	4.70	6.97	8.81	9.93
Mittel	0.65	3.46	1.65	0.89	2.85	1.74	1.17	2.40	1.8													

Bodentemperaturen

(beobachtet zu den Hauptterminen, resp. nur um 2^h).

Datum	Tiefe 0.02 m			Tiefe 0.05 m			Tiefe 0.10 m			Tiefe 0.20 m			Tiefe 0.50 m			Tiefe 1.00 m			Tiefe in Metern			
	7 ^h	2 ^h	9 ^h	7 ^h	2 ^h	9 ^h	7 ^h	2 ^h	9 ^h	7 ^h	2 ^h	9 ^h	7 ^h	2 ^h	9 ^h	7 ^h	2 ^h	9 ^h	2.00	4.00	6.00	12.00
März 1910																						
1	-0.3	9.0	1.4	0.3	7.4	2.2	0.8	5.6	2.8	1.8	3.1	3.4	3.75	3.34	3.81	4.39	4.34	4.30	4.79	6.96	8.79	.
2	0.2	8.3	1.2	0.5	7.1	1.8	1.1	5.6	2.7	1.8	3.3	3.3	3.45	3.16	3.66	4.22	4.17	4.14	4.88	6.90	8.78	.
3	1.6	5.4	3.7	1.8	4.4	3.8	2.2	3.5	3.9	2.4	2.8	3.7	3.43	3.29	3.55	4.10	4.07	4.04	4.90	6.86	8.76	.
4	2.2	5.3	-1.9	2.3	4.5	0.5	2.7	3.9	1.5	3.1	3.3	2.2	3.67	3.57	3.31	4.03	4.04	3.89	4.95	6.88	8.73	.
5	-1.0	9.8	1.8	-0.2	7.4	2.4	0.4	5.3	3.2	1.3	2.6	3.6	3.29	2.87	3.41	4.06	4.05	4.00	4.96	6.88	8.70	.
6	-0.4	11.8	2.4	0.2	9.4	2.3	0.8	7.0	4.1	1.6	3.8	4.6	3.22	2.91	3.69	3.97	3.96	3.92	4.98	6.88	8.69	.
7	0.9	6.4	1.6	1.2	4.9	2.0	1.6	3.9	2.6	2.2	2.9	3.2	3.51	3.24	3.50	3.93	3.96	3.96	5.00	6.88	8.66	9.90
8	0.7	7.4	0.7	0.8	5.8	1.5	1.3	4.3	2.3	1.9	2.7	3.0	3.26	3.01	3.31	3.97	3.94	3.91	5.00	6.85	8.65	.
9	-0.3	11.2	4.5	0.0	8.9	4.9	0.5	6.7	5.2	1.2	3.6	5.0	2.94	2.72	3.53	3.90	3.88	3.83	4.99	6.85	8.62	.
10	1.3	12.3	6.6	1.8	10.4	6.7	2.4	8.4	6.8	3.0	5.3	6.3	3.77	3.62	4.43	3.86	3.91	3.96	4.99	6.84	8.59	.
11	3.7	12.4	7.4	4.0	11.1	7.6	4.4	9.4	7.6	4.8	6.7	7.2	4.76	4.70	5.37	4.07	4.18	4.28	4.99	6.84	8.57	.
12	5.3	10.5	5.7	5.6	9.4	6.2	5.8	8.4	6.7	5.9	6.6	7.0	5.58	5.48	5.89	4.43	4.54	4.70	4.98	6.81	8.52	.
13	1.6	6.2	3.1	2.3	5.9	3.7	3.2	5.5	4.3	4.3	4.9	4.6	5.61	5.16	5.10	4.73	4.90	4.92	5.04	6.83	8.49	.
14	-0.4	6.9	0.6	0.5	6.5	1.5	1.4	5.6	2.6	2.6	4.1	3.7	4.70	4.22	4.43	4.95	4.92	4.83	5.12	6.82	8.50	9.94
15	-1.2	9.2	1.6	0.0	7.3	2.6	0.7	5.6	3.4	1.7	3.3	4.0	3.94	3.49	3.92	4.79	4.73	4.63	5.20	6.83	8.49	.
16	-1.4	8.0	1.3	-0.1	6.9	2.2	0.7	5.6	3.3	1.7	3.4	3.9	3.70	3.31	3.80	4.57	4.53	4.46	5.24	6.83	8.46	.
17	-0.8	6.1	4.1	0.1	5.6	4.2	0.8	4.9	4.2	1.7	3.3	3.9	3.54	3.22	3.60	4.41	4.38	4.30	5.28	6.79	8.44	.
18	1.0	10.0	4.7	1.3	9.2	5.2	2.2	8.0	5.4	2.7	5.3	5.3	3.75	3.60	4.30	4.30	4.28	4.29	5.27	6.80	8.44	.
19	0.9	2.4	0.4	1.5	2.2	0.9	2.3	2.4	1.6	3.1	2.5	2.5	4.31	3.90	3.90	4.33	4.40	4.25	5.26	6.75	8.41	.
20	-1.5	10.8	0.8	-0.4	8.6	1.8	0.3	6.1	3.0	1.1	2.8	3.8	3.15	2.79	3.51	4.36	4.28	4.21	5.24	6.77	8.38	.
21	-0.6	12.0	2.5	0.0	9.8	3.5	0.5	7.4	4.3	1.4	4.0	4.7	3.27	2.98	3.84	4.15	4.14	4.12	5.24	6.77	8.37	9.92
22	2.7	10.5	4.3	2.7	8.7	4.8	2.8	7.5	5.4	3.0	5.3	5.5	3.82	4.04	4.50	4.12	3.87	4.18	5.20	6.78	8.36	.
23	1.4	9.0	1.8	1.5	6.8	2.9	1.9	5.3	3.8	2.7	3.7	4.6	4.28	3.90	4.28	4.26	4.33	4.34	5.19	6.77	8.32	.
24	-0.2	4.9	2.9	0.3	4.3	3.6	1.0	3.5	3.7	1.9	2.5	3.5	3.89	3.46	3.64	4.37	4.37	4.34	5.19	6.76	8.31	.
25	3.8	7.2	3.1	3.6	6.7	4.0	3.6	6.2	4.6	3.3	4.9	4.8	3.70	3.87	4.35	4.29	4.27	4.30	5.20	6.76	8.31	.
26	2.2	12.6	4.2	2.7	10.9	5.3	3.1	9.3	6.2	3.3	6.2	6.5	4.19	4.15	5.08	4.34	4.39	4.43	5.22	6.77	8.29	.
27	1.3	15.7	5.6	1.7	12.9	6.5	2.4	10.3	7.2	3.3	6.7	7.4	4.92	4.57	5.50	4.54	4.63	4.62	5.23	6.76	8.30	.
28	2.4	8.8	5.2	2.8	8.5	5.8	3.4	7.6	6.1	4.5	5.8	6.2	5.50	5.11	5.49	4.77	4.85	4.93	5.23	6.76	8.27	9.90
29	4.2	7.9	3.9	4.4	7.9	4.6	7.8	7.4	5.3	5.1	6.2	5.8	5.44	5.11	5.61	4.97	5.04	5.10	5.27	6.75	8.26	.
30	1.6	8.7	1.2	1.9	8.5	2.2	2.6	7.2	3.2	3.6	4.9	4.2	5.22	4.83	5.06	5.15	5.16	5.13	5.37	6.74	8.23	.
31	-0.4	8.0	0.9	0.2	7.4	2.0	1.1	6.0	2.9	2.0	4.1	4.0	4.40	3.93	4.41	5.15	5.05	5.01	5.39	6.72	8.21	.
Mittel	0.98	8.86	2.82	1.46	7.59	3.52	2.12	6.24	4.19	2.71	4.21	4.56	4.06	3.80	4.25	4.37	4.37	4.37	5.12	6.81	8.48	9.92
April 1910																						
1	-0.8	12.6	2.7	0.0	9.8	3.9	0.4	7.3	4.8	1.5	4.2	5.3	3.94	3.55	4.38	4.92	4.85	4.78	5.46	6.74	8.22	.
2	-0.3	14.6	3.9	0.3	12.0	5.3	1.1	9.4	5.9	2.2	5.6	6.3	4.64	4.63	4.74	4.74	4.73	4.72	5.46	6.73	8.21	.
3	0.0	16.1	6.5	0.6	13.3	7.4	1.4	10.5	8.0	2.6	6.6	7.8	4.72	4.33	5.48	4.74	4.81	4.81	5.49	6.74	8.20	.
4	2.8	13.4	7.1	3.2	12.3	7.9	3.7	11.0	8.4	4.5	8.0	8.4	5.57	5.34	6.27	4.92	5.01	5.08	5.49	6.74	8.20	9.84
5	4.0	15.2	7.5	4.3	13.4	8.5	4.8	11.4	9.2	5.5	8.2	9.2	6.26	6.00	6.93	5.23	5.36	5.42	5.51	6.73	8.14	.
6	4.5	8.5	6.6	4.7	8.1	6.8	4.9	7.4	7.0	5.6	6.4	6.8	6.78	6.34	6.46	5.60	5.70	5.76	5.56	6.74	8.14	.
7	5.4	8.4	6.4	5.7	8.0	6.8	5.9	7.4	7.2	6.0	6.5	6.9	6.39	6.26	6.44	5.80	5.84	5.87	5.63	6.74	8.14	.
8	6.0	11.2	7.5	6.0	9.8	7.9	6.0	8.7	8.2	6.0	7.2	7.9	6.43	6.39	6.80	5.90	5.93	5.96	5.72	6.74	8.14	.
9	5.7	11.2	6.8	5.8	10.0	7.5	6.1	9.0	8.0	6.4	7.7	8.1	6.82	6.69	7.10	6.01	6.08	6.10	5.81	6.74	8.12	.
10	1.4	14.7	5.4	2.2	12.5	6.4	3.4	10.2	7.2	4.8	7.6	7.9	6.87	6.35	6.90	6.20	6.24	6.21	5.89	6.76	8.12	.
11	0.6	16.0	6.0	1.2	13.7	7.1	2.3	11.1	8.0	3.8	7.4	8.5	6.47	5.89	6.80	6.28	6.25	6.20	5.91	6.74	8.09	9.77
12	1.7	14.9	8.0	2.3	13.5	8.6	3.3	11.6	9.1	4.6	8.5	9.0	6.62	6.18	7.05	6.23	6.29	6.23	6.02	6.76	8.09	.
13	5.4	17.5	11.7	5.5	15.5	11.8	5.8	13.4	11.9	6.2	10.0	11.3	7.11	6.95	7.99	6.30	6.35	6.41	6.07	6.74	8.04	.
14	9.1	21.5	13.3	9.2	19.4	13.7	9.3	17.1	13.9	9.1	12.9	13.6	8.45	8.99	9.69	6.58	6.29	6.83	6.07	6.72	8.05	.
15	9.7	20.1	12.7	9.7	18.2	13.1	10.0	16.1	13.4	10.3	12.7	13.1	9.87	9.32	10.46	7.13	7.33	7.62	6.17	6.75	7.95	.
16	10.2	21.6	12.5	10.4	19.8	13.6	10.8	17.7	14.4	10.9	14.2	14.5	10.39	10.21	11.19	7.76	7.88	8.04	6.31	6.76	8.03	.
17	10.1	22.2	14.4	10.2	20.4	15.1	10.4	18.3	15.4	11.0	13.7	15.2	11.04	10.78	11.73	8.27	8.45	8.59	6.47	6.79	8.00	.
18	10.4	20.7	12.4	10.5	19.6	13.6	10.9	17.9	14.4	11.6	14.6	14.4	11.74	11.39	12.04	8.78	9.04	9.08	6.65	6.76	7.96	9.76
19	8.6	13.5	11.3	8.8	13.2	11.2	9.4	12.6	11.4	10.3	11.5	11.4	11.61	10.99	11.00	9.23	9.32	9.34	6.88	6.80	7.99	.
20	7.4	11.0	6.4	8.0	10.8	7.7	8.6	10.5	8.7	9.4	10.1	9.7	10.66	10.24	10.20	9.35	9.33	9.35	7.08	6.83	8.02	.
21	6.2	9.0	7.9	6.5	8.8	8.4	7.0	8.5	8.8	7.6	8.1	9.1	9.60	9.11	9.16	9.21	9.14	9.06	7.27	6.84	7.99	.
22	4.7	11.6	4.6	5.2	11.0	6.0	5.6	9.7	7.3	6.5	8.2	8.4	8.84	8.39	8.71	8.90	8.70	8.72	7.42	6.86	7.93	.
23	3.3	12.2	5.9	3.9	10.6	7.0	4.4	9.3	8.0	5.3	7.8	8.6	8.10	7.59	8.20	8.60	8.47	8.39	7.52	6.89	7.96	.
24	4.2	11.9	9.4	4.3	10.8	9.6	4.7	9.6	9.5	5.5	7.8	9.0	7.83	7.47	8.00	8.27	8.21	8.12	7.57	6.93	7.98	.
25	8.0	13.3	7.3	8.3	11.8	8.6	8.2	10.9	9.5	8.1	9.4	10.0	8.31	8.33	8.84	8.04	8.05	8.07	7.58	6.94	8.00	9.78
26	6.5	15.3	9.3	6.5	13.9	10.1	6.6	12.6	10.6	7.0	10.3	10.7	8.51	8.31	9.06	8.13	8.15	8.13	7.56	6.99	7.98	.
27	5.2	14.0	6.7	5.8	13.4	8.1	6.5	12.7	9.3	7.6	10.6	10.2	9.02	8.68	9.30	8.21	8.27	8.29	7.58	7.02	7.96	.
28	5.0	22.1	11.8	5.2	19.3	12.7	5.8	16.1	13.2	7.0	11.7	13.3	8.87	8.53	9.87	8.34	8.36	8.3				

Bodentemperaturen

(beobachtet zu den Hauptterminen, resp. nur um 2^h).

Datum	Tiefe 0.02 m			Tiefe 0.05 m			Tiefe 0.10 m			Tiefe 0.20 m			Tiefe 0.50 m			Tiefe 1.00 m			Tiefe in Metern			
	7 ^a	2 ^p	9 ^p	7 ^a	2 ^p	9 ^p	7 ^a	2 ^p	9 ^p	7 ^a	2 ^p	9 ^p	7 ^a	2 ^p	9 ^p	7 ^a	2 ^p	9 ^p	2.00	4.00	6.00	12.00
	2 ^p																					
Mai 1910																						
1	5.3	17.6	9.2	5.8	16.6	10.3	6.7	14.7	11.2	7.9	11.6	11.7	9.86	9.42	10.13	8.92	8.95	8.93	7.78	7.14	7.97	.
2	6.1	12.2	9.1	6.3	11.8	9.6	6.8	11.3	9.9	7.7	9.9	10.0	9.79	9.32	9.61	8.98	9.03	8.99	7.74	7.19	7.97	9.75
3	8.2	12.0	9.4	8.4	11.4	9.9	8.6	11.0	10.3	8.7	9.9	10.4	9.50	9.33	9.70	8.96	8.98	8.94	7.93	7.22	7.96	.
4	6.5	20.1	12.6	6.4	17.2	13.1	6.6	14.5	13.3	7.3	11.5	12.9	9.33	9.08	10.09	8.94	8.93	8.90	8.00	7.24	7.97	.
5	9.9	12.1	8.4	9.8	11.8	9.3	10.0	11.6	10.2	10.3	11.1	10.7	10.42	10.23	10.37	8.96	9.08	9.12	8.04	7.26	7.97	.
6	4.9	15.0	9.2	5.1	14.2	9.9	5.7	12.7	10.4	7.1	10.5	10.5	9.73	9.26	9.70	9.23	9.21	9.13	8.07	7.31	7.97	.
7	7.0	16.3	7.2	7.0	14.4	8.7	7.3	12.5	9.8	8.0	10.6	10.7	9.57	9.30	9.84	9.12	9.12	9.11	8.14	7.34	7.99	.
8	4.3	15.1	9.3	4.5	13.8	9.9	5.3	12.4	10.5	6.5	10.3	10.6	9.30	8.85	9.50	9.10	9.09	9.07	8.18	7.34	7.99	.
9	7.6	15.0	7.6	7.8	14.5	8.7	8.2	12.7	9.7	8.4	10.3	10.4	9.50	9.31	9.76	9.03	9.01	9.03	8.21	7.36	7.97	9.72
10	6.2	8.9	8.2	6.4	9.2	8.4	6.5	9.1	8.5	7.1	8.5	8.5	9.30	8.90	8.99	9.06	9.07	9.01	8.27	7.40	8.00	.
11	9.2	24.8	17.8	8.8	21.7	17.7	8.6	17.9	17.4	8.3	12.8	16.1	8.87	9.00	10.70	8.96	8.89	8.88	8.29	7.43	8.00	.
12	14.6	27.8	16.8	14.4	25.5	17.6	14.1	22.4	18.1	13.6	17.5	17.7	11.77	12.03	13.41	9.06	9.28	9.53	8.31	7.48	8.00	.
13	15.3	26.5	17.2	14.7	24.4	17.9	14.5	22.4	18.2	14.3	18.9	18.2	13.52	13.52	14.68	9.82	10.19	10.44	8.36	7.51	8.01	.
14	14.6	25.4	17.6	14.4	24.5	18.6	14.3	22.6	19.0	14.4	19.2	18.8	14.48	14.27	15.25	10.81	11.01	11.24	8.46	7.52	8.02	.
15	14.9	30.2	18.7	14.7	27.9	19.6	14.7	24.9	20.2	15.3	20.2	20.2	15.12	14.94	16.15	11.48	11.68	11.84	8.65	7.56	8.01	.
16	14.8	29.1	14.7	14.9	26.4	15.6	15.2	23.8	17.8	15.9	20.6	21.0	16.00	15.72	16.85	12.13	12.33	12.46	8.87	7.60	8.04	9.66
17	15.9	27.5	16.9	15.8	25.5	17.9	15.7	23.8	18.7	16.2	20.8	19.3	16.74	16.34	17.26	13.34	13.54	13.64	9.13	7.63	8.04	.
18	14.9	19.3	15.7	15.1	18.7	16.6	15.4	17.9	17.2	16.0	16.8	17.6	16.65	16.78	16.23	13.84	13.91	13.87	9.47	7.64	8.04	.
19	13.3	24.6	17.3	13.3	23.6	18.7	13.5	22.1	19.5	14.4	18.9	19.8	15.78	15.45	16.54	13.85	13.84	13.78	9.83	7.69	8.05	.
20	13.5	28.7	19.2	13.6	26.8	20.3	14.1	24.5	21.6	15.3	20.3	21.1	16.36	15.98	17.26	13.84	14.00	13.91	10.09	7.73	8.05	.
21	14.2	30.7	19.6	14.2	28.3	20.8	14.8	25.7	21.8	16.0	21.4	22.0	17.02	16.59	17.80	14.03	14.12	14.14	10.31	7.75	8.06	.
22	14.9	30.2	18.6	15.0	27.7	20.1	15.6	25.1	21.2	16.7	21.2	21.6	17.61	17.11	18.06	14.34	14.46	14.47	10.50	7.82	8.09	.
23	13.8	30.9	18.2	13.8	27.9	19.9	14.6	25.3	21.0	16.3	21.2	21.6	17.69	17.12	18.12	14.66	14.75	14.74	10.72	7.89	8.01	9.67
24	13.7	32.5	19.2	13.7	28.5	21.0	14.4	25.8	21.9	16.1	21.5	22.2	17.77	17.22	18.33	14.89	14.95	14.94	10.91	7.93	8.08	.
25	15.3	31.6	21.0	15.4	27.5	21.8	16.0	24.9	22.3	17.2	21.3	22.2	18.17	17.72	18.57	15.08	15.18	15.21	11.11	7.99	8.10	.
26	14.9	31.8	19.0	15.0	27.4	20.8	15.7	24.9	21.8	17.2	21.3	22.1	18.42	17.85	18.73	15.33	15.42	15.44	11.31	8.04	8.12	.
27	14.6	31.6	19.0	14.6	27.4	20.4	15.4	25.1	21.1	16.9	21.5	21.4	18.44	17.91	18.68	15.55	15.63	15.63	11.47	8.12	8.14	.
28	14.5	20.4	15.4	15.5	19.5	16.8	16.2	19.0	17.7	17.5	18.1	18.3	18.42	17.81	17.75	15.60	15.74	15.74	11.70	8.15	8.14	.
29	14.0	17.2	12.8	14.4	17.1	14.3	14.9	16.7	15.2	16.0	16.1	16.1	17.29	16.75	16.62	15.68	15.61	15.56	11.82	8.22	8.12	.
30	12.3	17.8	14.5	12.3	17.5	15.3	12.5	17.0	15.7	13.2	16.1	16.2	15.81	15.45	15.80	15.38	15.24	15.10	12.00	8.29	8.16	9.61
31	12.3	24.6	15.2	11.8	22.2	16.6	11.9	19.8	17.5	12.7	16.6	18.1	15.36	14.99	15.87	14.96	14.86	14.74	12.09	8.37	8.17	.
Mittel	11.66	22.82	14.66	11.71	21.00	15.68	12.06	19.16	16.41	12.85	16.34	16.71	13.98	13.66	14.40	12.03	12.10	12.11	9.48	7.65	8.04	9.68

Juni 1910

1	15.5	28.6	17.7	12.6	26.2	19.0	12.8	23.2	19.7	14.0	19.5	19.7	15.78	15.61	16.75	14.68	14.68	14.68	12.14	8.42	8.18	.
2	16.5	32.0	20.8	16.0	29.5	21.8	15.9	26.3	22.6	16.3	21.6	22.6	16.75	16.72	18.12	14.72	14.83	14.88	12.19	8.51	8.21	.
3	17.6	34.4	23.7	17.2	31.1	24.4	17.0	28.2	24.5	17.8	23.3	24.2	18.14	17.94	19.32	15.08	15.22	15.36	12.22	8.59	8.22	.
4	19.2	36.1	23.6	18.7	32.3	24.7	19.0	30.8	25.4	19.7	23.5	25.3	19.49	19.25	20.49	15.59	15.82	16.01	12.27	8.68	8.27	.
5	20.6	35.4	24.9	20.1	32.5	26.1	20.3	30.1	26.6	21.0	25.7	26.4	20.46	20.22	21.42	16.27	16.46	16.59	12.43	8.74	8.25	.
6	21.0	36.1	25.2	20.6	32.1	26.3	20.8	30.0	26.9	21.7	26.1	26.6	21.42	21.11	22.06	16.91	17.10	17.24	12.60	8.83	8.26	9.57
7	20.5	33.9	23.6	20.3	30.9	24.5	20.8	29.1	25.1	21.9	25.9	25.2	21.96	21.50	22.22	17.53	17.68	17.76	12.79	8.89	8.30	.
8	20.2	30.7	22.2	19.9	29.2	23.4	20.4	27.8	24.0	22.3	24.8	24.2	22.22	21.32	21.87	17.84	18.07	18.10	13.06	8.96	8.33	.
9	19.6	37.7	23.1	19.3	31.9	25.2	19.6	29.4	26.0	20.7	25.4	26.1	21.42	21.04	22.02	18.19	18.23	18.20	13.34	9.04	8.36	.
10	19.4	37.7	22.2	19.2	32.4	24.0	19.8	30.1	24.9	21.1	25.9	25.3	21.87	21.42	22.33	18.33	18.39	18.42	13.53	9.12	8.37	.
11	19.7	38.1	25.4	19.4	33.4	27.3	19.9	30.7	27.6	22.0	26.4	27.6	21.92	21.54	22.70	18.55	18.63	18.71	13.75	9.22	8.39	.
12	21.7	34.4	22.0	21.6	31.9	23.6	21.8	29.8	24.6	22.7	26.3	25.6	22.75	22.42	23.01	18.80	18.92	19.04	13.93	9.22	8.39	.
13	19.3	27.9	21.2	19.7	26.2	22.4	19.9	24.9	23.4	21.0	23.6	24.1	22.34	21.72	22.12	19.15	19.20	19.19	14.13	9.34	8.44	9.56
14	18.9	33.1	19.8	19.2	31.0	21.2	19.7	28.6	22.5	20.4	24.5	24.4	21.70	21.20	22.19	19.18	19.18	19.09	14.33	9.38	8.47	.
15	19.7	21.1	17.7	19.9	21.6	18.8	20.0	21.6	19.8	20.6	21.6	20.5	21.61	21.09	20.96	19.21	19.32	19.28	14.51	9.48	8.50	.
16	15.3	19.8	18.3	15.9	19.6	19.4	16.5	19.4	19.7	17.6	19.0	20.2	20.05	19.38	19.57	19.17	19.01	18.82	14.64	9.54	8.51	.
17	16.7	26.1	18.8	16.9	25.3	20.3	17.2	24.1	21.3	17.9	21.0	21.8	19.34	19.00	19.92	18.61	18.51	18.35	14.80	9.63	8.57	.
18	14.8	33.6	21.4	14.4	30.9	22.7	15.2	27.9	23.6	17.0	23.1	24.0	19.52	19.04	20.44	18.34	18.27	18.21	14.90	9.76	8.59	.
19	16.8	28.9	19.7	17.3	27.3	21.0	18.0	25.2	21.9	19.1	22.2	22.4	20.40	19.91	20.12	18.24	18.31	18.29	14.96	9.84	8.64	.
20	14.3	26.8	17.3	14.5	25.9	18.9	15.4	24.3	20.1	17.3	21.5	21.3	19.97	19.29	19.92	18.34	18.34	18.26	14.99	9.94	8.66	9.54
21	12.3	29.7	19.0	12.6	27.5	20.6	13.6	25.1	21.6	15.8	21.1	22.1	19.25	18.55	19.53	18.22	18.14	18.04	15.02	10.03	8.70	.
22	14.5	36.7	22.1	14.7	27.5	22.9	15.5	25.4	23.3	17.1	22.0	23.0	19.32	18.85	19.82	18.00	17.98	17.93	15.06	10.12	8.73	.
23	16.7	22.4	16.3	17.4	21.2	17.4	18.2	20.0	18.5	19.3	19.9	19.6	20.00	19.45	19.48	17.96	18.03	18.06	15.07	10.21	8.75	.
24	15.0	26.3	16.9	14.9	23.8	18.1																

Bodentemperaturen

(beobachtet zu den Hauptterminen, resp. nur um 2^P).

Datum	Tiefe 0.02 m			Tiefe 0.05 m			Tiefe 0.10 m			Tiefe 0.20 m			Tiefe 0.50 m			Tiefe 1.00 m			Tiefe in Metern				
	Tiefe in Metern			Tiefe in Metern			Tiefe in Metern			Tiefe in Metern			Tiefe in Metern			Tiefe in Metern			2.00	4.00	6.00	12.00	
	7 ^a	2 ^P	9 ^P	7 ^a	2 ^P	9 ^P	7 ^a	2 ^P	9 ^P	7 ^a	2 ^P	9 ^P	7 ^a	2 ^P	9 ^P	7 ^a	2 ^P	9 ^P	2 ^P				
Juli 1910																							
1	14.0	21.6	13.5	14.2	20.6	14.9	14.4	19.5	16.0	15.4	17.1	16.1	17.31	16.74	17.12	16.53	16.56	16.52	14.90	10.77	9.02	.	.
2	13.5	16.7	15.5	13.2	18.6	16.7	13.2	20.2	17.6	14.0	18.0	18.3	16.46	16.37	17.02	16.47	16.40	16.31	14.85	10.86	9.07	.	.
3	14.1	22.1	14.0	13.6	20.1	14.4	13.6	18.0	16.4	14.5	16.2	17.3	16.70	16.23	16.65	16.31	16.30	16.24	14.84	10.91	9.12	.	.
4	12.0	22.8	16.5	12.0	21.4	17.4	12.4	20.1	18.2	13.6	18.1	18.9	16.15	15.85	16.92	16.18	16.14	16.05	14.78	10.95	9.15	9.46	.
5	14.0	21.2	15.4	13.7	20.4	16.5	14.2	19.4	17.3	15.3	17.7	18.0	16.90	16.53	17.08	16.07	16.11	16.10	14.76	11.03	9.18	.	.
6	14.1	25.2	15.3	13.9	24.1	16.7	13.9	22.1	17.6	14.6	18.6	18.3	16.60	16.33	17.28	16.13	16.14	16.08	14.69	11.06	9.22	.	.
7	14.0	30.4	19.3	13.7	27.9	20.4	13.9	24.8	21.1	14.9	20.3	21.3	16.74	16.53	17.92	16.12	16.13	16.11	14.66	11.12	9.26	.	.
8	15.3	15.1	14.8	15.9	15.4	15.1	16.5	15.6	15.3	17.4	16.1	15.8	18.02	17.40	16.88	16.21	16.33	16.45	14.65	11.15	9.29	.	.
9	16.0	20.6	16.9	15.9	19.8	17.3	15.8	18.9	17.5	15.8	17.2	17.7	16.45	16.38	16.82	16.38	16.31	16.22	14.65	11.22	9.34	.	.
10	15.7	26.7	18.3	15.9	25.3	19.6	16.2	23.2	20.5	16.3	19.6	20.9	16.78	16.73	17.95	16.28	16.20	16.18	14.68	11.26	9.37	.	.
11	15.9	19.0	17.2	16.2	19.0	17.8	16.6	18.9	18.2	17.4	18.7	18.6	18.08	17.77	17.94	16.34	16.47	16.53	14.71	11.29	9.39	9.42	.
12	17.5	24.4	18.8	17.2	22.5	19.6	17.0	21.0	20.2	17.0	19.2	20.3	17.69	17.57	18.10	16.61	16.64	16.62	14.76	11.34	9.43	.	.
13	18.1	32.4	19.6	17.6	30.2	20.8	17.7	27.1	22.1	18.1	22.5	22.7	18.30	18.30	19.52	16.71	16.77	16.81	14.79	11.39	9.49	.	.
14	18.0	27.3	19.2	17.8	25.6	20.0	17.7	24.0	20.8	18.3	21.3	21.3	19.32	18.89	19.56	17.01	17.14	17.21	14.83	11.44	9.54	.	.
15	17.3	31.8	20.9	17.2	29.2	22.1	17.2	25.9	23.1	17.8	22.0	23.5	19.18	18.81	19.94	17.35	17.41	17.42	14.90	11.49	9.56	.	.
16	17.8	25.4	19.1	17.9	24.0	20.2	18.1	22.4	21.1	18.9	20.5	21.6	19.89	19.42	19.81	17.54	17.65	17.72	14.98	11.49	9.62	.	.
17	16.0	32.0	20.4	15.9	29.6	21.8	16.1	27.0	22.9	17.2	22.8	23.3	19.34	18.93	20.12	17.76	17.78	17.75	15.09	11.55	9.63	.	.
18	16.2	22.8	19.9	16.3	22.1	20.4	17.0	21.3	21.0	18.3	20.2	21.2	19.90	19.34	19.62	17.84	17.92	17.93	15.16	11.59	9.66	9.39	.
19	17.2	28.3	20.1	17.5	26.3	21.1	17.8	24.2	21.9	18.5	21.1	22.2	19.45	19.10	19.95	17.92	17.94	17.91	15.26	11.63	9.69	.	.
20	16.2	26.3	17.6	16.1	25.5	18.6	16.3	24.0	19.6	17.6	21.1	20.6	19.70	19.14	19.67	17.96	18.03	17.98	15.35	11.69	9.75	.	.
21	16.4	20.2	16.9	16.5	19.5	17.3	16.8	18.6	17.7	17.6	17.9	18.1	19.19	18.66	18.52	17.99	17.98	17.92	15.43	11.70	9.76	.	.
22	16.4	20.7	19.4	16.3	20.5	19.8	16.2	19.8	20.1	16.5	18.5	20.2	18.05	17.82	18.34	17.79	17.70	17.58	15.50	11.75	9.80	.	.
23	16.7	22.1	16.1	17.2	21.1	16.9	17.5	20.3	17.9	17.9	19.2	18.9	18.52	18.30	18.61	17.53	17.54	17.54	15.53	11.77	9.84	.	.
24	14.2	23.7	13.9	14.4	20.0	15.1	14.9	18.6	16.2	16.0	17.0	17.5	18.06	17.49	17.65	17.54	17.51	17.43	15.53	11.74	9.85	.	.
25	12.2	21.9	16.5	12.1	21.4	17.2	12.6	20.3	17.8	14.0	17.9	18.2	16.97	16.50	17.29	17.32	17.19	17.04	15.54	11.90	9.92	9.36	.
26	14.4	26.6	16.7	14.2	24.7	17.8	14.6	23.0	19.0	15.7	19.8	19.9	17.26	17.09	18.12	16.98	16.94	16.83	15.52	11.95	9.94	.	.
27	15.2	21.9	16.6	15.0	20.9	17.2	15.2	19.6	17.8	16.1	18.0	18.3	17.78	17.35	17.69	16.94	16.99	16.96	15.51	11.98	9.98	.	.
28	13.8	30.1	19.2	13.9	27.8	20.2	14.4	24.6	20.2	15.5	20.6	20.5	17.37	17.12	18.45	16.94	16.92	16.87	15.49	12.00	10.00	.	.
29	15.2	28.3	21.6	15.4	27.2	22.1	16.0	25.3	22.3	16.2	21.9	22.0	18.40	18.14	18.22	16.94	17.04	17.07	15.46	12.04	10.03	.	.
30	18.6	23.4	18.9	18.7	22.2	19.6	18.9	21.1	20.2	19.3	20.1	19.7	19.29	19.04	19.31	17.22	17.34	17.42	15.46	12.05	10.07	.	.
31	17.2	33.6	22.2	17.3	31.0	22.8	17.6	27.8	23.5	18.1	23.3	23.8	18.97	18.88	20.23	17.48	17.52	17.54	15.47	12.11	10.10	.	.
Mittel	15.59	24.66	17.75	15.57	23.35	18.63	15.82	21.83	19.39	16.57	19.44	19.84	18.03	17.70	18.33	16.98	17.00	16.98	15.09	11.49	9.58	9.41	.
August 1910																							
1	19.6	28.7	21.0	19.6	27.4	21.7	19.8	26.0	22.4	20.3	23.1	22.9	20.32	20.04	20.78	17.73	17.88	17.94	15.51	12.14	10.14	9.34	.
2	19.1	27.6	19.9	19.3	26.4	21.0	19.6	24.8	21.8	20.1	22.3	22.5	20.49	20.13	20.72	18.14	18.25	18.34	15.59	12.19	10.16	.	.
3	18.4	25.4	21.2	18.2	24.4	21.8	18.2	23.1	22.4	19.0	21.2	22.5	20.33	19.92	20.49	18.51	18.56	18.54	15.71	12.21	10.20	.	.
4	18.1	20.0	16.5	18.5	19.8	16.2	19.0	19.6	18.1	19.9	19.4	19.1	20.45	19.97	19.73	18.60	18.64	18.59	15.81	12.24	10.20	.	.
5	14.9	28.0	16.9	15.0	26.0	18.0	15.4	24.2	20.2	16.5	21.0	21.1	18.92	18.47	20.82	18.62	18.46	18.44	15.88	12.27	10.20	.	.
6	16.7	26.2	16.8	17.0	24.3	17.9	17.5	22.1	17.9	18.3	19.7	20.0	19.43	18.93	19.46	18.34	18.35	18.40	15.99	12.33	10.26	.	.
7	13.9	25.3	16.8	14.2	23.9	17.5	14.8	22.2	18.2	16.2	19.6	19.0	18.80	18.25	18.88	18.35	18.28	18.22	16.07	12.35	10.31	.	.
8	15.8	18.9	15.0	15.8	18.9	16.0	16.1	18.6	16.9	16.7	18.2	18.0	18.49	18.15	18.32	18.11	18.05	17.98	16.12	12.38	10.35	9.33	.
9	14.9	24.0	18.2	14.7	23.5	19.0	14.9	22.4	18.7	15.6	19.8	20.2	17.72	17.48	18.46	17.87	17.76	17.70	16.16	12.41	10.36	.	.
10	14.8	21.2	16.8	15.0	20.2	17.9	15.9	19.4	18.9	16.8	18.7	19.7	18.40	18.05	18.54	17.65	17.66	17.67	16.12	12.45	10.41	.	.
11	13.2	28.9	18.2	13.4	27.1	20.1	14.1	24.4	20.9	15.6	20.4	21.3	18.12	17.68	18.81	17.65	17.64	17.61	16.12	12.52	10.44	.	.
12	16.1	29.6	20.1	16.3	27.5	20.7	16.7	24.9	21.3	17.5	21.1	21.5	18.67	18.32	18.24	17.60	17.65	17.66	16.11	12.53	10.48	.	.
13	16.4	22.0	15.7	16.8	21.5	16.3	17.3	21.0	16.9	18.2	19.8	17.9	19.16	18.75	17.84	17.74	17.80	17.64	16.09	12.60	10.50	.	.
14	15.7	26.7	15.5	15.6	24.5	16.8	15.8	22.3	18.2	16.2	19.6	19.2	18.07	17.81	18.63	17.83	17.73	17.66	16.14	12.69	10.53	.	.
15	11.3	28.4	17.4	12.0	26.1	18.6	12.9	23.6	19.6	14.7	19.7	20.6	18.03	17.44	18.63	17.69	17.66	17.59	16.15	12.66	10.50	9.32	.
16	16.3	28.2	18.6	16.5	26.2	19.4	16.6	24.1	20.1	17.2	20.9	20.7	18.43	18.24	18.11	17.58	17.62	17.63	16.15	12.72	10.54	.	.
17	14.3	30.6	19.2	14.7	28.2	20.2	15.2	25.4	21.2	16.5	21.3	21.9	18.27	18.31	19.40	17.70	17.75	17.74	16.15	12.73	10.54	.	.
18	16.8	27.0	18.9	16.8	25.8	19.9	17.0	24.4	20.8	18.0	21.6	21.3	19.22	18.93	19.74	17.81	17.85	17.93	16.15	12.77	10.54	.	.
19	15.7	23.5	16.7	15.9	22.9	17.6	16.3	21.9	18.5	17.3	20.1	19.5	19.										

Bodentemperaturen

(beobachtet zu den Hauptterminen, resp. nur um 2P).

Datum	Tiefe 0.02 m			Tiefe 0.05 m			Tiefe 0.10 m			Tiefe 0.20 m			Tiefe 0.50 m			Tiefe 1.00 m			Tiefe in Metern			
	7 ^A	2 ^P	9 ^P	7 ^A	2 ^P	9 ^P	7 ^A	2 ^P	9 ^P	7 ^A	2 ^P	9 ^P	7 ^A	2 ^P	9 ^P	7 ^A	2 ^P	9 ^P	2.00	4.00	6.00	12.00
September 1910																						
1	12.7	19.7	14.8	13.2	18.6	15.4	13.7	17.3	16.1	14.6	16.1	16.7	16.54	16.17	16.47	16.51	16.49	16.48	15.97	13.19	11.00	.
2	12.8	18.1	11.8	13.1	17.2	11.9	13.6	16.2	13.8	14.4	15.5	15.3	16.31	15.91	16.22	16.40	16.39	16.44	15.91	13.22	11.05	.
3	8.4	17.2	12.7	9.0	17.3	13.2	9.9	16.9	13.7	12.6	15.6	14.7	15.33	14.78	15.30	16.36	16.16	16.02	15.85	13.23	11.12	.
4	11.8	16.1	11.1	11.8	16.7	12.1	11.9	16.3	13.2	12.7	14.6	14.6	14.93	14.61	15.01	15.91	15.84	15.71	15.80	13.22	11.12	.
5	8.9	19.0	12.7	9.1	18.9	13.8	9.7	17.9	13.8	11.1	15.1	14.6	14.44	14.04	15.31	15.60	15.52	15.43	15.72	13.26	11.15	9.37
6	8.8	23.6	13.4	9.2	21.6	14.3	10.0	19.2	15.2	11.5	15.8	15.7	14.34	14.01	15.02	15.34	15.28	15.23	15.66	13.27	11.18	.
7	14.3	21.8	14.1	14.2	20.8	14.8	14.2	19.2	15.7	14.3	16.9	16.6	15.12	15.09	15.85	15.19	15.24	15.24	15.54	13.31	11.19	.
8	13.7	19.8	14.6	13.8	19.2	15.1	14.1	18.2	15.5	14.7	16.4	16.1	15.66	15.27	15.86	15.34	15.56	15.42	15.48	13.29	11.21	.
9	13.0	18.2	12.4	13.4	17.6	13.3	13.7	17.3	14.2	14.4	16.3	15.4	15.67	15.48	15.82	15.48	15.49	15.52	15.40	13.30	11.27	.
10	11.8	20.2	11.5	12.0	18.7	12.4	12.3	16.8	13.4	13.0	15.2	14.7	15.19	14.87	15.24	15.54	15.49	15.43	15.38	13.32	11.29	.
11	9.6	16.7	12.6	10.0	16.3	13.2	10.7	15.6	13.8	11.9	14.3	14.3	14.69	14.26	14.63	15.39	15.34	15.25	15.34	13.34	11.32	.
12	9.8	21.0	14.3	10.0	20.7	14.9	10.4	19.5	15.3	11.5	16.3	15.8	14.22	13.94	14.92	15.16	15.10	15.01	15.30	13.35	11.34	9.39
13	13.6	22.6	16.6	13.7	21.2	16.9	13.8	19.4	17.1	14.1	16.9	17.2	14.89	14.86	15.71	14.99	15.01	15.03	15.24	13.34	11.36	.
14	14.0	27.0	14.2	14.1	24.7	15.4	14.3	22.3	16.6	15.0	18.6	17.9	15.76	15.63	16.64	15.12	15.21	15.24	15.16	13.34	11.39	.
15	9.7	25.5	13.6	10.5	23.4	14.6	11.5	20.8	15.8	13.3	17.2	16.9	16.05	15.40	16.19	15.40	15.47	15.46	15.13	13.35	11.41	.
16	9.2	25.3	13.8	10.0	23.2	14.7	11.1	20.4	15.7	12.9	16.8	16.7	15.65	15.05	15.89	15.49	15.49	15.42	15.11	13.34	11.41	.
17	12.6	19.2	14.1	12.2	18.6	14.8	13.2	17.6	15.3	13.9	16.0	15.8	15.61	15.25	15.60	15.44	15.46	15.43	15.12	13.35	11.46	.
18	10.1	20.7	12.5	10.6	19.3	13.5	11.4	17.8	14.5	12.8	15.8	15.5	15.23	14.79	15.29	15.41	15.39	15.30	15.12	13.35	11.47	.
19	9.5	23.0	15.5	10.2	21.6	15.8	11.3	19.3	16.2	12.7	16.1	16.4	14.93	14.55	15.23	15.27	15.26	15.14	15.08	13.37	11.51	9.42
20	13.3	14.5	10.5	13.8	14.9	11.4	14.3	15.3	12.5	15.0	15.4	13.7	15.37	14.59	15.10	15.16	15.17	15.15	15.06	13.35	11.51	.
21	6.2	12.3	9.8	7.2	12.4	10.5	8.3	12.3	11.2	10.5	11.9	12.0	14.27	13.52	13.48	15.16	15.12	14.93	15.06	13.34	11.54	.
22	9.7	14.1	8.3	10.0	13.6	9.4	10.3	13.0	10.5	11.0	12.1	11.9	13.16	12.91	13.11	14.74	14.62	14.45	15.01	13.35	11.55	.
23	10.5	16.1	12.1	10.4	15.0	12.3	10.5	13.8	12.5	10.9	12.4	12.8	12.76	12.62	13.01	14.33	14.24	14.12	14.95	13.36	11.56	.
24	10.1	15.5	12.4	9.9	15.2	12.6	10.2	14.4	12.9	10.9	13.1	13.1	12.96	12.78	13.17	14.04	14.00	13.94	14.86	13.36	11.59	.
25	9.2	21.3	9.7	9.8	19.4	11.0	10.6	17.3	12.3	11.8	14.3	13.6	13.22	13.04	13.71	13.91	13.91	13.88	14.75	13.34	11.60	.
26	5.6	21.1	9.8	6.6	19.1	10.8	7.7	16.8	11.9	9.7	13.5	12.9	13.13	12.50	13.16	13.92	13.91	13.79	14.66	13.34	11.62	9.45
27	6.6	20.2	12.2	7.2	18.8	13.8	8.1	16.6	14.2	9.6	13.4	14.3	12.74	12.28	13.02	13.78	13.74	13.66	14.55	13.34	11.63	.
28	12.8	17.0	13.8	12.8	16.6	14.1	12.9	16.0	14.4	12.9	14.7	14.5	13.30	13.34	13.82	13.63	13.65	13.68	14.47	13.33	11.65	.
29	9.6	22.9	13.3	10.3	21.0	14.0	11.0	18.6	14.6	12.2	15.3	15.2	13.76	13.41	14.12	13.75	13.80	13.81	14.38	13.34	11.66	.
30	11.9	17.5	13.5	11.9	17.4	14.2	12.1	16.9	14.6	12.7	15.5	14.8	14.01	13.83	14.25	13.87	13.93	13.94	14.32	13.33	11.66	.
Mittel	10.66	19.57	12.72	11.02	18.63	13.47	11.56	17.30	14.22	12.62	15.24	14.99	14.64	14.31	14.87	15.05	15.04	14.98	15.18	13.32	11.39	9.41

Oktober 1910

1	9.9	21.2	10.5	10.2	19.4	11.4	10.8	17.3	12.4	12.0	14.7	13.7	14.08	13.63	14.04	14.00	14.03	14.00	14.28	13.31	11.68	.
2	6.8	21.6	11.6	7.7	19.6	12.3	8.8	17.1	12.9	10.5	13.8	13.7	13.46	12.85	13.50	14.03	13.98	13.90	14.26	13.33	11.73	.
3	10.8	18.5	11.9	10.9	18.1	12.4	11.3	16.9	13.2	11.9	14.6	13.9	13.33	13.18	13.73	13.86	13.74	13.78	14.24	13.30	11.72	9.47
4	8.8	15.0	12.3	9.7	14.8	12.3	10.6	12.2	12.5	12.0	13.1	12.7	13.60	13.22	13.31	13.81	13.82	13.79	14.21	13.30	11.74	.
5	8.6	16.7	8.2	9.4	15.2	9.3	10.2	14.0	10.4	11.4	12.9	12.0	13.16	12.83	13.09	13.75	13.74	13.64	14.18	13.27	11.75	.
6	6.9	13.3	10.4	7.0	12.5	11.0	7.5	11.9	11.4	8.7	11.1	11.7	12.34	11.81	12.08	13.62	13.53	13.42	14.14	13.26	11.75	.
7	9.9	16.4	8.2	9.9	15.2	9.2	10.0	14.0	10.3	10.5	12.4	11.6	11.97	11.89	12.33	13.27	13.23	13.14	14.08	13.24	11.76	.
8	5.0	19.1	10.5	5.8	17.2	11.2	6.6	15.0	11.8	8.3	11.9	12.2	11.76	11.21	11.93	13.08	13.04	12.94	13.99	13.24	11.77	.
9	10.2	15.6	9.9	10.2	14.7	10.6	10.3	13.4	11.2	10.5	11.9	11.8	11.89	11.77	12.11	12.85	12.84	12.81	13.94	13.23	11.77	.
10	7.8	14.0	10.6	8.3	13.5	10.9	8.7	12.8	11.3	9.5	11.7	11.5	11.77	11.51	11.88	12.74	12.76	12.71	13.85	13.20	11.78	9.51
11	8.6	18.7	10.3	9.2	16.2	11.0	9.9	15.5	11.8	10.6	12.9	12.5	11.82	11.71	12.31	12.66	12.66	12.64	13.77	13.19	11.79	.
12	7.2	17.6	12.5	7.6	16.3	12.5	8.2	14.4	12.6	9.5	12.0	12.6	12.01	11.56	12.10	12.65	12.63	12.61	13.67	13.16	11.78	.
13	8.8	19.2	9.1	9.3	17.9	10.5	9.9	16.2	11.9	10.8	13.4	12.9	12.21	12.03	12.66	12.61	12.64	12.64	13.60	13.15	11.81	.
14	3.2	14.9	5.2	4.4	13.5	6.5	5.9	12.0	7.5	8.3	10.2	9.3	12.07	11.20	11.30	12.70	12.70	12.64	13.54	13.15	11.84	.
15	1.8	15.0	5.1	2.8	13.3	6.2	4.0	11.3	7.3	6.1	8.6	8.5	10.46	9.73	10.12	12.48	12.35	12.16	13.48	13.11	11.82	.
16	2.4	16.3	6.2	3.3	14.4	7.1	4.2	12.1	8.0	5.8	9.0	9.0	9.65	9.17	9.78	11.96	11.84	11.69	13.39	13.10	11.82	.
17	4.4	16.5	6.5	5.2	14.8	7.4	6.1	12.7	8.4	7.1	9.7	9.3	9.60	9.36	9.96	11.55	11.47	11.41	13.29	13.06	11.84	9.54
18	3.2	13.3	7.4	4.0	12.2	7.9	5.1	10.5	8.4	6.7	8.3	8.7	9.66	9.19	9.52	11.34	11.28	11.21	13.16	13.04	11.84	.
19	6.0	15.8	8.4	6.7	14.4	8.8	7.3	12.4	9.4	8.1	10.1	9.7	9.54	9.44	9.99	11.15	11.08	11.07	13.02	13.04	11.84	.
20	7.2	15.4	8.2	7.5	14.1	8.7	8.2	12.5	9.5	8.6	10.4	10.3	10.03	9.87	10.37	11.07	11.06	11.05	12.89	13.02	11.85	.
21	7.3	11.8	6.8	7.9	10.6	7.6	8.3	9.9	8.2	8.8	9.3	9.0	10.22	10.02	10.08	11.12	11.14	11.09	12.80	13.02	11.86	.
22	5.7	13.0	7.7	6.2	11.8	8.1	6.7	10.5	8.5	7.6	8.6	8.8	9.73	9.43	9.63	11.11	11.07	11.00	12.68	12.97	11.86	.
23	6.5	8.5	5.3	6.9	8.6	6.3	7.3	8.6	7.2	7.9	8.3	8.0	9.52	9.36	9.37	10.94	10.89	10.84	12.62	12.96	11.87	.
24	5.0	7.8	5.0	5.5	7.8	5.6	6.0	7.7	6.2	6.7	7.3	7.0	8.99	8.72	8.76	10.77	10.72	10.64	12.53	12.94	11.87	9.57
25	4.5	11.3	3.7	5.0	10.2	4.4	5.5	8.7														

Bodentemperaturen

(beobachtet zu den Hauptterminen, resp. nur um 2 P).

Datum	Tiefe 0.02 m			Tiefe 0.05 m			Tiefe 0.10 m			Tiefe 0.20 m			Tiefe 0.50 m			Tiefe 1.00 m			Tiefe in Metern						
	7 ^a	2 ^P	9 ^P	7 ^a	2 ^P	9 ^P	7 ^a	2 ^P	9 ^P	7 ^a	2 ^P	9 ^P	7 ^a	2 ^P	9 ^P	7 ^a	2 ^P	9 ^P	2.00	4.00	6.00	12.00			
																							2 ^P		
November 1910																									
1	8.2	7.7	6.5	8.3	7.7	6.8	8.2	7.7	7.0	7.9	7.7	7.3	8.30	8.37	8.31	9.27	9.32	9.33	11.55	12.66	11.87	.			
2	4.2	8.6	3.4	4.6	7.9	4.0	5.0	7.4	4.7	5.9	6.9	5.9	8.06	7.73	7.74	9.34	9.38	9.32	11.46	12.64	11.87	.			
3	3.8	5.9	1.6	4.1	5.8	2.2	4.4	5.8	3.3	5.1	5.5	4.7	7.27	7.02	6.98	9.25	9.20	9.09	11.30	12.61	11.86	.			
4	0.3	4.0	2.1	0.7	4.0	2.4	1.6	3.8	2.9	2.7	3.5	3.5	6.29	5.80	5.80	9.00	8.88	8.71	11.38	12.54	11.86	.			
5	2.0	7.2	1.8	2.0	6.6	2.1	2.2	5.8	2.7	2.7	4.5	3.6	5.47	5.33	5.60	8.49	8.38	8.22	11.22	12.53	11.87	.			
6	0.7	4.0	0.6	0.8	3.9	1.3	1.5	3.6	2.3	2.4	3.3	3.2	5.30	5.03	5.13	8.08	7.98	7.88	11.06	12.43	11.85	.			
7	0.2	5.8	6.2	0.3	5.4	5.8	1.0	4.7	5.4	1.9	3.5	4.8	4.80	4.58	5.00	7.75	7.65	7.55	10.89	12.39	11.84	9.66			
8	2.8	7.3	2.6	3.2	6.9	3.3	3.5	6.4	3.7	3.9	5.3	4.5	5.37	5.36	5.68	7.45	7.44	7.41	10.76	12.37	11.83	.			
9	2.2	5.3	1.2	2.7	5.1	1.7	3.2	4.8	2.7	3.7	4.5	3.6	5.43	5.32	5.44	7.39	7.39	7.38	10.58	12.33	11.83	.			
10	0.2	2.2	0.9	0.5	2.2	1.6	1.2	2.3	2.4	2.0	2.3	2.7	4.94	4.54	4.48	7.36	7.29	7.20	10.44	12.27	11.82	.			
11	-0.5	0.1	0.2	0.2	0.1	0.2	0.8	0.4	0.4	1.7	1.0	1.1	4.22	3.91	3.72	7.09	6.95	6.87	10.31	12.25	11.82	.			
12	0.2	1.3	-0.1	0.3	1.1	0.3	0.6	1.0	0.7	1.1	1.0	1.3	3.46	3.42	3.39	6.67	6.58	6.49	10.17	12.17	11.82	.			
13	0.0	0.9	0.0	0.1	0.1	0.7	0.3	0.4	1.1	0.9	0.9	1.3	3.11	3.03	3.02	6.30	6.20	6.10	10.05	12.16	11.83	.			
14	0.1	3.8	2.6	0.3	3.3	2.7	0.6	2.8	2.8	1.2	2.1	2.6	3.03	3.01	3.31	5.94	5.88	5.80	9.85	12.13	11.82	9.71			
15	3.0	5.5	2.3	2.9	5.1	2.8	2.8	4.6	3.3	2.7	3.6	3.7	3.57	3.72	4.10	5.71	5.69	5.58	9.66	12.07	11.79	.			
16	1.4	3.8	2.8	1.5	3.6	3.2	1.9	3.4	3.4	2.3	2.9	3.3	3.97	3.81	3.93	5.60	5.65	5.65	9.47	12.03	11.76	.			
17	0.0	2.6	-0.3	0.7	2.7	0.4	1.7	2.7	1.0	2.5	2.5	1.9	4.02	3.81	3.70	5.66	5.69	5.67	9.25	11.96	11.76	.			
18	-0.4	0.0	0.0	0.2	0.1	0.2	0.5	0.5	0.6	1.1	1.1	1.1	3.30	3.11	2.93	5.61	5.60	5.50	9.13	11.89	11.76	.			
19	0.5	0.2	0.2	0.5	0.3	0.3	0.7	0.7	0.7	1.1	1.1	1.0	2.83	2.84	1.77	5.40	5.46	5.28	8.99	11.84	11.74	.			
20	0.1	1.7	0.2	0.3	1.7	0.4	0.6	1.6	0.8	1.0	1.2	1.2	2.67	2.61	2.67	5.20	5.13	5.07	8.85	11.78	11.74	.			
21	0.2	0.3	0.2	0.3	0.5	0.3	0.7	0.8	0.6	1.0	1.1	0.9	2.58	2.52	2.47	5.00	4.98	4.90	8.72	11.74	11.72	9.78			
22	0.2	0.9	0.2	0.3	0.8	0.3	0.6	0.9	0.6	0.9	0.9	0.9	2.41	2.39	2.38	4.82	4.79	4.74	8.57	11.66	11.71	.			
23	0.2	0.6	0.0	0.3	0.8	0.2	0.6	1.0	0.5	0.8	1.0	0.8	2.32	2.30	2.31	4.68	4.64	4.60	8.43	11.60	11.68	.			
24	-0.2	0.6	0.0	-0.1	0.0	0.0	0.3	0.3	0.3	0.6	0.6	0.6	2.14	2.11	2.07	4.54	4.51	4.48	8.30	11.54	11.67	.			
25	-0.3	0.1	-0.3	0.0	0.0	0.0	0.3	0.0	0.2	0.6	0.3	0.4	2.01	1.99	1.95	4.41	4.36	4.32	8.14	11.42	11.63	.			
26	-2.1	0.0	-0.8	-0.5	-0.1	-0.3	0.2	0.2	-0.1	0.5	0.5	0.3	1.94	1.91	1.83	4.30	4.28	4.23	8.03	11.40	11.65	.			
27	-0.7	-0.2	-1.7	-0.4	-0.2	-0.9	-0.1	-0.1	-0.3	0.3	0.1	0.1	1.80	1.77	1.75	4.19	4.14	4.10	7.87	11.31	11.63	.			
28	-0.8	0.0	0.4	-0.6	-0.2	-0.2	-0.2	-0.2	-0.2	0.0	0.1	0.1	1.68	1.65	1.61	4.06	4.06	4.03	7.77	11.24	11.59	9.80			
29	0.1	0.9	0.2	0.0	0.3	0.0	-0.2	-0.1	0.2	0.1	0.1	0.3	1.59	1.60	1.59	3.98	3.96	3.94	7.67	11.17	11.58	.			
30	-0.1	2.8	0.6	-0.1	2.3	0.7	0.2	1.8	0.9	0.3	0.9	1.1	1.67	1.71	1.93	3.89	3.90	3.86	7.56	11.12	11.57	.			
Mittel	0.85	2.80	1.12	1.11	2.59	1.42	1.49	2.50	1.82	1.96	2.33	2.26	3.85	3.74	3.75	6.21	6.18	6.11	9.58	11.98	11.76	9.74			
Dezember 1910																									
1	0.0	0.4	0.4	0.1	0.3	0.4	0.4	0.4	0.6	0.6	0.6	0.7	1.94	1.90	1.86	3.83	3.83	3.82	7.45	11.02	11.52	.			
2	0.1	1.2	0.2	0.2	1.2	0.3	0.4	1.2	0.6	0.5	1.1	0.8	1.89	1.92	2.00	3.78	3.82	3.79	7.37	10.98	11.50	.			
3	0.1	0.0	-0.3	0.2	0.1	0.1	0.4	0.3	0.4	0.6	0.6	0.6	1.95	1.89	1.81	3.80	3.78	3.80	7.25	10.89	11.49	.			
4	-1.6	-0.1	-0.7	-0.5	-0.1	-0.3	0.2	0.1	0.0	0.5	0.4	0.4	1.73	1.69	1.63	3.75	3.75	3.71	7.18	10.84	11.47	.			
5	-1.7	0.0	-0.2	-0.9	-0.1	-0.2	-0.2	0.0	0.0	0.3	0.3	0.2	1.59	1.55	1.51	3.67	3.67	3.62	7.10	10.76	11.46	9.82			
6	-1.6	0.0	-0.6	-1.0	-0.1	-0.4	-0.7	0.0	-0.1	0.2	0.3	0.2	1.49	1.45	1.44	3.58	3.59	3.55	7.01	10.71	11.44	.			
7	-0.2	0.4	0.2	-0.3	0.0	0.0	-0.1	0.1	0.0	0.1	0.2	0.3	1.42	1.42	1.42	3.50	3.52	3.50	6.93	10.63	11.40	.			
8	0.4	1.6	0.9	0.1	0.9	0.6	0.1	0.5	0.6	0.2	0.3	0.5	1.42	1.43	1.48	3.46	3.46	3.42	6.85	10.55	11.39	.			
9	1.4	3.5	2.5	1.1	3.2	2.4	1.0	2.6	2.4	0.7	1.7	2.2	1.73	1.92	2.21	3.41	3.42	3.44	6.78	10.47	11.35	.			
10	1.2	4.2	1.1	1.4	4.0	1.2	1.7	3.4	1.6	1.9	2.2	1.9	2.43	2.41	2.54	3.50	3.58	3.63	6.70	10.43	11.33	.			
11	0.5	3.0	2.3	0.7	2.7	2.2	1.1	2.3	2.4	1.4	1.7	2.2	2.45	2.34	2.48	3.68	3.72	3.52	6.63	10.32	11.28	.			
12	0.8	4.5	2.5	0.9	4.7	2.7	1.2	4.0	2.8	1.6	2.8	2.8	2.60	2.54	2.86	3.75	3.79	3.80	6.60	10.30	11.26	9.85			
13	1.4	3.8	0.6	1.6	3.7	1.0	1.9	3.2	1.5	1.9	2.4	2.0	2.86	2.75	2.87	3.87	3.90	3.93	6.56	10.23	11.25	.			
14	-0.4	1.0	0.9	0.1	0.6	1.1	0.5	0.6	1.3	1.0	0.9	1.2	2.60	2.40	2.31	3.94	3.97	3.96	6.52	10.14	11.21	.			
15	0.0	1.5	0.4	0.2	1.1	0.5	0.6	1.0	0.8	0.9	0.8	1.1	2.27	2.14	2.11	3.90	3.88	3.83	6.52	10.06	11.18	.			
16	2.9	5.1	3.0	2.4	4.7	4.7	2.1	4.1	4.3	1.6	2.9	3.6	2.14	2.41	2.87	3.80	3.79	3.78	6.50	10.03	11.15	.			
17	4.5	5.8	3.6	4.4	5.6	4.0	4.3	5.2	4.2	3.8	4.3	4.2	3.40	3.62	3.90	3.83	3.92	4.02	6.45	9.94	11.12	.			
18	4.0	5.7	4.3	3.8	5.5	4.6	3.7	5.2	4.5	3.5	4.3	4.4	3.86	3.88	4.11	4.17	4.25	4.30	6.42	9.89	11.09	.			
19	2.6	4.1	2.8	2.9	4.1	3.0	3.2	3.9	3.2	3.3	3.5	3.3	4.09	3.96	3.93	4.40	4.49	4.52	6.44	9.84	11.06	9.90			
20	3.9	4.2	3.0	3.8	4.2	3.2	3.6	4.2	3.5	3.3	3.7	3.5	3.82	3.90	4.01	4.55	4.59	4.59	6.48	9.75	11.01	.			
21	2.1	3.5	0.2	2.2	3.8	0.6	2.5	3.8	1.3	2.7	3.2	2.0	3.81	3.67	3.60	4.60	4.61	4.60	6.65	9.71	10.99	.			
22	-0.5	0.0	-0.7	-0.1	0.0	-0.3	0.5	0.4	0.2	1.1	0.9	0.7	3.04	2.75	2.51	4.57	4.51	4.43	6.69	9.64	10.96	.			
23	0.0	0.3	0.1	-0.1	-0.1	0.0	0.3	0.2	0.4	0.7	0.6	0.5	2.28	2.17	2.07	4.31	4.23	4.14	6.65	9.58	10.92	.			
24	2.0	3.7	4.7	1.6	3.5	4.5	1.3	3.2	4.2	0.9	2.2	3.5	2.09	2.31	2.76	4.03	3.95	3.90	6.61	9.52	10.89	.			
25	2.8	3.8	2.5	2.9	3.8	2.8	3.2	3.6	2.8	3.1	3.1	2.8	3.21	3.28	3.39	3.90	3.96	4.02	6.56	9.46	10.84	.			
26	2.0	3.0	1.7	2.4	2.8	1.8	2.6	2.8	2.2	2.7	2.7	2.5	3.31	3.28	3.25	4.09	4.12	4.14	6.47	9.42	10.82	9.91			
27	0.8	1.9	1.1	0.9	2.1	1.3	1.4	2.2	1.5	1.7	2.0	1.9	3.06	2.90	2.89	4.18	4.14	4.15	6.45	9.36	10.78	.			
28	-0.8	-0.1	-2.3	-0.3	-0.1	-1.3	0.3	0.2	-0.2	1.1	0.7	0.4	2.63	2.34	2.13	4.11	4.05	3.99	6.42	9.31	10.73	.			
29	-2.6	-0.5	-0.6	-2.0	-0.5	-0.6	-1.1	-0.3	-0.4	0.3	0.2	0.1	1.87	1.73	1.61	3.89	3.84	3.78	6.41	9.31	1				

Verdunstung

(Die Tagessumme bezieht sich auf die Zeit von 7^a des Vortages bis 7^a des Messungstages).

Datum	Januar				Februar				März				April				Mai				Juni			
	7 ^a	2 ^p	9 ^p	Summe	7 ^a	2 ^p	9 ^p	Summe	7 ^a	2 ^p	9 ^p	Summe	7 ^a	2 ^p	9 ^p	Summe	7 ^a	2 ^p	9 ^p	Summe	7 ^a	2 ^p	9 ^p	Summe
1	0.1	0.1	0.0	0.4	0.2	0.0	0.0	0.8	0.1	0.4	0.4	0.7	0.2	0.3	0.6	1.2	0.0	0.6	0.6	1.4	0.5	1.1	0.6	2.0
2	0.0	0.0	0.0	0.1	0.2	0.0	0.2	0.2	0.1	0.1	0.2	0.9	0.2	0.5	0.7	1.1	0.1	0.4	0.4	1.3	0.3	1.5	1.2	2.0
3	0.2	0.0	0.0	0.2	0.0	0.0	0.0	0.2	0.0	0.0	0.2	0.3	0.4	0.9	0.8	1.6	0.4	0.4	0.5	1.2	0.3	1.0	1.0	3.0
4	0.2	0.2	0.3	0.2	0.2	0.1	0.1	0.2	0.2	0.3	0.3	0.4	0.2	0.8	1.0	1.9	0.3	0.6	0.8	1.2	0.3	1.4	1.2	2.3
5	0.1	0.1	0.0	0.6	0.0	0.0	0.0	0.2	0.1	0.2	0.4	0.7	0.3	0.5	1.0	2.1	0.2	0.2	0.4	1.6	0.3	1.7	2.2	2.9
6	0.1	0.1	0.1	0.2	0.1	0.0	0.0	0.1	0.2	0.4	0.5	0.8	0.1	0.1	0.2	1.6	0.2	0.7	0.6	0.8	0.6	2.1	2.3	4.5
7	0.0	0.0	0.0	0.2	0.0	0.0	0.1	0.0	0.1	0.0	0.2	1.0	0.1	0.1*	0.2	0.4	0.1	0.5	0.6	1.4	0.4	1.3	1.1	4.8
8	0.0	0.1	0.1	0.0	0.2	0.1	0.2	0.3	0.0	0.1	0.1	0.2	0.0	0.2	0.3	0.3	0.4	0.5	0.4	1.5	0.2	1.2	0.5	2.6
9	0.2	0.1	0.1	0.4	0.1	0.1	0.2	0.4	0.0	0.4	0.9	0.2	0.1	0.9	0.5	0.6	0.1	0.2	0.2	1.0	0.2	1.4	1.5	1.9
10	0.4	0.4	0.4	0.6	0.2	0.0	0.0	0.5	0.6	0.7	1.2	1.9	0.1	0.4	0.8	1.5	0.1	0.1	0.1	0.5	0.3	1.5	1.3	3.2
11	0.1	0.1	0.5	0.9	0.0	0.2	0.2	0.0	0.5	0.7	0.8	2.4	0.1	0.3	0.7	1.3	0.1	0.6	1.9	0.3	0.4	2.2	2.4	3.2
12	0.4	0.4	0.4	1.0	0.0	0.1	0.0	0.4	0.6	0.5	0.4	2.1	0.6	1.0	1.2	1.6	0.8	1.1	1.1	3.3	0.4	1.7	0.7	5.0
13	0.1	0.0	0.1	0.9	0.0	0.0	0.0	0.1	0.2	0.0	0.2	1.1	0.6	0.9	1.0	2.8	0.0	0.6	0.6	2.2	0.2	0.5	0.6	2.6
14	0.1	0.1	0.2	0.2	0.1	0.1	0.0	0.1	0.1	0.3	0.3	0.3	0.8	1.5	1.3	2.7	0.1	0.4	0.6	1.3	0.5	0.5	2.1	1.6
15	0.1	0.0	0.2	0.4	0.0	0.1	0.3	0.1	0.2	0.2	0.4	0.8	0.6	0.6	0.7	3.4	0.2	1.0	0.9	1.2	0.0	0.0	0.3	2.6
16	0.2	0.0	0.1	0.4	0.2	0.0	0.1	0.6	0.1	0.2	0.2	0.7	0.0	0.4	0.9	1.3	0.2	1.0	1.1	2.1	0.5	0.1	0.3	0.8
17	0.1	0.1	0.2	0.2	0.0	0.1	0.7	0.1	0.1	0.7	0.5	0.5	0.5	1.1	0.8	1.8	0.1	0.6	0.5	2.2	0.4	0.3	0.9	0.8
18	0.1	0.3	0.2	0.4	0.6	0.5	0.5	1.4	0.3	0.5	0.3	1.5	0.3	0.9	0.5	2.2	0.1	0.1	0.5	1.2	0.4	1.0	1.3	1.6
19	0.4	0.2	0.2	0.9	0.4	0.3	0.5	1.4	0.2	0.0	0.0	1.0	0.4	0.4	0.1	1.8	0.3	1.0	1.2	0.9	0.3	0.6	1.6	2.6
20	0.2	0.0	0.0	0.6	0.2	0.3	0.5	1.0	0.0	0.2	0.3	0.0	0.2	0.3	0.9	0.7	0.6	1.5	1.6	2.8	0.3	0.8	0.9	2.5
21	0.0	0.2	0.0	0.0	0.4	0.2	0.4	1.2	0.2	0.2	0.4	0.7	0.3	0.0	0.4	1.5	0.8	1.6	2.0	3.9	0.3	0.8	1.1	2.0
22	0.1	0.0	0.0	0.3	0.3	0.2	0.2	0.9	0.1	0.4	0.6	0.7	0.4	0.5	0.6	0.8	0.7	1.2	1.8	4.3	0.6	1.4	1.5	2.5
23	0.0	0.1	0.0	0.0	0.3	0.2	0.2	0.7	0.1	0.4	0.8	1.1	0.2	0.3	0.7	1.3	0.3	1.2	1.4	3.3	0.5	0.2	0.9	3.4
24	0.0	0.1	0.0	0.1	0.0	0.2	0.2	0.4	0.5	0.0	0.1	1.7	0.2	0.3	0.9	1.2	0.4	1.4	1.2	3.0	0.5	0.5	0.4	1.6
25	0.0	0.1	0.1	0.1	0.3	0.4	0.2	0.7	0.1	0.1	0.2	0.2	0.4	0.4	0.8	1.6	0.4	0.8	1.1	3.0	0.1	0.3	1.0	1.0
26	0.2	0.2	0.2	0.4	0.3	0.4	0.3	0.9	0.1	0.3	0.5	0.4	0.2	0.6	0.9	1.4	0.4	1.1	0.8	2.3	0.2	1.1	0.5	1.5
27	0.0	0.0	0.1	0.4	0.5	0.3	0.1	1.2	0.2	0.4	0.6	1.0	0.3	0.6	0.3	1.8	0.4	1.4	0.9	2.3	0.3	0.7	0.9	1.9
28	0.0	0.0	0.2	0.1	0.1	0.3	0.3	0.5	0.2	0.2	0.1	1.2	0.1	0.6	0.8	1.0	0.4	0.4	0.6	2.7	0.3	0.1	0.7	1.9
29	0.6	0.2	0.4	0.8					0.2	0.2	0.4	0.5	0.6	0.9	0.4	2.0	0.1	0.1	0.2	1.1	0.4	0.7	0.8	1.2
30	0.2	0.4	0.2	0.8					0.2	0.5	0.3	0.8	0.1	0.6	0.8	1.4	0.0	0.3	0.1	0.3	0.6	1.1	0.2	2.1
31	0.1	0.2	0.4	0.7					0.4	0.5	0.5	1.2					0.2	0.7	0.8	0.6				
Summe	4.3	3.8	4.7	12.5	4.9	4.2	5.5	14.6	6.0	9.1	12.3	27.0	8.6	16.9	20.8	45.9	8.5	22.3	25.5	56.2	10.6	28.8	32.0	71.6
Mittel	0.14	0.12	0.15	0.40	0.18	0.15	0.20	0.52	0.19	0.29	0.40	0.87	0.29	0.56	0.69	1.53	0.27	0.72	0.82	1.81	0.35	0.96	1.07	2.39

Datum	Juli				August				September				Oktober				November				Dezember			
	7 ^a	2 ^p	9 ^p	Summe	7 ^a	2 ^p	9 ^p	Summe	7 ^a	2 ^p	9 ^p	Summe	7 ^a	2 ^p	9 ^p	Summe	7 ^a	2 ^p	9 ^p	Summe	7 ^a	2 ^p	9 ^p	Summe
1	0.3	0.6	0.5	1.6	0.1	0.2	0.3	1.7	0.1	0.0	0.3	0.4	0.1	0.2	0.2	0.5	0.0	0.2	0.2	0.0	0.0	0.0	0.0	0.1
2	0.1	0.4	0.3	1.2	0.1	0.0	0.4	0.6	0.1	0.1	0.1	0.4	0.1	0.2	0.5	0.5	0.0	0.3	0.1	0.4	0.1	0.0	0.0	0.1
3	0.1	0.2	0.4	0.8	0.2	0.4	0.2	0.6	0.2	0.5	0.2	0.4	0.1	0.2	0.4	0.8	0.2	0.0	0.1	0.6	0.1	0.1	0.1	0.1
4	0.1	0.3	0.6	0.7	0.2	0.0	0.0	0.8	0.1	0.1	0.2	0.8	0.3	0.2	0.2	0.9	0.1	0.0	0.0	0.2	0.2	0.2	0.0	0.4
5	0.1	0.4	0.4	1.0	0.2	0.1	0.6	0.2	0.0	0.2	0.1	0.3	0.2	0.2	0.3	0.6	0.0	0.2	0.2	0.0	0.1	0.0	0.2	0.3
6	0.2	0.6	0.4	1.0	0.2	0.2	0.4	0.9	0.1	0.2	0.3	0.4	0.1	0.0	0.0	0.6	0.0	0.0	0.1	0.4	0.0	0.0	0.0	0.2
7	0.1	0.5	0.8	1.1	0.2	0.7	0.7	0.8	0.0	0.2	0.3	0.5	0.0	0.1	0.1	0.0	0.0	0.2	0.1	0.1	0.0	0.0	0.0	0.0
8	0.3	0.0	0.0	1.6	0.2	0.2	0.2	1.6	0.1	0.2	0.1	0.6	0.1	0.2	0.2	0.3	0.3	0.5	0.3	0.6	0.0	0.0	0.1	0.0
9	0.1	0.0	0.2	0.1	0.1	0.3	0.7	0.5	0.1	0.1	0.1	0.4	0.0	0.0	0.2	0.4	0.1	0.2	0.1	0.9	0.0	0.0	0.0	0.1
10	0.2	0.2	0.8	0.4	0.1	0.2	0.4	1.1	0.0	0.1	0.1	0.2	0.1	0.0	0.2	0.3	0.1	0.1	0.2	0.4	0.0	0.0	0.0	0.0
11	0.2	0.2	0.2	1.2	0.1	0.4	0.7	0.7	0.1	0.0	0.0	0.3	0.0	0.3	0.5	0.2	0.0	0.2	0.0	0.3	0.1	0.0	0.0	0.1
12	0.0	0.1	0.3	0.4	0.1	0.4	0.7	1.2	0.0	0.3	0.2	0.0	0.1	0.3	0.3	0.9	0.0	0.1	0.1	0.2	0.0	0.0	0.1	0.0
13	0.1	0.4	0.9	0.5	0.2	0.3	0.1	1.3	0.1	0.1	0.2	0.6	0.2	0.2	0.4	0.8	0.2	0.0	0.1	0.4	0.1	0.1	0.2	0.2
14	0.1	0.2	0.3	1.4	0.2	0.3	0.5	0.6	0.1	0.5	0.8	0.4	0.2	0.4	0.2	0.8	0.2	0.3	0.3	0.3	0.0	0.1	0.0	0.3
15	0.1	0.2	0.5	0.6	0.4	0.7	1.2	0.3	0.3	0.3	0.3	1.6	0.2	0.2	0.3	0.8	0.1	0.0	0.1	0.7	0.0	0.0	0.0	0.1
16	0.1	0.1	0.5	0.8	0.4	0.4	0.7	1.8	0.2	0.4	0.5	0.7	0.1	0.1	0.3	0.6	0.0	0.0	0.0	0.1	0.2	0.1	0.2	0.2
17	0.1	1.1	1.0	0.7	0.1	0.6	0.6	1.2	0.1	0.3	0.3	1.0	0.0	0.2	0.2	0.4	0.1	0.3	0.1	0.1	0.1	0.1	0.3	0.4
18	0.5	0.5	0.5	2.6	0.4	0.6	1.0	1.6	0.0	0.2	0.2	0.6	0.1	0.0	0.2	0.5	0.2	0.0	0.0	0.6	0.2	0.1	0.1	0.6
19	0.1	0.3	0.4	1.1	0.2	0.6	0.6	1.8	0.2	0.6	0.8	0.6	0.1	0.2	0.4	0.3	0.0	0.0	0.0	0.0	0.1	0.0	0.1	0.3
20	0.2	0.5	0.5	0.9	0.4	0.6	0.9	1.6	0.2	0.0	0.1	1.6	0.4	0.2	0.2	1.0	0.0	0.0	0.1	0.0	0.1	0.0	0.1	0.2
21	0.1	0.0	0.1	1.1	0.3	0.9	1.0	1.8	0.1	0.0	0.0	0.2	0.1	0.0	0.4	0.5	0.0	0.0	0.0	0.2	0.1	0.1	0.1	0.2
22	0.2	0.3	0.3	0.3	0.3	0.3	0.1	2.2	0.0	0.2	0.2	0.0	0.1	0.2	0.4	0.5	0.0	0.0	0.0	0.0	0.1	0.0	0.1	0.3
23	0.2	0.6	0.8	0.8	0.1	0.4	0.5	0.5	0.1	0.1	0.3	0.5	0.2	0.1	0.1	0.8	0.0	0.1	0.0	0.0	0.0	0.2	0.1	0.1
24	0.1	0.4	0.0	1.5																				

Photogrammetrische Wolkenmessungen 1910.

Zeit	Wolken					Unterwind		Bemerkungen
	Zahl der Messungen	Form	Seehöhe km	Zug aus	Geschwindigkeit m p. s.	Richtung	Geschwindigkeit m p. s.	
14. I. 10 ⁰ a	3	a-cu	6.31	NW	24	SW	7	große Wolkenballen von etwa 450 m ² Fläche; typische a-cu-Form. Eine Stunde später ✕ ⁰ , in der folgenden Nacht ☒.
25. I. 0 ³⁰ p	2	ci	7.61	SW	28	SE	5	vorwiegend flockige ci-Formen, stellenweise zu Streifen ausgezogen. Im Randgebiet einer stationären Depression über Holland.
29. I. 11 ⁵² a	3	ci-str	7.47	SW	45	SSW	7	ziemlich formlose, etwas geballte Wolkenschichten. Depression (735 mm) über der südlichen Nordsee.
25. II. { 11 ⁴⁰ a 11 ⁴¹ a	6	ci	6.51	} W	36	SW	7	Doppelaufnahme mit 64 Sek. Zeitdifferenz. Lange ci-Fäden von W ausgehend und in der Zugrichtung gestreift; Abstand der stärkeren Streifen von einander rund 800 m. Fäden an den vorderen Endpunkten am höchsten (6.72 km, Steigung gegen die Horizontale 3°). Geschwindigkeit photogramm. bestimmt 35.9, nephoskop. 34.9 mps. ● 2 ^p .
	6	ci	6.44					
26. II. { 10 ⁴³ a 10 ⁴⁴ a	5	ci-Rippe	7.61	W	41	W	8	Doppelaufnahme mit 64 Sek. Zeitdifferenz. Breite, von SSW nach NNE verlaufende ci-Rippe, beiderseits, besonders aber nach W ausgefasert. Die höchsten Wolkenpunkte liegen in der Rippe (7.83 km). Genaue Zugrichtung und Geschwindigkeit der Rippe W 6° N, 40.8 mps, der Fäden W 7° N, 40.0 mps; nephoskopisch WNW, 42.8 mps. Vertikalgeschwindigkeit der Streifen — 0.6 mps.
	1	ci-Streifen	7.35	W	40			
	3	ci-Rippe	7.69	W	41			
	2	ci-Streifen	7.17	W	40			
1. III. 10 ²² a	4	a-cu	5.21	W	13	S	4	große mattweiße Wolkenballen.
15. III. 10 ³¹ a	3	ci	9.86	WSW	32	ESE	4	mattweiße ci breiten sich von SW her von einer ci-str-Decke aus.
17. III. 10 ⁸ a	3	ci	9.28	W	24	SW	7	ci-Streifen von SSW nach NNE angeordnet, Endpunkte am höchsten (9.54 km, Steigung 4°). a-cu verwaschen. Vorderseite einer Teildepression.
	3	a-cu	3.62	W	21			
17. III. 10 ¹⁴ a	2	ci	9.27	W	24	SW	7	a-cu gut entwickelt, ci gehen in ci-str über, verschwinden aber bald wieder. ○ ^{1/4} p str-cu lentic., ○ ^{3/4} p ma-cu, 1 ^{1/2} p ● tr.
	3	a-cu	3.59	W	21			
3. IV. { 8 ⁴⁴ a 8 ⁴⁵ a	3	ci-str	6.81	} SSW	11	ESE	6	Doppelaufnahme mit 66 Sek. Zeitdifferenz. Ziemlich dichter ci-str mit schwach entwickelten Formen. Infolge des schwierigen Objekts Geschwindigkeitsbestimmung aus der Doppelaufnahme nicht möglich.
	3	ci-str	7.15					
3. IV. 8 ⁵⁶ a	2	ci-str	6.65	} SSW	15	ESE	6	feine ci-Fäden von SW-NE schwach nach aufwärts gerichtet, bei 6.6 km Höhe scharf nach N umgebogen und in bandförmigen ci-str übergehend.
	3	ci-Fäden	6.55					
4. IV. 8 ⁴² a	2	ci-Fäden	9.32	S	30	SE	6	lange ci-Fäden hauptsächlich in 2 Richtungen (ESE-WNW und SSE-NNW) angeordnet.
10. IV. 0 ⁶ p	2	»falsche« ci-str-cu	2.80	WNW	9	W	8	linkes Randgebilde einer im S vorüberziehenden △ Bö; anfangs typische Form von »falschen« ci, die später in str-cu übergeht. Flockige Gebilde 2.35 km. Streifen 2.80 km hoch.
	3		2.35					
12. IV. { 9 ⁴⁸ a 9 ⁴⁹ a	2	ci-Fäden	7.90	} WSW	10	S	5	Doppelaufnahme mit 70 Sek. Zeitdifferenz. Matte ci in zwei Schichten angeordnet, meist gestreift von SSW-NNE und NW-SE. Zugrichtung und Geschwindigkeit (S 62° W, 9.5 mps) in beiden Schichten gleich. Vertikalbewegung + 0.9 mps.
	2	ci-Fäden	7.46					
	2	ci-Fäden	7.95					
	2	ci-Fäden	7.42					
12. IV. { 0 ¹⁸ p 0 ¹⁹ p	4	ci-Fäden	7.91	} WSW	11	SE	5	Doppelaufnahme mit 68 Sek. Zeitdifferenz. Wulstförmige ci-Rippen erstrecken sich von NW nach SE; von ihnen gehen unter 55° Abweichung ci-Fäden nach N 10° E. Endpunkte der Fäden 8.09 km (Steigung 6°). Genaue Zugrichtung des ci-Wulstes S 68° W, Vertikalbewegung + 0.9 mps.
	6	ci-Wulst	7.74					
	2	ci-Fäden	7.95					
	2	ci-Wulst	7.79					
13. IV. 8 ² a	3	a-cu	3.35	SW	13	S	4	Doppelt gefurcht in den Richtungen S 45° W-NE und S 30° E-N 30° W. Durchschnittliche Größe der a-cu-Ballen 220 m ² .
14. IV. 9 ¹² a	6	a-cu	3.42	SSW	12	S	4	a-cu-Ballen sind teilweise in der Zugrichtung etwas streifig ausgezogen; Größe der Wolken-Ballen durchschnittlich 220 m ² .
14. IV. { 10 ⁵² a 10 ⁵³ a	3	ci-Locken	8.38	WSW	16	S	4	Doppelaufnahme mit 83 Sek. Zeitdifferenz. Von W nach E gerichtete ci-Fäden bilden bei 7.7—7.8 km Höhe skelettförmige Querrippen (Streichrichtung SE-NW), von denen wiederum W-E gerichtete Fäden ausgehen, die in ci-Locken von 8.3—8.4 km Höhe enden. Genaue Zugrichtung. S 67° W, Vorderseite einer von W-Frankreich heranrückenden Teildepression.
	2	ci-Rippen	7.68	WSW	15			
	3	ci-Locken	8.32	WSW	16			
	2	ci-Rippen	7.83	WSW	15			
15. IV. 8 ⁶ a	2	flockige ci	9.25	} SSW	29	ESE	4	Übergang zu ci-str: unbestimmte Formen in einer Teildepression. ● tr und ● ⁰ p häufig.
	2	flockige ci	9.05					
17. IV. 9 ¹⁴ a	6	ci	8.49	S	19	ESE	6	ci in schmalen, skelettförmigen Banden nach verschiedenen Richtungen hin angeordnet, hauptsächlich WSW-ESE. Im Bereiche eines Depressionsgebietes mit vielen Teilmin. 4 Stunden vorher ☒ (2—5°).

Zeitangaben nach mittlerer Ortszeit

Photogrammetrische Wolkenmessungen 1910.

Zeit	Wolken					Unterwind		Bemerkungen
	Zahl der Messungen	Form	Seehöhe km	Zug aus	Geschwindigkeit m p. s.	Richtung	Geschwindigkeit m p. s.	
1. V. 3 ³⁰ p	{ 5 2	ci-Rippen ci-Rippen	5.38 4.80	SSW	12	W	3	plastisch hervortretende ci-Rippen, beiderseits seitlich ausgekämmt; vorherrschende Streichrichtung der Rippen SSE-NNW, der Seitenzweige ESE-WNW (also senkrecht zur Zugrichtung); durchschnittlicher Abstand der Rippen 600 m. Mindestens zwei Wolkenschichten.
11. V. { 5 ⁷ p 5 ⁸ p	{ 2 2 2 2	ci-Fäden flockige ci ci-Fäden flockige ci	6.12 5.64 6.20 5.56					
13. V. 10 ⁴¹ a	4	a-cu	4.84	SE	21	ENE	4	a-cu-Ballen von rund 300 m ² Größe. Vorübergehendes Aufklaren des Himmels zwischen Teildepressionen mit vielen Gewittern.
15. V. 2 ²⁵ p	3	fr.-cu-ni	3.76	SE	7	E	5	lose Wolkenballen an der Flanke eines Gewittergewölks, darüber ci.
20. V. 8 ⁸ a	5	ci	9.79	N	20	E	9	stark zerzauste, vielfach knäueiförmige ci-Streifen; Streichrichtung zuerst NNW-SSE, dann nach NW-SE umbiegend.
27. V. { 10 ⁵² a 11 ⁰ a	{ 4 4	ci ci	9.39 9.32	W	10	W	7	Doppelaufnahme mit 65 Sek. Zeitdifferenz. Vorwiegend flockige ci, einige in einem breiten, SSW-NNE gerichteten Bande angeordnet. Genaue Zugrichtung W 5° N, nach dem Wolkenspiegel Zugrichtung in der ci-Region N-NW-W.
2. VI. 10 ⁶ a	3	ci	7.22					
4. VI. 9 ³¹ a	5	ci	8.63	SSW	15	SSE	4	vereinzelte ziemlich flockige ci-Felder, die in W-E gerichtete Fäden auslaufen. Flockige und geballte ci 8.51 km, Enden der ci-Fäden 8.69 km hoch.
12. VI. { 6 ⁵⁵ p 6 ⁵⁶ p	{ 2 6 2 5 1	ci-str flockige ci ci-str flockige ci ci-str	9.93 8.80 8.26 9.60 8.77 8.38	NE NE	12 12	WSW WSW	3 3	Doppelaufnahme mit 68 Sek. Zeitdifferenz. ci am linken Rande eines Gewittergewölks (T 6—9 ^{1/4} p). Flockige und geballte ci in einem von N nach S verlaufenden Bande; außerdem hauchförmiger ci-str, anscheinend in mehreren Höhenlagen. Genaue Zugrichtung der geballten ci N 34° E, 12.5 mps.
14. VI. 10 ³² a	5	a-cu	6.13	SSE	4	N	5	große wulstförmige, von SW nach NE gerichtete a-cu-Banden, am Horizont stellenweise zu a-cu castellatus umgeformt (T 6 ^{1/4} p). Breite der Wülste rund 500 m, kürzester Abstand ihrer Mittellinien ca. 600 m. Wolken in einer Depressionsfurche.
17. VI. { 0 ⁷ p 0 ⁸ p	{ 3 3	a-cu a-cu	3.00 2.99	ENE	0.4	N	4	Doppelaufnahme mit 66 Sek. Zeitdifferenz. Vielfach lose, flockige Wolken, aber außerdem typische a-cu-Würfel von rund 300 m ² Größe. Darunter rasch ziehende str-cu. Genaue Zugrichtung der a-cu N 69° E.
17. VI. 6 ¹ p	4	a-cu	3.08					
21. VI. 0 ³⁵ p	3	ci	10.40	NNW	25	SE	4	ci-Fäden mit Locke.
21. VI. { 0 ⁵⁴ p 0 ⁵⁵ p	{ 4 4	ci-str ci-str	10.29 10.36	NNW	32	SE	4	Doppelaufnahme mit 66 Sek. Zeitdifferenz. Wirr durcheinander laufende Wolkenfasern mit ci-Fäden, die zunächst W 74° N-E 74° S gerichtet sind und bis zur Streichrichtung W 55° N-E 55° S umbiegen. Genaue Zugrichtung W 74° N.
30. VI. { 7 ⁵⁰ a 7 ⁵¹ a	{ 4 4	ci ci	8.98 8.82					
3. VII. 6 ¹ p	3	ci-cu	4.20	WSW	7	W	5	kleines flockiges Wolkengebilde. Tagsüber häufig ☉ schauer.
7. VII. 5 ⁴⁰ p	4	a-cu	3.03	NE	5	NW	5	typische Wolkenballen, mehrfach von 450 m ² Größe. Zugrichtungen zwischen NE und NW in der Nachbarschaft der gemessenen Schicht. Rückseite einer Teildepression, Zentrum des Hauptmin. in Südrüßland.
17. VII. 4 ¹¹ p	4	ci	10.83	W	15	E	5	parallele ci-Rippen (Streichrichtung S 67° W-N 67° E) gehen in flockigen ci und geballten ci-str über. Höhenunterschied zwischen Rippen (10.70 km) und Ballen (10.86 km) anscheinend gering.
10. VIII. 8 ³⁰ a	4	a-cu	3.23	NNE	4	NW	2	ci-cu-ähnliche Wölkchen (durchschnittliche Größe 30 m ²) in wellenähnlichen Zügen (Streichrichtung W-E, Abstand 450 m) angeordnet.
12. VIII. 0 ³⁵ p	5	ci	9.89	NNW	22	WSW	6	wirr durcheinanderlaufende ci-Fäden und Federn in verschiedenen Schichten angeordnet. Am niedrigsten (9.51 km) liegen die von N nach S gestreckten ci-Federn. Vorderseite einer von Schottland heranziehenden Depression.

Zeitangaben nach mittlerer Ortszeit

Photogrammetrische Wolkenmessungen 1910.

Zeit	Wolken					Unterwind		Bemerkungen	
	Zahl der Messungen	Form	Seehöhe km	Zug aus	Geschwindigkeit m p. s.	Richtung	Geschwindigkeit m p. s.		
12. VIII. 1 ⁴⁵ p	{ 3 2	flockige ci ci-Fäden	9.10 8.73	NW	16	WSW	6	ci-Fäden von NNW-SSE gerichtet; flockige ci vielfach zu ci-str vereinigt. Bemerkenswert ist der Höhenunterschied gegen die vorige Aufnahme. ● 10 ²⁴ p—13. VIII. 4 ^a mit Unterbrechungen.	
23. VIII. { 3 ²⁸ p 3 ²⁹ p 3 ²⁹ p	{ 2 3 2	ci-Bänder ci-Fäden ci-Bänder	8.32 7.66 8.09	WSW	22	W	7	Doppelaufnahme mit 67 Sek. Zeitdifferenz. Breite, flockige, von SSW-NNE gerichtete ci-Bänder, außerdem feine, parallele ci-Fäden, die nahezu senkrecht zur Zugrichtung (S 58° W) stehen. Streichrichtung der Fäden W 35° N-E 35° S.	
	{ 3 3	ci-Fäden ci-Fäden	7.66 7.66	WSW	22	W	7		
	{ 2 3	ci-Fäden ci-Fäden	8.09 7.66	WSW	22	W	7		
3. IX. { 10 ³² a 10 ³² a	{ 4 5	ci-Rippe ci-Rippe	8.33 8.35	} SW	9	SW	5	Doppelaufnahme mit 66 Sek. Zeitdifferenz. Streichrichtung der ci-Rippe anfangs NNE-SSW, dann bis NNW-SSE umbiegend; außerdem ci-str und ci-Fäden mit Streichrichtung NW-SE. Genaue Zugrichtung S 49° W. Vertikalgeschwindigkeit + 0.3 mps.	
5. IX. 10 ¹¹ a	3	a-cu	2.24	NE	4	E	2	regelmäßig gruppierte a-cu von rund je 60 m ² Oberfläche.	
6. IX. 5 ²⁵ p	{ 3 1	a-cu fr-cu	5.74 2.01	NE N	14 ?	NW	3	mattweise a-cu, z. T. von ci-cu-Form, darunter fr-cu.	
10. IX. 7 ⁵⁸ a	3	a-cu	3.50	NNE	4	N	1	Streichrichtung der a-cu N-S, dazwischen breite von W nach E gerichtete Furche. Abstände der Mittellinien der a-cu von einander 300 m; Größe ca. 200 m ² . a-cu am Westrande einer sich auflösenden Depression.	
10. IX. { 10 ²⁷ a 10 ²⁸ a	{ 4 4	a-cu a-cu	3.38 3.36	} NE	1	WNW	1	Doppelaufnahme mit 70 Sek. Zeitdifferenz. Ein 500—800 m breites Wolkenband erstreckt sich von NNE-SSW; seitlich lose a-cu und stark aufquellende cu. Genaue Zugrichtung der a-cu N 52° E; Vertikalgeschwindigkeit — 0.4 mps.	
12. IX. { 11 ¹⁰ p 11 ¹¹ p	{ 4 4	ci-cu ci-cu	5.91 5.88	} SSW	15	WSW	2	Doppelaufnahme mit 65 Sek. Zeitdifferenz. Ziemlich massige Wolkenballen von rund 150 m ² Größe; z. T. wellige Anordnung von W 55° N-E 55° S. Genaue Zugrichtung S 16° W; Horizontalgeschwindigkeit 15.0 mps, Vertikalgeschwindigkeit — 0.5 mps.	
19. IX. 0 ⁴⁸ p	3	ci	9.21	WSW	27	SSW	6	kleine ci-Felder mit meist gestreifter Anordnung ziehen rasch durch das Zenith. Vorderseite einer ostwärts ziehenden Teildepression.	
19. IX. 5 ²⁷ p	4	a-cu	4.28	WSW	14	S	4	ziemlich grobe a-cu von ca. 240 m ² Größe. ● 0 n.	
3. X. 11 ⁵⁷ a	{ 2 2	a-cu	4.24 4.05	} SW	19	W	4	a-cu in zwei Schichten; die unteren gut abgerundet, die oberen etwas flockig. Darüber ci-str. ● 1 ¹ / ₂ p.	
13. X. { 11 ¹⁵ a 11 ¹⁶ a 11 ¹⁶ a 11 ¹⁶ a	{ 3 1 3 1	ci-Bänder flockige ci ci-Bänder flockige ci	8.63 7.81 8.64 7.71	WSW W WSW W	30 26 30 26	WNW WNW WNW WNW	4 4 4 4	Doppelaufnahme mit 70 Sek. Zeitdifferenz. Zwei anscheinend getrennte ci-Schichten, die höhere Schicht in W-E gerichteten Bändern, die z. T. federförmig ausgefasert sind, angeordnet. Genaue Zugrichtung der oberen Schicht S 76° W, der unteren Schicht S 87° W. Vorderseite eines von WNW heranrückenden Barometermaximums (Luftdrucksattel).	
18. X. 0 ⁵⁷ p	3	a-cu	2.13	NW	4	WSW	4	a-cu von ziemlich unregelmäßiger Gestalt bilden sich um 11 ^a und bleiben dann lange Zeit fast unverändert.	
19. X. { 9 ⁵⁰ a 9 ⁵¹ a	{ 5 5	a-cu a-cu	2.34 2.34	} WSW	8	SSW	4	Doppelaufnahme mit 71 Sek. Zeitdifferenz. Wolkenballen von durchschnittlich 250 m ² Größe, vorherrschende Streichrichtungen WNW-ESE und NNE-SSW. Genaue Zugrichtung S 73° W.	
22. X. { 9 ¹⁷ a 9 ¹⁹ a	{ 5 5	ci ci	7.30 7.29	} E	6	E	8	Doppelaufnahme mit 93 Sek. Zeitdifferenz. Flockige ci und feine ci-Fäden mit Streichrichtung N 35° E-S 35° W. Genaue Zugrichtung E 2° S.	
22. X. { 9 ³⁰ a 9 ³¹ a	{ 4 4	a-cu a-cu	3.11 3.09	} E	10	E	8	Doppelaufnahme. Wolkenballen von nur etwa 60 m ² Größe ohne bestimmte Streichrichtung.	
30. X. { 9 ²⁰ a 9 ²² a	{ 4 4	a-cu a-cu	3.24 3.23	} SW	8	S	3	Doppelaufnahme mit 72 Sek. Zeitdifferenz. Zerrissene, aber gut abgerundete a-cu (durchschnittliche Größe 120 m ²) am Rande einer größeren Wolkenmasse. Genaue Zugrichtung S 51° W, Vertikalgeschwindigkeit — 0.17 mps. Luftdruckfurche, in der die Depressionen südostwärts vorrücken.	
17. XI. { 11 ³⁰ a 11 ³¹ a	{ 4 4	a-cu a-cu	5.83 5.84	} SW	19	SW	7	Doppelaufnahme mit 70 Sek. Zeitdifferenz. Trotz der Höhe typische a-cu mit mächtigen Wolkenballen (rund 350 m ²), vorherrschende Streichrichtung SSE-NNW, genaue Zugrichtung S 55° W, Vertikalgeschwindigkeit — 0.7 mps.	

Zeitangaben nach mittlerer Ortszeit

Photogrammetrische Wolkenmessungen 1910.

Zeit	Wolken					Unterwind		Bemerkungen
	Zahl der Messungen	Form	Seehöhe km	Zug aus	Geschwindigkeit m p. s.	Richtung	Geschwindigkeit m p. s.	
30. XI. $\left\{ \begin{array}{l} 8^{40}a \\ 8^{50}a \end{array} \right.$	2	ci-Fäden	7.60	SW	11	SE	6	Doppelaufnahme mit 68 Sek. Zeitdifferenz. 0.8 km breite und 5 km lange ci-Rippe, die sich von WSW-ENE erstreckt (südlicher Rand 7.2 km hoch), und nach N ci-Fäden (Fäden 7.6 km hoch, Streichrichtung S-N) ausendet. Neigung der ci-Fäden gegen die Horizontale 14°. Genaue Zugrichtung der Rippe S 58° W, der Fäden S 53° W. Vertikalgeschwindigkeit der Rippe + 0.9 mps.
	3	ci-Rippe	7.18	SW	11			
	3	ci-Fäden	7.58	SW	11			
	3	ci-Rippe	7.20	SW	11			
30. XI. 0 ⁵⁰ p	4	a-cu	3.50	SW	6	SE	4	Hauptstreichrichtung der a-cu SE-NW.
10. XII. $\left\{ \begin{array}{l} 0^{8p} \\ 0^{9p} \end{array} \right.$	3	ci-str	9.33	} SW	19	SE	3	Doppelaufnahme mit 70 Sek. Zeitdifferenz. ci-str in flockigen, S 68° W -N 68° E gerichteten Polarbanden mit scharfem Rand. Genaue Zugrichtung S 48° W.
	3	ci-str	9.14					
13. XII. $\left\{ \begin{array}{l} 11^{18}a \\ 11^{19}a \end{array} \right.$	1	ci-str	7.61	} SW	28	SSW	6	Doppelaufnahme mit 75 Sek. Zeitdifferenz. Wulstförmige, an den Rändern flockige ci in mindestens zwei Schichten angeordnet. Genaue Zugrichtung S 45° W, v = 27.9 mps. Depression über der Nordsee zieht nordwärts; kleine Teildepressionen in W-Deutschland.
	2	ci-str	7.26					
	1	ci-str	7.59	} SW	28	SSW	6	
2	ci-str	7.18						
15. XII. $\left\{ \begin{array}{l} 0^{16p} \\ 0^{17p} \end{array} \right.$	4	ci-str	9.73	} W	9	SSE	6	Doppelaufnahme mit 89 Sek. Zeitdifferenz. Wolkenformen ähnlich wie am 13. XII.; Polarbanden (WSW-ENE) schwach angedeutet. Genaue Zugrichtung S 85° W, horiz. Geschwindigkeit 8.8 mps.
	4	ci-str	9.62					
15. XII. $\left\{ \begin{array}{l} 11^{34p} \\ 11^{35p} \end{array} \right.$	5	ci-str	9.31	} WSW	10	SE	6	Doppelaufnahme mit 69 Sek. Zeitdifferenz. ci-str in lockeren Ballen, an den Rändern etwas streifig ausgezogen. Genaue Zugrichtung S 60° W, horiz. Geschwindigkeit 10.1 mps.
	5	ci-str	9.09					

Zeitangaben nach mittlerer Ortszeit

Gewitterbeobachtungen 1910.

Datum	Art des Gewitters	aufgetreten in?	zog vorüber in?	Wirkliche Zugrichtung aus?	Anfang des Gewitters (erster Donner)	Ende des Gewitters	Niederschlag Form und Zeit	Wind-Richtung und Stärke			Farbe der Blitze	Bemerkungen
								vor d. Gew.	während d. Gew.	nach d. Gew.		
Jan. 11	[2] ⁰	NW	—	—	7 ¹³ p	—	● 1-2 7 ¹⁸⁻¹² p, ▲ 1 ⁷ 7 ⁰ p	SW ₅	WSW ₅	WSW ₅	—	{ Nur ein T, B ⁰ 7 ³⁰ p aus WSW
» 15	[2] ⁰	—	—	—	4 ^a	5 ⁴ p	● 4 ⁵⁰⁻⁵ 3 ⁰ a	—	SW ₃	—	—	—
April 17	[2] ⁰	SW	E u. N	SW	2 ⁵ a	5 ⁴ p	—	NE ₂	E ₂	E ₂	—	≤ 0 ⁻² seit 0 ^a
» 17	[2] ¹	SE	C u. N	SSE	—	5 ⁴ p	● 1 4 ³¹⁻⁵⁰ a	E ₂	E ₂	ENE ₂	gelb	—
Mai 9	[2] ⁰	N	NE	NW	0 ⁴⁸ p	1 ⁴ p	● 0-1 1 ⁵⁷⁻³¹ p	wechselnd	SW ₅	W ₃	—	B ⁰ 0 ³⁰ p aus SW
» 11	[2] ¹	SSE	SSW	SE	4 ³⁰ p	—	● 0 4 ⁴⁰ p	ENE ₆	ENE ₆	ENE ₆	—	—
» 11	[2] ¹	SE	C	ESE	10 ⁵⁸ p	1 ^a	● 0 11 ⁶ p-1 ⁸ a	E ₅	E ₄	E ₃	violett	—
» 12	[2] ⁰	SE	C u. W	SE	2 ³⁵ p	3 ⁴ p	● 0-2 2 ⁴³⁻³ 0p	E ₄	SE ₅	ESE ₃	gelblich	B ⁰ 2 ³⁰ p
» 12	[2] ⁰	ESE	SE	—	11 ⁵ p	01 ^a	● 1 ⁵⁵⁻² 3 ^a	E ₂	ESE ₂	E ₂	gelb	≤ 10 ³⁰ p-2 ^a im E u. N { Elmsfeuergeräusche
» 13	[2] ¹	E	C u. S	E	2 ¹⁹ p	5 ⁴ p	● tr. 3 ⁴ p, ● 0 4 ¹⁵⁻⁵ 1p	E ₃	E ₄	W-SW ₂	weiß	{ schmal. [2] Band E-W { schmal. [2] Band SE-NW
» 13	[2] ¹⁻²	SE	C u. NE	SE	7 ³⁰ p	8 ⁴ p	—	umlaufend	umlaufend	1-2	rötlich gelb	—
» 14	[2] ¹	SE	S	W	1 ³² p	2 ⁴ p	● 0 1 ³²⁻² 4p	E ₂	SE ₄	ENE ₁	—	—
» 14	[2] ¹	SE	ENE	—	1 ³² p	2 ⁴ p	»	»	»	»	—	—
» 14	[2] ¹	E	S u. NE	—	4 ¹⁶ p	6 ^p	● 0 5 ¹⁴⁻⁵ 4p	NE ₁	NE ₂	E ₂	—	—
» 14	[2] ¹	N, NW	—	—	7 ⁴ p	9 ⁴ p	—	—	—	—	—	—
» 15	[2] ⁰	S	SW	SSE	1 ³⁵ p	3 ⁴ p	● tr. 2 ⁴ p	E ₁	E ₁	E ₁	—	—
» 15	[2] ⁰	NW	NW	—	3 ²⁴ p	3 ⁴ p	—	SE ₂	SE ₂	ESE ₂	—	—
» 15	[2] ⁰	E	—	—	3 ²⁷ p	—	—	SE ₂	SE ₂	ESE ₂	—	—
» 15	[2] ⁰	E	—	—	9 ⁴ p	10 ⁴ p	—	—	—	—	—	—
» 16	[2] ⁰	W	—	SSW	2 ⁵ p	3 ⁴ p	—	ENE ₁	S ₁	ENE ₁	—	—
» 16	[2] ⁰	N	—	—	4 ²⁸ p	—	—	—	WNW ₂	—	—	—
» 16	[2] ¹	SE	E	S	5 ¹⁸ p	7 ⁴ p	● tr. 6 ¹⁸ p	NNW ₁	umlaufend	umlaufend	bläulich weiß	{ 5 ³⁸ p Elmsfeuergeräusche, { 6 ²⁵⁻⁷ p
» 16	[2] ²	S	C u. W	S	6 ³⁵ p	9 ⁴ p	● 1 6 ⁴⁵ p, ▲ 1 8 ⁴⁻¹⁰ p	NNW ₂	umlaufend	E ₃	bläulich weiß	B ⁰ 7 ⁵⁴ p aus WSW
» 16	[2] ²	S	C	SW	7 ²⁰ p	10 ¹ p	● 1-2 7 ³²⁻⁹ 4p	umlaufend	umlaufend	umlaufend	bläulich weiß	B ⁰ 7 ⁵⁴ p aus WSW
» 16	[2] ¹	W	—	—	9 ⁴ p	11 ^p	—	—	—	—	rötlich gelb	—
» 17	[2] ²	E	C	E	3 ¹⁸ p	6 ¹ p	{ 1 3 ⁵⁷⁻⁵ p, ▲ 1 3 ⁵²⁻⁴ p { 4 ⁹ p, ● 0 6 ³⁰⁻³⁰ p	NNE ₁	wechselnd	NE ₂	(zuerst bläulich (weiß, dann rötl. gelb	3 ⁴⁰ p Elmsfeuergeräusche
» 25	[2] ⁰	SE	S	E	5 ⁴⁰ p	7 ⁴ p	—	N ₃	SE ₃	W ₁	gelb	—
» 25	[2] ⁰	SE	SSE	ENE	6 ¹² p	8 ^p	—	N ₃	umlaufend	N ₃	—	—
» 25	[2] ¹	NW	WNW	NNE	8 ¹⁰ p	9 ⁴ p	● 0 9 ¹¹⁻⁵⁰ p	wechselnd	umlaufend	N ₃	gelb	—
» 25	[2] ⁰	ENE	E	NNE	8 ¹² p	9 ⁴ p	● 0 9 ¹¹⁻⁵⁰ p	wechselnd	umlaufend	N ₃	rötlich	—
» 25	[2] ⁰	E	—	—	11 ²⁸ p	—	—	wechselnd	N ₃	NNE ₃	—	≤ 10 ¹⁷⁻¹¹ 30p, 1 T
Juni 2	[2] ⁰	SE	—	—	7 ³⁰ p	—	● 0 8 ¹³⁻⁸ 4p	—	WNW ₁	—	—	—
» 2	[2] ⁰	SE, W	—	—	10 ⁴ p	—	—	—	—	—	—	—
» 3	[2] ¹	E, W, S	—	—	9 ⁴ p	2 ^a	—	—	—	—	—	—
» 4	[2] ¹	SE	—	—	10 ³⁰ p	1 ^a	—	—	—	—	—	—
» 5	[2] ⁰	W	NW	SW	5 ³ p	6 ¹ p	● tr. 5 ⁵ p	E ₃	E ₃	E ₃	—	—
» 5	[2] ⁰	NE	NNE	ESE	4 ³⁰ p	—	—	—	ESE ₃	—	—	—
» 5	[2] ⁰⁻²	N	—	—	8 ¹³ p	11 ¹⁰ p	—	—	—	—	—	—
» 5	[2] ⁰⁻¹	ENE	—	—	9 ²⁸ p	11 ^p	—	—	—	—	—	—
» 6	[2] ⁰	SE	C u. S	ESE	6 ³⁰ p	7 ^p	● tr. 6 ⁵⁰⁻⁷ 4p	ENE ₄	ENE ₄	NE ₂	—	—
» 6	[2] ⁰	E	—	—	10 ¹⁰ p	0 ¹⁰ a	—	—	—	—	—	—
» 7	[2] ¹	E	C	ESE	2 ⁴⁸ p	5 ⁴ p	● tr. 3 ³⁰⁻³⁰ p	NE ₃	E ₄	NE ₁	—	B ⁰ 3 ⁵ p
» 7	[2] ¹	SE	S	E	10 ⁴⁰ p	11 ^p	—	NE ₂	ENE ₁	NE ₁	gelb	≤ 9 ¹²⁻¹¹ 1p
» 8	[2] ⁰	SW	SW	—	0 ³⁰ p	—	—	ENE ₂	ENE ₃	ENE ₃	—	—
» 8	[2] ⁰	SE	SSE	E	1 ³⁸ p	2 ⁴ p	● 0 2 ²⁰⁻⁵⁰ p	ENE ₃	ENE ₃	wechselnd	—	—
» 8	[2] ⁰	NE	NW	E	2 ²⁸ p	4 ^p	● 0 2 ³⁰⁻³⁰ p	ENE ₃	wechselnd	NNE ₁	gelblich weiß	B ⁰ 2 ²⁵ p aus ENE B ⁰ 5 ³⁰ p aus E
» 8	[2] ⁰	SE	S	E	5 ¹⁴ p	6 ⁴ p	—	NNF ₁	S	—	—	B ⁰ 7 ¹⁹ p aus E
» 9	[2] ⁰	SE	—	ESE	7 ¹⁸ p	7 ⁴ p	● 0-1 7 ³¹⁻⁴⁵ p	E ₃	SE ₂	E ₃	—	B ⁰ 3 ³⁶ p aus SE
» 10	[2] ⁰	SE	C	ESE	3 ¹ p	4 ^p	● 0-1 3 ³⁰⁻⁵⁰ p	E ₃	ESE ₃	E ₂	—	B ⁰ 4 ¹⁵ p aus SE
» 10	[2] ⁰	SE	C	SE	3 ⁵⁰ p	4 ⁴ p	● 0-1 4 ²⁸⁻⁵² p	E ₃	SE ₃	E ₂	—	—
» 10	[2] ⁰	S, W	—	—	10 ⁴¹ p	0 ³⁰ a	—	—	—	—	—	—
» 11	[2] ⁰	ENE	NE	SE	3 ⁵² p	6 ^p	—	SE ₄	ESE ₂	ESE ₂	—	—
» 11	[2] ¹	SE	S	ESE	6 ⁵⁰ p	8 ^p	● 0 7 ⁵⁰⁻⁵⁵ p	ESE ₂	SE ₄	E ₁	—	B ⁰ 7 ⁴⁵ p aus SE
» 11	[2] ⁰	S	S	—	8 ²⁵ p	—	—	E ₁	—	—	—	—
» 12	[2] ⁰	ESE	C	ESE	10 ⁵⁴ a	11 ⁴ a	● 0-1 10 ⁴⁸⁻¹¹ 8a	ESE ₃	E ₃	E ₃	weiß	—
» 12	[2] ⁰	SE	C, S	E	1 ³⁶ p	2 ^p	● 0-1 1 ⁴⁸⁻⁵⁵ p	E ₃	E ₃	SE ₃	—	—
» 12	[2] ⁰	ESE	S	E	1 ⁴ p	3 ^p	● 0-1 2 ⁰⁻² 4p	E ₃	SE ₅	SE ₂	—	B ⁰ 1 ⁵⁰ p aus SE
» 12	[2] ¹	NE	NNE	ESE	6 ⁰ p	8 ⁴ p	● 0-1 8 ¹⁻⁹ 4p	wechselnd	NNE ₂	E ₂	weißgelb	B ⁰ 7 ⁴⁵ p aus NNE
» 12	[2] ¹	ESE	C, S	ESE	?	9 ⁴ p	—	NNE ₃	ESE ₂	ESE ₃	weißgelb	—
» 13	[2] ⁰	S	SW	SE	10 ³⁸ a	01 ^p	—	WNW ₁	E ₂	ESE ₂	—	—
» 13	[2] ⁰	SSE	W	—	0 ³⁰ p	1 ^p	● 0 0 ²³⁻¹ 1p	ESF ₂	ESE ₂	SE ₁	—	—
» 13	[2] ⁰	—	NW	—	3 ⁴⁷ p	—	—	W ₁	NW ₁	N ₂	—	—
» 13	[2] ⁰	—	NW	—	5 ²¹ p	—	—	NW ₁	N ₂	N ₂	—	—
» 14	[2] ¹⁻²	SE	C	SE	6 ²¹ p	9 ^p	{ 0-2 6 ⁴¹⁻⁷ 15p (● ² { 7 ¹ p)	N ₅	SSE ₄	NNW ₂	intensiv violett	{ B ⁰ 7 ⁴ p aus SE, 6 ¹⁷ p { violett, Perlschnurblitz { i. S., ≤ 0 ⁻² 6 ⁹⁻¹⁰ p i. S { ≤ 0 ⁻¹ 10 ¹ p-0 ^a im N
» 14	[2] ¹	NE	N	ESE	9 ¹⁸ p	10 ⁴ p	● 0 schauer 9 ²⁴ p	NE ₃	NNW ₂	NNW ₂	gelb	—
» 14	[2] ⁰	SE	—	—	10 ^p	01 ^a	—	—	—	—	—	—
» 23	[2] ⁰	WNW	C	WNW	7 ³² p	8 ⁴ p	● 0-1 7 ⁴⁴⁻⁸ 4p	SW ₄	WNW ₅	WSW ₅	—	B ⁰ 7 ²⁵ p aus WNW
» 24	[2] ⁰	NW	C	NW	2 ³⁸ p	3 ^p	● 1-2 2 ³⁵⁻⁵⁵ p	W ₄	WNW ₃	SW ₁	—	B ⁰ 2 ³⁶ p aus NW
» 25	[2] ¹	W	C	W	8 ¹⁵ p	9 ⁴ p	● 9 ⁸⁻⁹ 4p	SSW ₃	W ₅	SW ₃	gelbweiß	B ⁰ 9 ¹¹ p aus W
» 26	[2] ⁰	SW	C	SW	4 ⁴ p	6 ^p	● 0 5 ⁴³⁻⁶ 4p	SW ₃	SW ₄	SSW ₂	—	B ⁰ 5 ³⁰ p aus WSW

Zeitangaben nach mittlerer Ortszeit

Gewitterbeobachtungen 1910.

Datum	Art des Gewitters	aufgetreten in?	zog vorüber in?	Wirkliche Zugrichtung aus?	Anfang des Gewitters (erster Donner)	Ende des Gewitters	Niederschlag Form und Zeit	Wind-Richtung und Stärke			Farbe der Blitze	Bemerkungen
								vor d. Gew.	während d. Gew.	nach d. Gew.		
Juli 1	☁ ⁰⁻¹	SW	S	W	4 ⁴⁰ _p	6 ¹ _p	● ⁰⁻¹ 5 ⁰ -6 ¹ _p	WSW ₄	WSW ₄	SW ₂	—	Bö 5 ³⁵ _p aus W
» 2	☁ ⁰	SW	S	—	11 ⁵⁰ _a	—	● ⁰ 0 ¹ -1 ⁴ _p	SW ₂	WSW ₂	WSW ₂	—	—
» 2	☁ ¹	SW	C	SW	1 ²⁴ _p	2 ⁴ _p	{ ● ⁰⁻² 1 ³² -2 ⁴ _p , ▲ ⁰⁻¹ 1 ⁴² -5 ⁰ _p	SW ₂	W ₆	SW ₁	—	{ Elmsfeuergeräusche, Bö 1 ³⁸ _p aus W
» 2	☁ ⁰	W	NW	SW	2 ¹⁸ _p	2 ⁴ _p	—	SW ₁	S ₁	SSW ₁	—	—
» 2	☁ ¹	SW	C, S	WSW	3 ⁵⁶ _p	5 ^p	● ⁰⁻¹ 3 ⁵⁴ -5 ^p	wechselnd	NNW ₂	S ₁	weiß	{ Bö 4 ³⁵ -5 ^p
» 3	☁ ¹	WSW	N, NW	SW	5 ¹ _p	5 ⁴ _p	● ⁰⁻¹ 5 ³⁷ -5 ⁴ _p	SW ₂	SW ₂	WSW ₁	weiß	{ Elmsfeuergeräusche, Bö 5 ³³ aus W
» 9	☁	W	—	—	10 ⁴⁸ _p	11 ⁴ _p	—	—	—	—	—	—
» 11	☁	S	—	—	10 ³⁶ _p	11 ⁴ _p	—	—	—	—	—	—
» 13	☁ ¹	S	S	—	3 ²² _p	3 ⁴ _p	—	NW ₃	NW ₂	NNW ₃	—	—
» 13	☁ ¹	NE	NE, E	N	4 ³² _p	4 ⁴ _p	● ² 4 ¹⁹ -4 ⁴ _p	NNW ₃	NNW ₃	N ₃	—	—
» 13	☁ ⁰	S, W	—	—	11 ^p	11 ^a	—	—	—	—	—	—
» 14	☁ ⁰	NE	E	N	8 ⁴⁴ _a	9 _a	● ⁰ sch. 8 ⁴⁹ -9 _a	NW ₃	NW ₃	NW ₃	weißgelb	—
» 14	☁ ¹	NNE	C	N	9 ²⁵ _a	10 ⁴ _a	● ⁰⁻¹ 9 ⁵¹ -10 ⁵⁰ _a	NW ₃	NW ₃	NW ₂	—	—
» 14	☁ ¹	NE	C, E	NNE	3 ³⁴ _p	4 ⁴ _p	● ⁰⁻¹ 3 ⁴⁰ -5 ^p	NW ₃	N ₂	WNW ₂	—	—
» 14	☁ ¹	N	C	NNE	4 ³⁰ _p	5 ⁴ _p	● ¹⁻² 4 ⁴² -5 ²⁵ _p	NW ₃	N ₂	WNW ₂	gelb, violett	—
» 14	☁ ¹⁻²	SW	—	—	9 ^p	11 ^a	—	—	—	—	—	—
» 18	☁ ²	SW	C	SW	6 ²⁵ _p	9 ^p	● ¹⁻² 7 ⁷ -9 ^p	SE ₂	SW ₂	SSW ₂	{ anfangs gelb, dann rotviolett	{ 7 ⁵ _p Elmsfeuergeräusche 7 ²¹ _p Bö aus SW
» 18	☁ ⁰	—	E	—	9 ⁵⁰ _p	10 ⁴ _p	● ⁰ 10 ^p -0 ⁴ _a	SW ₂	SW ₂	SW ₂	—	—
» 18	☁ ¹	SE	—	—	10 ^p	0 ⁴ _a	—	—	—	—	—	—
» 22	☁ ¹	SW	C	SW	7 ¹⁷ _p	8 ⁴ _p	● ⁰⁻² 7 ²⁰ -8 ³⁰ _p	wechselnd	wechselnd	E ₂	rötlich gelb	Bö 7 ⁴⁵ _p aus NE
» 23	☁ ¹	SW, E	—	—	1 ¹⁰ _a	1 ⁴ _a	● ⁰ 0 ³⁰ -1 ³⁵ _a	E ₁	SE ₂	SW ₄	—	≤ 0 ²⁰ -2 ¹ _a
» 23	☁ ¹	W	N	WSW	8 ⁵ _p	8 ⁴ _p	● ⁰⁻² 8 ¹⁰ -8 ⁶ _p	SSW ₃	SSW ₃	SW ₃	rötlich	Bö 8 ²¹ _p aus SSW
» 30	☁ ⁰	SW	—	—	0 ⁵⁰ _a	1 _a	—	—	—	—	—	—
» 30	☁ ⁰	SE	E	—	3 ⁵⁵ _p	—	—	NNE ₂	SE ₃	E ₂	—	Bö 3 ⁴⁵ _p aus NNE, 1 T
» 31	☁ ¹	SW	W	SSW	4 ⁴⁵ _p	6 ^p	● ¹⁻² 5 ¹⁸ _p , 5 ²⁸ -4 ² _p	ESE ₂	umlaufend	W ₂	gelb	Bö 5 ¹⁵ _p aus ESE
» 31	☁ ⁰	SE	E	—	5 ⁵⁰ _p	6 ^p	—	SE	wechselnd	W ₂	—	Bö 6 ²⁴ _p aus SE
» 31	☁ ⁰	S	C	SSW	7 ⁴⁰ _p	8 ^p	● ¹⁻² 7 ⁴⁸ -8 ⁵ _p	wechselnd	WSW ₃	W ₂	gelb	—
» 31	☁	S, W	—	—	11 ²² _p	11 ^a	—	—	—	—	—	—
Aug. 1	☁	N, E	—	—	10 ^p	11 ^p	—	—	—	—	—	—
» 3	☁	S, N	—	—	10 ^p	10 ⁴ _p	—	—	—	—	—	—
» 4	☁ ⁰	E	—	—	4 ⁴⁸ _p	5 ^p	● ⁰⁻¹ 4 ¹⁰ -5 ^p	NNE ₄	NE ₄	NNE ₄	—	Bö 4 ⁴⁵ _p aus NE
» 5	☁ ⁰	SW	C	WSW	6 ⁵⁰ _p	?	● ⁰⁻² 8 ⁴ _p -2 ^a	W ₂	SW ₃	WSW ₂	—	{ Bö 7 ³⁵ _p aus WSW, ≤ ⁰ bis 9 ⁴ _p im E
» 13	☁ ⁰	—	NW	—	0 ²¹ _p	—	● ⁰⁻¹ 0 ¹⁰ -4 ⁰ _p	WSW ₄	WSW ₅	WSW ₄	—	—
» 13	☁ ⁰	NNW	N	WNW	1 ⁵⁷ _p	3 ⁴ _p	● ⁰⁻² 2 ¹⁵ -4 ⁴ _p	WSW ₄	WSW ₃	WSW ₁	gelbbrot	—
» 13	☁ ¹	NW	C	NW	5 ⁴⁶ _p	6 ^p	● ¹ 5 ⁹ _p	WSW ₃	WSW ₃	WSW ₃	—	—
» 25	☁ ⁰	W	C	W	1 ⁵⁸ _p	4 ^p	● ⁰ 2 ⁵⁷ -4 ^p	SSW ₂	WSW ₁₋₆	C	—	Bö 3 ⁶ _p aus W
Sept. 9	☁ ⁰	SE	S	E	1 ²² _p	3 ^p	● ⁰⁻¹ 2 ²² -4 ⁴ _p	NW ₁	wechselnd	wechselnd	—	—
» 9	☁ ¹	NE	N	ESE	3 ²⁰ _p	4 ⁴ _p	● ⁰⁻¹ 2 ²² -4 ⁴ _p	wechselnd	E ₁	N ₁	—	—
» 10	☁ ⁰	SE	S u. E	—	1 ¹⁵ _p	2 ⁴ _p	● ⁰ tr. 3 ^p	N ₁	SSE ₂	SE ₁	—	—
» 13	☁ ¹	SW	W	S	6 ¹⁰ _p	7 ⁴ _p	—	E ₂	E ₂	E ₂	gelblich, rötlich	≤ bis 9 ^p im WNW
» 13	☁ ⁰	SE	—	—	10 ²⁰ _p	11 ^p	—	E ₂	E ₂	E ₂	blauweiß	—
» 13	☁	S, E, N	—	—	10 ⁴ _p	11 ⁴ _p	—	—	—	—	—	—

Zeitangaben nach mittlerer Ortszeit

Wassergehalt der Schneedecke

1910

Datum der Messung	Alte Schneedecke		Frischer Schnee		Datum der Messung	Alte Schneedecke		Frischer Schnee	
	Höhe	Wassergehalt von 1 cm	Höhe	Wassergehalt von 1 cm		Höhe	Wassergehalt von 1 cm	Höhe	Wassergehalt von 1 cm
	cm	mm	cm	mm		cm	mm	cm	mm
Jan. 1	0.0	—	0.0	—	Febr. 14	2.0	2.3	—	—
» 20*	0.5	1.2	0.5	1.2	» 15	2.0	—	—	—
» 21	0.5	—	0.5	4.2	» 16	2.1	—	0.3	0.7
» 22	2.0	—	1.5	0.6	» 17	0.0	—	—	—
» 23	3.6	—	1.2	0.5	März 19*	0.0	—	0.0	—
» 24	2.8	1.6	—	—	» 20	2.0	2.4	2.0	2.4
» 25	10.1	—	8.6	1.0	Nov. 12*	7.0	2.1	7.0	2.1
» 26	8.9	—	—	—	» 13	4.0	—	0.0	—
» 27	12.0	1.4	3.5	0.7	» 14	4.0	2.8	—	—
» 28	11.7	—	0.3	0.7	» 20*	4.5	2.2	4.5	2.2
» 29	10.0	—	—	—	» 21	9.0	1.1	4.5	0.8
» 30	9.0	—	—	—	» 22	12.0	—	2.8	1.2
» 31	9.0	2.0	0.3	0.7	» 23	15.5	—	3.9	1.4
Febr. 1	8.0	—	—	—	» 24	13.0	1.3	—	—
» 2	6.5	—	—	—	» 25	12.0	—	—	—
» 3	7.0	2.4	0.0	—	» 26	11.0	—	—	—
» 4	7.0	—	—	—	» 27	10.0	—	—	—
» 5	7.0	—	—	—	» 28	9.0	1.8	—	—
» 6	6.0	—	—	—	» 29	1.0	—	—	—
» 7	4.0	4.0	—	—	Dez. 30	4.0	0.8	4.0	0.8
» 11*	2.0	0.9	2.0	0.9	» 31	2.0	—	0.0	—
» 12	3.5	—	1.5	0.8					
» 13	2.9	—	—	—					

Ein * beim Datum bedeutet, daß die alte Schneedecke abgeschmolzen ist und sich inzwischen eine neue gebildet hat.

Zusammenstellungen

1910

Wind

Monat	N	NNE	NE	ENE	E	ESE	SE	SSE	S	SSW	SW	WSW	W	WNW	NW	NNW	Calm.	Summe
Häufigkeit der 16 Windrichtungen.																		
Januar . .	8	—	—	—	—	13	35	27	46	75	157	151	123	84	15	10	—	744
Februar . .	4	6	5	2	21	65	57	81	72	85	92	60	67	24	15	14	2	672
März . . .	14	18	36	33	51	95	11	64	52	12	21	42	98	97	60	40	—	744
April . . .	24	8	12	9	44	37	31	27	71	51	34	75	200	73	15	9	—	720
Mai	27	41	41	114	152	31	13	9	19	33	45	46	59	61	28	25	—	744
Juni	45	29	27	49	94	71	41	15	10	34	85	84	41	32	23	40	—	720
Juli	9	16	8	17	45	21	21	7	30	69	95	109	160	82	31	24	—	744
August . .	20	15	13	11	34	53	19	25	27	34	79	196	163	24	14	17	—	744
September	39	17	29	21	37	31	40	25	41	33	31	27	103	118	81	47	—	720
Oktober .	21	10	11	12	183	137	57	44	34	36	25	51	68	30	13	12	—	744
November	10	9	18	13	29	30	85	30	58	38	131	92	95	46	27	9	—	720
Dezember	4	7	5	7	77	135	39	34	64	64	75	79	90	39	22	3	—	744
Jahr . . .	225	176	205	288	767	719	449	388	524	564	870	1012	1267	710	344	250	2	8760
Windwege für die einzelnen Richtungen. (in Kilometern)																		
Januar . .	68	—	—	—	—	284	738	497	925	1562	3578	3200	2718	1786	133	101	—	15590
Februar . .	36	43	36	11	378	965	875	1357	1447	1904	1847	1087	1238	371	194	126	3,6	11919
März . . .	169	230	623	652	864	1890	151	1181	911	220	443	857	1674	1469	864	644	—	12842
April . . .	259	119	162	166	918	778	562	526	1472	1037	706	1339	4291	1818	187	144	—	14484
Mai	364	583	673	2297	3254	464	191	115	306	594	929	958	1159	1033	382	371	—	13673
Juni	720	428	421	943	1721	1238	619	220	137	673	1937	1930	965	594	353	659	—	13558
Juli	115	187	79	310	745	331	277	79	482	1242	1930	2455	3323	1120	421	302	—	13398
August . .	234	173	184	166	608	886	274	328	392	551	1444	3816	3370	320	158	187	—	13091
September	468	187	281	212	569	511	634	317	641	562	493	493	1872	1836	1044	583	—	10703
Oktober .	400	166	140	202	3992	2563	994	709	526	536	353	799	1303	594	202	194	—	13673
November	133	112	187	194	486	482	1562	637	1260	781	2815	1998	2027	1174	346	119	—	14313
Dezember	51	138	65	102	1408	3017	709	608	1386	1379	1652	2077	2182	796	472	47	—	16089
Jahr . . .	3017	2366	2851	5255	14943	13409	7586	6574	9885	11041	18127	21009	26122	12911	4756	3477	3,6	163333
Mittlere Geschwindigkeit der einzelnen Richtungen. (in Metern pro Sekunde)																		
Januar . .	2,39	—	—	—	—	6,08	5,87	5,10	5,58	5,78	6,33	5,89	6,14	5,91	2,48	2,80	—	5,82
Februar . .	2,55	2,02	2,02	1,65	5,01	4,13	4,26	4,66	5,59	6,22	5,58	5,04	5,13	4,29	3,58	2,49	0,50	4,93
März . . .	3,33	3,56	4,81	5,47	4,71	5,53	3,80	5,12	4,87	5,07	5,85	5,66	4,74	4,21	4,00	4,48	—	4,79
April . . .	3,00	4,08	3,79	5,09	5,80	5,84	5,03	5,39	5,76	5,65	5,76	4,96	5,96	6,92	3,44	4,41	—	5,59
Mai	3,73	3,96	4,55	5,60	5,95	4,16	4,05	3,54	4,48	5,01	5,73	5,78	5,46	4,70	3,80	4,13	—	5,11
Juni	4,44	4,12	4,35	5,35	5,09	4,84	4,20	4,09	3,83	5,49	6,33	6,38	6,54	5,16	4,27	4,58	—	5,23
Juli	3,53	3,24	2,76	5,04	4,59	4,38	3,66	3,19	4,48	5,00	5,64	6,26	5,77	3,79	3,76	3,49	—	5,00
August . .	3,24	3,19	3,96	4,14	4,98	4,65	3,99	3,63	4,04	4,51	5,07	5,41	5,74	3,71	3,11	3,05	—	4,89
September	3,33	3,04	2,70	2,80	4,28	4,57	4,40	3,52	4,33	4,74	4,43	5,09	5,05	4,32	3,58	3,45	—	4,13
Oktober .	5,27	4,57	3,57	4,65	6,06	5,20	4,84	4,48	4,30	4,15	3,92	4,35	5,32	5,49	4,28	4,47	—	5,10
November	3,67	3,47	2,89	4,14	4,67	4,46	5,10	5,90	6,04	5,72	5,97	6,03	5,93	7,08	3,56	3,63	—	5,52
Dezember	3,55	5,49	3,54	4,03	5,08	6,21	5,05	4,98	6,02	5,98	6,12	7,30	6,73	5,66	5,95	4,17	—	6,00
Jahr . . .	3,73	3,73	3,86	5,07	5,41	5,18	4,69	4,71	5,24	5,44	5,79	5,77	5,73	5,05	3,84	3,86	0,50	5,18

Niederschläge

1910

Monat	1 ^a	2 ^a	3 ^a	4 ^a	5 ^a	6 ^a	7 ^a	8 ^a	9 ^a	10 ^a	11 ^a	12	1 ^p	2 ^p	3 ^p	4 ^p	5 ^p	6 ^p	7 ^p	8 ^p	9 ^p	10 ^p	11 ^p	Monats- summe	
Gesamtdauer des Niederschlags in Stunden																									
Jan.	2.1	3.1	2.9	1.9	1.4	1.3	1.9	2.7	3.9	3.3	4.2	3.7	3.1	3.1	1.5	2.5	1.7	3.1	4.7	4.8	2.2	1.4	1.0	2.7	64.2
Febr.	2.4	2.3	1.4	1.7	2.2	2.7	4.0	3.7	3.7	3.5	3.3	2.1	1.8	3.6	3.5	4.7	4.3	3.8	4.6	3.6	3.1	5.2	2.3	3.6	77.1
März	2.0	1.8	1.0	1.8	3.7	3.6	2.3	2.3	2.0	1.6	1.5	1.9	1.0	1.0	1.5	1.3	1.8	0.8	0.1	—	0.6	2.0	2.2	1.0	38.8
Apr.	1.3	1.0	0.2	1.6	2.1	1.0	1.6	2.2	1.8	2.2	1.0	0.2	—	1.2	0.8	1.0	2.2	1.2	1.6	2.2	2.4	2.3	2.0	1.9	35.0
Mai	2.0	1.4	1.7	2.3	2.5	2.2	2.2	1.7	1.0	1.8	1.4	1.8	1.3	2.3	2.5	0.6	1.8	1.0	1.3	2.5	2.8	1.5	0.5	1.7	41.8
Juni	1.0	1.0	1.0	1.8	1.8	1.4	1.3	—	0.8	0.2	0.2	0.2	—	0.5	1.3	1.7	2.2	1.2	1.7	1.3	2.4	1.8	1.1	0.7	26.6
Juli	3.1	1.9	0.6	1.8	0.8	1.7	2.4	2.8	3.2	2.2	3.8	3.8	2.5	1.3	1.6	1.2	2.1	2.1	0.9	3.2	3.3	—	1.0	2.6	49.9
Aug.	3.4	2.8	2.3	3.5	3.9	3.5	4.5	3.2	2.4	1.8	1.4	1.4	1.6	2.2	2.6	3.4	2.5	2.3	1.5	0.8	2.1	2.9	3.4	3.5	62.9
Sept.	1.3	1.0	1.0	1.0	1.0	1.0	1.2	1.0	1.1	0.5	0.5	0.2	0.2	1.6	3.5	3.3	3.6	2.0	1.1	0.6	1.6	1.2	2.4	1.9	33.8
Okt.	0.8	1.0	1.0	0.1	—	—	—	0.2	0.7	—	1.0	0.9	1.0	0.7	0.8	1.2	0.7	0.2	—	—	—	0.7	—	—	11.0
Nov.	5.8	4.3	4.6	4.5	5.2	5.1	3.6	4.0	4.2	6.5	6.4	6.5	8.9	6.2	7.6	6.7	5.0	6.2	5.9	6.0	6.1	6.2	5.9	6.2	137.5
Dez.	1.8	2.9	1.8	1.5	1.8	2.4	2.3	2.7	3.3	3.0	3.0	2.9	1.2	0.9	2.2	1.8	1.2	2.2	3.2	1.2	0.6	2.3	1.0	1.9	49.1
Jahr	27.0	24.5	19.5	23.5	26.4	25.9	27.3	26.5	28.1	26.6	27.7	25.6	22.6	24.6	29.4	29.4	29.1	26.1	26.6	26.2	27.2	27.4	23.1	27.4	627.7

Monat	1 ^a	2 ^a	3 ^a	4 ^a	5 ^a	6 ^a	7 ^a	8 ^a	9 ^a	10 ^a	11 ^a	12	1 ^p	2 ^p	3 ^p	4 ^p	5 ^p	6 ^p	7 ^p	8 ^p	9 ^p	10 ^p	11 ^p	Monats- summe	
Zahl der Niederschlagsstunden																									
Jan.	4	5	6	3	3	2	3	4	5	4	5	5	8	6	4	6	3	5	7	8	3	3	3	4	109
Febr.	4	3	3	5	3	6	5	8	5	5	4	5	4	5	6	8	5	5	6	4	5	8	5	5	122
März	2	2	1	3	5	5	3	3	3	3	2	2	1	1	2	2	4	3	1	—	2	3	4	1	58
Apr.	2	1	1	3	5	1	2	3	3	4	3	1	—	2	2	1	3	2	3	3	3	3	2	3	56
Mai	3	3	3	3	3	3	3	2	1	2	3	3	4	3	4	4	4	1	3	4	3	4	1	3	70
Juni	1	1	1	2	2	2	—	2	1	1	1	1	—	3	4	4	5	2	3	3	5	4	2	2	53
Juli	4	4	2	3	2	3	4	5	4	4	5	4	5	3	4	5	5	6	3	7	6	—	2	3	91
Aug.	4	5	4	5	5	4	7	5	4	4	3	2	4	4	5	5	5	4	2	2	4	4	5	4	100
Sept.	2	1	1	1	1	1	1	2	1	2	1	1	1	3	6	6	7	4	2	1	3	3	3	4	59
Okt.	1	1	1	1	—	—	—	1	1	—	1	1	1	1	2	2	1	1	—	—	—	—	—	—	18
Nov.	8	6	5	6	8	8	5	6	5	8	9	8	12	8	9	8	7	8	6	6	7	8	8	7	176
Dez.	3	4	3	3	3	4	4	3	4	3	3	5	2	2	4	2	2	4	5	2	2	3	2	3	75
Jahr	38	36	31	38	40	39	39	40	40	40	39	40	41	43	51	52	51	45	41	40	43	44	37	39	987

Sonnenscheindauer.

Differenz Campbell-Stokes gegen Jordan

(nach Summen der Sonnenscheindauer; d. h.: »Campbell-Stokes« gab mehr an als »Jordan«)

Monat	3-4 ^a	4-5 ^a	5-6 ^a	6-7 ^a	7-8 ^a	8-9 ^a	9-10 ^a	10-11 ^a	11-12 ^a	12-1 ^p	1-2 ^p	2-3 ^p	3-4 ^p	4-5 ^p	5-6 ^p	6-7 ^p	7-8 ^p	8-9 ^p	Summe							
Januar . .	—	—	—	—	—	—0.3	—1.3	—1.1	+0.2	—1.0	—0.7	—0.5	+0.1	—	—	—	—	—	—	—	—	—	—	—	—4.6	
Februar . .	—	—	—	—	+0.3	+0.3	—2.8	—1.8	—0.3	—0.7	—1.4	—1.2	—0.1	+0.2	—	—	—	—	—	—	—	—	—	—	—	—10.6
März . . .	—	—	—	—	+0.3	—1.7	—0.3	+0.1	—0.1	+0.6	+1.5	+1.1	+0.3	—0.3	—0.2	+0.9	—	—	—	—	—	—	—	—	—	+2.2
April . . .	—	—	—	—	—	—1.1	—1.8	—2.2	—0.8	—0.6	+1.4	+1.8	—0.5	0.0	+0.1	—0.7	—1.7	+0.4	—	—	—	—	—	—	—	—5.7
Mai	—	+1.2	—0.5	—1.0	—0.3	—1.0	—1.0	0.0	+0.5	+1.7	+0.3	0.0	—0.4	—2.5	—2.0	+0.3	+2.1	—	—	—	—	—	—	—	—	—2.6
Juni	—	+5.1	+0.7	—0.5	—0.3	—0.5	—0.5	0.2	+0.5	+1.9	+0.9	+0.1	—1.5	—1.3	—1.8	+0.4	+1.6	—	—	—	—	—	—	—	—	+4.6
Juli	—	+0.3	+0.7	—2.3	—1.5	—1.5	—1.4	—0.5	+0.3	+1.7	+0.5	+0.2	—0.6	—1.2	—0.9	+0.4	+2.7	—	—	—	—	—	—	—	—	—3.1
August . .	—	+0.3	+1.0	—0.3	—1.9	—2.7	—1.4	+0.5	+1.4	+1.3	—0.6	—0.8	—2.0	—2.1	—0.7	+1.0	—	—	—	—	—	—	—	—	—	—6.9
September	—	—	—	—	—0.6	—2.2	—0.9	—1.0	+0.3	0.0	+0.6	—1.0	—1.1	—1.0	—0.3	—0.2	—	—	—	—	—	—	—	—	—	—7.4
Oktober .	—	—	—	—	+0.7	+1.3	—0.8	—1.0	—0.7	+0.1	+0.2	0.0	—0.7	—0.4	+2.0	+0.4	—	—	—	—	—	—	—	—	—	+1.1
November	—	—	—	—	—	—	—0.5	—0.7	—0.5	+0.6	+1.0	+0.3	0.0	—0.2	—	—	—	—	—	—	—	—	—	—	—	0.0
Dezember	—	—	—	—	—	—	—	—	—0.5	—1.7	—0.3	0.0	0.0	+0.5	+0.3	—	—	—	—	—	—	—	—	—	—	—1.7
Jahr . . .	—	+6.9	+1.9	—4.8	—8.1	—13.5	—12.3	—6.4	+5.0	+10.0	—1.1	—3.2	—6.0	—6.1	—6.0	+2.5	+6.5	—	—	—	—	—	—	—	—	—34.7

Zeitangaben nach wahrer Zeit

1910 Jahressmittel und Jahressummen der verschiedenen Elemente.

Jahressmittel.																							
	1 ^a	2 ^a	3 ^a	4 ^a	5 ^a	6 ^a	7 ^a	8 ^a	9 ^a	10 ^a	11 ^a	12	Mittel										
Luftdruck	52.17	52.11	52.02	51.97	51.99	52.04	52.16	52.18	52.38	52.43	52.39	52.26	52.10	51.88	51.84	51.91	52.02	52.16	52.24	52.27	52.29	52.25	52.12
Temperatur	6.69	6.45	6.27	6.05	5.97	6.14	6.69	7.56	8.73	9.91	10.83	11.56	12.04	12.16	12.17	11.78	11.09	9.45	8.05	7.61	7.25	6.95	8.76
Dampfdruck	7.12	7.05	7.01	6.94	6.92	6.96	7.07	7.14	7.44	7.26	7.24	7.27	7.26	7.26	7.32	7.33	7.37	7.38	7.28	7.25	7.19	7.15	7.20
Relative Feuchtigkeit	91.0	91.6	92.3	92.8	93.0	92.2	90.0	86.6	81.9	76.9	72.6	69.8	67.9	67.2	67.9	69.8	73.0	83.3	85.4	87.5	88.7	89.9	82.0
Bewölkung	6.07	6.38	6.71	6.74	6.89	7.19	7.02	6.92	6.49	5.80	5.49	5.93	6.04	5.93	6.53	6.04	5.49	5.80	5.93	6.04	5.49	5.80	6.53

Jahressmittel und Jahressummen.																										
	0-1 ^a	1-2 ^a	2-3 ^a	3-4 ^a	4-5 ^a	5-6 ^a	6-7 ^a	7-8 ^a	8-9 ^a	9-10 ^a	10-11 ^a	11-12 ^a	0-1 ^p	1-2 ^p	2-3 ^p	3-4 ^p	4-5 ^p	5-6 ^p	6-7 ^p	7-8 ^p	8-9 ^p	9-10 ^p	10-11 ^p	11-12 ^p	Summe	
Windgeschwindigkeit (Mittel in m p. s.)	5.16	5.19	5.22	5.23	5.21	5.20	5.13	5.07	5.08	5.10	5.23	5.33	5.36	5.33	5.31	5.20	5.16	5.09	5.01	5.02	5.06	5.12	5.24	5.19	5.18	
Niederschlagsmenge (mm)	22.1	20.2	13.7	13.0	18.7	18.4	21.9	27.3	28.4	28.9	17.9	16.2	9.2	28.3	24.2	27.3	24.2	20.7	14.7	63.5	45.6	17.9	17.8	18.4	558.5	
Niederschlagsdauer (St.)	27.0	24.5	19.5	23.5	26.4	25.9	27.3	26.5	28.1	26.6	27.7	25.6	22.6	24.6	29.4	29.4	29.1	26.1	26.6	26.2	27.2	27.4	23.1	27.4	627.7	
Zahl der Regenstunden	38	36	31	38	40	39	39	40	40	40	39	40	41	43	51	52	51	45	41	40	43	44	37	39	987	
Sonnenscheindauer	—	—	—	—	9.6	35.4	62.6	97.3	116.3	132.6	145.0	145.0	132.6	127.3	114.3	92.6	58.3	33.4	7.7	—	—	—	—	—	1452.0	

Jahressmittel.																								
	Tiefe 0.02 m			Tiefe 0.05 m			Tiefe 0.10 m			Tiefe 0.20 m			Tiefe 1.00 m											
	7 ^a	2 ^p	9 ^p	7 ^a	2 ^p	9 ^p	7 ^a	2 ^p	9 ^p	7 ^a	2 ^p	9 ^p	7 ^a	2 ^p	9 ^p									
Bodentemperaturen	7.12	14.10	8.82	7.33	13.05	9.47	7.74	11.97	10.04	8.41	10.30	10.43	9.82	9.59	10.00	9.91	9.92	9.90	10.07	9.93	9.88	9.68	9.68	9.68

		Januar	Februar	März	April	Mai	Juni	Juli	August	September	Oktober	November	Dezember	Jahr
Luftdruck.														
Stündliche Extreme	Maxim.	770.4	762.0	767.3	766.5	758.7	762.5	757.2	758.5	765.2	772.0	760.3	764.1	772.0
	Minim.	725.6	736.2	742.5	739.4	743.1	738.2	742.0	743.0	748.2	742.1	726.9	735.2	725.6
	Diff.	44.8	25.8	24.8	27.1	15.6	24.3	15.2	15.5	17.0	29.9	33.4	28.9	46.4
Absolute Extreme (nach den Kurven)	Maxim.	770.5	762.0	767.4	766.8	758.8	762.5	757.2	758.5	765.3	772.0	760.3	764.2	772.0
	Minim.	725.6	736.1	742.3	739.4	743.1	738.1	741.8	742.8	748.2	742.1	726.9	735.2	725.6
	Diff.	44.9	25.9	25.1	27.4	15.7	24.4	15.4	15.7	17.1	29.9	33.4	29.0	46.4
Temperatur.														
Extreme nach den stündl. Werten	Maxim.	9.6	11.8	16.0	22.9	14.	31.6	29.0	26.3	22.2	14.	10.2	9.8	5. VI
	Minim.	-8.9	-4.4	-3.5	-3.2	1.	5.1	21.	8.7	8.7	26.	-4.8	-6.4	-8.9
	Diff.	18.5	16.2	19.5	26.1	26.2	26.5	20.0	17.6	18.5	21.0	15.0	16.2	40.5
Extreme nach den Kurven	Maxim.	9.6	11.8	16.2	23.2	14.	31.8	29.5	26.5	22.3	14.	10.3	9.8	12. VI
	Minim.	-8.9	-4.7	-3.6	-3.3	1.	4.9	21.	8.6	29.	26.	-5.1	-6.8	-8.9
	Diff.	18.3	16.5	19.8	26.5	26.4	26.9	20.5	17.9	18.7	21.0	15.4	16.6	40.7
Extreme nach den Extrem-Therm.	Maxim.	9.6	12.3	16.3	23.6	14.	32.0	29.9	26.7	22.8	14.	10.3	10.2	12. VI
	Minim.	-9.0	-4.6	-3.8	-3.6	1.	5.0	21.	8.6	29.	26.	-5.4	-7.2	-9.0
	Diff.	18.6	16.9	20.1	27.2	26.5	27.0	20.8	18.1	19.4	21.6	15.7	17.4	41.0
Dampfdruck.														
Maximum	mm	7.6	7.6	6.6	10.0	15.	17.3	8.	16.4	22.	14.3	8.5	7.4	8. VI
	mm	2.2	3.1	2.7	2.6	12.	4.9	20.	6.9	15.	5.0	3.0	2.6	2.2
Minimum	mm	10.16	10.16	10.16	10.16	10.16	10.16	10.16	10.16	10.16	10.16	10.16	10.16	10.16
	mm	2.2	3.1	2.7	2.6	12.	4.9	20.	6.9	15.	5.0	3.0	2.6	2.2
Differenz	mm	5.4	4.5	3.9	7.4	9.9	12.4	9.5	9.4	9.3	8.9	5.5	4.8	15.1
	mm	5.4	4.5	3.9	7.4	9.9	12.4	9.5	9.4	9.3	8.9	5.5	4.8	15.1
Relative Feuchtigkeit.														
Tabelle: Minimum	pCl.	54	49	35	21	12.	24	36	44	40	41	60	64	20
	mm	29.	29.	20.	21	12.	24	36	44	40	41	60	64	20
Kurve: Minimum	pCl.	53	48	35	21	12.	23	34	42	37	39	59	61	19
	mm	29.	29.	20.	21	12.	23	34	42	37	39	59	61	19
Wind.														
Maximum	m.p.s.	10.7	11.4	11.2	14.1	12.3	10.7	12.2	12.0	9.4	12.3	12.1	12.3	14.1
	m.p.s.	10.7	11.4	11.2	14.1	12.3	10.7	12.2	12.0	9.4	12.3	12.1	12.3	14.1

Luftelektrisches

in Volt
Normaltage sind

Datum	1 ^a	2 ^a	3 ^a	4 ^a	5 ^a	6 ^a	7 ^a	8 ^a	9 ^a	10 ^a	11 ^a	Mittag
Januar												
1	388	382	344	429	300	220	123	118	94	109	179	188
2	427	442	379	316	300	332	379	485	494	532	500	441
3	174	190	158	95	126	174	237	188	176	338	382	474
4	226	235	165	150	156	212	250	253	294	235	341	376
5	238	215	191	165	138	132	182	179	191	159	156	126
6	359	326	294	268	229	259	323	347	341	335	323	365
7	259	147	206	235	373	491	509	617	442	479	332	282
8	318	276	165	215	191	191	250	326	265	176	247	218
9	648	585	458	442	427	411	379	373	332	318	253	182
10	226	223	162	121	188	209	215	229	241	244	294	344
11	158	111	111	221	190	205	237	244	279	309	250	220
12	190	190	190	190	205	174	205	218	253	285	226	197
13	323	312	265	223	244	316	332	300	235	182	197	209
14	218	203	235	259	220	235	315	323	332	412	406	400
15	111	126	190	158	111	395	205	229	235	179	165	159
16	220	241	238	244	241	288	226	-118	-2054	-158	-158	-32
17	174	190	174	174	126	158	158	182	94	21	-948	-32
18	218	-74	-632	379	284	158	142	142	158	223	253	241
19	158	158	142	158	158	190	253	309	294	294	265	256
20	237	221	269	205	174	158	158	185	-158	-1106	158	-158
21	111	221	237	174	158	174	174	235	241	403	397	429
22	237	237	253	221	221	190	174	226	300	353	268	226
23	253	253	284	221	237	253	269	397	412	520	569	458
24	241	197	185	188	162	182	209	235	247	279	329	294
25	111	237	174	174	174	190	190	205	221	300	250	297
26	209	165	159	138	38	94	138	162	112	212	197	223
27	294	241	-118	-948	-284	126	-316	32	47	32	32	95
28	235	200	159	162	179	241	270	282	282	412	576	567
29	191	188	103	88	118	123	147	176	212	270	265	270
30	282	279	265	197	168	159	132	100	112	97	82	59
31	265	270	273	270	303	279	279	306	323	356	423	417
Mittel der Normaltage	180	212	158	150	163	175	198	213	245	272	270	285
Februar												
1	188	165	123	188	247	241	209	188	179	118	59	126
2	241	247	209	235	235	168	138	141	159	188	156	168
3	191	176	200	182	194	132	91	220	270	265	270	412
4	569	616	664	679	569	553	569	544	594	585	632	743
5	411	411	395	379	363	348	395	506	553	553	553	412
6))))))))	-2054	-316	-237	-32
7	205	174	126	142	-47	-348	-47	32	174	179	323	218
8	-111	-474	-427	95	142	158	16	32	79	126	63	-237
9	276	270	259	206	215	244	326	368	541	450	365	338
10	395	332	316	316	269	253	284	235	265	-221	174	205
11	395	300	284	300	300	363	379	411	429	450	426	362
12	312	276	244	270	297	265	282	297	294	368	284	205
13	285	323	394	395	395	332	284	411	585	758	948	537
14	247	176	165	165	171	182	191	206	218	306	326	265
15	206	200	206	226	212	238	256	294	300	344	294	262
16	135	106	159))))	141	218	200	176	182
17	338	306	359	397	338	359	368	426	394	379	394	415
18	279	282	279	297	270	270	276	303	338	429	394	426
19	329	362	309	318	309	326	312	309	338	397	491	429
20	294	279	265	250	244	250	247	279	312	362	335	323
21	265	253	220	212	218	223	235	265	253	273	235	103
22	284	237	237	221	221	221	-95	-63	111	205	348	348
23	-174	-142	111	111	126	174	190	229	297	344	338	306
24	253	142	142	111	111	111	126	220	147	168	188	206
25	79	-63	174	190	190	174	158	197	259	347	373	362
26	190	190	142	126	111	-79	-111	-126	126	237	269	316
27	126	126	126	126	111	95	142	185	206	218	223	235
28	111	142	111	95	79	79	111	142	212	235	241	276
Mittel der Normaltage	278	266	256	256	242	266	286	318	361	374	364	344

1) Papierrolle war festgeraten. 2) Füllvorrichtung versagte
Zeitangaben nach mittlerer Ortszeit

Potentialgefälle

pro Meter.
halbflett gedruckt.

1P	2P	3P	4P	5P	6P	7P	8P	9P	10P	11P	Mitternacht	Mittel	Datum
1910													
206	368	294	279	341	588	664	616	727	553	632	474	.	1
450	459	415	370	359	368	397	388	382	459	253	-47	.	2
470	512	482	512	506	473	412	397	265	529	470	382	.	3
376	353	341	368	335	309	338	353	326	344	297	270	288	4
197	244	285	300	279	256	147	185	97	135	270	347	.	5
362	353	365	353	353	403	235	411	284	279	303	315	.	6
279	279	273	300	332	400	432	453	426	394	300	315	.	7
253	312	376	403	485	569	853	932	948	901	727	679	.	8
206	226	306	365	368	373	347	353	344	385	365	309	.	9
294	256	268	235	103	-237	-79	63	-158	490	190	174	.	10
316	95	79	316	316	253	237	237	190	220	229	316	.	11
229	238	197	220	235	273	303	353	347	341	373	315	248	12
206	185	95	253	269	269	332	316	300	297	285	241	.	13
359	368	391	326	235	-103	-395	-363	111	111	142	111	.	14
215	553	-632	32	174	-190	221	269	190	218	220	165	.	15
47	221	221	111	142	111	126	190	269	237	205	126	.	16
47	79	237	312	365	417	406	397	388	309	285	223	.	17
284	-885	126	-948	158	158	237	316	284	142	158	158	.	18
250	256	250	162	147	176	206	206	191	215	165	212	.	19
-95	111	205	316	205	47	0	142	190	158	142	142	.	20
403	435	412	373	365	397	1)	1)	1)	379	490	379	.	21
353	368	270	315	247	285	244	206	235	265	220	395	.	22
553	474	506	379	332	284	253	284	284	323	244	268	.	23
288	229	200	135	147	394	679	711	600	316	190	158	.	24
347	309	244	268	206	247	256	265	218	220	250	220	232	25
265	309	270	262	259	276	270	300	250	329	347	347	.	26
190	221	250	285	273	323	400	382	420	453	353	297	.	27
514	476	447	420	388	376	397	335	206	206	191	194	.	28
341	356	294	323	285	279	312	359	382	388	335	306	255	29
82	138	135	150	141	209	297	256	253	226	215	229	.	30
417	335	335	244	232	197	159	168	147	176	168	235	.	31
323	314	269	295	265	277	302	332	318	323	314	278	256	Mittel der Normaltage

1) Nadel lag fest.

1910

315	315	353	397	435	462	491	559	564	591	514	403	.	1
191	218	300	259	241	285	276	244	220	188	182	179	.	2
376	356	359	423	441	482	541	617	600	632	806	648	.	3
727	743	837	885	822	837	885	743	664	695	474	458	.	4
382	441	427	474	1)	1)	1)	1)	1)	1)	1)	1)	.	5
111	63	63	63	95	174	190	95	158	-63	-63	332	.	6
285	353	353	118	176	159	150	206	315	223	168	-190	.	7
0	0	-237	205	316	348	442	411	269	285	226	235	.	8
273	273	270	265	309	338	435	417	417	344	338	426	332	9
269	221	221	237	316	388	456	529	632	711	537	474	.	10
318	329	332	394	370	368	370	370	373	394	359	341	363	11
126	190	158	253	284	285	229	282	309	315	318	326	.	12
411	395	411	411	363	363	348	348	332	429	470	344	.	13
306	335	344	326	341	247	397	441	391	259	206	200	.	14
285	303	259	262	297	306	332	326	270	223	191	156	260	15
206	176	159	197	135	238	229	326	326	359	338	332	.	16
394	415	459	379	363	406	403	403	279	297	326	309	369	17
456	382	397	385	415	415	441	429	388	-88	24	226	.	18
465	370	382	373	344	353	359	411	335	323	297	279	352	19
326	335	353	326	341	326	335	312	285	30	270	270	301	20
270	370	365	335	368	441	235	-411	-142	-284	221	316	.	21
309	335	297	335	241	285	-664	95	95	-664	-379	-158	.	22
74	-1027	-758	-348	0	-47	-63	237	395	537	395	47	.	23
273	74	-506	300	269	221	258	368	406	-869	-885	47	.	24
365	323	294	-74	-506	-142	-205	237	269	-284	-237	-205	.	25
316	241	229	29	-363	95	205	221	190	190	158	126	.	26
188	-88	-348	-537	-2481	-1422	-1027	-743	-32	0	0	32	.	27
253	259	197	229	194	159	129	126	165	168	188	226	172	28
331	326	322	318	317	316	338	328	303	294	281	287	307	Mittel der Normaltage

1) Papierrolle war festgeraten.

Zeitangaben nach mittlerer Ortszeit

Luftelektrisches
in Volt
Normaltage sind

Datum	1 ^a	2 ^a	3 ^a	4 ^a	5 ^a	6 ^a	7 ^a	8 ^a	9 ^a	10 ^a	11 ^a	Mittag
März												
1	238	241	235	226	223	212	250	285	303	306	256	285
2	132	123	159	206	241	256	223	244	262	268	326	332
3	476	441	447	491	570	514	553	544	442	417	279	188
4	103	97	97	88	85	97	109	118	123	138	147	115
5	197	203	218	218	194	188	206	238	256	294	288	323
6	197	185	176	168	147	159	182	212	259	329	353	373
7	223	279	326	344	373	426	403	435	403	391	353	235
8	197	197	179	171	156	138	244	229	200	229	129	182
9	197	194	194)))))	294	294	335	288
10	191	179	171	191	194	200	218	226	265	276	288	226
11	235	226	206	179	168	162	153	165	176	200	220	244
12	176	153	159	159	162	150	156	191	179	206	223	212
13	168	159	173	209	212	273	359	426	391	306	-205	47
14	176	200	223	259	268	294	338	365	370	376	318	206
15	156	156	176	179	194	218	179	218	282	256	241	238
16	235	273	218	265	241	215	168	212	197	215	223	209
17	344	353	341	338	270	226	253	265	300	344	309	235
18	111	111	111	126	158	174	190	253	279	268	241	218
19	0	-284	664	521	-79	269	126	-474	-1264	-395	427	269
20	279	294	256	253	235	209	235	288	435	588	476	426
21	353	244	241	244	256	279	323	412	335	365	344	253
22	297	206	156	156	91	94	218	259	135	273	241	206
23	206	168	171	173	194	194	141	65	103	56	106	-395
24	226	220	191	194	191	241	250	412	329	259	270	253
25	285	197	103	85	100	29	38	103	197	206	194	156
26	426	300	300	353	323	485	743	758	600	427	388	309
27	309	265	318	282	306	270	291	344	359	373	315	259
28	162	159	147	147	138	200	229	306	256	226	171	171
29	235	159	91	126	-44	-32	-190	-126	0	-158	126	279
30	250	206	44	-395	158	47	300	462	368	423	363	363
31	348	332	316	284	253	332	395	491	388	397	297	212
Mittel der Normaltage	243	233	230	229	223	228	245	288	302	331	302	271
) Nadel klebte am Blauband fest.												
April												
1	423	394	338	332	353	368	388	470	488	462	341	294
2	284	269	269	253	221	237	233	279	282	241	168	103
3	165	168	159	168	159	162	176	194	191	168	165	165
4	218	185	176	185	168	173	200	223	215	253	241	226
5	235	226	212	223	268	312	353	353	329	338	441	335
6	279	282	253	315	512	470	388	353	297	223	150	79
7	159	68	32	53	68	121	121	71	112	74	76	88
8	153	156	197	153	132	144	200	200	215	147	132	153
9	115	182	203	173	118	138	123	74	142	174	156	138
10	221	190	158	142	158	158	190	244	244	265	182	-474
11	223	179	159	176	162	182	226	279	338	279	191	123
12	188	185	191	203	226	232	247	297	256	253	265	229
13	212	218	200	165	156	153	153	185	176	235	285	241
14	191	191	176	176	182	215	220	226	256	306	318	338
15	226	206	191	185	191	188	191	194	220	229	206	206
16	191	220	279	329	270	353	347	373	341	312	235	200
17	279	288	265	-95	-316	506	284	209	182	235	229	185
18	191	176	162	153	156	162	206	171	173	165	159	126
19	171	197	194	235	244	297	309	294	235	179	138	197
20	-664	-47	32	63	158	269	253	162	123	118	94	35
21	150	129	129	106	82	38	-948	-1770	-1217	-237	47	63
22	95	142	126	79	-111	126	205	205	190	190	158	126
23	147	135	129	129	126	141	182	185	185	32	95	205
24	132	123	153	182	200	206	194	191	179	15	-348	79
25	126	190	126	95	111	190	205	109	-147	237	284	300
26	185	176	191	0	-316	158	237)	253	237	126	32
27	121	141	135	118	147	168	171	173	185	188	16	284
28	197	159	112	135	147	176	212	250	253	223	220	182
29	118))))))))))	176
30)))))))	220	188	168	126	97
Mittel der Normaltage	233	219	204	203	205	220	242	268	270	270	258	219

) Uhr stand.
Zeitangaben nach mittlerer Ortszeit

Potentialgefälle

pro Meter.
halbfett gedruckt.

1 ^p	2 ^p	3 ^p	4 ^p	5 ^p	6 ^p	7 ^p	8 ^p	9 ^p	10 ^p	11 ^p	Mitternacht	Mittel	Datum
238	206	209	215	179	179	229	185	238	356	200	165	236	1
359	385	373	365	297	297	270	212	206	215	326	482	.	2
126	185	229	226	253	235	282	297	303	220	171	168	.	3
147	147	223	212	212	232	229	268	241	206	191	197	.	4
365	400	397	382	394	365	338	353	388	338	276	247	294	5
385	385	373	341	306	226	318	312	256	250	253	238	266	6
165	200	238	265	276	270	282	297	288	223	268	250	.	7
206	182	229	244	185	191	194	212	285	247	229	197	.	8
329	282	226	235	215	200	238	265	270	244	215	191	.	9
256	268	297	241	265	256	270	318	318	320	279	262	249	10
318	297	306	270	285	256	206	191	200	203	209	194	220	11
218	218	244	109	97	85	159	191	206	220	176	179	.	12
63	79	97	79	118	162	168	185	176	179	206	176	.	13
191	197	200	215	215	215	194	223	220	220	235	212	247	14
238	265	273	238	265	241	309	453	564	523	397	368	309	15
209	209	244	197	226	235	270	329	315	279	270	315	240	16
106	-50	68	65	-24	82	88	79	150	-316	-427	0	.	17
215	182	153	138	165	109	44	256	265	-191	-1343	-395	.	18
256	206	118	18	206	341	303	382	429	417	432	332	.	19
353	229	256	244	238	270	300	282	279	297	288	294	304	20
253	256	279	268	250	273	282	312	423	279	359	332	301	21
182	171	188	229	244	235	265	268	238	206	218	209	.	22
158	221	174	95	-253	200	238	253	265	235	253	218	.	23
250	206	135	138	162	206	294	397	415	423	338	300	.	24
182	162	182	241	215	300	353	356	444	373	394	344	.	25
279	206	191	194	197	223	353	341	417	368	447	470	.	26
294	279	250	226	191	215	297	270	270	265	235	182	278	27
220	223	220	165	168	88	94	191	162	138	112	138	.	28
235	159	132	135	188	212	171	223	294	309	347	309	.	29
348	316	-316	442	427	711	379	458	506	458	348	316	.	30
226	235	256	282	256	297	309	456	473	429	426	426	338	31
277	269	278	260	256	252	277	307	329	313	286	270	271	Mittel der Normal- tage

1910

294	220	241	215	185	171	173	268	300	420	332	221	321	1
76	44	85	106	138	159	194	200	176	165	159	159	188	2
159	156	147	126	165	176	185	212	244	233	259	238	182	3
206	188	168	276	250	276	312	306	288	312	226	220	229	4
218	226	220	206	226	250	359	353	323	323	303	253	287	5
156	121	182	159	176	191	212	215	241	182	118	109	.	6
118	103	103	165	194	220	294	312	223	191	176	165	.	7
126	132	165	162	165	138	191	229	238	279	220	76	.	8
121	162	188	179	165	182	206	168	-711	664	806	126	.	9
474	126	-190	-363	111	126	174	237	237	250	297	270	.	10
141	138	165	171	188	185	194	162	162	200	226	191	193	11
226	225	200	197	215	206	203	209	226	238	215	206	222	12
179	162	176	153	135	156	218	200	185	212	223	212	191	13
162	153	135	132	141	147	147	191	182	185	215	238	201	14
235	135	126	106	109	62	-226	-88	-206	103	156	150	.	15
191	171	168	168	173	168	165	162	206	276	238	235	.	16
182	171	173	165	176	182	215	197	194	176	197	200	.	17
147	135	153	147	168	179	329	320	279	250	206	185	187	18
176	159	109	-132	-442	-47	237	111	142	-47	-190	15	.	19
-32	95	79	47	-95	0	194	223	171	141	147	141	.	20
71	150	229	203	-474	174	32	316	316	190	158	126	.	21
158	190	221	205	237	32	205	205	221	256	197	150	.	22
221	158	209	129	223	-63	237	269	348	244	182	171	.	23
237	221	191	197	194	194	165	132	147	0	111	126	.	24
269	253	241	197	0	32	190	237	-63	188	203	191	.	25
158	221	190	174	158	162	206	218	250	62	103	135	.	26
174	-395	205	-158	-1264	158	205	174	237	253	185	176	.	27
165	147	156	147	162	147	141	138	147	147	135	123	.	28
71	59	65	88	168	135	126	123	1)	165	1)	.	.	29
115	156	176	174	142	197	256	300	247	270	244	279	.	30
181	165	169	173	181	190	231	242	236	256	236	212	220	Mittel der Normal- tage

1) Uhr stand.

Zeitangaben nach mittlerer Ortszeit

Datum	1 ^a	2 ^a	3 ^a	4 ^a	5 ^a	6 ^a	7 ^a	8 ^a	9 ^a	10 ^a	11 ^a	Mittag
Mai												
1	294	238	203	159	182	250	270	300	250	191	185	185
2	253	241	223	220	253	318	397	391	235	253	176	103
3	56	82	94	62	62	62	62	68	44	59	29	21
4	176	176	168	162	182	220	282	294	206	132	88	103
5	-250	88	162	162	176	168	162	185	197	194	168	82
6	185	185	171	138	168	182	206	273	256	197	197	176
7	190	174	190	190	174	126	142	223	206	194	182	-790
8	118	100	126	147	168	209	265	309	268	226	200	138
9	-65	-220	-395	-363	-316	-316	-490	-158	-95	-47	0	0
10	159	168	176	159	191	226	253	165	38	24	123	103
11	94	79	103	126	132	179	250	282	250	223	176	91
12	-632	79	63	63	63	79	95	126	153	171	165	135
13	0	-74	1)	1)	1)	1)	1)	1)	1)	1)	165	132
14	237	190	158	174	174	158	95	50	100	191	247	206
15	268	335	273	206	212	209	250	282	300	347	218	176
16	341	268	253	247	226	206	2)	2)	229	247	220	147
17	158	253	284	316	332	395	332	338	268	176	206	147
18	221	190	237	237	158	190	221	279	206	118	41	59
19	176	150	132	138	159	185	185	197	188	203	141	135
20	176	173	168	191	197	212	265	326	209	159	144	138 ³⁾
21	276	297	303	370	373	409	388	309	229	132	115	91
22	276	297	256	220	212	279	309	385	470	323	253	229
23	458	348	363	348	348	348	395	309	220	194	176	171
24	215	209	212	197	288	356	403	406	335	197	185	150
25	256	194	206	223	250	335	206	318	197	197	138	176
26	190	190	174	138	174	190	190	218	218	312	315	279
27	168	129	138	126	138	156	153	185	191	165	165	135
28	132	132	123	106	88	94	109	121	165	109	112	94
29	118	100	-74	-158	-47	0	-79	-32	-16	-32	-88	-176
30	223	212	223	197	191	94	156	191	129	-147	18	15
31	265	247	206	176	162	132	103	147	103	-59	-95	-162
Mittel der Normaltage	258	238	226	223	242	279	301	306	265	214	189	172

1) Isolation schlecht. 2) Uhr stand. 3) Ausflußrohr verstopft.

Juni

1	218	212	191	188	253	300	297	300	297	212	165	147
2	132	182	123	85	79	138	179	197	197	191	165	129
3	190	190	174	174	158	158	174	238	259	232	218	194
4	176	156	179	168	147	179	235	279	223	188	185	150
5	270	268	253	235	171	268	206	200	200	194	168	132
6	162	135	129	129	123	188	335	391	453	209	47	0
7	95	237	221	221	205	237	332	506	353	341	279	250
8	235	226	223	179	185	218	256	220	226	285	235	165
9	171	176	132	138	168	168	168	147	147	153	153	129
10	129	132	147	123	100	112	132	159	191	197	159	141
11	165	156	132	132	132	153	188	185	150	123	91	82
12	111	126	126	111	111	126	126	206	197	188	265	47
13	237	269	190	126	174	205	205	206	123	156	103	212
14	126	138	135	191	191	212	106	168	220	223	215	191
15	111	47	47	47	47	32	47	112	88	121	76	97
16	132	118	68	47	0	95	142	79	79	-474	32	158
17	153	88	191	103	79	141	123	250	0	-95	284	332
18	191	200	203	185	203	226	309	332	223	220	156	132
19	279	229	238	212	156	129	121	156	220	238	194	162
20	209	156	159	171	185	185	223	288	247	200	191	185
21	370	338	318	235	253	279	332	344	256	247	194	171
22	135	132	135	150	135	153	171	197	212	259	212	165
23	237	-32	-111	174	79	16	95	47	63	150	121	159
24	171	153	176	176	185	241	297	247	220	238	191	226
25	235	206	206	209	209	182	194	197	235	188	138	132
26	205	237	237	221	190	190	174	171	182	165	159	147
27	235	229	235	235	223	244	265	273	270	179	241	237
28	158	158	142	142	126	126	158	215	229	220	200	150
29	111	95	111	158	174	190	63	168	270	294	309	197
30	162	206	200	188	176	218	241	365	285	288	226	165
Mittel der Normaltage	213	198	194	182	191	211	249	283	245	223	189	163

Zeitangaben nach mittlerer Ortszeit

Potentialgefälle

pro Meter
halbfett gedruckt

1 ^p	2 ^p	3 ^p	4 ^p	5 ^p	6 ^p	7 ^p	8 ^p	9 ^p	10 ^p	11 ^p	Mitternacht	Mittel	Datum
1910													
176	174	194	190	190	205	205	300	190	238	329	250	223	1
112	94	138	132	171	126	91	153	200	176	112	106	.	2
53	35	82	103	176	226	197	206	209	194	168	182	.	3
106	118	123	138	147	109	176	176	159	171	132	91	.	4
-79	-112	0	91	109	123	147	206	200	191	182	176	.	5
126	135	74	-63	126	63	95	-284	63	506	32	158	.	6
316	-1264	-348	-95	-158	153	88	191	218	179	171	153	.	7
118	121	103	103	121	135	135	162	156	138	103	-29	.	8
553	1770	-1264	269	79	126	191	1027	32	212	141	126	.	9
88	162	206	159	162	288	250	-59	141	88	118	147	.	10
44	9	-241	6	-218	0	-95	16	-47	88	-59	158	.	11
82	56	-1106	95	95	126	111	95	126	162	168	103	.	12
220	205	332	1106	-1580	-1580	221	-32	-790	695	221	190	.	13
118	235	1106	79	664	237	348	284	348	347	268	179	.	14
135	132	323	-253	332	190	237	237	363	441	441	385	.	15
132	94	118	121	129	-3160	-2370	-2370	-3160	-1264	790	-3160	.	16
250	220	279	-59	1580	1896	0	-2212	237	300	284	205	.	17
18	91	121	109	200	182	191	200	215	235	188	194	.	18
115	109	118	121	132	156	206	215	226	220	185	182	166	19
132 ¹⁾	132 ¹⁾	118	135	162	182	215	294	312	279	265	256	201	20
74	88	82	88	76	100	168	220	470	329	453	285	238	21
206	182	238	247	244	220	250	415	517	573	585	537	322	22
179	179	206	197	238	262	268	323	285	259	262	235	274	23
156	176	194	171	197	226	182	171	185	153	206	223	225	24
194	194	165	179	223	194	132	182	-147	-790	111	221	.	25
176	163	150	147	150	150	147	191	188	171	168	171	191	26
74	29	35	-6	94	97	121	165	147	147	123	109	.	27
123	121	135	123	126	150	241	268	200	147	141	103	.	28
-474	-679	-379	-411	-269	-47	32	111	158	176	162	197	.	29
94	29	15	15	191	29	118	147	191	200	179	265	.	30
-191	-44	79	141	150	156	165	179	176	191	179	179	.	31
132	150	162	162	174	188	205	266	297	278	307	267	230	Mittel der Normaltage

¹⁾ Ausflußrohr verstopft.

1910

141	129	165	159	185	176	141	132	144	212	206	218	200	1
106	97	103	121	118	0	-1343	284	205	190	174	174	.	2
176	165	191	135	141	171	153	153	150	206	162	138	179	3
135	112	118	121	138	135	171	306	435	341	303	268	202	4
103	91	97	103	132	106	112	115	141	150	165	220	.	5
-9	18	35	53	65	65	-191	-1027	190	269	348	-553	.	6
197	171	226	-2212	-1027	-790	316	348	363	294	300	279	.	7
138	165	-316	-2686	-474	-2054	-126	158	316	338	250	185	.	8
109	100	100	118	112	132	348	395	316	191	171	147	.	9
94	79	85	-1106	-2686	474	174	190	190	185	182	179	.	10
97	106	121	132	118	141	15	-2212	2133	174	111	111	.	11
47	190	1264	205	111	111	158	158	-790	237	158	174	.	12
474	790	142	162	172	229	171	229	150	176	159	174	.	13
132	126	138	47	41	50	-1896	-1580	-1580	316	95	126	.	14
74	29	29	38	71	62	97	97	126	35	153	153	.	15
174	284	221	190	190	179	168	226	220	165	153	168	.	16
341	294	253	259	229	197	223	265	223	250	270	223	.	17
121	103	121	109	112	121	138	165	223	323	309	285	196	18
162	118	79	59	50	9	74	-395	63	165	194	188	.	19
165	156	141	150	141	165	194	268	268	265	297	388	208	20
173	176	168	159	153	165	165	179	168	165	138	126	220	21
147	135	118	109	126	150	156	165	147	153	147	123	156	22
168	165	156	150	153	191	165	-395	316	223	265	223	.	23
247	109	305	0	-1580	948	205	221	205	241	212	220	.	24
235	176	162	221	190	190	223	253	353	474	79	174	.	25
150	168	150	59	316	-1580	-948	205	237	181	229	197	.	26
158	174	171	138	206	-126	-790	63	126	158	174	158	.	27
179	165	156	150	294	158	174	174	158	59	32	111	.	28
76	44	74	-15	91	123	118	141	141	156	182	171	.	29
156	165	156	88	79	474	-395	126	269	664	-474	47	.	30
131	139	146	135	142	155	160	195	219	238	223	221	194	Mittel der Normaltage

Zeitangaben nach mittlerer Ortszeit

Luftelektrisches

In Volt
Normaltage sind

Datum	1 ^a	2 ^a	3 ^a	4 ^a	5 ^a	6 ^a	7 ^a	8 ^a	9 ^a	10 ^a	11 ^a	Mittag
Juli												
1	-190	16	79	190	174	174	158	-426	16	-32	158	150
2	126	158	111	126	126	142	221	223	247	241	247	226
3	329	282	288	241	197	203	223	268	265	74	-168	-109
4	191	200	197	182	209	215	259	270	335	406	323	265
5	206	159	150	144	153	197	182	162	126	109	147	126
6	259	253	223	176	176	206	212	176	197	197	138	168
7	194	147	162	182	176	182	185	182	153	162	141	141
8	206	141	156	126	123	68	221	-1264	-1185	-948	-174	47
9	142	158	142	47	0	-32	0	-1106	47	79	138	162
10	82	38	44	35	103	379	158	95	-474	159	176	162
11	318	182	109	94	132	138	179	182	168	159	185	141
12	294	247	223	229	223	235	250	206	138	147	150	2940
13	250	206	176	206	179	176	188	165	138	176	279	147
14	179	168	156	153	142	174	237	241	-1185	0	948	284
15	220	218	179	197	323	347	368	323	223	265	159	123
16	318	288	197	141	156	188	218	185	94	59	35	74
17	368	368	347	268	238	200	197	235	256	300	235	200
18	200	185	179	176	165	185	188	206	212	200	147	191
19	142	158	158	-16	0	95	126	191	220	265	191	182
20	273	288	235	235	197	244	265	279	223	241	235	268
21	132	118	121	153	123	179	226	220	226	-21	32	79
22	165	173	153	138	165	159	185	212	212	182	194	168
23	569	284	205	316	269	190	142	135	162	197	182	165
24	182	212	200	171	138	106	126	123	106	71	100	106
25	250	220	176	153	159	188	212	241	253	226	259	253
26	209	215	226	197	194	238	323	288	297	279	220	179
27	197	171	176	176	165	168	191	238	238	209	176	212
28	197	159	156	126	103	106	165	244	285	212	209	206
29	129	123	121	135	147	156	182	244	300	315	297	218
30	197	191	194	182	176	194	276	215	212	194	220	29
31	288	388	412	400	391	315	215	256	303	297	238	182
Mittel der Normaltage	223	214	206	189	181	192	225	249	264	274	237	211
August												
1	269	126	142	142	158	126	174	232	297	323	294	191
2	-411	-521	-1011	-158	-95	-111	-63	-47	158	174	221	205
3	135	162	162	147	168	220	235	223	247	226	129	144
4	220	244	229	215	-442	205	0	348	63	332	174	190
5	190	221	300	300	221	237	237	215	206	200	188	176
6	47	-16	47	111	95	-142	-348	-427	-273	68	185	215
7	200	156	168	171	209	209 ¹⁾	235 ¹⁾	-206 ¹⁾	191 ¹⁾	176	165	165
8	350	341	335	279	238	223	212	168	194	212	176	129
9	191	168	185	185	179	179	215	294	247	241	220	173
10	273	229	215	209	197	197	232	244	191	209	147	103
11	294	209	159	185	185	144	203	235	185	206	176	200
12	235	241	241	247	244	171	97	200	220	156	162	194
13	329	247	153	162	88	94	100	106	156	-569	0	158
14	53	85	44	-132	32	158	300	323	323	320	235	194
15	250	218	191	206	209	206	215	220	262	259	209	185
16	206	209	171	50	112	121	79	173	209	203	191	191
17	250	312	315	335	329	347	285	329	303	259	194	165
18	118	118	115	123	147	150	173	191	223	250	209	212
19	176	156	153	132	147	156	162	212	238	235	318	256
20	118	82	115	123	132	171	176	173	203	173	156	194
21	226	179	147	150	141	173	176	206	247	250	232	197
22	118	176	159	156	165	176	197	188	206	206	238	197
23	176	162	144	32	-932	-237	174	316	190	205	300	232
24	153	147	153	68	91	156	220	253	235	218	194	150
25	150	159	185	194	218	262	297	291	309	265	232	74
26	241	229	212	220	220	194	223	306	244	247	206	206
27	194	206	209	223	203	168	141	65	21	-1406	-205	-221
28	218	203	250	244	218	212	259	238	232	279	238	332
29	118	106	126	135	129	132	147	165	191	188	188	191
30	179	165	150	132	159	156	168	206	176	188	209	173
31	188	171	156	147	141	156	176	276	309	312	291	223
Mittel der Normaltage	215	195	188	194	190	190	209	246	239	245	210	190

¹⁾ Platindraht an der Schwefelsäure abgefallen
Zeitangaben nach mittlerer Ortszeit

Potentialgefälle

pro Meter
halbfett gedruckt

1 ^p	2 ^p	3 ^p	4 ^p	5 ^p	6 ^p	7 ^p	8 ^p	9 ^p	10 ^p	11 ^p	Mitternacht	Mittel	Datum
1910													
220	153	138	132	29	316	-1106	142	111	174	158	126	.	1
-474	-1580	711	-632	790	506	205	190	205	253	273	312	.	2
238	250	323	948	79	-474	442	174	142	176	182	162	.	3
223	123	132	138	168	182	197	218	218	232	244	218	223	4
182	94	135	-237	174	158	158	158	142	150	206	253	.	5
147	118	103	79	-59	68	135	153	138	150	147	212	.	6
141	109	118	106	118	159	200	250	235	270	265	265	177	7
o	-16	21	-6	-29	-18	29	29	29	62	29	63	.	8
168	118	103	147	123	59	79	118	118	79	91	74	.	9
135	138	176	147	147	191	206	206	294	344	335	353	.	10
182	123	123	147	132	162	229	288	341	306	323	300	.	11
176	162	212	194	200	197	312	341	359	323	359	265	.	12
168	129	82	-44	-1185	158	205	363	411	359	353	265	.	13
221	190	126	-1896	0	711	95	221	284	318	265	256	.	14
138	150	171	171	156	223	250	306	309	300	294	294	.	15
88	126	168	194	215	185	223	282	356	450	420	370	.	16
188	188	173	168	179	182	197	223	247	273	306	253	241	17
138	153	182	235	250	253	318	-1422	-790	395	205	205	.	18
235	206	206	191	220	235	200	206	294	165	235	256	.	19
209	206	159	171	168	182	226	206	182	197	179	147	217	20
235	329	206	206	162	185	109	132	165	185	168	156	.	21
153	68	118	135	150	197	182	-237	569	174	363	348	.	22
182	176	168	168	179	179	191	194	-790	223	220	191	.	23
138	174	521	-111	111	1185	332	205	221	279	235	218	.	24
200	159	188	223	197	197	229	288	270	282	235	220	.	25
176	147	129	132	156	171	168	212	232	238	229	209	211	26
168	123	-53	15	153	182	220	282	182	206	168	182	.	27
188	176	144	138	153	141	147	153	126	112	115	123	162	28
159	132	121	156	168	215	226	218	241	273	291	220	199	29
o	141	247	338	-59	103	176	220	212	194	279	294	.	30
150	132	115	106	126	-1896	411	0	-237	209	168	210	.	31
183	154	139	144	159	176	194	211	212	228	233	205	204	Mittel der Normaltage

1910

253	220	194	135	-332	205	190	205	174	237	237	221	.	1
253	174	162	141	156	162	182	268	291	185	176	144	.	2
179	206	203	179	182	197	188	194	18	68	197	241	.	3
379	142	63	-1264	237	190	142	205	205	142	126	142	.	4
191	171	171	173	153	212	209	262	-103	-1738	316	-111	.	5
203	194	165	179	147	126	97	235	200	173	203	244	.	6
156	147	138	147	144	44	68	147	223	212	285	323	.	7
74	106	103	206	185	188	250	291	309	326	329	320	.	8
183	162	153	182	209	188	241	320	394	415	397	309	233	9
85	179	188	147	176	232	235	279	432	500	409	329	235	10
150	129	153	171	176	171	226	191	176	171	185	191	186	11
209	200	150	156	162	165	147	118	109	129	29	59	.	12
427	190	379	-995	205	537	395	-63	158	79	47	82	.	13
173	156	162	168	215	203	297	291	600	406	379	300	.	14
147	141	156	165	162	153	162	156	147	150	162	179	188	15
188	162	156	156	156	173	185	203	179	182	235	215	.	16
162	156	147	179	203	176	188	156	179	156	159	138	226	17
206	176	188	176	200	185	212	220	241	238	218	185	186	18
229	191	179	165	118	150	132	144	179	168	173	153	.	19
159	147	171	141	147	162	191	194	206	200	229	220	.	20
156	156	147	144	153	156	153	156	159	165	176	121	174	21
185	88	71	262	-300	-506	16	142	158	162	300	235	.	22
226	194	200	206	203	209	206	215	188	176	176	165	.	23
147	162	147	150	153	165	121	132	206	194	179	162	.	24
-395	79	316	158	32	95	147	173	176	135	206	235	.	25
194	203	182	171	176	182	176	173	191	176	176	176	205	26
32	142	158	147	176	197	209	212	235	223	226	229	.	27
185	176	165	153	206	159	156	153	265	150	118	123	201	28
182	150	159	176	200	206	209	229	220	235	256	238	178	29
238	94	56	62	109	144	147	150	171	203	220	206	.	30
215	185	173	206	197	173	250	226	268	288	220	288	218	31
167	165	165	170	187	180	201	205	243	240	225	207	203	Mittel der Normaltage

Zeitangaben nach mittlerer Ortszeit

Luftelektrisches

In Volt
Normaltage sind

Datum	1 ^a	2 ^a	3 ^a	4 ^a	5 ^a	6 ^a	7 ^a	8 ^a	9 ^a	10 ^a	11 ^a	Mittag
September												
1	235	165	123	156	179	165	185	165	165	168	147	171
2	126	142	111	95	126	142	142	135	159	76	109	65
3	176	191	194	171	165	165	141	115	197	288	244	200
4	190	174	142	142	142	126	205	-205	-790	-63	-379	-95
5	220	191	259	312	391	456	474	537	442	332	247	191
6	300	353	206	270	368	368	391	309	338	259	165	162
7	47	79	79	63	63	95	142	200	171	115	41	-1027
8	115	103	100	85	97	88	91	88	109	121	126	132
9	142	126	126	190	205	442	490	509	368	309	220	182
10	215	65	135	159	182	200	294	206	412	318	220	191
11	353	506	253	111	269	284	316	282	279	297	200	171
12	250	238	197	212	270	335	426	420	447	341	282	200
13	223	156	132	138	173	176	168	176	185	226	270	279
14	173	185	168	203	218	238	200	197	165	159	162	162
15	315	253	250	241	256	341	391	373	318	362	359	250
16	332	363	348	190	253	316	442	427	417	373	312	270
17	191	171	150	121	141	112	123	118	126	144	165	156
18	156	141	159	153	218	256	226	229	212	244	244	218
19	185	185	171	165	159	168	197	215	194	197	226	241
20	0	-147	-76	29	-68	-59	-35	62	138	168	188	206
21	232	194	220	165	171	176	241	279	235	215	206	147
22	158	126	158	142	158	174	174	162	206	253	250	176
23	220	265	241	256	247	262	262	265	176	232	247	171
24	359	288	220	171	156	238	291	241	244	259	256	212
25	200	197	179	106	109	147	176	229	241	212	220	294
26	288	229	200	194	188	203	209	262	291	326	270	206
27	273	247	259	288	265	282	291	288	265	285	323	273
28	241	232	212	182	144	126	144	156	173	179	144	118
29	182	179	176	206	232	300	347	353	300	315	318	326
30	347	320	291	268	241	212	203	226	229	270	262	179
Mittel der Normal-tage	243	224	208	181	199	245	275	281	265	272	263	242
Oktober												
1	247	171	132	118	150	191	250	259	218	168	229	253
2	241	194	244	256	253	329	315	247	200	194	273	347
3	270	300	300	269	190	284	284	294	297	270	250	253
4	165	135	138	159	159	171	200	132	-68	206	185	176
5	76	-348	205	95	126	142	158	168	182	188	176	182
6	294	229	279	382	373	368	315	347	285	294	282	412
7	420	379	300	284	221	237	348	359	412	282	241	235
8	188	215	241	223	215	223	285	329	235	273	279	265
9	226	220	185	153	191	250	235	270	220	191	191	171
10	297	294	318	394	368	394	382	368	329	247	168	153
11	94	65	76	71	94	94	159	191	220	297	332	306
12	238	220	212	212	223	238	256	253	250	256	250	250
13	282	279	273	273	276	300	306	312	309	279	223	235
14	159	159	156	162	162	200	270	279	353	356	347	318
15	338	288	282	288	294	329	376	397	470	382	318	253
16	165	50	123	197	223	244	238	218	194	288	312	288
17	442	363	284	174	174	221	237	285	268	279	265	247
18	241	241	294	303	320	294	344	432	429	312	197	165
19	79	94	123	132	121	153	220	238	235	229	223	223
20	179	179	176	171	165	191	179	156	165	197	235	215
21	150	144	132	168	144	147	176	176	197	141	176	206
22	1)	1)	1)	1)	1)	1)	1)	268	282	288	250	306
23	129	118	112	109	109	112	118	129	132	88	103	82
24	121	91	79	88	97	103	153	212	200	165	141	115
25	103	103	94	79	100	147	162	159	159	209	126	162
26	223	194	268	273	265	238	344	397	385	309	315	220
27	188	206	362	218	303	365	253	232	223	197	188	220
28	194	191	191	182	165	156	168	226	253	244	223	226
29	244	247	229	253	253	235	197	276	341	344	365	323
30	315	441	476	476	473	470	456	426	482	412	256	235
31	203	212	194	194	176	247	1)	1)	200	159	135	97
Mittel der Normal-tage	235	209	206	193	195	231	265	271	266	259	269	263

1) Uhr stand.

Zeitangaben nach mittlerer Ortszeit.

Potentialgefälle

pro Meter
halbfett gedruckt

1 ^p	2 ^p	3 ^p	4 ^p	5 ^p	6 ^p	7 ^p	8 ^p	9 ^p	10 ^p	11 ^p	Mitternacht	Mittel	Datum
1910													
165	159	153	156	171	185	218	253	212	176	-348	-474	.	1
65	15	-95	126	142	174	190	284	300	323	241	218	.	2
171	123	38	-59	-190	205	241	282	-474	126	190	205	.	3
79	47	506	126	95	95	142	142	159	197	229	238	.	4
168	173	0	47	153	209	220	-79	111	118	165	226	.	5
135	112	112	103	132	123	171	188	197	200	197	-79	.	6
32	32	50	68	141	153	168	141	144	162	171	147	.	7
159	135	141	118	141	135	138	209	206	168	-332	47	.	8
44	-711	-632	-474	395	158	197	265	397	185	273	197	.	9
250	-74	-147	-221	95	126	168	250	338	397	273	218	.	10
159	44	-35	38	-285	-106	226	135	215	329	276	223	.	11
162	126	135	132	129	115	144	212	206	285	241	229	.	12
200	165	150	168	197	171	185	176	159	156	74	197	.	13
168	194	220	212	200	279	427	427	474	517	479	385	259	14
168	132	153	162	200	300	382	506	559	490	442	411	317	15
176	171	159	162	182	200	229	229	244	265	259	241	273	16
165	138	138	150	200	200	209	220	220	217	223	200	.	17
159	144	156	185	197	153	150	179	179	176	179	179	187	18
247	223	212	235	226	223	256	318	353	332	285	294	229	19
147	-316	253	16	0	0	197	323	500	426	368	265	.	20
162	35	156	156	215	168	235	71	-91	-82	-132	-284	.	21
182	200	244	232	265	279	315	391	388	432	320	206	.	22
226	229	212	200	203	244	209	194	229	300	353	373	.	23
206	200	188	209	235	265	270	215	259	318	300	244	244	24
223	212	197	200	200	229	474	490	537	329	406	359	257	25
200	197	206	206	220	223	241	276	285	320	282	265	241	26
244	218	244	294	282	147	115	232	235	215	194	250	.	27
147	171	182	212	191	212	259	259	171	200	232	191	.	28
259	244	229	259	206	229	268	323	368	385	353	276	.	29
171	165	97	126	159	159	162	171	156	197	229	203	.	30
202	191	191	203	213	231	295	323	337	346	335	303	254	Mittel der Normal-tage

1910

238	250	244	209	241	268	256	303	194	197	218	226	218	1
347	382	362	347	353	306	294	323	303	256	250	270	287	2
200	162	141	206	176	206	259	356	373	259	194	194	.	3
185	138	-220	-47	32	190	174	142	142	123	135	112	.	4
206	206	218	200	215	279	318	347	356	462	432	373	.	5
285	241	244	270	265	303	385	344	397	426	450	470	.	6
244	226	256	235	165	226	353	276	306	282	223	220	.	7
270	283	262	247	253	229	238	250	247	238	279	303	253	8
200	220	176	185	235	250	256	294	323	338	300	297	.	9
159	159	159	141	194	276	335	376	323	194	123	121	.	10
256	223	212	220	250	220	188	212	220	229	218	244	.	11
241	238	241	262	250	223	218	270	300	318	328	303	252	12
279	265	200	121	76	79	76	218	235	206	197	165	.	13
270	270	323	235	294	312	441	529	500	450	423	373	306	14
263	309	344	338	382	415	447	412	397	376	256	250	342	15
323	338	338	320	315	268	238	194	200	223	250	362	.	16
265	279	270	273	270	223	235	250	226	194	212	244	258	17
176	185	179	191	179	218	285	241	197	197	138	112	.	18
268	268	250	262	223	194	268	347	326	297	232	182	216	19
206	215	212	215	235	212	194	218	182	162	168	141	190	20
165	179	229	253	323	253	318	¹⁾	¹⁾	¹⁾	¹⁾	.	.	21
300	312	253	285	362	262	294	218	191	197	162	118	.	22
188	68	135	132	103	88	185	206	335	332	259	203	.	23
126	168	165	220	185	191	206	215	197	197	168	138	.	24
235	270	273	297	279	279	300	288	244	279	241	209	.	25
194	173	147	135	223	259	235	200	279	232	250	306	.	26
226	259	306	288	332	309	294	282	232	232	203	191	.	27
223	223	232	244	235	223	235	276	256	232	250	256	.	28
368	376	244	206	303	212	220	238	250	268	276	285	.	29
223	238	226	238	235	220	200	223	138	209	188	218	.	30
123	115	-35	103	103	79	91	138	144	129	147	162	.	31
263	277	279	265	278	265	288	322	297	276	264	255	258	Mittel der Normal-tage

¹⁾ Uhr stand.

Zeitangaben nach mittlerer Ortszeit

Datum	1 ^a	2 ^a	3 ^a	4 ^a	5 ^a	6 ^a	7 ^a	8 ^a	9 ^a	10 ^a	11 ^a	Mittag
November												
1	156	165	-901	664	95	158	190	197	144	-132	-1185	-174
2	126	142	190	190	1)	1)	1)	162	176	220	200	215
3	-790	-916	-711	-284	79	95	-47	-190	47	-16	63	-96
4	328	313	309	318	324	422	546	450	388	510	437	522
5	288	250	265	282	218	197	206	212	247	247	244	282
6	218	238	206	200	238	270	300	426	600	679	537	442
7	397	300	244	229	300	300	268	226	197	-35	-16	190
8	190	221	205	205	205	190	205	206	220	300	262	241
9	165	316	174	190	158	190	253	206	250	212	197	279
10	229	265	250	256	241	241	288	291	229	235	206	-427
11	250	265	368	412	412	362	459	456	491	406	288	-158
12	47	190	79	126	237	869	506	253	-569	-506	-32	111
13	303	265	226	220	158 ²⁾	111	142 ³⁾	183	185	220	241	229
14	244	215	215	200	206	215	212	212	171	126	232	241
15	244	265	259	-205	-284	-253	-1106	0	-553	-442	-853	-553
16	458	474	458	490	474	427	348	300	441	412	259	-59
17	138	109	123	144	162	176	203	229	220	250	235	220
18	350	373	394	353	329	406	497	459	476	382	303	203
19	338	350	395	237	126	142	126	237	397	190	348	442
20	153	135	111	152	82	118	191	206	232	252	279	288
21	79	79	79	110	174	142	142	214	241	291	346	323
22	241	211	167	244	138	147	265	323	255	323	190	237
23	158	205	142	126	142	158	284	521	521	569	427	474
24	291	323	412	348	205	142	190	317	376	382	346	329
25	288	258	226	214	206	211	244	258	338	435	417	338
26	363	363	395	411	427	474	506	553	585	632	679	695
27	442	442	458	506	458	553	521	361	405	446	397	412
28	467	441	388	353	332	299	258	288	288	270	199	38
29	132	74	-44	-35	-8	15	185	152	182	164	167	241
30	258	255	258	265	299	309	329	385	388	385	346	341
Mittel der Normaltage	273	250	249	256	245	246	272	304	327	361	360	351

1) Uhr stand. 2) Δ^0 4^{10-30a}. 3) *⁰ 6^{22-46a}.

Dezember												
1	223	185	206	318	412	491	559	423	385	420	388	385
2	362	344	273	168	100	153	412	442	411	348	509	332
3	238	209	220	244	200	168	270	197	153	141	226	106
4	129	115	121	138	141	179	191	200	203	220	223	226
5	256	253	279	282	282	309	312	329	318	341	335	335
6	323	1)	1)	1)	1)	1)	1)	1)	403	456	444	426
7	2)	2)	2)	2)	2)	315	347	394	420	456	441	432
8	147	223	329	426	417	435	537	616	648	664	632	585
9	315	303	285	297	332	423	514	391	315	385	412	382
10	470	482	503	2)	2)	2)	2)	569	616	727	774	600
11	537	442	427	411	521	727	632	585	648	632	553	585
12	332	363	427	427	379	348	395	403	335	368	453	447
13	427	411	395	379	348	284	253	306	341	370	394	397
14	417	368	320	312	297	318	368	423	553	427	269	362
15	395	363	363	363	379	379	363	420	397	359	341	365
16	294	256	244	191	168	141	182	191	188	153	100	88
17	95	-1264	-379	142	174	205	205	235	256	226	238	262
18	270	253	223	191	159	47	-126	47	95	159	185	262
19	153	168	153	135	159	171	226	253	273	285	253	244
20	-2133	-1817	-632	-63	126	95	-158	-695	-901	-158	-348	16
21	335	247	206	212	218	209	168	212	218	303	441	426
22	423	429	406	400	382	391	420	429	404	482	462	438
23	353	347	300	309	279	303	259	250	285	259	250	253
24	268	200	209	159	97	-153	-537	-47	63	95	68	-235
25	158	111	111	111	-16	-47	205	727	-221	174	158	158
26	168	103	-74	-29	94	29	115	50	150	185	179	59
27	176	159	103	159	165	135	135	144	188	138	109	162
28	206	194	191	206	194	265	347	412	420	388	323	373
29	417	444	379	332	395	395	395	482	476	450	429	426
30	190	3)	3)	3)	3)	3)	3)	3)	3)	-47	-474	-95
31	297	276	288	226	241	297	309	382	341	382	450	432
Mittel der Normaltage	334	327	336	326	315	325	343	383	378	384	394	398

1) Wasser im Ausfuhrrohr eingefroren. 2) Nachfuellung versagte. 3) Fasern am Zeiger.

Zeitangaben nach mittlerer Ortszeit

Potentialgefälle

pro Meter
halbfett gedruckt

1 ^p	2 ^p	3 ^p	4 ^p	5 ^p	6 ^p	7 ^p	8 ^p	9 ^p	10 ^p	11 ^p	Mitternacht	Mittel	Datum
79	158	205	190	182	203	24	-162	-553	474	-16	79	.	1
185	182	218	232	205	205	205	229	241	-1138	-1264	-790	.	2
206	273	269	232	242	273	251	295	291	289	313	337	.	3
373	288	318	428	356	417	417	417	332	329	388	338	.	4
259	215	189	176	197	218	215	229	229	250	197	223	231	5
269	300	329	329	391	458	442	474	427	412	406	409	.	6
221	244	88	-158	126	190	237	269	284	0	205	174	.	7
241	215	21	-63	237	253	165	329	323	309	203	344	.	8
353	347	329	323	273	288	312	294	291	235	229	212	.	9
-348	32	32	221	174	205	205	269	348	276	309	270	.	10
32	0	0	1975	316	237	126	174	-1422	1264	32	-32	.	11
47	185	253	259	276	318	332	356	382	406	370	391	.	12
289	303	294	273	300	338	353	397	435	397	309	265	268	13
300	288	270	276	288	182	285	315	338	265	200	173	.	14
16	237	338	353	362	359	429	509	532	600	600	600	.	15
-506	-521	190	348	395	190	205	237	284	191	212	123	.	16
232	171	197	232	241	276	318	335	359	376	403	344	237	17
150	97	88	200	68	168	215	288	288	185	191	162	.	18
348	284	126	190	32	16	-16	190	284	368	285	229	.	19
241	220	206	185	141	-474	1106	916	-190	88	632	-521	.	20
-348	-79	363	363	126	190	348	316	205	129	182	132	.	21
284	506	332	294	299	338	441	822	869	-158	79	126	.	22
502	514	435	391	382	361	355	353	329	282	265	270	.	23
368	368	376	417	382	338	370	382	373	302	299	329	.	24
391	382	456	461	500	490	427	427	458	514	379	363	362	25
616	600	585	616	743	648	632	727	553	585	427	427	552	26
329	329	391	358	373	385	417	464	520	517	470	485	.	27
-149	-108	35	76	167	353	500	467	376	305	235	194	.	28
202	194	250	299	382	388	420	456	402	309	265	294	.	29
335	320	285	309	335	317	317	314	305	314	294	252	313	30
354	332	334	345	386	381	377	405	390	406	335	312	327	Mittel der Normal-tage

1910

365	385	391	335	332	368	238	276	326	388	332	250	.	1
411	379	447	326	326	435	379	323	353	285	294	282	.	2
138	138	129	173	200	138	156	138	162	138	132	123	.	3
229	238	241	256	300	288)))	312	288	276	.	4
341	347	353	347	338	320	309	323	335	368	341	323	320	5
382	417	391	382	423	435	444	447	441	450	415	393	.	6
450	368	362	362	341	318	47	297	423	382	285	226	.	7
459	506	559	474	537	553	458	411	379	297	285	306	.	8
270	297	323	250	312	335	447	506	458	529	485	503	.	9
569	553	490	411	411	517	569	553	600	711	679	585	.	10
569	521	490	537	506	427	490	490	411	316	316	316	.	11
403	406	465	473	485	456	394	420	514	537	490	490	425	12
420	470	423	391	388	400	479	506	491	435	403	397	396	13
373	394	415	453	570	679	743	521	537	648	695	458	.	14
362	335	341	347	350	368	391	385	379	376	323	329	366	15
335	438	376	341	353	335	153	-237	111	206	-158	-869	.	16
270	185	220	241	241	300	353	403	432	429	403	326	.	17
247	226	256	276	194	179	206	247	250	238	206	191	.	18
238	247	238	244	341	256	294	226	138	194	112	-948	.	19
47	-16	50	71	68	132	220	250	241	212	185	326	.	20
306	370	335	300	323	385	441	456	453	432	429	379	.	21
426	482	479	470	523	559	494	520	459	426	476	397	453	22
250	241	215	297	273	270	256	218	253	326	326	300	.	23
-348	63	63	47	63	-158	-16	16	63	-253	158	158	.	24
190	190	205	190	205	221	237	221	205	185	159	188	.	25
-47	174	190	-158	126	348	205	190	-32	171	168	182	.	26
232	253	265	229	220	329	341	265	150	159	215	250	.	27
388	426	485	488	491	470	506	553	537	473	429	417	383	28
453	491	348	995	221	237	-237	221	190	244	348	253	.	29
111	490	474	363	300	412	312	282	341	232	315	356	.	30
453	441	474	506	427	664	806	569	474	441	560	711	435	31
399	415	431	432	429	462	483	468	456	437	432	438	397	Mittel der Normal-tage

1) Rohr verstopft.

Zeitangaben nach mittlerer Ortszeit

Monat	Zahl der Normal-tage	1 ^a	2 ^a	3 ^a	4 ^a	5 ^a	6 ^a	7 ^a	8 ^a	9 ^a	10 ^a	11 ^a	Mg	1 ^p	2 ^p	3 ^p	4 ^p	5 ^p	6 ^p	7 ^p	8 ^p	9 ^p	10 ^p	11 ^p	Mn	Mittel	
Monatsmittel des luftelektrischen Potentialgefälles für jede Stunde. (Ausgeglichene Werte.)																											
Januar . .	4	208	190	170	155	163	178	196	214	244	265	274	291	311	305	287	281	276	280	303	321	323	320	307	283	256	
Februar . .	7	269	266	258	252	252	265	286	321	354	368	362	346	333	326	322	319	317	322	330	324	307	293	286	282	307	
März . . .	12	248	235	230	228	226	231	252	281	306	316	302	280	274	273	271	264	256	259	278	305	320	310	289	268	271	
April . . .	10	230	219	208	204	208	222	243	262	270	267	251	219	186	170	169	174	181	198	224	238	242	246	235	219	220	
Mai	8	267	240	228	228	246	275	297	294	262	220	191	171	156	154	159	165	174	189	216	258	284	290	290	275	230	
Juni	7	206	201	192	187	194	216	248	265	249	220	191	166	151	144	142	140	144	153	168	192	218	230	226	223	194	
Juli	7	220	214	204	191	186	198	223	247	263	262	240	210	183	158	144	146	160	176	194	207	216	225	225	206	204	
August . .	11	216	198	191	192	191	195	214	235	242	235	214	189	172	166	166	173	181	187	197	214	233	237	224	208	203	
September	9	248	225	205	192	206	241	269	276	271	268	260	237	209	194	194	202	215	242	286	324	346	346	330	294	253	
Oktober .	9	228	215	204	197	204	230	258	268	266	263	265	264	266	274	275	272	272	274	291	307	298	278	265	252	258	
November	6	276	256	251	252	248	252	274	302	330	352	358	354	348	338	336	352	374	381	385	394	398	384	347	316	327	
Dezember	7	339	331	331	326	320	327	348	372	381	385	392	397	403	415	427	431	438	459	474	469	454	440	435	429	397	
Jahr . . .	97	246	232	223	217	220	236	259	278	286	285	275	260	249	243	241	243	249	260	279	296	303	300	288	271	260	

Täglicher Gang des luftelektrischen Potentialgefälles nach Abweichungen vom Monatsmittel. (Ausgeglichene Werte.)																											
Januar . .	4	-48	-66	-86	-101	-93	-78	-60	-42	-12	+9	+18	+35	+55	+49	+31	+25	+20	+24	+47	+65	+67	+64	+51	+27	256	
Februar . .	7	-38	-41	-49	-55	-55	-42	-21	+14	+47	+61	+55	+39	+26	+19	+15	+12	+10	+15	+23	+17	0	-14	-21	-25	307	
März . . .	12	-23	-36	-41	-43	-45	-40	-19	+10	+35	+45	+31	+9	+3	+2	0	-7	-15	-12	+7	+34	+49	+39	+18	-3	271	
April . . .	10	+10	-1	-12	-16	-12	+2	+23	+42	+50	+47	+31	-1	-34	-50	-51	-46	-39	-22	+4	+18	+22	+26	+15	-1	220	
Mai	8	+37	+10	-2	-2	+16	+45	+67	+64	+32	-10	-39	-59	-74	-76	-71	-65	-56	-41	-14	+28	+54	+60	+60	+45	230	
Juni	7	+12	+7	-2	-7	0	+22	+54	+71	+55	+26	-3	-28	-43	-50	-52	-54	-50	-41	-26	-2	+24	+36	+32	+29	194	
Juli	7	+16	+10	0	-13	-18	-6	+19	+43	+59	+58	+36	+6	-21	-46	-60	-58	-44	-38	-10	+3	+12	+21	+21	+2	204	
August . .	11	+13	-5	-12	-11	-12	-8	+11	+32	+39	+32	+11	-14	-31	-37	-37	-30	-22	-16	-6	+11	+30	+34	+21	+5	203	
September	9	-5	-28	-48	-61	-47	-12	+16	+23	+18	+15	+7	-16	-44	-59	-59	-51	-38	-11	+33	+71	+93	+93	+77	+41	253	
Oktober .	9	-30	-43	-54	-61	-54	-28	0	+10	+8	+5	+7	+6	+8	+16	+17	+14	+14	+16	+33	+49	+40	+20	+7	-6	258	
November	6	-51	-71	-76	-75	-79	-75	-53	-25	+3	+25	+31	+27	+21	+11	+9	+25	+47	+54	+58	+67	+71	+57	+20	-11	327	
Dezember	7	-58	-66	-66	-71	-77	-70	-49	-25	-16	-12	-5	0	+6	+18	+30	+34	+41	+62	+77	+72	+57	+43	+38	+32	397	
Jahr . . .	97	-14	-28	-37	-43	-40	-24	-1	+18	+26	+25	+15	0	-11	-17	-19	-17	-11	0	+19	+36	+43	+40	+28	+11	260	

Täglicher Gang des luftelektrischen Potentialgefälles.

1 Teilstrich = 25 Volt/Meter.

